

# Einrichtungsbezogener Rückmeldebericht

2025

Mustereinrichtung





Einrichtungsbezogener Rückmeldebericht

## Mustereinrichtung

Bundesland - Berlin

2025

Berichtszeitraum 2020-2024



vom

**Klinisch-epidemiologischen Krebsregister  
Brandenburg-Berlin**

Erstellung des Rückmeldeberichts:

Dr. Andreas Lehmann  
17. Dezember 2025

Eine Auswertung der Klinisch-epidemiologisches Krebsregisters  
Brandenburg-Berlin gGmbH

Alle Inhalte dieses Dokumentes, einschließlich seiner Teile, insbesondere Texte, Tabellen, Fotografien und grafische Darstellungen, sind urheberrechtlich geschützt. Das Urheberrecht liegt, soweit nicht ausdrücklich anders gekennzeichnet, bei der Klinisch-epidemiologisches Krebsregister Brandenburg-Berlin gGmbH (KKRBB). Aus Gründen der besseren Lesbarkeit wird auf die gleichzeitige Verwendung der Sprachformen männlich, weiblich und divers (m/w/d) verzichtet. Sämtliche Personenbezeichnungen gelten gleichermaßen für alle Geschlechter.

Ihr Ansprechpartner im Fachbereich „Auswertung und Datennutzung“  
für die Entwicklung aggregierter Rückmeldeberichte an Leistungserbringer:

### Dr. rer. nat. Andreas Lehmann

- Telefon: 030 21993216 • E-Mail: [andreas.lehmann@kkrbb.de](mailto:andreas.lehmann@kkrbb.de)

## Impressum

### Coverfoto:

[www.pexels.com](http://www.pexels.com) (lukas-590022)

### Titelfoto:

[www.unsplash.com](http://www.unsplash.com) (ani-kolleshi-vu-DaZVenY0, national-cancer-institute-BxXgTQEw1M4);  
[www.pexels.com](http://www.pexels.com) (lukas-590022, valeria-boltneva-87584, bongkarn-thanyakij-3758756, andrea-piacquadio-3768131, pixabay-208518)

## Klinisch-epidemiologisches Krebsregister Brandenburg-Berlin gGmbH

- Geschäftsführung: Dr. Renate Kirschner-Schwabe
  - Dreifertstraße 12, 03044 Cottbus
  - Amtsgericht Cottbus • HRB 12270

# Inhaltsverzeichnis

<b>1 Einleitung</b>	<b>13</b>
Hintergrund . . . . .	13
Praxis-Rückmeldebericht . . . . .	13
Datensatz und Berichtszeitraum . . . . .	14
Software . . . . .	14
<b>I Anzahl der gemeldeten Diagnosen und Therapien</b>	<b>15</b>
<b>2 Überblick</b>	<b>16</b>
2.1 Allgemeine Informationen . . . . .	16
2.2 Zeitlicher Verlauf . . . . .	16
<b>II Qualität und Vollständigkeit der gemeldeten Diagnosen und Therapien</b>	<b>18</b>
<b>3 Vollständigkeit von Diagnose- und Histologiemerkmalen</b>	<b>19</b>
3.1 Übersicht . . . . .	20
<b>4 Vollständigkeit von Therapiemerkmalen</b>	<b>21</b>
4.1 Operation . . . . .	21
4.2 Systemtherapie . . . . .	23
<b>III Tumordiagnose und Patientenstruktur</b>	<b>24</b>
<b>5 Überblick</b>	<b>25</b>
<b>6 Tumoreigenschaften</b>	<b>26</b>
6.1 Tumordiagnose (nach ICD-10) . . . . .	26
<b>7 Patientenstruktur</b>	<b>29</b>
7.1 Geschlechterverhältnis . . . . .	29
7.2 Altersstruktur . . . . .	30
7.3 Herkunft der Fälle . . . . .	32
<b>IV Entitätspezifische Analysen und Darstellungen</b>	<b>33</b>
<b>8 C50-C50 - Brustdrüse</b>	<b>34</b>
8.1 Allgemeine Informationen . . . . .	34
8.2 Vollständigkeit . . . . .	35
8.2.1 Vollständigkeit von Diagnose- und Histologiemerkmalen . . . . .	35
8.2.2 Vollständigkeit von Therapiemerkmalen . . . . .	36
8.3 Tumoreigenschaften . . . . .	37
8.3.1 Tumordiagnose (nach ICD-10) . . . . .	37
8.3.2 Histologie . . . . .	37
8.3.3 Histopathologisches Grading und UICC-Klassifikation . . . . .	39
8.3.4 UICC-Klassifikation . . . . .	39
8.3.5 Staging . . . . .	39
8.3.6 Primäre Metastasierung . . . . .	42
8.4 Patientenstruktur . . . . .	43
8.4.1 Herkunft . . . . .	44
8.5 Überlebensanalysen (nach Kaplan-Meier) . . . . .	45
8.5.1 Überblick für C50-C50 - Brustdrüse . . . . .	45

8.5.2 Überblick für C50 - Brustdrüse . . . . .	46
<b>9 C15-C26 - Verdauungsorgane</b>	<b>48</b>
9.1 Allgemeine Informationen . . . . .	48
9.2 Vollständigkeit . . . . .	49
9.2.1 Vollständigkeit von Diagnose- und Histologiemerkmalen . . . . .	49
9.2.2 Vollständigkeit von Therapiemerkmalen . . . . .	50
9.3 Tumoreigenschaften . . . . .	51
9.3.1 Tumordiagnose (nach ICD-10) . . . . .	51
9.3.2 Histologie . . . . .	53
9.3.3 Histopathologisches Grading und UICC-Klassifikation . . . . .	56
9.3.4 UICC-Klassifikation . . . . .	56
9.3.5 Staging . . . . .	56
9.3.6 Primäre Metastasierung . . . . .	59
9.4 Patientenstruktur . . . . .	60
9.4.1 Herkunft . . . . .	61
9.5 Überlebensanalysen (nach Kaplan-Meier) . . . . .	62
9.5.1 Überblick für C15-C26 - Verdauungsorgane . . . . .	62
9.5.2 Überblick für C18 - Kolon . . . . .	63
9.5.3 Überblick für C20 - Rektum . . . . .	65
9.5.4 Überblick für C16 - Magen . . . . .	67
9.5.5 Überblick für C15 - Ösophagus . . . . .	69
9.5.6 Überblick für C25 - Pankreas . . . . .	71
<b>10 C81-C96 - lymph., blutbd. u. verw. Gewebes</b>	<b>73</b>
10.1 Allgemeine Informationen . . . . .	73
10.2 Vollständigkeit . . . . .	74
10.2.1 Vollständigkeit von Diagnose- und Histologiemerkmalen . . . . .	74
10.2.2 Vollständigkeit von Therapiemerkmalen . . . . .	74
10.3 Tumoreigenschaften . . . . .	75
10.3.1 Tumordiagnose (nach ICD-10) . . . . .	76
10.3.2 Histologie . . . . .	77
10.3.3 Histopathologisches Grading und UICC-Klassifikation . . . . .	80
10.3.4 UICC-Klassifikation . . . . .	80
10.3.5 Staging . . . . .	80
10.4 Patientenstruktur . . . . .	82
10.4.1 Herkunft . . . . .	83
10.5 Überlebensanalysen (nach Kaplan-Meier) . . . . .	84
10.5.1 Überblick für C81-C96 - lymph., blutbd. u. verw. Gewebes . . . . .	84
10.5.2 Überblick für C91 - lymphatische Leukämie . . . . .	85
10.5.3 Überblick für C90 - Plasmoz. u. Plasmaz.-Nbldg. . . . .	87
10.5.4 Überblick für C83 - nicht folliculäres Lymph. . . . .	89
<b>11 C60-C63 - männliche Genitalorgane</b>	<b>91</b>
11.1 Allgemeine Informationen . . . . .	91
11.2 Vollständigkeit . . . . .	92
11.2.1 Vollständigkeit von Diagnose- und Histologiemerkmalen . . . . .	92
11.2.2 Vollständigkeit von Therapiemerkmalen . . . . .	93
11.3 Tumoreigenschaften . . . . .	93
11.3.1 Tumordiagnose (nach ICD-10) . . . . .	93
11.3.2 Histologie . . . . .	94
11.3.3 Histopathologisches Grading und UICC-Klassifikation . . . . .	95
11.3.4 UICC-Klassifikation . . . . .	95
11.3.5 Staging . . . . .	95
11.3.6 Primäre Metastasierung . . . . .	98
11.4 Patientenstruktur . . . . .	99
11.4.1 Herkunft . . . . .	100
11.5 Überlebensanalysen (nach Kaplan-Meier) . . . . .	101
11.5.1 Überblick für C60-C63 - männliche Genitalorgane . . . . .	101

11.5.2 Überblick für C61 - Prostata . . . . .	102
<b>12 C43-C44 - Melanom u. sonst. bösart. Neubldg. d. Haut</b>	<b>104</b>
12.1 Allgemeine Informationen . . . . .	104
12.2 Vollständigkeit . . . . .	105
12.2.1 Vollständigkeit von Diagnose- und Histologiemerkmalen . . . . .	105
12.2.2 Vollständigkeit von Therapiemerken . . . . .	106
12.3 Tumoreigenschaften . . . . .	107
12.3.1 Tumordiagnose (nach ICD-10) . . . . .	107
12.3.2 Histologie . . . . .	107
12.3.3 Histopathologisches Grading und UICC-Klassifikation . . . . .	109
12.3.4 UICC-Klassifikation . . . . .	109
12.3.5 Staging . . . . .	109
12.3.6 Primäre Metastasierung . . . . .	112
12.4 Patientenstruktur . . . . .	113
12.4.1 Herkunft . . . . .	114
12.5 Überlebensanalysen (nach Kaplan-Meier) . . . . .	115
12.5.1 Überblick für C43-C44 - Melanom u. sonst. bösart. Neubldg. d. Haut . . . . .	115
12.5.2 Überblick für C43 - malignes Melanom d. Haut . . . . .	116

## V Qualitätsindikatoren der Leitlinien

118

# Tabellenverzeichnis

2.1 Anzahl der gemeldeten Diagnosen, therapeutischen Behandlungen und Verläufe (REF - Referenz)	16
3.1 Qualität und Vollständigkeit von Diagnose- und Histologiemerkmalen im Zeitverlauf (REF - Referenz)	20
4.1 Operation - Qualität und Vollständigkeit von Merkmalen im Zeitverlauf (REF - Referenz)	22
4.2 Systemtherapie - Qualität und Vollständigkeit von Therapiemerkmalen im Zeitverlauf (REF - Referenz)	23
5.1 Beschreibung der Zusammensetzung des Kollektives	25
6.1 ICD-10 - Absolute und relative Häufigkeiten der Tumorentitäten für den Zeitverlauf (basierend auf Diagnosejahr)	26
6.2 ICD-10 - Liste der 20 häufigsten invasiven Tumorentitäten	28
7.1 Absolute Häufigkeit der Tumorfälle je Wohnort (Bundeslandsebene) und pro Berichtsjahr (Diagnosejahr)	32
8.1 Anzahl der gemeldeten Diagnosen, therapeutischen Behandlungen und Verläufe für C50-C50 - Brustdrüse	34
8.2 Qualität und Vollständigkeit von Diagnose- und Histologiemerkmalen im Zeitverlauf (REF - Referenz)	35
8.3 Operation - Qualität und Vollständigkeit von Merkmalen im Zeitverlauf (REF - Referenz)	36
8.4 Systemtherapie - Qualität und Vollständigkeit von Therapiemerkmalen im Zeitverlauf	36
8.5 ICD-10 - Absolute und relative Häufigkeiten der Tumorentitäten im Zeitverlauf (basierend auf Diagnosejahr)	37
8.6 Histologie-Übersicht für C50 - Brustdrüse - absolute Häufigkeiten der Tumorhistologien stratifiziert (nach ENCR 2017, NCT 2018) für einzelne Berichtsjahre	38
8.7 Histologie-Übersicht für D05 - CIS d. Brustdrüse - absolute Häufigkeiten der Tumorhistologien stratifiziert (nach ENCR 2017, NCT 2018) für einzelne Berichtsjahre	38
8.8 Absolute und relative Häufigkeiten der Tumorfälle mit primärer Metastasierung nach ICD-10 und Zeitraum	42
8.9 Absolute Häufigkeit der Lokalisation primärer Metastasen (stratifiziert nach ICD-10)	42
8.10 Absolute Häufigkeit der Tumorfälle je Wohnort (Bundeslandsebene) und pro Berichtsjahr (Diagnosejahr)	44
8.11 Beschreibung des Patientenkollektivs: Charakteristika der eingeschlossenen Patienten für die Überlebensanalysen ('overall' - alle; einzelne ICD-10 (n >= 50))	45
8.12 Tabellarische Darstellung der Kaplan-Meier-Schätzwerte mit Konfidenzintervallen (KI) für das Gesamtüberleben für C50 - Brustdrüse der Einrichtung und Referenz	46
8.13 Tabellarische Darstellung der Kaplan-Meier-Schätzwerte mit Konfidenzintervallen (KI) für das Gesamtüberleben für C50 - Brustdrüse stratifiziert nach UICC-Klassifikation	46
8.14 Tabellarische Darstellung der Kaplan-Meier-Schätzwerte mit Konfidenzintervallen (KI) für das Gesamtüberleben für C50 - Brustdrüse stratifiziert nach Geschlecht	47
8.15 Tabellarische Darstellung der Kaplan-Meier-Schätzwerte mit Konfidenzintervallen (KI) für das Gesamtüberleben für C50 - Brustdrüse stratifiziert nach Alter bei Diagnose	47
9.1 Anzahl der gemeldeten Diagnosen, therapeutischen Behandlungen und Verläufe für C15-C26 - Verdauungsorgane	48
9.2 Qualität und Vollständigkeit von Diagnose- und Histologiemerkmalen im Zeitverlauf (REF - Referenz)	49
9.3 Operation - Qualität und Vollständigkeit von Merkmalen im Zeitverlauf (REF - Referenz)	50
9.4 Systemtherapie - Qualität und Vollständigkeit von Therapiemerkmalen im Zeitverlauf	50
9.5 ICD-10 - Absolute und relative Häufigkeiten der Tumorentitäten im Zeitverlauf (basierend auf Diagnosejahr)	51

9.6	Histologie-Übersicht für C18 - Kolon - absolute Häufigkeiten der Tumорhistologien stratifiziert (nach ENCR 2017, NCT 2018) für einzelne Berichtsjahre . . . . .	53
9.7	Histologie-Übersicht für C20 - Rektum - absolute Häufigkeiten der Tumорhistologien stratifiziert (nach ENCR 2017, NCT 2018) für einzelne Berichtsjahre . . . . .	53
9.8	Histologie-Übersicht für C16 - Magen - absolute Häufigkeiten der Tumорhistologien stratifiziert (nach ENCR 2017, NCT 2018) für einzelne Berichtsjahre . . . . .	54
9.9	Histologie-Übersicht für C15 - Ösophagus - absolute Häufigkeiten der Tumорhistologien stratifiziert (nach ENCR 2017, NCT 2018) für einzelne Berichtsjahre . . . . .	54
9.10	Histologie-Übersicht für C25 - Pankreas - absolute Häufigkeiten der Tumорhistologien stratifiziert (nach ENCR 2017, NCT 2018) für einzelne Berichtsjahre . . . . .	54
9.11	Absolute und relative Häufigkeiten der Tumorfälle mit primärer Metastasierung nach ICD-10 und Zeitraum . . . . .	59
9.12	Absolute Häufigkeit der Lokalisation primärer Metastasen (stratifiziert nach ICD-10) . . . . .	59
9.13	Absolute Häufigkeit der Tumorfälle je Wohnort (Bundeslandsebene) und pro Berichtsjahr (Diagnosejahr) . . . . .	61
9.14	Beschreibung des Patientenkollektivs: Charakteristika der eingeschlossenen Patienten für die Überlebensanalysen ('overall' - alle; einzelne ICD-10 (n >= 50)) . . . . .	62
9.15	Tabellarische Darstellung der Kaplan-Meier-Schätzwerte mit Konfidenzintervallen (KI) für das Gesamtüberleben für C18 - Kolon der Einrichtung und Referenz . . . . .	63
9.16	Tabellarische Darstellung der Kaplan-Meier-Schätzwerte mit Konfidenzintervallen (KI) für das Gesamtüberleben für C18 - Kolon stratifiziert nach UICC-Klassifikation . . . . .	63
9.17	Tabellarische Darstellung der Kaplan-Meier-Schätzwerte mit Konfidenzintervallen (KI) für das Gesamtüberleben für C18 - Kolon stratifiziert nach Geschlecht . . . . .	64
9.18	Tabellarische Darstellung der Kaplan-Meier-Schätzwerte mit Konfidenzintervallen (KI) für das Gesamtüberleben für C18 - Kolon stratifiziert nach Alter bei Diagnose . . . . .	64
9.19	Tabellarische Darstellung der Kaplan-Meier-Schätzwerte mit Konfidenzintervallen (KI) für das Gesamtüberleben für C20 - Rektum der Einrichtung und Referenz . . . . .	65
9.20	Tabellarische Darstellung der Kaplan-Meier-Schätzwerte mit Konfidenzintervallen (KI) für das Gesamtüberleben für C20 - Rektum stratifiziert nach UICC-Klassifikation . . . . .	65
9.21	Tabellarische Darstellung der Kaplan-Meier-Schätzwerte mit Konfidenzintervallen (KI) für das Gesamtüberleben für C20 - Rektum stratifiziert nach Geschlecht . . . . .	66
9.22	Tabellarische Darstellung der Kaplan-Meier-Schätzwerte mit Konfidenzintervallen (KI) für das Gesamtüberleben für C20 - Rektum stratifiziert nach Alter bei Diagnose . . . . .	66
9.23	Tabellarische Darstellung der Kaplan-Meier-Schätzwerte mit Konfidenzintervallen (KI) für das Gesamtüberleben für C16 - Magen der Einrichtung und Referenz . . . . .	67
9.24	Tabellarische Darstellung der Kaplan-Meier-Schätzwerte mit Konfidenzintervallen (KI) für das Gesamtüberleben für C16 - Magen stratifiziert nach UICC-Klassifikation . . . . .	67
9.25	Tabellarische Darstellung der Kaplan-Meier-Schätzwerte mit Konfidenzintervallen (KI) für das Gesamtüberleben für C16 - Magen stratifiziert nach Geschlecht . . . . .	68
9.26	Tabellarische Darstellung der Kaplan-Meier-Schätzwerte mit Konfidenzintervallen (KI) für das Gesamtüberleben für C16 - Magen stratifiziert nach Alter bei Diagnose . . . . .	68
9.27	Tabellarische Darstellung der Kaplan-Meier-Schätzwerte mit Konfidenzintervallen (KI) für das Gesamtüberleben für C15 - Ösophagus der Einrichtung und Referenz . . . . .	69
9.28	Tabellarische Darstellung der Kaplan-Meier-Schätzwerte mit Konfidenzintervallen (KI) für das Gesamtüberleben für C15 - Ösophagus stratifiziert nach UICC-Klassifikation . . . . .	69
9.29	Tabellarische Darstellung der Kaplan-Meier-Schätzwerte mit Konfidenzintervallen (KI) für das Gesamtüberleben für C15 - Ösophagus stratifiziert nach Geschlecht . . . . .	70
9.30	Tabellarische Darstellung der Kaplan-Meier-Schätzwerte mit Konfidenzintervallen (KI) für das Gesamtüberleben für C15 - Ösophagus stratifiziert nach Alter bei Diagnose . . . . .	70
9.31	Tabellarische Darstellung der Kaplan-Meier-Schätzwerte mit Konfidenzintervallen (KI) für das Gesamtüberleben für C25 - Pankreas der Einrichtung und Referenz . . . . .	71
9.32	Tabellarische Darstellung der Kaplan-Meier-Schätzwerte mit Konfidenzintervallen (KI) für das Gesamtüberleben für C25 - Pankreas stratifiziert nach UICC-Klassifikation . . . . .	71
9.33	Tabellarische Darstellung der Kaplan-Meier-Schätzwerte mit Konfidenzintervallen (KI) für das Gesamtüberleben für C25 - Pankreas stratifiziert nach Geschlecht . . . . .	72
9.34	Tabellarische Darstellung der Kaplan-Meier-Schätzwerte mit Konfidenzintervallen (KI) für das Gesamtüberleben für C25 - Pankreas stratifiziert nach Alter bei Diagnose . . . . .	72

10.1 Anzahl der gemeldeten Diagnosen, therapeutischen Behandlungen und Verläufe für C81-C96 - lymph., blutbd. u. verw. Gewebes . . . . .	73
10.2 Qualität und Vollständigkeit von Diagnose- und Histologiemerkmalen im Zeitverlauf (REF - Referenz) . . . . .	74
10.3 Operation - Qualität und Vollständigkeit von Merkmalen im Zeitverlauf (REF - Referenz) . . . . .	75
10.4 Systemtherapie - Qualität und Vollständigkeit von Therapiemerkmalen im Zeitverlauf . . . . .	75
10.5 ICD-10 - Absolute und relative Häufigkeiten der Tumorentitäten im Zeitverlauf (basierend auf Diagnosejahr) . . . . .	76
10.6 Histologie-Übersicht für C91 - lymphatische Leukämie - absolute Häufigkeiten der Tumorhistologien stratifiziert (nach ENCR 2017, NCT 2018) für einzelne Berichtsjahre . . . . .	77
10.7 Histologie-Übersicht für C90 - Plasmoz. u. Plasmaz.-Nbldg. - absolute Häufigkeiten der Tumorhistologien stratifiziert (nach ENCR 2017, NCT 2018) für einzelne Berichtsjahre . . . . .	78
10.8 Histologie-Übersicht für C83 - nicht folliculäres Lymph. - absolute Häufigkeiten der Tumorhistologien stratifiziert (nach ENCR 2017, NCT 2018) für einzelne Berichtsjahre . . . . .	78
10.9 Histologie-Übersicht für C92 - myeloische Leukämie - absolute Häufigkeiten der Tumorhistologien stratifiziert (nach ENCR 2017, NCT 2018) für einzelne Berichtsjahre . . . . .	78
10.10 Histologie-Übersicht für C82 - folliculäres Lymph. - absolute Häufigkeiten der Tumorhistologien stratifiziert (nach ENCR 2017, NCT 2018) für einzelne Berichtsjahre . . . . .	79
10.11 Absolute Häufigkeit der Tumorfälle je Wohnort (Bundeslandsebene) und pro Berichtsjahr (Diagnosejahr) . . . . .	83
10.12 Beschreibung des Patientenkollektivs: Charakteristika der eingeschlossenen Patienten für die Überlebensanalysen ('overall' - alle; einzelne ICD-10 (n >= 50)) . . . . .	84
10.13 Tabellarische Darstellung der Kaplan-Meier-Schätzwerte mit Konfidenzintervallen (KI) für das Gesamtüberleben für C91 - lymphatische Leukämie der Einrichtung und Referenz . . . . .	85
10.14 Tabellarische Darstellung der Kaplan-Meier-Schätzwerte mit Konfidenzintervallen (KI) für das Gesamtüberleben für C91 - lymphatische Leukämie stratifiziert nach Geschlecht . . . . .	85
10.15 Tabellarische Darstellung der Kaplan-Meier-Schätzwerte mit Konfidenzintervallen (KI) für das Gesamtüberleben für C91 - lymphatische Leukämie stratifiziert nach Alter bei Diagnose . . . . .	86
10.16 Tabellarische Darstellung der Kaplan-Meier-Schätzwerte mit Konfidenzintervallen (KI) für das Gesamtüberleben für C90 - Plasmoz. u. Plasmaz.-Nbldg. der Einrichtung und Referenz . . . . .	87
10.17 Tabellarische Darstellung der Kaplan-Meier-Schätzwerte mit Konfidenzintervallen (KI) für das Gesamtüberleben für C90 - Plasmoz. u. Plasmaz.-Nbldg. stratifiziert nach Geschlecht . . . . .	87
10.18 Tabellarische Darstellung der Kaplan-Meier-Schätzwerte mit Konfidenzintervallen (KI) für das Gesamtüberleben für C90 - Plasmoz. u. Plasmaz.-Nbldg. stratifiziert nach Alter bei Diagnose . . . . .	88
10.19 Tabellarische Darstellung der Kaplan-Meier-Schätzwerte mit Konfidenzintervallen (KI) für das Gesamtüberleben für C83 - nicht folliculäres Lymph. der Einrichtung und Referenz . . . . .	89
10.20 Tabellarische Darstellung der Kaplan-Meier-Schätzwerte mit Konfidenzintervallen (KI) für das Gesamtüberleben für C83 - nicht folliculäres Lymph. stratifiziert nach Geschlecht . . . . .	90
10.21 Tabellarische Darstellung der Kaplan-Meier-Schätzwerte mit Konfidenzintervallen (KI) für das Gesamtüberleben für C83 - nicht folliculäres Lymph. stratifiziert nach Alter bei Diagnose . . . . .	90
 11.1 Anzahl der gemeldeten Diagnosen, therapeutischen Behandlungen und Verläufe für C60-C63 - männliche Genitalorgane . . . . .	91
11.2 Qualität und Vollständigkeit von Diagnose- und Histologiemerkmalen im Zeitverlauf (REF - Referenz) . . . . .	92
11.3 Systemtherapie - Qualität und Vollständigkeit von Therapiemerkmalen im Zeitverlauf . . . . .	93
11.4 ICD-10 - Absolute und relative Häufigkeiten der Tumorentitäten im Zeitverlauf (basierend auf Diagnosejahr) . . . . .	93
11.5 Histologie-Übersicht für C61 - Prostata - absolute Häufigkeiten der Tumorhistologien stratifiziert (nach ENCR 2017, NCT 2018) für einzelne Berichtsjahre . . . . .	94
11.6 Absolute und relative Häufigkeiten der Tumorfälle mit primärer Metastasierung nach ICD-10 und Zeitraum . . . . .	98
11.7 Absolute Häufigkeit der Lokalisation primärer Metastasen (stratifiziert nach ICD-10) . . . . .	98
11.8 Absolute Häufigkeit der Tumorfälle je Wohnort (Bundeslandsebene) und pro Berichtsjahr (Diagnosejahr) . . . . .	100
11.9 Beschreibung des Patientenkollektivs: Charakteristika der eingeschlossenen Patienten für die Überlebensanalysen ('overall' - alle; einzelne ICD-10 (n >= 50)) . . . . .	101

11.10 Tabellarische Darstellung der Kaplan-Meier-Schätzwerte mit Konfidenzintervallen (KI) für das Gesamtüberleben für C61 - Prostata der Einrichtung und Referenz . . . . .	102
11.11 Tabellarische Darstellung der Kaplan-Meier-Schätzwerte mit Konfidenzintervallen (KI) für das Gesamtüberleben für C61 - Prostata stratifiziert nach UICC-Klassifikation . . . . .	102
11.12 Tabellarische Darstellung der Kaplan-Meier-Schätzwerte mit Konfidenzintervallen (KI) für das Gesamtüberleben für C61 - Prostata stratifiziert nach Geschlecht . . . . .	103
11.13 Tabellarische Darstellung der Kaplan-Meier-Schätzwerte mit Konfidenzintervallen (KI) für das Gesamtüberleben für C61 - Prostata stratifiziert nach Alter bei Diagnose . . . . .	103
 12.1 Anzahl der gemeldeten Diagnosen, therapeutischen Behandlungen und Verläufe für C43-C44 - Melanom u. sonst. bösart. Neubldg. d. Haut . . . . .	104
12.2 Qualität und Vollständigkeit von Diagnose- und Histologiemerkmalen im Zeitverlauf (REF - Referenz) . . . . .	105
12.3 Operation - Qualität und Vollständigkeit von Merkmalen im Zeitverlauf (REF - Referenz) . . . . .	106
12.4 Systemtherapie - Qualität und Vollständigkeit von Therapiemerkmalen im Zeitverlauf . . . . .	106
12.5 ICD-10 - Absolute und relative Häufigkeiten der Tumorentitäten im Zeitverlauf (basierend auf Diagnosejahr) . . . . .	107
12.6 Histologie-Übersicht für C43 - malignes Melanom d. Haut - absolute Häufigkeiten der Tumorhistologien stratifiziert (nach ENCR 2017, NCT 2018) für einzelne Berichtsjahre . . . . .	108
12.7 Absolute und relative Häufigkeiten der Tumorfälle mit primärer Metastasierung nach ICD-10 und Zeitraum . . . . .	112
12.8 Absolute Häufigkeit der Lokalisation primärer Metastasen (stratifiziert nach ICD-10) . . . . .	112
12.9 Absolute Häufigkeit der Tumorfälle je Wohnort (Bundeslandsebene) und pro Berichtsjahr (Diagnosejahr) . . . . .	114
12.10 Beschreibung des Patientenkollektivs: Charakteristika der eingeschlossenen Patienten für die Überlebensanalysen ('overall' - alle; einzelne ICD-10 (n >= 50)) . . . . .	115
12.11 Tabellarische Darstellung der Kaplan-Meier-Schätzwerte mit Konfidenzintervallen (KI) für das Gesamtüberleben für C43 - malignes Melanom d. Haut der Einrichtung und Referenz . . . . .	116
12.12 Tabellarische Darstellung der Kaplan-Meier-Schätzwerte mit Konfidenzintervallen (KI) für das Gesamtüberleben für C43 - malignes Melanom d. Haut stratifiziert nach UICC-Klassifikation . . . . .	116
12.13 Tabellarische Darstellung der Kaplan-Meier-Schätzwerte mit Konfidenzintervallen (KI) für das Gesamtüberleben für C43 - malignes Melanom d. Haut stratifiziert nach Geschlecht . . . . .	117
12.14 Tabellarische Darstellung der Kaplan-Meier-Schätzwerte mit Konfidenzintervallen (KI) für das Gesamtüberleben für C43 - malignes Melanom d. Haut stratifiziert nach Alter bei Diagnose . . . . .	117

## Abbildungsverzeichnis

2.1	Zeitlicher Trend der Häufigkeiten von gemeldeten Tumorerkrankungen (Diagnosen) und therapeutischen Behandlungen	17
7.1	Geschlechterverhältnis (männlich / weiblich) der Tumorfälle für die vorkommenden Tumorentitätengruppen (nach ICD-10)	29
7.2	Geschlechterverhältnis (männlich / weiblich) der Tumorfälle für die vorkommenden Tumorentitätengruppen (nach ICD-10) - aktuelles Berichtsjahr	29
7.3	Altersverteilung und stat. Parameter - a) 5-Jahres Berichtszeitraum (2020 - 2024); b) aktuelles Berichtsjahr	30
7.4	Altersverteilung für die 5 häufigsten Tumorentitätengruppen (nach ICD-10) je Geschlecht - a) 5-Jahres Berichtszeitraum (2020 - 2024); b) aktuelles Berichtsjahr	31
7.5	Prozentuale Darstellung des Wohnorts der Patienten zum Zeitpunkt der Diagnose für Brandenburg (Gemeindeebene) und Berlin (LOR) (mit mindestens 5 Fällen) - 5-Jahres Berichtszeitraum (2020 - 2024)	32
8.1	Histopathologisches Grading für den 5-Jahres Berichtszeitraum (2020 - 2024) - absolute und relative Häufigkeiten der Differenzierungsgrade	39
8.2	Stadienverteilung nach UICC für invasive Tumorentitäten (TNM-pflichtig) für den 5-Jahres Berichtszeitraum (2020 - 2024) - absolute und relative Häufigkeiten der Differenzierungsgrade	40
8.3	TNM - Verteilung der TNM-Kategorien der 10 häufigsten invasiven Tumorentitätengruppen (TNM-pflichtig)	41
8.4	Geschlechterverhältnis (männlich / weiblich) der Tumorfälle für die Tumorentitäten (nach ICD-10)5-Jahres Berichtszeitraum (2020 - 2024)	43
8.5	Altersverteilung der vorkommenden Tumorentitäten (nach ICD-10) je Geschlecht	43
8.6	Prozentuale Darstellung des Wohnorts der Patienten zum Zeitpunkt der Diagnose für Brandenburg (Gemeindeebene) und Berlin (LOR) (mit mindestens 5 Fällen) - 5-Jahres Berichtszeitraum (2020 - 2024)	44
8.7	Darstellung des absoluten Überlebens (Kaplan-Meier-Schätzer) für C50 - Brustdrüse - a) im Vergleich zur Referenz, b) nach UICC-Klassifikation	46
8.8	Darstellung des absoluten Überlebens (Kaplan-Meier-Schätzer) für C50 - Brustdrüse - a) nach Geschlecht, b) nach Alter bei Diagnose in Gruppen	47
9.1	Histopathologisches Grading für den 5-Jahres Berichtszeitraum (2020 - 2024) - absolute und relative Häufigkeiten der Differenzierungsgrade	56
9.2	Stadienverteilung nach UICC für invasive Tumorentitäten (TNM-pflichtig) für den 5-Jahres Berichtszeitraum (2020 - 2024) - absolute und relative Häufigkeiten der Differenzierungsgrade	57
9.3	TNM - Verteilung der TNM-Kategorien der 10 häufigsten invasiven Tumorentitätengruppen (TNM-pflichtig)	58
9.4	Geschlechterverhältnis (männlich / weiblich) der Tumorfälle für die Tumorentitäten (nach ICD-10)5-Jahres Berichtszeitraum (2020 - 2024)	60
9.5	Altersverteilung der vorkommenden Tumorentitäten (nach ICD-10) je Geschlecht	60
9.6	Prozentuale Darstellung des Wohnorts der Patienten zum Zeitpunkt der Diagnose für Brandenburg (Gemeindeebene) und Berlin (LOR) (mit mindestens 5 Fällen) - 5-Jahres Berichtszeitraum (2020 - 2024)	61
9.7	Darstellung des absoluten Überlebens (Kaplan-Meier-Schätzer) für C18 - Kolon - a) im Vergleich zur Referenz, b) nach UICC-Klassifikation	63
9.8	Darstellung des absoluten Überlebens (Kaplan-Meier-Schätzer) für C18 - Kolon - a) nach Geschlecht, b) nach Alter bei Diagnose in Gruppen	64
9.9	Darstellung des absoluten Überlebens (Kaplan-Meier-Schätzer) für C20 - Rektum - a) im Vergleich zur Referenz, b) nach UICC-Klassifikation	65
9.10	Darstellung des absoluten Überlebens (Kaplan-Meier-Schätzer) - a) nach Geschlecht, b) nach Alter bei Diagnose in Gruppen	66
9.11	Darstellung des absoluten Überlebens (Kaplan-Meier-Schätzer) für C16 - Magen - a) im Vergleich zur Referenz, b) nach UICC-Klassifikation	67

9.12 Darstellung des absoluten Überlebens (Kaplan-Meier-Schätzer) für C16 - Magen - a) nach Geschlecht, b) nach Alter bei Diagnose in Gruppen . . . . .	68
9.13 Darstellung des absoluten Überlebens (Kaplan-Meier-Schätzer) für C15 - Ösophagus - a) im Vergleich zur Referenz, b) nach UICC-Klassifikation . . . . .	69
9.14 Darstellung des absoluten Überlebens (Kaplan-Meier-Schätzer) für C15 - Ösophagus - a) nach Geschlecht, b) nach Alter bei Diagnose in Gruppen . . . . .	70
9.15 Darstellung des absoluten Überlebens (Kaplan-Meier-Schätzer) für C25 - Pankreas - a) im Vergleich zur Referenz, b) nach UICC-Klassifikation . . . . .	71
9.16 Darstellung des absoluten Überlebens (Kaplan-Meier-Schätzer) für C25 - Pankreas - a) nach Geschlecht, b) nach Alter bei Diagnose in Gruppen . . . . .	72
 10.1 Histopathologisches Grading für den 5-Jahres Berichtszeitraum (2020 - 2024) - absolute und relative Häufigkeiten der Differenzierungsgrade . . . . .	80
10.2 Stadienverteilung nach UICC für invasive Tumorentitäten (TNM-pflichtig) für den 5-Jahres Berichtszeitraum (2020 - 2024) - absolute und relative Häufigkeiten der Differenzierungsgrade . . . . .	81
10.3 Geschlechterverhältnis (männlich / weiblich) der Tumorfälle für die Tumorentitäten (nach ICD-10)5-Jahres Berichtszeitraum (2020 - 2024) . . . . .	82
10.4 Altersverteilung der vorkommenden Tumorentitäten (nach ICD-10) je Geschlecht . . . . .	82
10.5 Prozentuale Darstellung des Wohnorts der Patienten zum Zeitpunkt der Diagnose für Brandenburg (Gemeindeebene) und Berlin (LOR) (mit mindestens 5 Fällen) - 5-Jahres Berichtszeitraum (2020 - 2024) . . . . .	83
10.6 Darstellung des absoluten Überlebens (Kaplan-Meier-Schätzer) für C91 - lymphatische Leukämie - a) im Vergleich zur Referenz, b) nach UICC-Klassifikation . . . . .	85
10.7 Darstellung des absoluten Überlebens (Kaplan-Meier-Schätzer) für C91 - lymphatische Leukämie - a) nach Geschlecht, b) nach Alter bei Diagnose in Gruppen . . . . .	86
10.8 Darstellung des absoluten Überlebens (Kaplan-Meier-Schätzer) für C90 - Plasmoz. u. Plasmaz.-Nbldg. - a) im Vergleich zur Referenz, b) nach UICC-Klassifikation . . . . .	87
10.9 Darstellung des absoluten Überlebens (Kaplan-Meier-Schätzer) - a) nach Geschlecht, b) nach Alter bei Diagnose in Gruppen . . . . .	88
10.10 Darstellung des absoluten Überlebens (Kaplan-Meier-Schätzer) für C83 - nicht folliculäres Lymph. - a) im Vergleich zur Referenz, b) nach UICC-Klassifikation . . . . .	89
10.11 Darstellung des absoluten Überlebens (Kaplan-Meier-Schätzer) für C83 - nicht folliculäres Lymph. - a) nach Geschlecht, b) nach Alter bei Diagnose in Gruppen . . . . .	89
 11.1 Histopathologisches Grading für den 5-Jahres Berichtszeitraum (2020 - 2024) - absolute und relative Häufigkeiten der Differenzierungsgrade . . . . .	95
11.2 Stadienverteilung nach UICC für invasive Tumorentitäten (TNM-pflichtig) für den 5-Jahres Berichtszeitraum (2020 - 2024) - absolute und relative Häufigkeiten der Differenzierungsgrade . . . . .	96
11.3 TNM - Verteilung der TNM-Kategorien der 10 häufigsten invasiven Tumorentitätengruppen (TNM-pflichtig) . . . . .	97
11.4 Geschlechterverhältnis (männlich / weiblich) der Tumorfälle für die Tumorentitäten (nach ICD-10)5-Jahres Berichtszeitraum (2020 - 2024) . . . . .	99
11.5 Altersverteilung der vorkommenden Tumorentitäten (nach ICD-10) je Geschlecht . . . . .	99
11.6 Prozentuale Darstellung des Wohnorts der Patienten zum Zeitpunkt der Diagnose für Brandenburg (Gemeindeebene) und Berlin (LOR) (mit mindestens 5 Fällen) - 5-Jahres Berichtszeitraum (2020 - 2024) . . . . .	100
11.7 Darstellung des absoluten Überlebens (Kaplan-Meier-Schätzer) für C61 - Prostata - a) im Vergleich zur Referenz, b) nach UICC-Klassifikation . . . . .	102
11.8 Darstellung des absoluten Überlebens (Kaplan-Meier-Schätzer) für C61 - Prostata - a) nach Geschlecht, b) nach Alter bei Diagnose in Gruppen . . . . .	103
 12.1 Histopathologisches Grading für den 5-Jahres Berichtszeitraum (2020 - 2024) - absolute und relative Häufigkeiten der Differenzierungsgrade . . . . .	109
12.2 Stadienverteilung nach UICC für invasive Tumorentitäten (TNM-pflichtig) für den 5-Jahres Berichtszeitraum (2020 - 2024) - absolute und relative Häufigkeiten der Differenzierungsgrade . . . . .	110
12.3 TNM - Verteilung der TNM-Kategorien der 10 häufigsten invasiven Tumorentitätengruppen (TNM-pflichtig) . . . . .	111
12.4 Geschlechterverhältnis (männlich / weiblich) der Tumorfälle für die Tumorentitäten (nach ICD-10)5-Jahres Berichtszeitraum (2020 - 2024) . . . . .	113

12.5 Altersverteilung der vorkommenden Tumorentitäten (nach ICD-10) je Geschlecht . . . . .	113
12.6 Prozentuale Darstellung des Wohnorts der Patienten zum Zeitpunkt der Diagnose für Brandenburg (Gemeindeebene) und Berlin (LOR) (mit mindestens 5 Fällen) - 5-Jahres Berichtszeitraum (2020 - 2024) . . . . .	114
12.7 Darstellung des absoluten Überlebens (Kaplan-Meier-Schätzer) für C43 - malignes Melanom d. Haut - a) im Vergleich zur Referenz, b) nach UICC-Klassifikation . . . . .	116
12.8 Darstellung des absoluten Überlebens (Kaplan-Meier-Schätzer) für C43 - malignes Melanom d. Haut - a) nach Geschlecht, b) nach Alter bei Diagnose in Gruppen . . . . .	117

## 1 | Einleitung

Das **Klinisch-epidemiologische Krebsregister Brandenburg-Berlin (KKRBB)** (<https://kkrrb.de/>) erhebt Daten zum Verlauf von Krebserkrankungen und wertet sie aus, damit die onkologische Versorgung in Deutschland dargestellt und Ansätze für Verbesserungen detektiert werden können. Alle Ärzte, die an der Behandlung von Krebspatienten beteiligt sind – vom Hausarzt über den Pathologen bis hin zum Facharzt –, melden dem **KKRBB** Daten zum Krankheits- und Behandlungsverlauf der Krebserkrankung. Das **KKRBB** ist für Sie sowohl der Ansprechpartner als auch der Lieferant für objektive und exakte Daten und aggregierte Auswertungen, um das regionale Krebsgeschehen im Raum Brandenburg und Berlin sowie die aktuelle onkologische Versorgungsqualität abzubilden, die auch Einfluss auf die Lebensqualität von Patienten in der Region Brandenburg-Berlin hat. Ziel ist es, die Versorgungsqualität in der Region Brandenburg-Berlin stetig zu verbessern.

Mit unseren *Medien*, u. a. mit den interaktiven und entitätspezifischen Berichten oder mit dem hier vorliegenden Praxis-Rückmeldebericht, möchten wir Ihnen die von Ihnen an das **KKRBB** übermittelten und dort dokumentierten Meldungen zu meldepflichtigen Krebserkrankungen im Raum Brandenburg-Berlin in aggregierter und aufbereiteter Form zurückspiegeln. Die vielschichtigen Auswertungen unseres **Best-of-Datensatzes**, d. h. der Datensatz besteht aus allen zusammengeführten Daten eines Tumorfalles bezüglich aller Informationen von Diagnosen und therapeutischen Behandlungen, gemeldet von einem oder mehreren an der Behandlung des Patienten beteiligtem Meldern, soll Ihnen helfen, einen Einblick über das gesamte Tumorgeschehen Ihrer Patienten zu bekommen.

### Hintergrund

Im April 2013 trat auf Bundesebene das *Krebsfrüherkennungs- und -registergesetz (KFRG)* in Kraft und regelt seitdem die bundesweite klinische Krebsregistrierung. Ziel dieses Gesetzes ist die Sicherstellung einer einheitlichen und systematischen Erhebung onkologisch wertvoller Daten, um in Zukunft die Qualität der onkologischen Versorgung von Krebspatienten nachhaltig zu verbessern. Die landesgesetzliche Grundlage für die Länder Brandenburg und Berlin ist der am 01.07.2016 in Kraft getretene und zum 01.01.2023 novellierte Staatsvertrag zwischen dem Land Brandenburg und dem Land Berlin über die Errichtung und den Betrieb eines klinischen Krebsregisters nach § 65c des Fünften Buches Sozialgesetzbuch.

Auf Basis dieses Vertrages werden dem **KKRBB** von Leistungserbringern in Brandenburg und Berlin für Patienten mit Hauptwohnsitz in der Bundesrepublik Deutschland die definierten, meldepflichtigen Angaben zu Tumorerkrankungen entsprechend der Meldeanlässe übermittelt.

### Praxis-Rückmeldebericht

Dieser Praxis-Rückmeldebericht wurde für folgende Ihrer Einrichtungen erstellt:

- **Mustereinrichtung**

Dieser Bericht umfasst Auswertungen zu meldepflichtigen Krebserkrankungen, an denen Ihre Einrichtung mit mindestens einer Leistung mit gesetzlichem Meldeanlass im Rahmen der Diagnosestellung oder Therapie beteiligt waren und die dem **KKRBB** von Ihnen oder einem weiteren, an der Behandlung beteiligtem Melder, gemeldet wurden.

Die Referenz, die in diesem Bericht zu Vergleichen Ihrer Einrichtung herangezogen wird, setzt sich aus Tumorerkrankungsfällen zusammen, die innerhalb von Referenzeinrichtungen diagnostiziert und/oder therapiert worden sind.

Folgende Einschlusskriterien wurden zur Auswahl der Referenzeinrichtungen gesetzt:

- Referenz-Typ: Fachgebiet
- Referenz-Bundesland: Berlin
- Fachgebiet: Innere Medizin

## Datensatz und Berichtszeitraum

Der zugrundeliegende Datensatz umfasst die wichtigsten tumorrelevanten Merkmale, die im *bundeseinheitlichen onkologischen Basisdatensatz* (oBDS) und seinen organspezifischen Zusatzmodulen (Kolorektales Karzinom, Mammakarzinom, Prostatakarzinom und Malignes Melanom) enthalten sind. Alle gemeldeten Daten eines Tumorfalles, also auch Meldungen von anderen an der Diagnose oder Therapie der Krebserkrankung beteiligten Ärzten, werden im KKRBB zu einem **Best-of-Datensatz** zusammengeführt und durch registereigene Recherchen ergänzt.

Der **Dokumentationsstand** der Daten, auf dem die Auswertungen dieses Berichts basieren, ist der 31.10.2025. Das bedeutet, in den Auswertungen sind nur Tumorfälle und deren Therapien berücksichtigt, die zu diesem Zeitpunkt im Tumordokumentationssystem des KKRBB erfasst sind.

Das **aktuelle Berichtsjahr** dieses Rückmeldeberichts ist das Jahr **2024** (01.01.2024 bis 31.12.2024). Insgesamt werden neben dem *aktuellen Berichtsjahr* zwei weitere Zeiträume in der Betrachtung unterschieden. Zum einen den **gesamte Berichtszeitraum** (01.01.2017 bis 31.12.2024) und zum anderen den **5-Jahres Berichtszeitraum** (01.01.2020 bis 31.12.2024).

**Hinweis:** In allen Auswertungen des Praxis-Rückmeldeberichts sind nur Patienten berücksichtigt, die

- zum Zeitpunkt der Diagnosestellung mindestens 18 Jahre alt waren
- deren Diagnosen nach KFRG meldepflichtig sind

Bitte beachten Sie, dass die Zählweise von Tumorfällen im Praxis-Rückmeldebericht vom Regelwerk der Fallzählung für die DKG-Zertifizierung abweicht und daher keine direkte Vergleichbarkeit gegeben ist. Bei Fragen bezüglich DKG-Zertifizierung und onkologische Zentrenauswertung (OnkoZert) wenden Sie sich bitte an unsere Kollegin Frau Dr. Rita Schüler (Telefon: 030 21993217, E-Mail: Rita.Schueler@kkrrb.de).

Diese Version des Praxis-Rückmeldeberichts setzt sich aus folgenden Teilen zusammen:

- Teil I **“Anzahl der gemeldeten Diagnosen und Therapien”** gibt Ihnen einen Überblick über die von Ihrer Einrichtung an das KKRBB übermittelten Meldungen zu Diagnosen und therapeutischen Behandlungen mit einem Leistungsdatum im gesamten Berichtszeitraum von 2017 bis 2024.
- Teil II **“Vollständigkeit der gemeldeten Diagnosen und Therapien”** listet Ihnen die Vollständigkeit der gemeldeten Therapiemaßnahmen bezüglich verschiedener auswertungsrelevanter Merkmale auf und analysiert den Verlauf der Vollständigkeit über den Berichtszeitraum von 2017 bis 2024.
- Teil III **“Tumordiagnose und Patientenstruktur”** beinhaltet Informationen zur Tumordiagnose und zur Patientenstruktur, der in Ihrem Hause entweder diagnostizierten und / oder im Rahmen der Therapie behandelten Tumorfälle bzw. Patienten.
- Teil IV **“Entitätspezifische Analysen und Darstellungen”** listet für Entitätengruppen spezifisch Fallzahlen, Vollständigkeit, Tumoreigenschaften und Patientenstruktur, als auch Überlebensanalysen.

## Software

Dieser Praxis-Rückmeldebericht wurde im Open Source R Paket bookdown (version 0.34) ([www.bookdown.org](http://www.bookdown.org)) unter Nutzung von RStudio ([www.rstudio.com](http://www.rstudio.com)) verfasst. Bei der Erstellung dieser Version des Praxis-Rückmeldeberichts wurden R (R version 4.3.0 (2023-04-21 ucrt)) ([www.r-project.org](http://www.r-project.org)) sowie das Softwarepaket LaTeX ([www.latex-project.org](http://www.latex-project.org)) unter Benutzung des Textsatzsystems TeX verwendet.

Alle in diesem Praxis-Rückmeldebericht vorkommenden kartographischen Darstellungen basieren auf 1.) den vom *Bundesamt für Kartographie und Geodäsie* bereitgestellten Geobasisdaten (© GeoBasis-DE / BKG 2023 (2023), Bundesamt für Kartographie und Geodäsie (Frankfurt am Main) (<http://www.bkg.bund.de>), dl-de/by-2 (<https://www.govdata.de/dl-de/by-2-0>)) mit dem Datenstand von Januar 2023, sowie 2.) auf denen vom *Amt für Statistik Berlin-Brandenburg* bereitgestellten Geodaten zu *Lebensweltlich orientierten Räumen* (LOR) in Berlin (<https://www.berlin.de/sen/sbw/stadtdata/stadtwissen/sozialraumorientierte-planungsgrundlagen/lebensweltlich-orientierte-raeume/>).

## TEIL I

### ANZAHL DER GEMELDETOEN DIAGNOSEN UND THERAPIEN



**Teil I** dieses Rückmeldeberichtes stellt Ihnen eine Übersicht über die von Ihnen für den gesamten Berichtszeitraum von 2017 bis 2024 an das KKRBB übermittelten und dort dokumentierten Meldungen zu Diagnosen, Therapien und Verläufen im Rahmen einer meldepflichtigen Tumorerkrankung zur Verfügung. Unter dem Begriff "*Therapien*" werden alle therapeutischen Behandlungen (Operation, Strahlentherapie, systemische und abwartende Therapie) von Tumorerkrankungen zusammengefasst.

**Hinweis:** Bitte beachten Sie bei der Interpretation der Ergebnisse folgende Punkte:

- in diesem Teil des Berichtes wird keine Unterscheidung zwischen Primär- und Rezidivtherapie vorgenommen;
- bei der Auswertung von *Operationen* sind aktuell die kurativen und palliativen Operationen, aber auch diagnostische und Operationen nach Komplikationen mit eingeschlossen;
- unter *Strahlentherapie* sind sowohl strahlentherapeutische Anwendungen als auch nuklearmedizinische Therapien mitinbegriffen;
- unter "*abwartender Therapie*" fassen wir *Active Surveillance* und *Wait and see* beim Prostata-Karzinom und anderen Tumoren zusammen.

## 2 | Überblick

### 2.1. Allgemeine Informationen

Von Ihrer Einrichtung (Mustereinrichtung in Berlin) wurden im 5-Jahres Berichtszeitraum von **2020 bis 2024** insgesamt **4.259** Diagnosen und **3.436** therapeutische Behandlungen zu meldepflichtigen Tumorerkrankungen an das KKRBB übermittelt und dort verarbeitet (*Datenstand: 31.10.2025*).

**Tabelle 2.1** fasst die Anzahl der neu diagnostizierten Fälle und therapeutischen Behandlungen (einzelner oder mehrerer Therapieanwendungen) nach Art der Therapie (Operation, Strahlentherapie, systemische Therapie oder abwartende Therapie) für Ihre Einrichtung über den gesamten Berichtszeitraum (2017 bis 2024), den 5-Jahres Berichtszeitraum (2020 bis 2024), als auch für das aktuelle Berichtsjahr (2024) zusammen. Dabei wird bei „*Anzahl der Behandlungen*“ jede dokumentierte Therapie, also unter Umständen auch mehrere pro Tumorfall, gezählt. Dementgegen wird bei „*Anzahl der Fälle*“ der Tumorfall pro Therapieart aufsummiert, wobei jede Tumorerkrankung eines Patienten als ein separater Fall definiert ist.

Zudem zeigt Ihnen **Tabelle 2.1** zum Vergleich zu anderen Einrichtungen der Referenz (sowohl für „*Anzahl der Behandlungen*“ als auch für „*Anzahl der Fälle*“) den prozentualen Anteil Ihrer Einrichtung an den entsprechenden Gesamtzahlen.

Tabelle 2.1: Anzahl der gemeldeten Diagnosen, therapeutischen Behandlungen und Verläufe (REF - Referenz)

TYP	Anzahl der Behandlungen		Anzahl der Fälle	
	Einrichtung	REF	Einrichtung	REF
5-Jahres Berichtszeitraum (2020 - 2024)				
Diagnose			4259	27.32%
therapeutische Behandlungen	3436	10.88%	2574	12.26%
Operation	325	59.96%	307	61.65%
Strahlentherapie	0	0.00%	0	0.00%
Systemtherapie	3015	10.02%	2189	11.03%
abwartende Therapie	66	11.74%	66	11.74%
Verlauf	2229	20.24%	1686	21.74%
Gesamt			6598	20.00%
Aktuelles Berichtsjahr (2024)				
Diagnose			799	28.16%
therapeutische Behandlungen	554	11.19%	473	12.04%
Operation	99	89.19%	93	88.57%
Strahlentherapie	0	0.00%	0	0.00%
Systemtherapie	452	9.63%	377	10.17%
abwartende Therapie	2	2.30%	2	2.30%
Verlauf	865	30.19%	831	32.32%
Gesamt			1796	24.06%

Anmerkung: Gesamt = Fall mit Diagnose oder Therapie in der Einrichtung; aktueller Datenstand: 31.10.2025

Im weiteren Verlauf des Praxis-Rückmeldeberichts werden die *abwartenden Therapien* aufgrund der geringen Häufigkeit vorerst nicht weiter betrachtet.

### 2.2. Zeitlicher Verlauf

**Abbildung 2.1 (a)** veranschaulicht Ihnen für die einzelnen Berichtsjahre des 5-Jahres Berichtszeitraum (2020 - 2024) die absoluten Häufigkeiten von Diagnosen und therapeutischen Behandlungen (Operation, Strahlentherapie und Systemtherapie) von meldepflichtigen Tumorerkrankungen nach dem Jahr der Leistungserbringung (Berichtszeitraum). Zusätzlich wird Ihnen in **Abbildung 2.1 (b)** der prozentuale Anteil Ihrer Einrichtung (dunkler Farbton) an den Gesamtzahlen der Referenz (heller Farbton) nach Jahr des untersuchten Zeitraumes dargestellt.

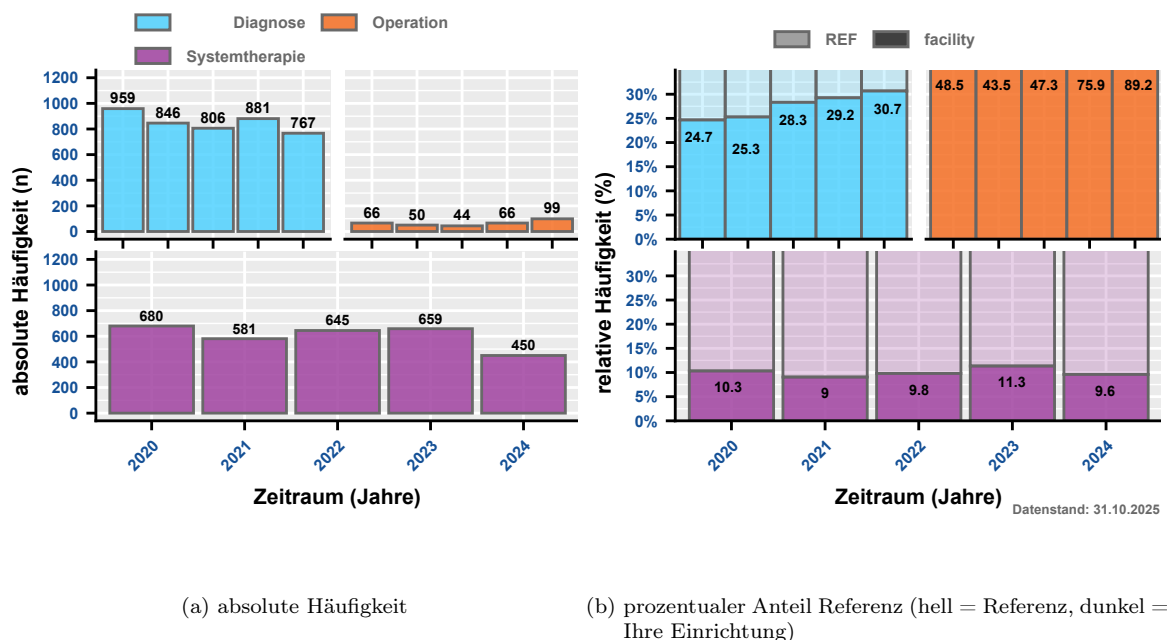


Abbildung 2.1: Zeitlicher Trend der Häufigkeiten von gemeldeten Tumorerkrankungen (Diagnosen) und therapeutischen Behandlungen

## TEIL II

# QUALITÄT UND VOLLSTÄNDIGKEIT DER GEMELDETOEN DIAGNOSEN UND THERAPIEN



 klinisch-epidemiologisches  
krebsregister  
Brandenburg-Berlin

Teil II „Qualität und Vollständigkeit“ des Praxis-Rückmeldeberichts analysiert die Vollständigkeit sowie die Qualität der im 5-Jahres Berichtszeitraum (2020 bis 2024) an das KKRBB gesandten Meldungen zu tumorrelevanten Diagnosen und Behandlungen bezüglich der in Ihrer Einrichtung diagnostizierten und / oder therapierten Krebserkrankungen. Die folgenden zwei Kapitel enthalten u. a. Analysen zur Vollständigkeit von meldepflichtigen Merkmalen des oBDS sowie zur Meldequalität einzelner Merkmale.

Bitte beachten Sie bei der Beurteilung der Analyseergebnisse, dass es sich bei den verwendeten Datensätzen um Best-of-Datensätze handelt, d. h., dass diese Datensätze durch weitere Meldungen von an der Therapie beteiligten Ärzte oder durch registrierte Recherchen ergänzt worden sind. Das bedeutet, dass die hier präsentierten Ergebnisse nur mit dieser Einschränkung die Vollständigkeit bzw. Qualität der eingesendeten Meldungen wiederspiegeln. Die Vollständigkeit der Erstmeldung kann geringer als die genannten Zahlen sein.

Dieser Teil des Praxis-Rückmeldeberichts beinhaltet, wenn diese Informationen Ihre Einrichtung betreffen, folgende Kapitel:

- Kapitel 3 „**Vollständigkeit von Diagnose- und Histologiemerkmalen**“ analysiert Vollständigkeit und Qualität von Angaben zur Diagnose und Histologie;
- Kapitel 4 „**Vollständigkeit von Therapiemerkmalen**“ betrachtet Merkmale, die die Vollständigkeit und Qualität von Operationen, Strahlentherapien/Nuklearmedizin und Systemtherapien beschreiben

## 3 | Vollständigkeit von Diagnose- und Histologiemerkmalen

Folgende Merkmale werden bei der Beurteilung der Vollständigkeit bzw. Qualität von Diagnosen und Histologien betrachtet:

- a) **Diagnose-Datum** - Angabe des Diagnose-Datums (ja / nein);
- b) **tagesgenaues Diagnose-Datum** - Angabe des Diagnose-Datums ist tagesgenau (ja / nein);
- c) **Diagnosesicherung** - Angabe des Grades der Diagnosesicherung (ja / nein);
- d) **Diagnosesicherung (histol. od. zytol.)** - Diagnose basiert auf einer histologischen oder zytologischen Sicherung (ja / nein);
- e) **Lokalisation** - Angabe der Lokalisation des Tumors (ja / nein);
- f) **Seitenlokalisation** - Angabe der Seitenlokalisation des Tumors (ja / nein);
- g) **Histologie** - Angabe der Histologie des Tumors bei histologisch oder zytologisch gesicherten Diagnosen (ja / nein);
- h) **Histologie-Schlüssel** - Spezifität des Histologie-Schlüssels bei histologisch oder zytologisch gesicherten Diagnosen (Histologie-Schlüssel o.n.A. oder mit fraglicher Dignität werden ausgeschlossen);
- i) **Histologie-Datum** - Angabe des Histologie-Datums bei histologisch oder zytologisch gesicherten Diagnosen (ja / nein);
- j) **Grading** - Angabe des Gradings von grading-pflichtigen Tumoren (ja / nein);
- k) **UICC-Klassifikation (klin. + pathol.)** - Angabe der UICC-Klassifikation von klinisch oder pathologisch gesicherten, TNM-pflichtigen Tumoren (ja / nein);
- l) **T-Kategorie (klin. + pathol.)** - Angabe der T-Kategorie des TNM von klinisch oder pathologisch gesicherten, TNM-pflichtigen Tumoren (ja / nein);
- m) **N-Kategorie (klin. + pathol.)** - Angabe der N-Kategorie des TNM von klinisch oder pathologisch gesicherten, TNM-pflichtigen Tumoren (ja / nein);
- n) **M-Kategorie (klin. + pathol.)** - Angabe der M-Kategorie des TNM von klinisch oder pathologisch gesicherten, TNM-pflichtigen Tumoren (ja / nein);
- o) **UICC-Klassifikation (klin.)** - Angabe der UICC-Klassifikation von klinisch gesicherten, TNM-pflichtigen Tumoren (ja / nein);
- p) **T-Kategorie (klin.)** - Angabe der T-Kategorie des TNM von klinisch gesicherten, TNM-pflichtigen Tumoren (ja / nein);
- q) **N-Kategorie (klin.)** - Angabe der N-Kategorie des TNM von klinisch gesicherten, TNM-pflichtigen Tumoren (ja / nein);
- r) **M-Kategorie (klin.)** - Angabe der M-Kategorie des TNM von klinisch gesicherten, TNM-pflichtigen Tumoren (ja / nein);
- s) **Allgemeiner Leistungszustand** - Angabe nach ECOG oder Karnofsky (ja/nein)

Das Merkmal **Gesamt** gibt Ihnen die absolute Häufigkeit, der in Ihrer Einrichtung durchgeführten und in unserem Best-of-Datensatz dokumentierten Diagnosen, an (siehe auch Abbildung 2.1 (a)).

**Hinweis:** Folgende Punkte sollten bei der Interpretation dieser Analysen bedacht werden.

Die Berechnung:

- beruht auf einem **Best-of-Datensatz**;
- erfolgt auf Ebene der **Diagnose** und nicht auf Ebene der Meldung;
- von prozentualen Anteilen bezieht sich auf **Gesamt**.

Zudem werden *keine Angaben* oder *unbekannt* (wenn nicht anders in der Merkmalsbeschreibung ausgewiesen) negativ auf die Vollständigkeit bzw. Qualität der Merkmale angerechnet.

### 3.1. Übersicht

**Tabelle 3.1** gibt Ihnen einen Überblick über die Qualität und Vollständigkeit der beschriebenen Diagnose- und Histologiemerkmale für durchgeführte Diagnosen Ihrer Einrichtung sowohl für den 5-Jahres Berichtszeitraum (2020 bis 2024) als auch für die einzelnen Berichtsjahre (basierend auf dem Diagnosejahr). Dargestellt sind für alle Merkmale absolute und relative Häufigkeiten. Zudem zeigt Ihnen **Tabelle 3.1** zur Einordnung der Zahlen Ihrer Einrichtung die prozentualen Ergebnisse der Vollständigkeit der entsprechenden Referenz (REF) für den 5-Jahres Berichtszeitraum (2020 bis 2024).

Tabelle 3.1: Qualität und Vollständigkeit von Diagnose- und Histologiemerkmalen im Zeitverlauf (REF - Referenz)

Merkmalsname	2020	2021	2022	2023	2024	Gesamt	REF
<b>Thematik: DIAGNOSE und HISTOLOGIE</b>							
<b>Gesamt</b>	<b>959</b>	<b>846</b>	<b>806</b>	<b>881</b>	<b>767</b>	<b>4259</b>	
Diagnose-Datum	n 959	n 846	n 806	n 881	n 767	4259	
	% 100.0%	% 100.0%	% 100.0%	% 100.0%	% 100.0%	100.0%	<b>100.0%</b>
tagesgen. Diagnose-Datum	n 912	n 824	n 774	n 860	n 745	4115	
	% 95.1%	% 97.4%	% 96.0%	% 97.6%	% 97.1%	96.6%	<b>94.6%</b>
Diagnosesicherung (DS)	n 959	n 846	n 805	n 881	n 766	4257	
	% 100.0%	% 100.0%	% 99.9%	% 100.0%	% 99.9%	100.0%	<b>100.0%</b>
DS (histol. od. zytol.)	n 945	n 836	n 801	n 876	n 756	4214	
	% 98.5%	% 98.8%	% 99.4%	% 99.4%	% 98.6%	98.9%	<b>94.2%</b>
Lokalisation	n 959	n 846	n 806	n 881	n 767	4259	
	% 100.0%	% 100.0%	% 100.0%	% 100.0%	% 100.0%	100.0%	<b>100.0%</b>
Seitenlokalisation	n 959	n 846	n 806	n 881	n 767	4259	
	% 100.0%	% 100.0%	% 100.0%	% 100.0%	% 100.0%	100.0%	<b>100.0%</b>
Histologie*	n 943	n 826	n 800	n 872	n 755	4196	
	% 100.0%	% 100.0%	% 100.0%	% 100.0%	% 100.0%	100.0%	<b>100.0%</b>
Histologie-Schlüssel*	n 938	n 819	n 794	n 868	n 752	4171	
	% 99.5%	% 99.2%	% 99.2%	% 99.5%	% 99.6%	99.4%	<b>98.8%</b>
Histologie-Datum*	n 943	n 826	n 800	n 870	n 755	4194	
	% 100.0%	% 100.0%	% 100.0%	% 99.8%	% 100.0%	100.0%	<b>99.9%</b>
Grading*	n 394	n 315	n 270	n 301	n 355	1635	
	% 100.0%	% 100.0%	% 100.0%	% 99.3%	% 99.4%	99.8%	<b>99.7%</b>
<b>klin. u. / od. pathol. TNM</b>							
UICC-Klassifikation*	n 631	n 489	n 454	n 482	n 512	2568	
	% 92.5%	% 87.8%	% 88.0%	% 88.9%	% 85.5%	88.7%	<b>92.7%</b>
TNM (T-Kategorie)*	n 568	n 416	n 386	n 379	n 368	2117	
	% 83.3%	% 74.7%	% 74.8%	% 69.9%	% 61.4%	73.1%	<b>81.6%</b>
TNM (N-Kategorie)*	n 478	n 338	n 316	n 293	n 294	1719	
	% 70.1%	% 60.7%	% 61.2%	% 54.1%	% 49.1%	59.4%	<b>78.8%</b>
TNM (M-Kategorie)*	n 475	n 348	n 315	n 296	n 306	1740	
	% 76.4%	% 68.8%	% 70.8%	% 62.1%	% 57.1%	67.3%	<b>81.4%</b>
<b>klin. TNM</b>							
UICC-Klassifikation*	n 348	n 281	n 237	n 226	n 254	1346	
	% 55.9%	% 55.5%	% 53.3%	% 47.4%	% 47.4%	52.0%	<b>71.4%</b>
TNM (T-Kategorie)*	n 364	n 288	n 247	n 232	n 254	1385	
	% 58.5%	% 56.9%	% 55.5%	% 48.6%	% 47.4%	53.6%	<b>73.3%</b>
TNM (N-Kategorie)*	n 360	n 279	n 236	n 220	n 244	1339	
	% 57.9%	% 55.1%	% 53.0%	% 46.1%	% 45.5%	51.8%	<b>72.3%</b>
TNM (M-Kategorie)*	n 355	n 281	n 239	n 220	n 247	1342	
	% 57.1%	% 55.5%	% 53.7%	% 46.1%	% 46.1%	51.9%	<b>69.2%</b>
ECOG	n 596	n 445	n 421	n 471	n 499	2432	
	% 73.9%	% 67.0%	% 71.6%	% 71.7%	% 76.1%	72.1%	<b>74.9%</b>

**Anmerkung:** n - Anzahl; aktueller Datenstand vom 31.10.2025

\* n des Merkmals weicht von Gesamt n ab

## 4 | Vollständigkeit von Therapiemerkmalen

Bei der Beurteilung der Vollständigkeit bzw. Qualität von tumortherapeutischen Behandlungen werden entsprechende Merkmale separat für **Operation**, **Strahlentherapie / Nuklearmedizin** und **Systemtherapie** analysiert.

Das Merkmal **Gesamt** gibt Ihnen die absolute Häufigkeit der in Ihrer Einrichtung durchgeführten und in unserem Best-of-Datensatz dokumentierten tumortherapeutischen Behandlungen an (siehe auch Abbildung 2.1 (a)).

**Hinweis:** Folgende Punkte sollten bei der Interpretation dieser Analysen bedacht werden.

Die Berechnung:

- beruht auf einem **Best-of-Datensatz**;
- erfolgt auf Ebene der **Behandlung / Therapie** und nicht auf Ebene der Meldung;
- von prozentualen Anteilen bezieht sich auf **Gesamt**.

Zudem werden *keine Angaben* oder *unbekannt* (wenn nicht anders in der Merkmalsbeschreibung ausgewiesen) negativ auf die Vollständigkeit bzw. Qualität der Merkmale angerechnet.

### 4.1. Operation

Folgende Merkmale werden bei der Beurteilung der Vollständigkeit bzw. Qualität von Operationen betrachtet:

- OP-Datum** - Angabe des Operationsdatums (ja / nein);
- tagesgenaues OP-Datum** - Angabe des Operationsdatums ist tagesgenau (ja / nein);
- Therapieintention** - Angabe der Intention der Operation (kurativ, palliativ, diagnostisch, Revision/Komplikation, Sontiges);
- OP-Schlüssel vollständig** - Angabe des OP-Schlüssel (mindestens 5-stellig und kein "y" im OP-Schlüssel);
- lokale R-Klassifikation** - Angabe der Residualtumor-(R)-Klassifikation (lokal) (kein (R0), mikroskopisch (R1), makroskopisch (R2), Vorhandensein kann nicht beurteilt werden (RX)) bei tumorresezierenden OPs (n < n gesamt);
- globale R-Klassifikation** - Angabe der Residualtumor-(R)-Klassifikation (global) (kein (R0), mikroskopisch (R1), makroskopisch (R2), Vorhandensein kann nicht beurteilt werden (RX)) bei tumorresezierenden OPs (n < n gesamt);
- Anzahl Lymphknoten (untersucht)** - Angabe der Anzahl untersuchter Lymphknoten bei lymphknotenresezierenden OPs (ja / nein; n = 0 ist gültig) (n < n gesamt);
- Anzahl Lymphknoten (befallen)** - Angabe der Anzahl befallener Lymphknoten bei lymphknotenresezierenden OPs (ja / nein; n = 0 ist gültig) (n < n gesamt);
- Anzahl Sentinel-Lymphknoten (untersucht)** - Angabe der Anzahl untersuchter Sentinel-Lymphknoten bei Sentinel-lymphknotenresezierenden OPs (ja / nein; n = 0 ist gültig) (n < n gesamt);
- Anzahl Sentinel-Lymphknoten (befallen)** - Angabe der Anzahl befallener Sentinel-Lymphknoten bei Sentinel-lymphknotenresezierenden OPs (ja / nein; n = 0 ist gültig) (n < n gesamt);
- Komplikationen** - Angabe, ob Komplikationen bei der OP aufgetreten sind (ja / nein)

**Tabelle 4.1** gibt Ihnen einen Überblick über die Qualität und Vollständigkeit der beschriebenen Therapiemerkmale für durchgeführte Operationen Ihrer Einrichtung sowohl für den 5-Jahres Berichtszeitraum (2020 bis 2024) als auch für die einzelnen Berichtsjahre (basierend auf dem Jahr der Leistungserbringung). Dargestellt sind für alle Merkmale absolute und relative Häufigkeiten. Zudem zeigt Ihnen **Tabelle 4.1** zur Einordnung der Zahlen Ihrer Einrichtung die prozentualen Ergebnisse der Vollständigkeit der Referenz (REF) für den 5-Jahres Berichtszeitraum (2020 bis 2024).

Tabelle 4.1: Operation - Qualität und Vollständigkeit von Merkmalen im Zeitverlauf (REF - Referenz)

Merkmalname	2020	2021	2022	2023	2024	Gesamt	REF
<b>Behandlung: OPERATION</b>							
<b>Gesamt</b>	<b>66</b>	<b>50</b>	<b>44</b>	<b>66</b>	<b>99</b>	<b>325</b>	
OP-Datum	n 66	n 50	n 44	n 66	n 99	325	
	% 100.0%	% 100.0%	% 100.0%	% 100.0%	% 100.0%	100.0%	<b>100.0%</b>
Tagesgenauigkeit (OP)	n 66	n 50	n 43	n 66	n 99	324	
	% 100.0%	% 100.0%	% 97.7%	% 100.0%	% 100.0%	99.7%	<b>98.6%</b>
Therapieintention	n 64	n 49	n 44	n 65	n 97	319	
	% 97.0%	% 98.0%	% 100.0%	% 98.5%	% 98.0%	98.2%	<b>99.5%</b>
OP-Schlüssel vollst.	n 64	n 47	n 44	n 63	n 96	314	
	% 97.0%	% 94.0%	% 100.0%	% 95.5%	% 97.0%	96.6%	<b>94.9%</b>
lokale R-Klass.*	n 53	n 41	n 36	n 49	n 73	252	
	% 100.0%	% 97.6%	% 94.7%	% 81.7%	% 83.0%	89.7%	<b>100.0%</b>
globale R-Klass.*	n 49	n 26	n 31	n 44	n 56	206	
	% 92.5%	% 61.9%	% 81.6%	% 73.3%	% 63.6%	73.3%	<b>86.8%</b>
Anzahl Lymphkn. (unters.)*	n 0	n 2	n 0	n 0	n 0	2	
	% 0.0%	% 100.0%	% 0.0%	% 0.0%	% 0.0%	66.7%	<b>42.1%</b>
Anzahl Lymphkn. (befall.)*	n 0	n 2	n 0	n 0	n 0	2	
	% 0.0%	% 100.0%	% 0.0%	% 0.0%	% 0.0%	66.7%	<b>42.1%</b>
Komplikationen	n 53	n 38	n 37	n 31	n 36	195	
	% 80.3%	% 76.0%	% 84.1%	% 47.0%	% 36.4%	60.0%	<b>65.4%</b>

**Anmerkung:** aktueller Datenstand vom 31.10.2025

\* n des Merkmals weicht von Gesamt n ab

## 4.2. Systemtherapie

Folgende Merkmale werden bei der Beurteilung der Vollständigkeit bzw. Qualität der systemischen Therapien betrachtet:

- a) **Anfang und Ende der Therapie** - Angabe des Beginn- und Ende-Datums der Therapie gemeldet (ohne Hormontherapien) (ja / nein);
- b) **Anfang der Therapie** - Angabe des Beginn-Datums der Therapie gemeldet (ja / nein);
- c) **Ende der Therapie** - Angabe des Ende-Datums der Therapie gemeldet (ohne Hormontherapien) (ja / nein);
- d) **Typ der systemischen Therapie** - Angabe zum Typ der Therapie (ja / nein);
- e) **Therapieprotokoll / Substanz** - Angabe zum Therapieprotokoll bzw. zu den Substanzen (ja / nein);
- f) **Therapieintention** - Angabe der Intention der Therapie (kurativ, palliativ bzw. symptomatisch, Sonstiges);
- g) **Stellung zur OP** - Angabe zur Stellung der Therapie im Behandlungskonzept (Bezug zur Operation) (Therapie ohne operative Behandlung, neoadjuvante (präoperative) Therapie, postoperative Therapie, intraoperative Therapie, Sonstige);
- h) **Nebenwirkungen** - Angabe zu Nebenwirkungen (NW ab Grad III) (ja / nein / unbekannt);
- i) **Therapieabschluss** - Angabe zum Therapieabschluss (Status / Ende) (Abbruch wegen Nebenwirkungen, reguläres Ende, Patient verweigert weitere Therapie, reguläres Ende mit Dosisreduktion, Abbruch wegen Progress, sonstiger Abbruchgrund, unbekannt)

Die folgende Tabelle gibt Ihnen einen Überblick über die Qualität und Vollständigkeit der beschriebenen Therapiemerkmale für durchgeführte Systemtherapien Ihrer Einrichtung sowohl für den 5-Jahres Berichtszeitraum (2020 bis 2024) als auch für die einzelnen Berichtsjahre (basierend auf dem Jahr der Leistungserbringung). Dargestellt sind für alle Merkmale absolute und relative Häufigkeiten. Zudem zeigt Ihnen diese Tabelle zur Einordnung der Zahlen Ihrer Einrichtung die prozentualen Ergebnisse der Vollständigkeit der Referenz (REF) für den 5-Jahres Berichtszeitraum (2020 bis 2024).

Tabelle 4.2: Systemtherapie - Qualität und Vollständigkeit von Therapiemerkmalen im Zeitverlauf (REF - Referenz)

Merkmalsname	2020	2021	2022	2023	2024	Gesamt	REF
<b>Behandlung: SYSTEMTHERAPIE</b>							
<b>Gesamt</b>	<b>680</b>	<b>581</b>	<b>645</b>	<b>659</b>	<b>450</b>	<b>3015</b>	
Anfang und Ende d. Th.*	n 396	n 342	n 297	n 309	n 149	n 1493	
	% 70.0%	% 71.7%	% 59.4%	% 64.2%	% 48.2%	% 64.0%	<b>72.7%</b>
Anfang der Th.	n 680	n 581	n 645	n 659	n 450	n 3015	
	% 100.0%	% 100.0%	% 100.0%	% 100.0%	% 100.0%	% 100.0%	<b>100.0%</b>
Ende der Th.*	n 396	n 342	n 297	n 309	n 149	n 1493	
	% 70.0%	% 71.7%	% 59.4%	% 64.2%	% 48.2%	% 64.0%	<b>72.7%</b>
Typ d. syst. Th.	n 678	n 574	n 629	n 646	n 425	n 2952	
	% 99.7%	% 98.8%	% 97.5%	% 98.0%	% 94.4%	% 97.9%	<b>98.8%</b>
Th.protokoll / Subs.	n 680	n 577	n 645	n 656	n 449	n 3007	
	% 100.0%	% 99.3%	% 100.0%	% 99.5%	% 99.8%	% 99.7%	<b>99.5%</b>
Therapieintention	n 675	n 578	n 641	n 651	n 443	n 2988	
	% 99.3%	% 99.5%	% 99.4%	% 98.8%	% 98.4%	% 99.1%	<b>99.1%</b>
Stellung zur OP	n 657	n 565	n 639	n 648	n 438	n 2947	
	% 96.6%	% 97.2%	% 99.1%	% 98.3%	% 97.3%	% 97.7%	<b>99.2%</b>
Nebenwirkungen*	n 262	n 237	n 209	n 189	n 98	n 995	
	% 38.5%	% 40.8%	% 32.4%	% 28.7%	% 21.8%	% 33.0%	<b>28.9%</b>
Therapieabschluss	n 397	n 349	n 294	n 305	n 139	n 1484	
	% 58.4%	% 60.1%	% 45.6%	% 46.3%	% 30.9%	% 49.2%	<b>66.7%</b>

**Anmerkung:** aktueller Datenstand vom 31.10.2025

\* n des Merkmals weicht von Gesamt n ab

---

## TEIL III

---

### TUMORDIAGNOSE UND PATIENTENSTRUKTUR



Teil III „*Tumordiagnose und Patientenstruktur*“ des Praxis-Rückmeldeberichts analysiert für Ihre Einrichtung die Tumoreigenschaften der im 5-Jahres Berichtszeitraum (2020 bis 2024) auftretenden Krebserkrankungen und beschreibt Ihnen das Kollektiv an Patienten.

#### **Hinweis**

Bitte beachten Sie bei der Interpretation der Ergebnisse, dass die Zählweise von Tumorfällen im Rückmeldebericht von der Art der Fallzählung für die DKG-Zertifizierung abweicht (siehe auch Einleitung).

Dieser Abschnitt des Praxis-Rückmeldeberichts beinhaltet folgende Kapitel:

- Kapitel 5 „**Überblick**“ gibt Ihnen einen Überblick über die Grundgesamtheit dieses Abschnitts;
- Kapitel 6 „**Tumordiagnose**“ betrachtet die Diagnose, der in Ihrer Einrichtung diagnostizierten und/oder behandelten Tumorerkrankungen;
- Kapitel 7 „**Patientenstruktur**“ analysiert u. a. Geschlecht, Alter und Herkunft der Tumorfälle Ihrer Einrichtung

## 5 | Überblick

**Tabelle 5.1** gibt Ihnen einen Überblick über die Zusammensetzung des Patientenkollektives Ihrer Einrichtung bezüglich Tumorfällen mit alleiniger Diagnose oder Therapie oder Diagnose und Primärtherapie, sowie zusätzlich mit alleinigem Verlauf.

Tabelle 5.1: Beschreibung der Zusammensetzung des Kollektives

**Variable**	**Overall**, N = 5,833	**Diagnose**, N = 3,269	**Therapie**, N = 973	**beides**, N = 1,177	**Verlauf**, N = 414
<b>Geschlecht, n (%)</b>					
M	2,271 (39%)	1,381 (42%)	257 (26%)	574 (49%)	59 (14%)
S	1 (<0.1%)	0 (0%)	0 (0%)	1 (<0.1%)	0 (0%)
W	3,560 (61%)	1,888 (58%)	716 (74%)	601 (51%)	355 (86%)
X	1 (<0.1%)	0 (0%)	0 (0%)	1 (<0.1%)	0 (0%)
Alter bei Diagnose, Median (IQR)	64 (52, 75)	64 (51, 75)	63 (52, 72)	68 (57, 78)	59 (50, 70)
Alter (gruppiert), n (%)					
18-49	1,238 (21%)	783 (24%)	191 (20%)	160 (14%)	104 (25%)
50-74	3,124 (54%)	1,645 (50%)	588 (60%)	646 (55%)	245 (59%)
75+	1,471 (25%)	841 (26%)	194 (20%)	371 (32%)	65 (16%)
ECOG, n (%)					
0	1,674 (29%)	1,376 (42%)	79 (8.1%)	205 (17%)	14 (3.4%)
1	2,697 (46%)	1,226 (38%)	551 (57%)	620 (53%)	300 (72%)
2	783 (13%)	369 (11%)	160 (16%)	213 (18%)	41 (9.9%)
3	153 (2.6%)	41 (1.3%)	54 (5.5%)	52 (4.4%)	6 (1.4%)
4	40 (0.7%)	11 (0.3%)	14 (1.4%)	13 (1.1%)	2 (0.5%)
X	5 (<0.1%)	3 (<0.1%)	1 (0.1%)	1 (<0.1%)	0 (0%)
5	481 (8.2%)	243 (7.4%)	114 (12%)	73 (6.2%)	51 (12%)
Diagnosejahr, n (%)					
2020	1,286 (22%)	637 (19%)	194 (20%)	368 (31%)	87 (21%)
2021	1,231 (21%)	669 (20%)	238 (24%)	209 (18%)	115 (28%)
2022	1,235 (21%)	652 (20%)	277 (28%)	193 (16%)	113 (27%)
2023	1,184 (20%)	708 (22%)	191 (20%)	211 (18%)	74 (18%)
2024	897 (15%)	603 (18%)	73 (7.5%)	196 (17%)	25 (6.0%)
<b>Bundland (Wohnort z.Z. Diagnose), n (%)</b>					
Baden-Wuerttemberg	6 (0.1%)	2 (<0.1%)	2 (0.2%)	2 (0.2%)	0 (0%)
Bayern	4 (<0.1%)	4 (0.1%)	0 (0%)	0 (0%)	0 (0%)
Berlin	5,123 (88%)	2,796 (86%)	885 (91%)	1,074 (91%)	368 (89%)
Brandenburg	668 (11%)	447 (14%)	84 (8.6%)	92 (7.8%)	45 (11%)
Bremen	0 (0%)	0 (0%)	0 (0%)	0 (0%)	0 (0%)
Hamburg	0 (0%)	0 (0%)	0 (0%)	0 (0%)	0 (0%)
Hessen	1 (<0.1%)	1 (<0.1%)	0 (0%)	0 (0%)	0 (0%)
Mecklenburg-Vorpommern	12 (0.2%)	8 (0.2%)	1 (0.1%)	2 (0.2%)	1 (0.2%)
Niedersachsen	8 (0.1%)	4 (0.1%)	1 (0.1%)	3 (0.3%)	0 (0%)
Nordrhein-Westfalen	2 (<0.1%)	2 (<0.1%)	0 (0%)	0 (0%)	0 (0%)
Rheinland-Pfalz	0 (0%)	0 (0%)	0 (0%)	0 (0%)	0 (0%)
Saarland	0 (0%)	0 (0%)	0 (0%)	0 (0%)	0 (0%)
Sachsen	4 (<0.1%)	2 (<0.1%)	0 (0%)	2 (0.2%)	0 (0%)
Sachsen-Anhalt	2 (<0.1%)	2 (<0.1%)	0 (0%)	0 (0%)	0 (0%)
Schleswig-Holstein	3 (<0.1%)	1 (<0.1%)	0 (0%)	2 (0.2%)	0 (0%)
Thueringen	0 (0%)	0 (0%)	0 (0%)	0 (0%)	0 (0%)
unbekannt	0 (0%)	0 (0%)	0 (0%)	0 (0%)	0 (0%)

## 6 | Tumoreigenschaften

Kapitel 6 fasst die **Tumordiagnosen** (6.1) für die Tumorfälle zusammen, die in Ihrer Einrichtung diagnostiziert bzw. therapiert wurden.

### 6.1. Tumordiagnose (nach ICD-10)

Die Tumordiagnosen Ihrer Einrichtung werden mit Hilfe der *“Internationalen statistischen Klassifikation der Krankheiten und verwandter Gesundheitsprobleme”* (ICD-10) (3-stellig) beschrieben. Die Auflistung umfasst bösartige Neubildungen (C00-C96), deren Frühstadien und in situ-Karzinome sowie gutartige Tumoren des zentralen Nervensystems (D00-D09 und D32-D47). Eine Ausnahme bilden die nicht-melanotischen Neuerkrankungen der Haut (C44, D04.-), die im dargestellten Berichtszeitraum nicht erfasst wurden.

**Tabelle 6.1** umfasst die absolute und relative Häufigkeiten der Tumorentitäten beruhend auf dem Jahr der Erstdiagnose für die einzelnen Berichtsjahre und dem 5-Jahres Berichtszeitraum (2020 bis 2024). Die prozentualen Angaben in diesen Spalten beziehen sich auf die Gesamtzahl an Tumorfällen Ihrer Einrichtung. Zudem zeigt Ihnen **Tabelle 6.1** in Spalte *REF* den prozentualen Anteil Ihrer Einrichtung an den entsprechenden Gesamtzahlen der in der Referenz diagnostizierten Tumorfälle.

Tabelle 6.1: ICD-10 - Absolute und relative Häufigkeiten der Tumorentitäten für den Zeitverlauf (basierend auf Diagnosejahr)

ICD-10 (Diagnose)	2020	2021	2022	2023	2024	Gesamt	REF
<b>C00-C14 - Lippe, Mundhöhle u. Pharynx</b>							
C00 - Lippe	-	-	-	-	-	-	-
C01 - Zungengrund	1 (0.1%)	-	1 (0.1%)	-	-	2 (0.0%)	0.3%
C02 - Zunge	1 (0.1%)	-	1 (0.1%)	-	-	2 (0.0%)	0.2%
C03 - Zahnfleisch	-	-	-	-	-	-	-
C04 - Mundboden	1 (0.1%)	-	-	2 (0.2%)	-	3 (0.1%)	0.5%
C05 - Gaumen	1 (0.1%)	-	1 (0.1%)	-	-	2 (0.0%)	0.7%
C06 - Teile d. Mundes n.n.b.	2 (0.2%)	-	-	-	-	2 (0.0%)	0.7%
C07 - Parotis	-	-	-	-	-	-	-
C08 - große Speicheldrüsen	-	-	-	1 (0.1%)	-	1 (0.0%)	1.1%
C09 - Tonsille	1 (0.1%)	2 (0.2%)	-	-	-	3 (0.1%)	0.3%
C10 - Oropharynx	1 (0.1%)	2 (0.2%)	4 (0.3%)	-	-	7 (0.1%)	0.9%
C11 - Nasopharynx	-	-	-	-	-	-	-
C12 - Recessus piriformis	-	-	-	-	-	-	-
C13 - Hypopharynx	1 (0.1%)	2 (0.2%)	-	1 (0.1%)	-	4 (0.1%)	0.7%
C14 - n.n.b.	-	-	-	-	-	-	-
<b>gesamt</b>	<b>9 (0.7%)</b>	<b>6 (0.5%)</b>	<b>7 (0.6%)</b>	<b>4 (0.3%)</b>	-	<b>26 (0.4%)</b>	<b>0.4%</b>
<b>C15-C26 - Verdauungsorgane</b>							
C15 - Ösophagus	13 (1.0%)	19 (1.5%)	18 (1.5%)	19 (1.6%)	15 (1.7%)	84 (1.4%)	2.8%
C16 - Magen	31 (2.4%)	21 (1.7%)	29 (2.3%)	21 (1.8%)	26 (2.9%)	128 (2.2%)	2.1%
C17 - Dünndarm	1 (0.1%)	9 (0.7%)	7 (0.6%)	7 (0.6%)	4 (0.4%)	28 (0.5%)	2.5%
C18 - Kolon	125 (9.7%)	82 (6.7%)	78 (6.3%)	92 (7.8%)	94 (10.5%)	471 (8.1%)	3.1%
C19 - Rektosigmoid	-	-	-	-	-	-	-
C20 - Rektum	56 (4.4%)	48 (3.9%)	45 (3.6%)	50 (4.2%)	49 (5.5%)	248 (4.3%)	3.5%
C21 - Anus u. Analkanal	9 (0.7%)	6 (0.5%)	13 (1.1%)	5 (0.4%)	5 (0.6%)	38 (0.7%)	3.0%
C22 - Leber u. intrahepat. Galleng.	8 (0.6%)	4 (0.3%)	7 (0.6%)	4 (0.3%)	3 (0.3%)	26 (0.4%)	0.6%
C23 - Gallenblase	1 (0.1%)	1 (0.1%)	1 (0.1%)	-	-	3 (0.1%)	0.4%
C24 - Gallenwege n.n.b.	3 (0.2%)	-	1 (0.1%)	3 (0.3%)	1 (0.1%)	8 (0.1%)	0.5%
C25 - Pankreas	14 (1.1%)	15 (1.2%)	8 (0.6%)	8 (0.7%)	8 (0.9%)	53 (0.9%)	0.6%
C26 - n.n.b.	-	-	-	-	-	-	-
<b>gesamt</b>	<b>261 (20.3%)</b>	<b>205 (16.7%)</b>	<b>207 (16.8%)</b>	<b>209 (17.7%)</b>	<b>205 (22.9%)</b>	<b>1087 (18.6%)</b>	<b>2.2%</b>
<b>C30-C39 - Atmungsorgane u. sonst. intrathor. Org.</b>							
C30 - Nasenhöhle u. Mittelohr	-	-	-	-	-	-	-
C31 - Nasennebenhöhlen	-	-	-	-	-	-	-
C32 - Larynx	2 (0.2%)	1 (0.1%)	1 (0.1%)	-	-	4 (0.1%)	0.3%
C33 - Trachea	-	-	-	-	1 (0.1%)	1 (0.0%)	3.7%
C34 - Bronchien u. Lunge	49 (3.8%)	52 (4.2%)	46 (3.7%)	39 (3.3%)	22 (2.5%)	208 (3.6%)	0.8%
C37 - Thymus	-	1 (0.1%)	-	1 (0.1%)	-	2 (0.0%)	0.8%
C38 - Mediastinum u. Pleura	-	-	-	-	-	-	-
C39 - n.n.b.	-	-	-	-	-	-	-
<b>gesamt</b>	<b>51 (4.0%)</b>	<b>54 (4.4%)</b>	<b>47 (3.8%)</b>	<b>40 (3.4%)</b>	<b>23 (2.6%)</b>	<b>215 (3.7%)</b>	<b>0.8%</b>
<b>C43-C44 - Melanom u. sonst. bösart. Neubildg. d. Haut</b>							
C43 - malignes Melanom d. Haut	76 (5.9%)	87 (7.1%)	63 (5.1%)	78 (6.6%)	62 (6.9%)	366 (6.3%)	4.2%

Tabelle 6.1: ICD-10 - Absolute und relative Häufigkeiten der Tumorentitäten für den Zeitverlauf (basierend auf Diagnosejahr) (continued)

ICD-10 (Diagnose)	2020	2021	2022	2023	2024	Gesamt	REF
C44 - Sonstige bösart. Neubldg. Haut gesamt	- 76 (5.9%)	- 87 (7.1%)	- 63 (5.1%)	- 78 (6.6%)	- 62 (6.9%)	- 366 (6.3%)	- 4.2%
<b>C45-C49 - mesotheliales Gew. u. Weichteilgew.</b>							
C45 - Mesotheliom	3 (0.2%)	-	1 (0.1%)	-	2 (0.2%)	6 (0.1%)	1.3%
C46 - Kaposi-Sarkom	-	-	-	-	-	-	-
C47 - Periphere Nerven u. ANS	-	-	-	-	-	-	-
C48 - Retroperitoneum u. Peritoneum	2 (0.2%)	1 (0.1%)	1 (0.1%)	-	1 (0.1%)	5 (0.1%)	1.0%
C49 - sonst. Bdgw. u. a. Weicht.	1 (0.1%)	1 (0.1%)	-	-	1 (0.1%)	3 (0.1%)	0.2%
gesamt	6 (0.5%)	2 (0.2%)	2 (0.2%)	-	4 (0.4%)	14 (0.2%)	0.6%
<b>C50-C50 - Brustdrüse</b>							
C50 - Brustdrüse gesamt	279 (21.7%) 279 (21.7%)	318 (25.8%) 318 (25.8%)	315 (25.5%) 315 (25.5%)	259 (21.9%) 259 (21.9%)	196 (21.9%) 196 (21.9%)	1367 (23.4%) 1367 (23.4%)	4.5% 4.5%
<b>C51-C58 - weiblichen Genitalorgane</b>							
C51 - Vulva	4 (0.3%)	3 (0.2%)	6 (0.5%)	3 (0.3%)	2 (0.2%)	18 (0.3%)	1.6%
C52 - Vagina	-	1 (0.1%)	-	1 (0.1%)	-	2 (0.0%)	1.0%
C53 - Cervix uteri	16 (1.2%)	15 (1.2%)	16 (1.3%)	14 (1.2%)	13 (1.4%)	74 (1.3%)	3.4%
C54 - Corpus uteri	15 (1.2%)	17 (1.4%)	21 (1.7%)	22 (1.9%)	16 (1.8%)	91 (1.6%)	2.2%
C55 - Uterus n.n.b.	1 (0.1%)	1 (0.1%)	-	-	-	2 (0.0%)	1.5%
C56 - Ovar	11 (0.9%)	11 (0.9%)	11 (0.9%)	13 (1.1%)	10 (1.1%)	56 (1.0%)	1.8%
C57 - n.n.b.	2 (0.2%)	1 (0.1%)	-	1 (0.1%)	2 (0.2%)	6 (0.1%)	2.5%
C58 - Plazenta	-	-	-	-	-	-	-
gesamt	49 (3.8%)	49 (4.0%)	54 (4.4%)	54 (4.6%)	43 (4.8%)	249 (4.3%)	2.2%
<b>C60-C63 - männliche Genitalorgane</b>							
C60 - Penis	-	-	-	-	-	-	-
C61 - Prostata	120 (9.3%)	94 (7.6%)	95 (7.7%)	56 (4.7%)	38 (4.2%)	403 (6.9%)	1.4%
C62 - Hoden	-	2 (0.2%)	2 (0.2%)	-	-	4 (0.1%)	0.2%
C63 - n.n.b.	-	-	-	-	-	-	-
gesamt	120 (9.3%)	96 (7.8%)	97 (7.9%)	56 (4.7%)	38 (4.2%)	407 (7.0%)	1.3%
<b>C64-C68 - Harnorgane</b>							
C64 - Niere	7 (0.5%)	6 (0.5%)	6 (0.5%)	8 (0.7%)	2 (0.2%)	29 (0.5%)	0.5%
C65 - Nierenbecken	-	2 (0.2%)	2 (0.2%)	-	-	4 (0.1%)	0.7%
C66 - Ureter	-	1 (0.1%)	2 (0.2%)	-	-	3 (0.1%)	0.8%
C67 - Harnblase	10 (0.8%)	6 (0.5%)	9 (0.7%)	4 (0.3%)	-	29 (0.5%)	0.4%
C68 - n.n.b.	-	1 (0.1%)	-	-	-	1 (0.0%)	0.3%
gesamt	17 (1.3%)	16 (1.3%)	19 (1.5%)	12 (1.0%)	2 (0.2%)	66 (1.1%)	0.4%
<b>C69-C72 - Auge, Gehirn u. sonst. Teile d. ZNS</b>							
C69 - Auge u. Augenanhangesgebilde	-	-	-	-	-	-	-
C70 - Meningen	-	-	-	-	-	-	-
C71 - Gehirn	3 (0.2%)	1 (0.1%)	2 (0.2%)	6 (0.5%)	1 (0.1%)	13 (0.2%)	0.4%
C72 - Rückenmark u. Hirnnerven	-	-	-	-	-	-	-
gesamt	3 (0.2%)	1 (0.1%)	2 (0.2%)	6 (0.5%)	1 (0.1%)	13 (0.2%)	0.3%
<b>C73-C75 - Schilddrüse u. sonst. endokr. Drüsen</b>							
C73 - Schilddrüse	-	-	1 (0.1%)	-	1 (0.1%)	2 (0.0%)	0.1%
C74 - Nebenniere	-	-	-	-	-	-	-
C75 - Endokr. Drüsen u. verw. Str.	-	-	-	-	-	-	-
gesamt	-	-	1 (0.1%)	-	1 (0.1%)	2 (0.0%)	0.1%
<b>C76-C80 - n.n.b. Lokalisationen</b>							
C76 - sonst. u. n.n.b. Lok.	-	-	-	-	-	-	-
C77 - Lymphknoten	-	-	-	-	-	-	-
C78 - sek. Neubldg. d. Atm.- u. V.org.	-	-	-	-	-	-	-
C79 - n.n.b. sek. Neubldg.	-	-	-	-	-	-	-
C80 - unbekannte Primärlok.	8 (0.6%)	5 (0.4%)	5 (0.4%)	3 (0.3%)	2 (0.2%)	23 (0.4%)	0.4%
gesamt	8 (0.6%)	5 (0.4%)	5 (0.4%)	3 (0.3%)	2 (0.2%)	23 (0.4%)	0.4%
<b>C81-C96 - lymph., blutbd. u. verw. Gewebe</b>							
C81 - Hodgkin-Lymphom	5 (0.4%)	1 (0.1%)	4 (0.3%)	3 (0.3%)	1 (0.1%)	14 (0.2%)	1.4%
C82 - folliculäres Lymph.	16 (1.2%)	8 (0.6%)	1 (0.1%)	4 (0.3%)	1 (0.1%)	30 (0.5%)	2.1%
C83 - nicht folliculäres Lymph.	23 (1.8%)	19 (1.5%)	14 (1.1%)	7 (0.6%)	10 (1.1%)	73 (1.3%)	1.7%
C84 - reifzellige T/NK-Zell-Lymph.	2 (0.2%)	-	-	3 (0.3%)	-	5 (0.1%)	1.1%
C85 - Non-Hodgkin n.n.b.	13 (1.0%)	5 (0.4%)	2 (0.2%)	4 (0.3%)	1 (0.1%)	25 (0.4%)	2.8%
C86 - weitere spez. T/NK-Zell-Lymph.	1 (0.1%)	1 (0.1%)	-	1 (0.1%)	1 (0.1%)	4 (0.1%)	2.5%
C88 - immunkompetente Kr. u. Plasmaz.-Nbldg.	6 (0.5%)	7 (0.6%)	8 (0.6%)	5 (0.4%)	4 (0.4%)	30 (0.5%)	4.0%
C90 - Plasmaz. u. Plasmaz.-Nbldg.	22 (1.7%)	22 (1.8%)	16 (1.3%)	21 (1.8%)	3 (0.3%)	84 (1.4%)	2.9%
C91 - lymphatische Leukämie	29 (2.3%)	19 (1.5%)	20 (1.6%)	12 (1.0%)	9 (1.0%)	89 (1.5%)	3.3%
C92 - myeloische Leukämie	13 (1.0%)	6 (0.5%)	12 (1.0%)	17 (1.4%)	2 (0.2%)	50 (0.9%)	2.0%
C93 - Monozytenleukämie	3 (0.2%)	3 (0.2%)	3 (0.2%)	2 (0.2%)	-	11 (0.2%)	3.7%

Tabelle 6.1: ICD-10 - Absolute und relative Häufigkeiten der Tumorentitäten für den Zeitverlauf (basierend auf Diagnosejahr) (continued)

ICD-10 (Diagnose)	2020	2021	2022	2023	2024	Gesamt	REF
C94 - sonst. Leukämie n.b. Zelltyps	-	-	-	-	-	-	-
C95 - n.n.b. Leukämien	1 (0.1%)	-	1 (0.1%)	-	-	2 (0.0%)	1.6%
C96 - n.n.b.	-	1 (0.1%)	-	-	-	1 (0.0%)	1.1%
<b>gesamt</b>	<b>134 (10.4%)</b>	<b>92 (7.5%)</b>	<b>81 (6.6%)</b>	<b>79 (6.7%)</b>	<b>32 (3.6%)</b>	<b>418 (7.2%)</b>	<b>2.3%</b>
<b>D00-D09 - In-situ-Neubildungen</b>							
D00 - CIS d. Mundh., Ösoph., Magen	1 (0.1%)	2 (0.2%)	3 (0.2%)	-	4 (0.4%)	10 (0.2%)	2.7%
D01 - CIS sonst. u. n.n.b. V.org.	120 (9.3%)	93 (7.6%)	97 (7.9%)	119 (10.1%)	142 (15.8%)	571 (9.8%)	7.7%
D02 - CIS d. Mittelohres u. Atm.syst.	-	-	-	-	-	-	-
D03 - CIS d. Haut	20 (1.6%)	51 (4.1%)	43 (3.5%)	44 (3.7%)	37 (4.1%)	195 (3.3%)	5.2%
D05 - CIS d. Brustdrüse	7 (0.5%)	10 (0.8%)	11 (0.9%)	6 (0.5%)	6 (0.7%)	40 (0.7%)	1.3%
D06 - CIS d. Cervix uteri	78 (6.1%)	95 (7.7%)	133 (10.8%)	187 (15.8%)	69 (7.7%)	562 (9.6%)	2.8%
D07 - CIS sonst. u. n.n.b. Genitalorg.	2 (0.2%)	2 (0.2%)	8 (0.6%)	8 (0.7%)	3 (0.3%)	23 (0.4%)	1.2%
D09 - CIS sonst. u. n.n.b. Lok.	2 (0.2%)	-	1 (0.1%)	1 (0.1%)	1 (0.1%)	5 (0.1%)	0.1%
<b>gesamt</b>	<b>230 (17.9%)</b>	<b>253 (20.6%)</b>	<b>296 (24.0%)</b>	<b>365 (30.8%)</b>	<b>262 (29.2%)</b>	<b>1406 (24.1%)</b>	<b>3.2%</b>
<b>D37-D48 - Neubildungen uns. oder unbek. Verh.</b>							
D39 - weiblichen Genitalorgane	3 (0.2%)	-	3 (0.2%)	-	-	6 (0.1%)	0.9%
D41 - Harnorgane	-	-	-	-	-	-	-
D42 - Meningen	-	-	-	-	-	-	-
D43 - Gehirn u. ZNS	-	-	-	-	-	-	-
D44 - endokr. Drüsen	-	-	-	-	-	-	-
D45 - Polycythaemia vera	8 (0.6%)	3 (0.2%)	5 (0.4%)	4 (0.3%)	8 (0.9%)	28 (0.5%)	6.9%
D46 - myelodysplast. Syndrome	11 (0.9%)	18 (1.5%)	11 (0.9%)	6 (0.5%)	7 (0.8%)	53 (0.9%)	3.4%
D47 - lymph. u. blutb. Gew.	21 (1.6%)	26 (2.1%)	20 (1.6%)	9 (0.8%)	11 (1.2%)	87 (1.5%)	6.1%
<b>gesamt</b>	<b>43 (3.3%)</b>	<b>47 (3.8%)</b>	<b>39 (3.2%)</b>	<b>19 (1.6%)</b>	<b>26 (2.9%)</b>	<b>174 (3.0%)</b>	<b>3.7%</b>
<b>GESAMT</b>	<b>1286</b>	<b>1231</b>	<b>1235</b>	<b>1184</b>	<b>897</b>	<b>5833</b>	<b>2.2%</b>

Zur Übersicht für Sie sind in **Tabelle 6.2** die häufigsten invasiven Tumorentitäten bezogen auf den 5-Jahres Berichtszeitraum (2020 bis 2024) aufgelistet. Bitte beachten Sie, dass oft bei weiteren Analysen im Verlauf des Rückmeldeberichts auf diese Entitäten bzw. deren Entitätengruppen Bezug genommen wird.

Tabelle 6.2: ICD-10 - Liste der 20 häufigsten invasiven Tumorentitäten

ID	Tumorentität (ICD-10)	n	ID	Tumorentität (ICD-10)	n
1	C50 - Brustdrüse	1367	6	C34 - Bronchien u. Lunge	208
2	C18 - KOLON	471	7	C16 - Magen	128
3	C61 - Prostata	403	8	C54 - Corpus uteri	91
4	C43 - malignes Melanom d. Haut	366	9	C91 - lymphatische Leukämie	89
5	C20 - Rektum	248	10	C15 - Ösophagus	84

## 7 | Patientenstruktur

Im folgenden Kapitel wird die Patientenstruktur der in Ihrer Einrichtung diagnostizierten bzw. primärtherapierten Tumorfälle beschrieben. In der Auswertung wird u. a. das *Geschlechterverhältnis* (7.1), die *Altersstruktur* (7.2) und die *Herkunft* (7.3) der Tumorfälle nach Tumorentität (ICD-10) und Diagnosejahr (gesamter Berichtszeitraum 2017 - 2024 und aktuelles Berichtsjahr 2024) analysiert.

### 7.1. Geschlechterverhältnis

**Abbildung 7.1** zeigt Ihnen die absolute Häufigkeit der betrachteten Tumorfälle aufgesplittet nach Geschlecht (männlich / weiblich) und Tumorentitätengruppe (nach ICD-10) für den 5-Jahres Berichtszeitraum (2020 bis 2024) (basierend auf dem Diagnosejahr). Es sei darauf hingewiesen, dass sich die x-Achsen für beide Geschlechter in derer Skala unterscheiden können.

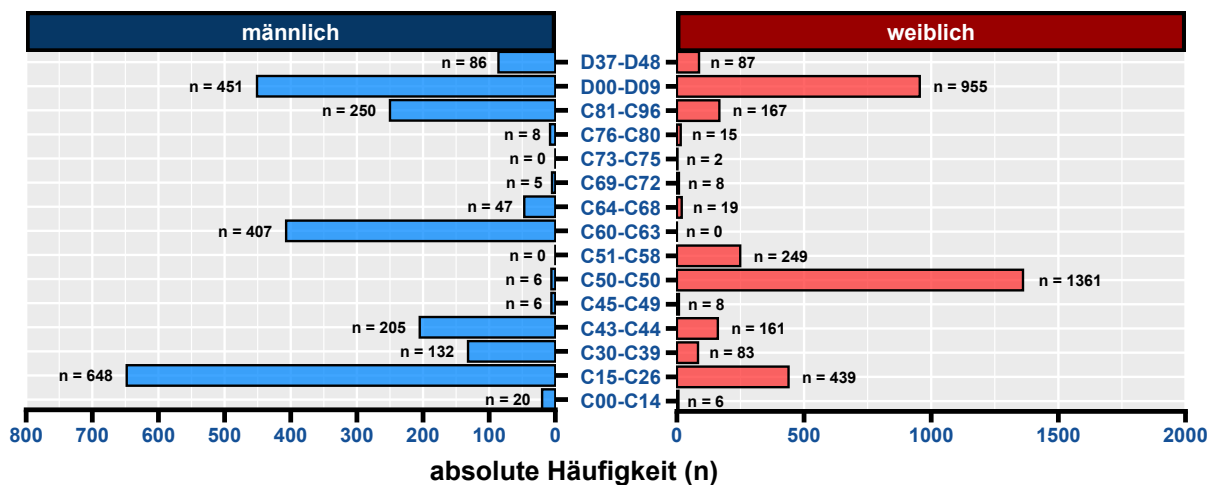


Abbildung 7.1: Geschlechterverhältnis (männlich / weiblich) der Tumorfälle für die vorkommenden Tumorentitätengruppen (nach ICD-10)

**Abbildung 7.2** stellt Ihnen das Geschlechterverhältnis (absolute Häufigkeit) der betrachteten Tumorfälle für die das aktuelle Berichtsjahr (2024 - basierend auf Diagnosejahr) dar.

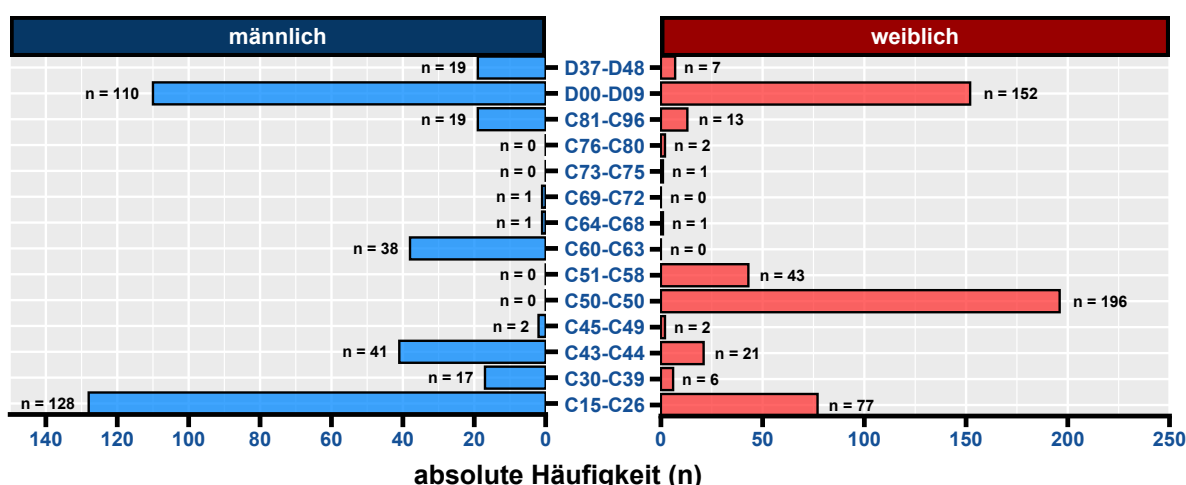


Abbildung 7.2: Geschlechterverhältnis (männlich / weiblich) der Tumorfälle für die vorkommenden Tumorentitätengruppen (nach ICD-10) - aktuelles Berichtsjahr

## 7.2. Altersstruktur

**Abbildung 7.3 (a)** veranschaulicht Ihnen die Altersverteilung in 5-Jahresklassen und deskriptive Kenngrößen (MD - Median, MW - Mittelwert, SD - Standardabweichung, SE - Standardfehler, MIN - Minimum und MAX - Maximum) ihrer Tumorfälle für den 5-Jahres Berichtszeitraum (2020 bis 2024) und **Abbildung 7.3 (b)** für das aktuelle Berichtsjahr in Form eines Histogramms.

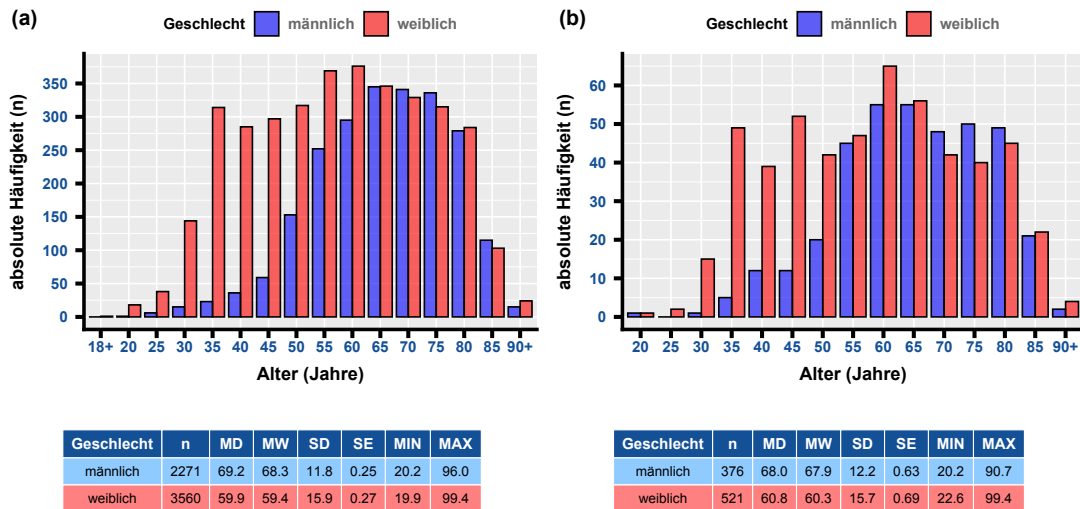


Abbildung 7.3: Altersverteilung und stat. Parameter - a) 5-Jahres Berichtszeitraum (2020 - 2024); b) aktuelles Berichtsjahr

**Abbildung 7.4** veranschaulicht Ihnen die Altersverteilung der 5 häufigsten Tumorentitätengruppen (nach ICD-10) für Frauen und Männer.

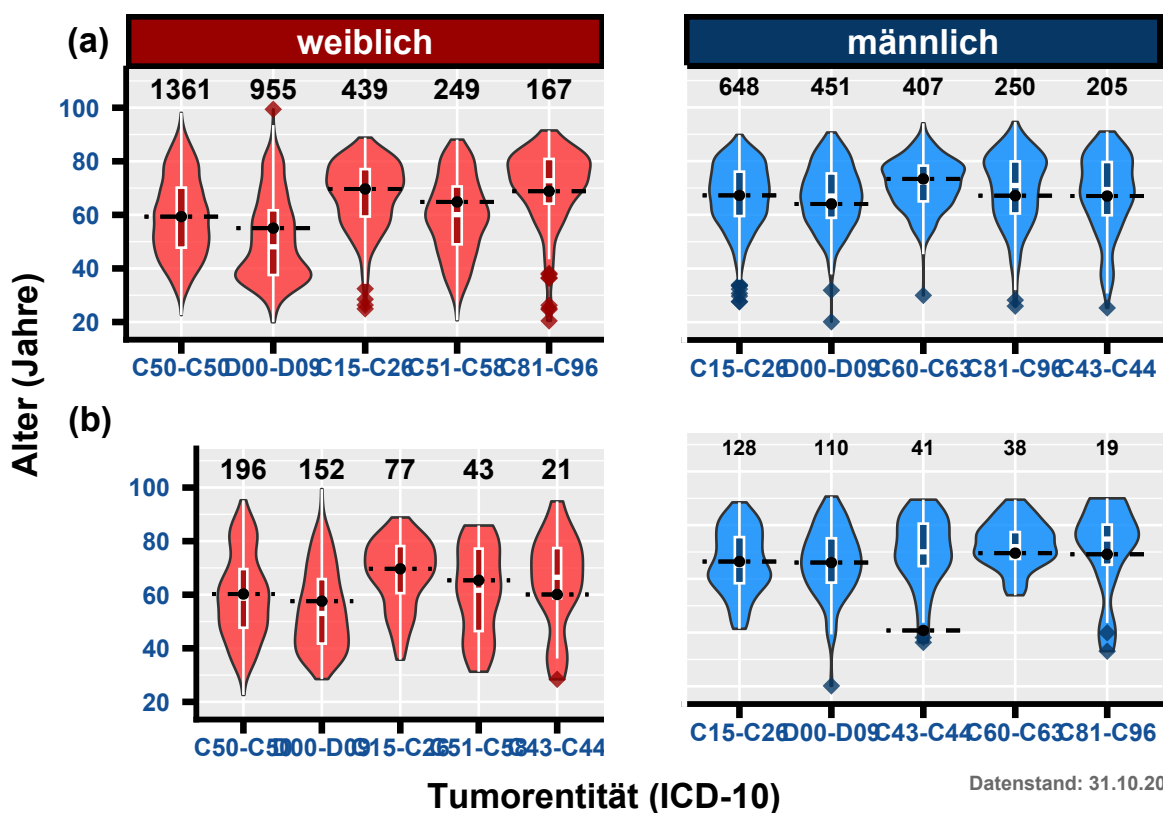


Abbildung 7.4: Altersverteilung für die 5 häufigsten Tumorentitätengruppen (nach ICD-10) je Geschlecht - a) 5-Jahres Berichtszeitraum (2020 - 2024); b) aktuelles Berichtsjahr

### 7.3. Herkunft der Fälle

Das Patientenkollektiv Ihrer Einrichtung stammt, basierend auf dem Wohnort zum Zeitpunkt der Diagnose, aus **11 Bundesländern**. Dabei kommen **5.123** Fälle aus dem Bundesland Berlin und **668** Fälle aus dem Bundesland Brandenburg. Aus dem Bundesland Mecklenburg-Vorpommern kommen mit 12 Fällen die meisten Patienten, die nicht in der Region Brandenburg-Berlin zum Zeitpunkt der Diagnose wohnhaft waren. Die folgenden kartographischen Darstellungen stellen Ihnen den Wohnort zum Zeitpunkt der Diagnose Ihrer Patienten detaillierter dar (wenn mindestens 25 Tumorfälle vorliegen). Für Patienten aus dem Bundesland Brandenburg werden die Zahlen (prozentual) auf Gemeindeebene, für Berliner Patienten basierend auf den Prognoseräumen (Konzept der Lebensweltlich orientierten Räumen (LOR)) erhoben. Bitte beachten Sie, dass nur Prognoseräume und Gemeinden in der Darstellung berücksichtigt werden, wenn diese mindestens 5 Tumorfälle vorweisen (**Abbildung 7.5**).

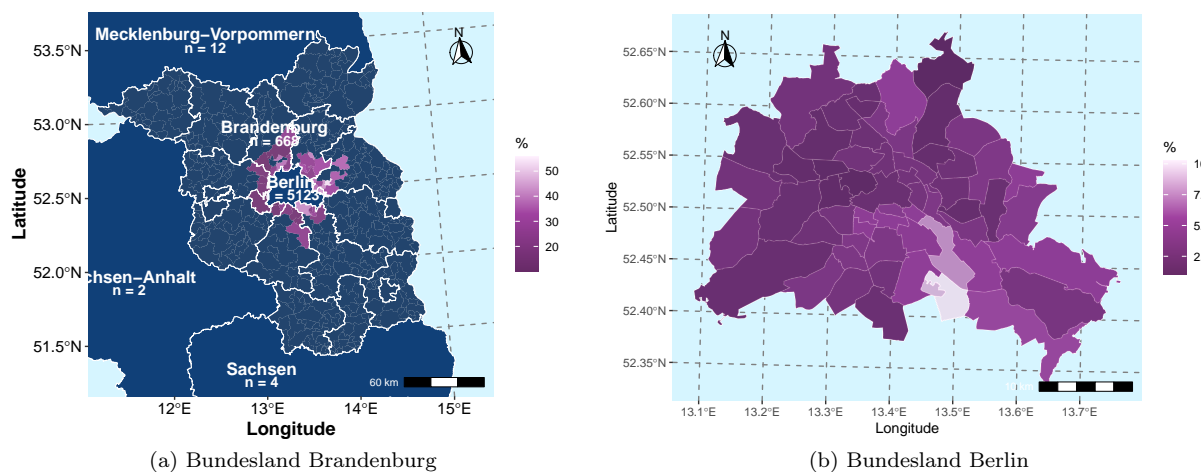


Abbildung 7.5: Prozentuale Darstellung des Wohnorts der Patienten zum Zeitpunkt der Diagnose für Brandenburg (Gemeindeebene) und Berlin (LOR) (mit mindestens 5 Fällen) - 5-Jahres Berichtszeitraum (2020 - 2024)

**Tabelle 7.1** stellt Ihnen die absoluten Häufigkeiten der betrachteten Tumorfälle nach Wohnort zum Zeitpunkt der Krebsdiagnose getrennt nach Diagnosejahr (einzelne Berichtsjahre 2020 - 2024) dar. Dabei steht “BRB” für Brandenburg, “B” für Berlin und “Andere BL” für alle anderen Bundesländer.

Tabelle 7.1: Absolute Häufigkeit der Tumorfälle je Wohnort (Bundeslandebene) und pro Berichtsjahr (Diagnosejahr)

Berichtsjahr	BB	BE	Andere BL
2020	138	1139	9
2021	155	1063	13
2022	139	1087	9
2023	126	1053	5
2024	110	781	6

Anmerkung: aktueller Datenstand: 31.10.2025

## TEIL IV

### ENTITÄTENSPEZIFSCHE ANALYSEN UND DARSTELLUNGEN



Teil IV „Entitätspezifische Analysen und Darstellungen“ des Praxis-Rückmeldeberichts enthält basierend auf den Analysen in Teil III spezifische Auswertungen und Darstellungen für Entitätengruppen. Die Einteilung der Tumordiagnosen in Entitätengruppen erfolgte nach der ICD-10-Klassifikation.

Bitte beachten Sie, dass maximal die fünf häufigsten invasiven Entitätengruppen (Mindestfallzahl  $\geq 25$  im 5-Jahres Berichtszeitraum von **2020 bis 2024**) in entsprechenden Kapiteln dargestellt werden. Im Folgenden werden u. a. die Fallzahlen, Vollständigkeit, Tumoreigenschaften, Patientenstruktur und Überlebensanalysen abgebildet.

Sollten Sie tiefergehende Analysen oder Auswertungen für in diesem Teil nicht abgebildete Entitätengruppen wünschen, stellen wir Ihnen gerne weitere Darstellungen und Statistiken auf Anfrage (per E-Mail an Datenauswertung@kkrrb.de) zur Verfügung.

## 8 | C50-C50 - Brustdrüse

Das Kapitel **C50-C50 - Brustdrüse** dieses Rückmeldeberichtes stellt Ihnen verschiedene Auswertungen und Darstellungen zu Tumorfällen von Patienten mit Diagnosen der Gruppe C50-C50 - Brustdrüse zu Verfügung. Neben den Fall- und Behandlungszahlen sowie den Vollständigkeitsangaben werden die Tumoreigenschaften und Patientenstruktur als auch Überlebensanalysen präsentiert.

### 8.1 Allgemeine Informationen

**Tabelle 8.1** fasst die Anzahl der neu diagnostizierten Fälle und therapeutischen Behandlungen (einzelner oder mehrerer Therapieanwendungen) nach Art der Therapie (Operation, Strahlentherapie/Nuklearmedizin, systemische Therapie oder abwartende Therapie) und Verlauf für Tumoren der Gruppe C50-C50 - Brustdrüse Ihrer Einrichtung über den 5-Jahres Berichtszeitraum (2020 bis 2024), als auch für das aktuelle Berichtsjahr (2024) zusammen.

Tabelle 8.1: Anzahl der gemeldeten Diagnosen, therapeutischen Behandlungen und Verläufe für C50-C50 - Brustdrüse

TYP	Anzahl der Behandlungen		Anzahl der Fälle	
	Einrichtung	REF	Einrichtung	REF
5-Jahres Berichtszeitraum (2020 - 2024)				
Diagnose			636	19.38%
therapeutische Behandlungen	1226	17.45%	914	22.12%
Operation	1	16.67%	1	16.67%
Strahlentherapie	0	0.00%	0	0.00%
Systemtherapie	1217	17.41%	910	22.10%
abwartende Therapie	0	0.00%	0	0.00%
Verlauf	1100	67.73%	796	65.89%
Gesamt			1777	24.90%
Aktuelles Berichtsjahr (2024)				
Diagnose			144	24.32%
therapeutische Behandlungen	240	24.72%	199	27.87%
Operation	0	0.00%	0	0.00%
Strahlentherapie	0	0.00%	0	0.00%
Systemtherapie	239	24.56%	198	27.65%
abwartende Therapie	0	0.00%	0	0.00%
Verlauf	472	78.02%	449	78.91%
Gesamt			664	41.04%

Anmerkung: Gesamt = Fall mit Diagnose oder Therapie in der Einrichtung; aktueller Datenstand: 31.10.2025

## 8.2. Vollständigkeit

Im Abschnitt *Vollständigkeit* werden analog zu Teil II “*Qualität und Vollständigkeit*” die Vollständigkeit sowie die Qualität der an das KKRBB gesandten Meldungen zu tumorrelevanten Behandlungen bezüglich der in Ihrer Einrichtung diagnostizierten und / oder therapierten Krebserkrankungen der Tumorentitätengruppe **C50-C50 - Brustdrüse** für den 5-Jahres Berichtszeitraum (2020 bis 2024) beschrieben. Weitere Informationen bezüglich Definition dieser Merkmale finden Sie in Teil II “*Qualität und Vollständigkeit*” des Rückmeldeberichts.

### 8.2.1 Vollständigkeit von Diagnose- und Histologiemerkmalen

**Tabelle 8.2** gibt Ihnen einen Überblick über die Qualität und Vollständigkeit der beschriebenen Diagnose- und Histologiemerkmale für durchgeführte Diagnosen Ihrer Einrichtung; sowohl für den Gesamtzeitraum als auch für die einzelnen Berichtsjahre (basierend auf dem Diagnosejahr). Zudem zeigt Ihnen **Tabelle 8.2** zur Einordnung Ihrer Zahlen die prozentualen Ergebnisse der Vollständigkeit der Referenz (REF).

Tabelle 8.2: Qualität und Vollständigkeit von Diagnose- und Histologiemerkmalen im Zeitverlauf (REF - Referenz)

Merkmalsname	2020	2021	2022	2023	2024	Gesamt	REF
<b>Thematik: DIAGNOSE und HISTOLOGIE</b>							
Gesamt	134	152	98	108	144	636	
Diagnose-Datum	n 134	152	98	108	144	636	
	% 100.0%	100.0%	100.0%	100.0%	100.0%	100.0%	100.0%
tagesgen. Diagnose-Datum	n 129	138	80	87	127	561	
	% 96.3%	90.8%	81.6%	80.6%	88.2%	88.2%	95.8%
Diagnosesicherung (DS)	n 134	152	98	108	144	636	
	% 100.0%	100.0%	100.0%	100.0%	100.0%	100.0%	100.0%
DS (histol. od. zytol.)	n 134	149	97	101	142	623	
	% 100.0%	98.0%	99.0%	93.5%	98.6%	98.0%	97.2%
Lokalisation	n 134	152	98	108	144	636	
	% 100.0%	100.0%	100.0%	100.0%	100.0%	100.0%	100.0%
Seitenlokalisation	n 134	152	98	108	144	636	
	% 100.0%	100.0%	100.0%	100.0%	100.0%	100.0%	100.0%
Histologie*	n 133	139	95	98	141	606	
	% 100.0%	100.0%	100.0%	100.0%	100.0%	100.0%	100.0%
Histologie-Schlüssel*	n 132	132	93	96	141	594	
	% 99.2%	95.0%	97.9%	98.0%	100.0%	98.0%	99.4%
Histologie-Datum*	n 133	139	95	98	141	606	
	% 100.0%	100.0%	100.0%	100.0%	100.0%	100.0%	100.0%
Grading*	n 132	138	95	102	142	609	
	% 100.0%	100.0%	100.0%	99.0%	100.0%	99.8%	99.8%
<b>klin. u. / od. pathol. TNM</b>							
UICC-Klassifikation*	n 130	126	89	93	137	575	
	% 98.5%	91.3%	93.7%	90.3%	96.5%	94.3%	97.9%
TNM (T-Kategorie)*	n 130	123	87	92	136	568	
	% 98.5%	89.1%	91.6%	89.3%	95.8%	93.1%	97.2%
TNM (N-Kategorie)*	n 131	124	88	92	135	570	
	% 99.2%	89.9%	92.6%	89.3%	95.1%	93.4%	96.9%
TNM (M-Kategorie)*	n 124	124	84	86	135	553	
	% 94.7%	91.2%	93.3%	85.1%	97.1%	92.6%	88.2%
<b>klin. TNM</b>							
UICC-Klassifikation*	n 111	118	75	84	134	522	
	% 84.7%	86.8%	83.3%	83.2%	96.4%	87.4%	95.2%
TNM (T-Kategorie)*	n 113	119	75	83	134	524	
	% 86.3%	87.5%	83.3%	82.2%	96.4%	87.8%	95.3%
TNM (N-Kategorie)*	n 113	118	75	84	134	524	
	% 86.3%	86.8%	83.3%	83.2%	96.4%	87.8%	94.9%
TNM (M-Kategorie)*	n 108	119	74	80	134	515	
	% 82.4%	87.5%	82.2%	79.2%	96.4%	86.3%	84.1%
ECOG	n 97	92	71	82	112	454	
	% 72.9%	62.2%	77.2%	78.8%	79.4%	73.5%	73.9%

**Anmerkung:** n - Anzahl; aktueller Datenstand vom 31.10.2025

\* n des Merkmals weicht von Gesamt n ab

## 8.2.2 Vollständigkeit von Therapiemerkmale

### 8.2.2.1 Operation

**Tabelle 8.3** gibt Ihnen einen Überblick über die Qualität und Vollständigkeit der beschriebenen Therapiemerkmale für durchgeführte Operationen Ihrer Einrichtung; sowohl für den Gesamtzeitraum als auch für die einzelnen Berichtsjahre (basierend auf dem Jahr der Leistungserbringung). Zudem zeigt Ihnen **Tabelle 8.3** zur Einordnung der Zahlen Ihrer Einrichtung die prozentualen Ergebnisse der Vollständigkeit der Referenz (REF).

Tabelle 8.3: Operation - Qualität und Vollständigkeit von Merkmalen im Zeitverlauf (REF - Referenz)

Merkmalsname	2021		Gesamt	REF
<b>Behandlung: OPERATION</b>				
Gesamt	1		1	
OP-Datum	n	1	1	
	%	100.0%	100.0%	<b>100.0%</b>
Tagesgenauigkeit (OP)	n	1	1	
	%	100.0%	100.0%	<b>100.0%</b>
Therapieintention	n	1	1	
	%	100.0%	100.0%	<b>100.0%</b>
OP-Schlüssel vollst.	n	0	0	
	%	0.0%	0.0%	<b>80.0%</b>
lokale R-Klass.*	n	1	1	
	%	100.0%	100.0%	<b>100.0%</b>
globale R-Klass.*	n	1	1	
	%	100.0%	100.0%	<b>100.0%</b>
Anzahl Lymphkn. (unters.)*	n	1	1	
	%	100.0%	100.0%	<b>66.7%</b>
Anzahl Lymphkn. (befall.)*	n	1	1	
	%	100.0%	100.0%	<b>66.7%</b>
Komplikationen	n	0	0	
	%	0.0%	0.0%	<b>60.0%</b>

**Anmerkung:** aktueller Datenstand vom 31.10.2025

\* n des Merkmals weicht von Gesamt n ab

### 8.2.2.2 Systemtherapie

Die folgende Tabelle gibt Ihnen einen Überblick über die Qualität und Vollständigkeit der beschriebenen Therapiemerkmale für durchgeführte Systemtherapien Ihrer Einrichtung; sowohl für den Gesamtzeitraum als auch für die einzelnen Berichtsjahre (basierend auf dem Jahr der Leistungserbringung). Zudem zeigt Ihnen diese Tabelle zur Einordnung der Zahlen Ihrer Einrichtung die prozentualen Ergebnisse der Vollständigkeit der Referenz (REF).

Tabelle 8.4: Systemtherapie - Qualität und Vollständigkeit von Therapiemerkmale im Zeitverlauf

Merkmalsname	2020	2021	2022	2023	2024	Gesamt	REF
<b>Behandlung: SYSTEMTHERAPIE</b>							
Gesamt	185	199	311	285	237	1217	
Anfang und Ende d. Th.*	n	69	92	84	68	42	355
	%	61.6%	67.2%	40.6%	46.3%	37.5%	49.7% <b>72.6%</b>
Anfang der Th.	n	185	199	311	285	237	1217
	%	100.0%	100.0%	100.0%	100.0%	100.0%	100.0% <b>100.0%</b>
Ende der Th.*	n	69	92	84	68	42	355
	%	61.6%	67.2%	40.6%	46.3%	37.5%	49.7% <b>72.6%</b>
Typ d. syst. Th.	n	183	192	296	272	213	1156
	%	98.9%	96.5%	95.2%	95.4%	89.9%	95.0% <b>95.3%</b>
Th.protokoll / Subs.	n	185	196	311	283	236	1211
	%	100.0%	98.5%	100.0%	99.3%	99.6%	99.5% <b>99.8%</b>
Therapieintention	n	184	198	310	281	232	1205
	%	99.5%	99.5%	99.7%	98.6%	97.9%	99.0% <b>99.5%</b>
Stellung zur OP	n	185	192	306	283	236	1202

Tabelle 8.4: Systemtherapie - Qualität und Vollständigkeit von Therapiemerkmalen im Zeitverlauf (continued)

Merkmalsname	2020	2021	2022	2023	2024	Gesamt	REF
	%	100.0%	96.5%	98.4%	99.3%	99.6%	98.8% <b>99.7%</b>
Nebenwirkungen*	n	57	69	58	42	32	258
	%	30.8%	34.7%	18.6%	14.7%	13.5%	21.2% <b>27.8%</b>
Therapieabschluss	n	81	102	96	79	51	409
	%	43.8%	51.3%	30.9%	27.7%	21.5%	33.6% <b>53.7%</b>

**Anmerkung:** aktueller Datenstand vom 31.10.2025

\* n des Merkmals weicht von Gesamt n ab

### 8.3. Tumoreigenschaften

Im Abschnitt **Tumoreigenschaften** wird Ihnen für die Patienten mit Tumordiagnosen der Tumorentitätengruppe **C50-C50 - Brustdrüse** Ihrer Einrichtung u. a. die Histologien, Klassifizierungen und Metastasen dargestellt. Bei den Analysen wird der 5-Jahres Berichtszeitraum von **2020 bis 2024** betrachtet.

#### 8.3.1 Tumordiagnose (nach ICD-10)

Die Tumordiagnosen werden in diesem Unterabschnitt basierend auf der 5-stelligen ICD-10 beschrieben. **Tabelle 8.5** umfasst die absolute und relative Häufigkeiten der Tumorentitäten beruhend auf dem Jahr der Erstdiagnose für die einzelnen Berichtsjahre und dem Zeitraum (2020 bis 2024). Die prozentualen Angaben in diesen Spalten beziehen sich auf die Gesamtanzahl an Tumorfällen Ihrer Einrichtung. Zudem zeigt Ihnen **Tabelle 8.5** in Spalte **REF** den prozentualen Anteil Ihrer Einrichtung an den entsprechenden Gesamtzahlen der in der Referenz diagnostizierten Tumorfälle.

Tabelle 8.5: ICD-10 - Absolute und relative Häufigkeiten der Tumorentitäten im Zeitverlauf (basierend auf Diagnosejahr)

ICD-10 (Diagnose)	2020	2021	2022	2023	2024	Gesamt	REF
C50 - Brustdrüse	C50.0	2 (0.7%)	2 (0.6%)	1 (0.3%)	1 (0.4%)	1 (0.5%)	7 (0.5%) <b>2.3%</b>
	C50.1	15 (5.2%)	13 (4.0%)	16 (4.9%)	12 (4.5%)	5 (2.5%)	61 (4.3%) <b>4.3%</b>
	C50.2	28 (9.8%)	33 (10.1%)	31 (9.5%)	23 (8.7%)	25 (12.4%)	140 (10.0%) <b>5.0%</b>
	C50.3	14 (4.9%)	14 (4.3%)	12 (3.7%)	17 (6.4%)	5 (2.5%)	62 (4.4%) <b>3.7%</b>
	C50.4	110 (38.5%)	123 (37.5%)	113 (34.7%)	84 (31.7%)	69 (34.2%)	499 (35.5%) <b>4.8%</b>
	C50.5	20 (7.0%)	31 (9.5%)	25 (7.7%)	14 (5.3%)	14 (6.9%)	104 (7.4%) <b>4.7%</b>
	C50.6	-	-	-	1 (0.4%)	-	1 (0.1%) <b>1.2%</b>
	C50.8	68 (23.8%)	61 (18.6%)	83 (25.5%)	64 (24.2%)	55 (27.2%)	331 (23.5%) <b>5.2%</b>
	C50.9	22 (7.7%)	41 (12.5%)	34 (10.4%)	43 (16.2%)	22 (10.9%)	162 (11.5%) <b>3.2%</b>
	gesamt	279 (97.6%)	318 (97.0%)	315 (96.6%)	259 (97.7%)	196 (97.0%)	1367 (97.2%) <b>4.5%</b>
D05 - CIS d. Brustdrüse	D05.1	7 (2.4%)	9 (2.7%)	10 (3.1%)	6 (2.3%)	5 (2.5%)	37 (2.6%) <b>1.4%</b>
	D05.7	-	1 (0.3%)	1 (0.3%)	-	-	2 (0.1%) <b>1.4%</b>
	D05.9	-	-	-	-	1 (0.5%)	1 (0.1%) <b>0.9%</b>
	gesamt	7 (2.4%)	10 (3.0%)	11 (3.4%)	6 (2.3%)	6 (3.0%)	40 (2.8%) <b>1.3%</b>
<b>GESAMT</b>	<b>GESAMT</b>	<b>286</b>	<b>328</b>	<b>326</b>	<b>265</b>	<b>202</b>	<b>1407</b> <b>4.2%</b>

**Anmerkung:** aktueller Datenstand: 31.10.2025

#### 8.3.2 Histologie

Die nachfolgenden Analysen umfassen sowohl eine Kategorisierung der Tumoren nach deren dokumentierter Histologie (Hauptklassen nach ENCR 2017 und NCT 2018) sowie das Vorkommen dieser **Histologie-Hauptklassen** (bspw. Karzinome) innerhalb der fünf am häufigsten vorkommenden Entitäten innerhalb der Tumorentitätengruppe **C50-C50 - Brustdrüse** Ihrer Einrichtung. Zudem werden die **Histologie-Hauptklassen**

nach den vorhandenen Histologie-Gruppen (nach ENCR 2017 und NCT 2018) und die Verteilung der Histologie-Schlüssel (nach ICD-O) für die vorkommenden Tumorentitäten (nach ICD-10) tabellarisch dargestellt.

Der folgenden Tabellen beschreiben Ihnen die Tumorfälle (aufgeschlüsselt nach ICD-10), die in Ihrer Einrichtung im 5-Jahres Berichtszeitraum (2020 bis 2024) diagnostiziert oder im Rahmen der Primärtherapie behandelt worden sind, nach deren **Histologie** (Histologie-Schlüssel nach ICD-O).

Als Referenz zur Kategorisierung der Histologie-Schlüssel wurden verwendet:

- ENCR 2017 - Ardanaz et. al.: Working Group ENCR guidelines for reporting of multiple primary malignant (invasive) neoplasms - ENCR Multiple primary rules version 4
- NCT 2018 - Adzersen u. Schäfer: Handbuch der allgemeinen Tumordokumentation, 7. Auflage

Tabelle 8.6: Histologie-Übersicht für C50 - Brustdrüse - absolute Häufigkeiten der Tumorhistologien stratifiziert (nach ENCR 2017, NCT 2018) für einzelne Berichtsjahre

Gruppe	Histologie-Schlüssel	2020	2021	2022	2023	2024	Gesamt
<b>Karzinome</b>							
Adnex- u. Hautanhangsneopl.	8401/3: Apokrines Adenokarzinom	2	1	2	1	1	7
Adnex- u. Hautanhangsneopl.	Total	2	1	2	1	1	7
Adenokarzinome	8140/3: Adenokarzinom o.n.A.	3	10	5	11	10	39
Adenokarzinome	8140/6: Adenokarzinom-Metastase o.n.A.	0	1	1	0	0	2
Adenokarzinome	8200/3: Adenoid-zystisches Karzinom	0	0	0	0	1	1
Adenokarzinome	8201/3: Kribiformes Karzinom o.n.A.	0	1	0	0	0	1
Adenokarzinome	8211/3: Tubuläres Adenokarzinom	0	1	1	1	0	3
Adenokarzinome	8230/3: Solides Karzinom o.n.A.	0	1	0	0	0	1
Adenokarzinome	8265/3: Mikropapilläres Karzinom o.n.A.	0	0	0	1	1	2
Adenokarzinome	8480/3: Muzinöses Adenokarzinom	8	5	3	3	2	21
Adenokarzinome	8500/2: Nichtinfiltrierendes intraduktales Karzinom o.n.A.	0	1	1	1	0	3
Adenokarzinome	8500/3: Invasives duktales Karzinom o.n.A.	215	231	238	199	150	1033
Adenokarzinome	8503/3: Intradukt. papilläres Adenokarzinom m. Invasion	1	0	0	0	1	2
Adenokarzinome	8520/3: Lobuläres Karzinom o.n.A.	41	31	44	25	27	168
Adenokarzinome	8521/3: Invasives duktuläres Karzinom	0	0	1	0	0	1
Adenokarzinome	8522/3: Invasives duktales und lobuläres Karzinom	0	3	2	1	0	6
Adenokarzinome	8523/3: Invasives duktales Karzinom gemischt mit anderen Karzinom-Typen	0	2	0	0	0	2
Adenokarzinome	8524/3: Invasives lobuläres Karzinom gemischt mit anderen Karzinom-Typen	1	0	1	1	0	3
Adenokarzinome	8540/3: M. Paget der Brust	1	1	0	1	0	3
Adenokarzinome	8575/3: Metaplastisches Karzinom o.n.A.	1	0	5	0	0	6
Adenokarzinome	Total	271	288	302	244	192	1297
n.n.b. Karzinome	8010/3: Karzinom o.n.A.	2	7	2	4	0	15
n.n.b. Karzinome	8010/6: Karzinom-Metastase o.n.A.	0	0	2	0	0	2
n.n.b. Karzinome	8020/3: Undifferenziertes Karzinom o.n.A.	1	0	0	0	0	1
n.n.b. Karzinome	8050/3: Papilläres Karzinom o.n.A.	0	0	0	0	1	1
n.n.b. Karzinome	Total	3	7	4	4	1	19
	Total	276	296	308	249	194	1323
<b>Sarkome u. Weichgewebetumoren</b>							
andere n.b. Sarkome	9020/3: Maligner Phylloides-Tumor	0	1	0	0	0	1
andere n.b. Sarkome	Total	0	1	0	0	0	1
	Total	0	1	0	0	0	1

Tabelle 8.7: Histologie-Übersicht für D05 - CIS d. Brustdrüse - absolute Häufigkeiten der Tumorhistologien stratifiziert (nach ENCR 2017, NCT 2018) für einzelne Berichtsjahre

Gruppe	Schlüssel	2020	2021	2022	2023	2024	Gesamt
<b>Karzinome</b>							
Adenokarzinome	8201/2: Kribiformes Carcinoma in situ	0	0	1	0	0	1
Adenokarzinome	8500/2: Nichtinfiltrierendes intraduktales Karzinom o.n.A.	7	8	9	6	6	36
Adenokarzinome	Total	7	8	10	6	6	37
	Total	7	8	10	6	6	37

### 8.3.3 Histopathologisches Grading und UICC-Klassifikation

Die Analyse des histopathologischen Gradings beruht auf den ermittelten **häufigsten Tumorentitäten** (nach ICD-10) (siehe *Abschnitt 6.1*). Von diesen Tumoren wurden ausschließlich die gradingpflichtigen ausgewählt (Entscheidungskriteria basierend auf ICD-10, ICD-O und Histologie), deren Diagnose histologisch oder zytologisch gesichert wurde, und bezüglich der Verteilung der Differenzierungsgrade analysiert.

Folgende Differenzierungsgrade wurden ausgewertet:

- **G1** -> gut differenziert
- **G2** -> mäßig differenziert
- **G3** -> schlecht differenziert
- **G4** -> undifferenziert
- **GX** -> unbekannt

**Abbildung 8.1** gibt Ihnen für die häufigsten Tumorfälle Ihrer Einrichtung einen Überblick über die absolute und relative Häufigkeiten der Differenzierungsgrade des histopathologischen Gradings für die betrachteten Tumorfälle von gradingpflichtigen Tumorentitäten. Im Gegensatz zu **Abbildung 8.1 a)** ist in **Abbildung 8.1 b)** das Grading (absolute und relative Häufigkeiten) **ohne** die Fälle mit fehlender Angabe zu den Differenzierungsgraden dargestellt.

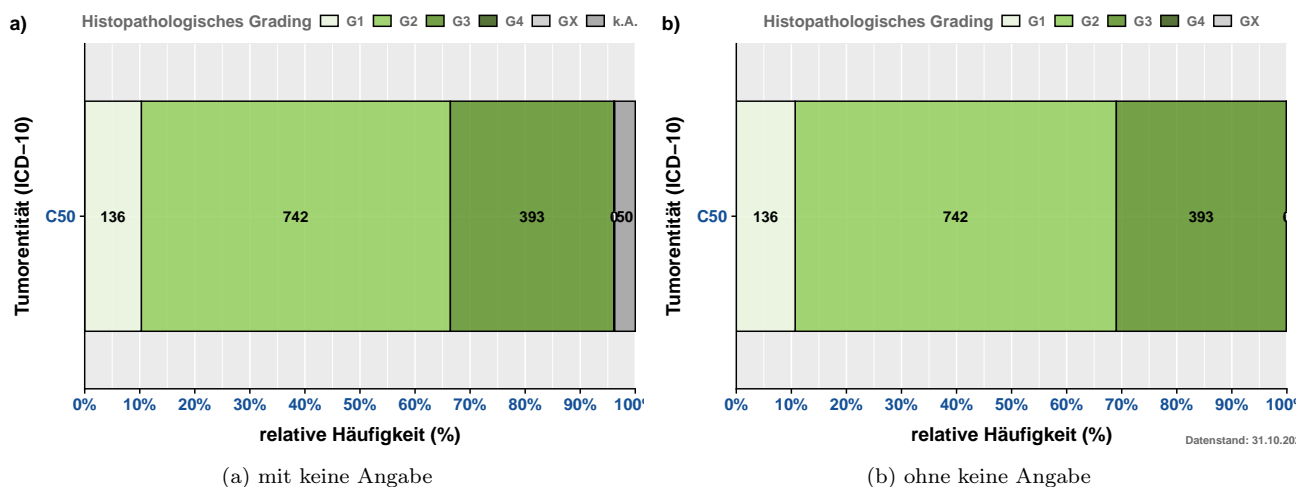


Abbildung 8.1: Histopathologisches Grading für den 5-Jahres Berichtszeitraum (2020 - 2024) - absolute und relative Häufigkeiten der Differenzierungsgrade

### 8.3.4 UICC-Klassifikation

Die Beschreibung der Stadienverteilung nach UICC beruht auf den ermittelten invasiven Tumorentitäten (nach ICD-10). Von diesen Tumoren wurden ausschließlich die TNM-pflichtigen ausgewählt (Entscheidungskriteria basierend auf ICD-10, ICD-O und Histologie) und bezüglich der Verteilung der Stadien analysiert. In der Auswertung wurden vorrangig pathologische UICC-Stadien verwendet. Lag aufgrund neoadjuvanter oder nicht operativer Behandlungen die pathologische Variante nicht vor, wurde in der Berechnung auf die klinischen UICC-Stadien zurückgegriffen.

Die folgende Abbildung gibt Ihnen einen Überblick über die absoluten und relativen Häufigkeiten der einzelnen Stadien nach UICC für die betrachteten Fälle von TNM-pflichtigen Tumorentitäten (Tumorentitätengruppen nach ICD-10).

### 8.3.5 Staging

Die Beschreibung der TNM-Verteilung beruht auf den ermittelten häufigsten invasiven Tumorentitäten und wird in der folgenden Abbildung dargestellt. Von diesen Tumoren wurden ausschließlich die TNM-pflichtigen ausgewählt und analysiert (Entscheidungskriteria basierend auf ICD-10, ICD-O und Histologie). In der Auswertung

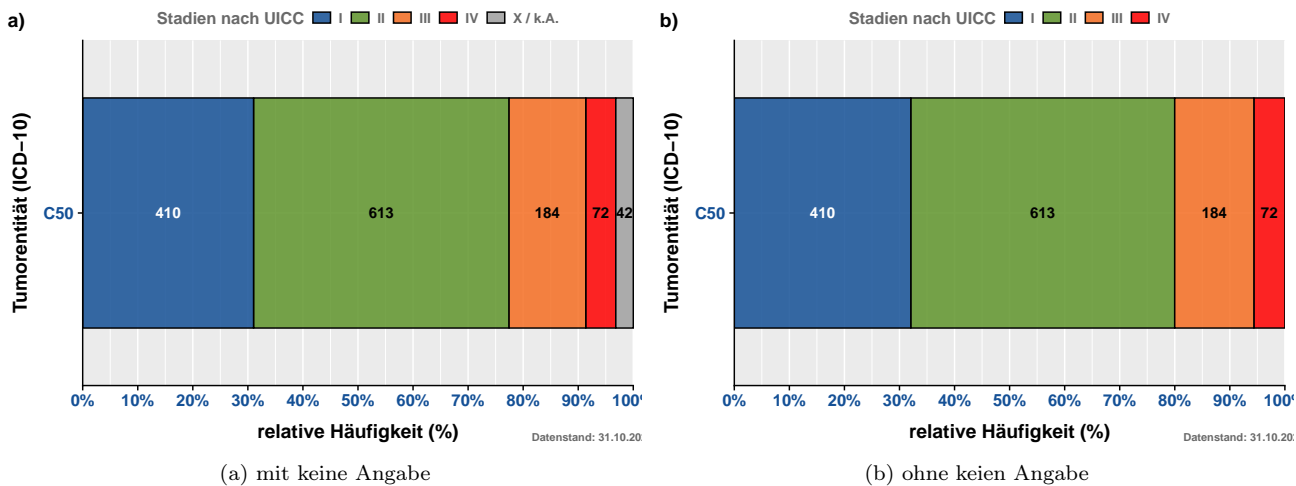


Abbildung 8.2: Stadienverteilung nach UICC für invasive Tumorentitäten (TNM-pflichtig) für den 5-Jahres Berichtszeitraum (2020 - 2024) - absolute und relative Häufigkeiten der Differenzierungsgrade

wurden vorrangig pathologische TNM-Kategorien verwendet. Lag aufgrund neoadjuvanter oder nicht operativer Behandlungen die pathologische Variante nicht vor, wurde in der Berechnung auf die klinischen TNM-Kategorien zurückgegriffen.

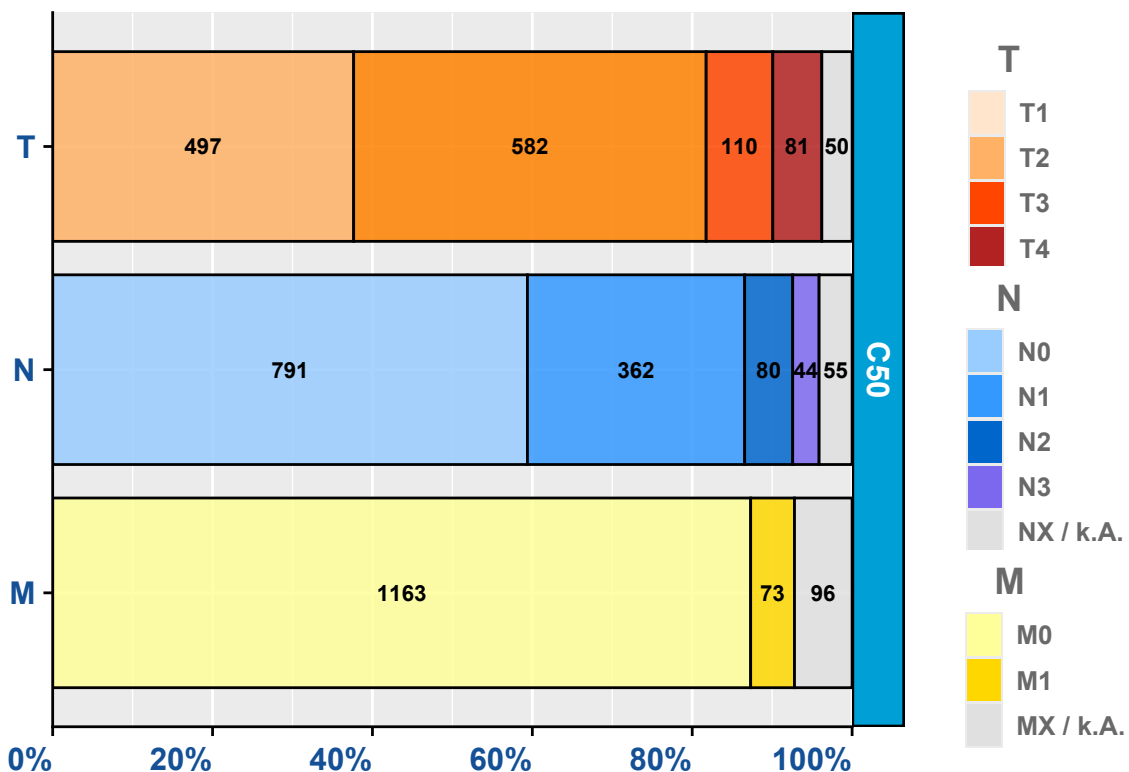


Abbildung 8.3: TNM - Verteilung der TNM-Kategorien der 10 häufigsten invasiven Tumorentitätengruppen (TNM-pflichtig)

### 8.3.6 Primäre Metastasierung

In diesem Abschnitt wird die primäre Metastasierung Ihrer Tumorfälle analysiert. Primäre Metastasierung umfasst Metastasen, die innerhalb von 92 Tagen nach Diagnosestellung aufgetreten sind. **Tabelle 8.8** listet die primär metastasierten Tumorfälle für die häufigsten Tumorentitäten (ICD-10) auf.

Tabelle 8.8: Absolute und relative Häufigkeiten der Tumorfälle mit primärer Metastasierung nach ICD-10 und Zeitraum

ICD-10 (Diagnose)	Berichtsjahr					GESAMT
	2020	2021	2022	2023	2024	
C50 - Brustdrüse	13 (100.0%)	22 (100.0%)	25 (100.0%)	9 (100.0%)	17 (100.0%)	86 (100.0%)
GESAMT	13	22	25	9	17	86

Anmerkung: aktueller Datenstand: 31.10.2025

**Tabelle 8.9** zeigt die absolute Häufigkeit der Lokalisationen der primären Fernmetastasen.

Tabelle 8.9: Absolute Häufigkeit der Lokalisation primärer Metastasen (stratifiziert nach ICD-10)

Lokalisation		C50	n
GEN	Generalisierte Metastasierung	1	1
SKI	Hautmetastasen	9	9
BRA	Hirnmetastasen	5	5
MAR	Knochenmarkmetastasen	0	0
OSS	Knochenmetastasen	58	58
HEP	Lebermetastasen	21	21
PUL	Lungenmetastasen	21	21
LYM	Lymphknotenmetastasen	20	20
OTH	Metastasen in anderen Organen	4	4
SPL	Milzmetastasen	0	0
ADR	Nebennierenmetastasen	2	2
PER	Peritoneummetastasen	5	5
PLE	Pleurametastasen	7	7
gesamt		153	153

Anmerkung: aktueller Datenstand: 31.10.2025

## 8.4. Patientenstruktur

Im Abschnitt Patientenstruktur wird Ihnen für die Patienten mit Tumordiagnosen C50-C50 - Brustdrüse das Geschlechterverhältnis, die Altersstruktur sowie die Herkunft der Fälle zum Zeitpunkt der Diagnose dargestellt. Dabei wird der 5-Jahres Berichtszeitraum von **2020 bis 2024** betrachtet.

**Abbildung 8.4** zeigt Ihnen die absolute Häufigkeit der betrachteten Tumorfälle aufgesplittet nach Geschlecht (männlich / weiblich) und Tumorentität (ICD-10). Abgebildet sind die in Ihrer Einrichtung aufgetretenen invasiven Tumorentitäten der Berichtsjahre 2020 bis 2024 (basierend auf dem Diagnosejahr).

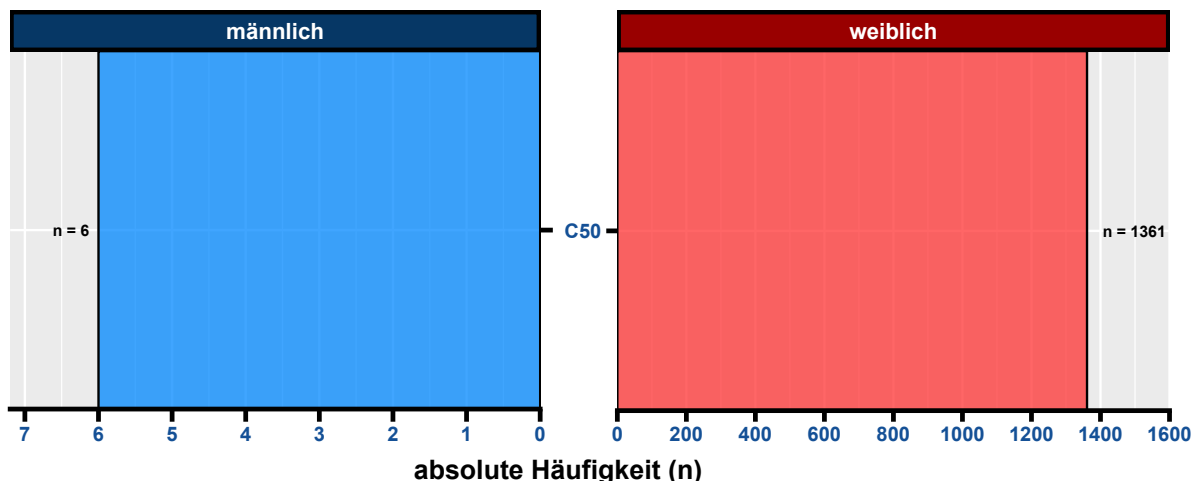


Abbildung 8.4: Geschlechterverhältnis (männlich / weiblich) der Tumorfälle für die Tumorentitäten (nach ICD-10) 5-Jahres Berichtszeitraum (2020 - 2024)

**Abbildung 8.5** veranschaulicht Ihnen die Altersverteilung der Tumorentitäten (nach ICD-10) für Männer und Frauen.

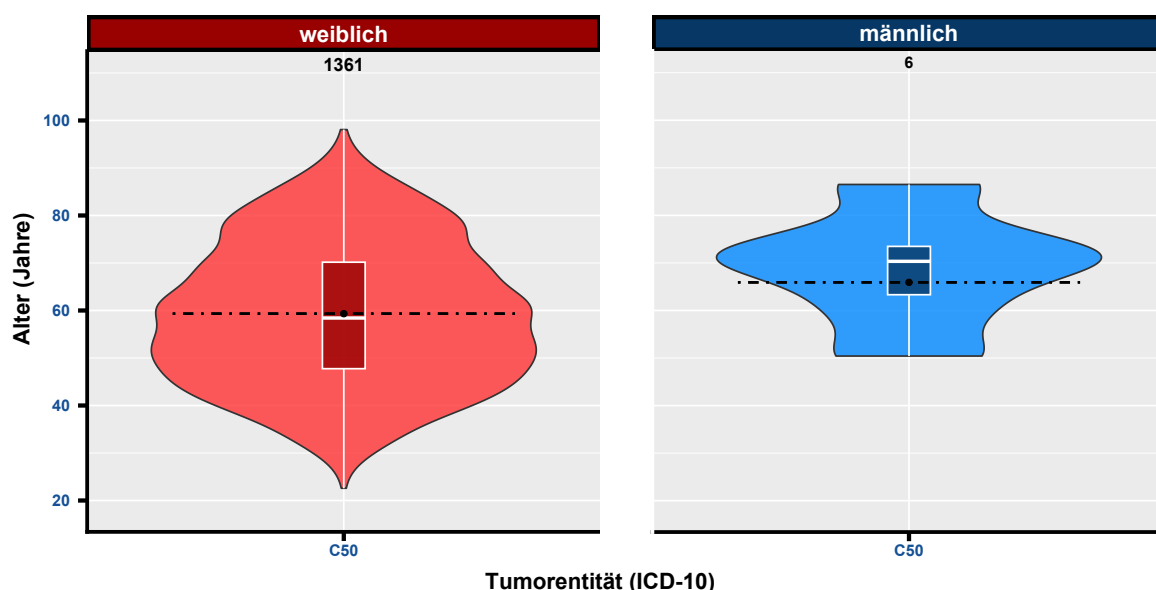


Abbildung 8.5: Altersverteilung der vorkommenden Tumorentitäten (nach ICD-10) je Geschlecht

### 8.4.1 Herkunft

Das Patientenkollektiv Ihrer Einrichtung stammt, basierend auf dem Wohnort zum Zeitpunkt der Diagnose, aus **10 Bundesländern**. Dabei kommen **1.281** Fälle aus dem Bundesland Berlin und **112** Fälle aus dem Bundesland Brandenburg. Aus dem Bundesland Niedersachsen kommen mit 3 Fällen die meisten Patienten, die nicht in der Region Brandenburg-Berlin zum Zeitpunkt der Diagnose wohnhaft waren. Die folgenden kartographischen Darstellungen stellen Ihnen den Wohnort zum Zeitpunkt der Diagnose Ihrer Patienten detaillierter dar (wenn mindestens 25 Tumorfälle vorliegen). Für Patienten aus dem Bundesland Brandenburg werden die Zahlen (prozentual) auf Gemeindeebene, für Berliner Patienten basierend auf den Prognoseräumen (Konzept der Lebensweltlich orientierten Räumen (LOR)) erhoben. Bitte beachten Sie, dass nur Prognoseräume und Gemeinden in der Darstellung berücksichtigt werden, wenn diese mindestens 5 Tumorfälle vorweisen (**Abbildung 8.6**).

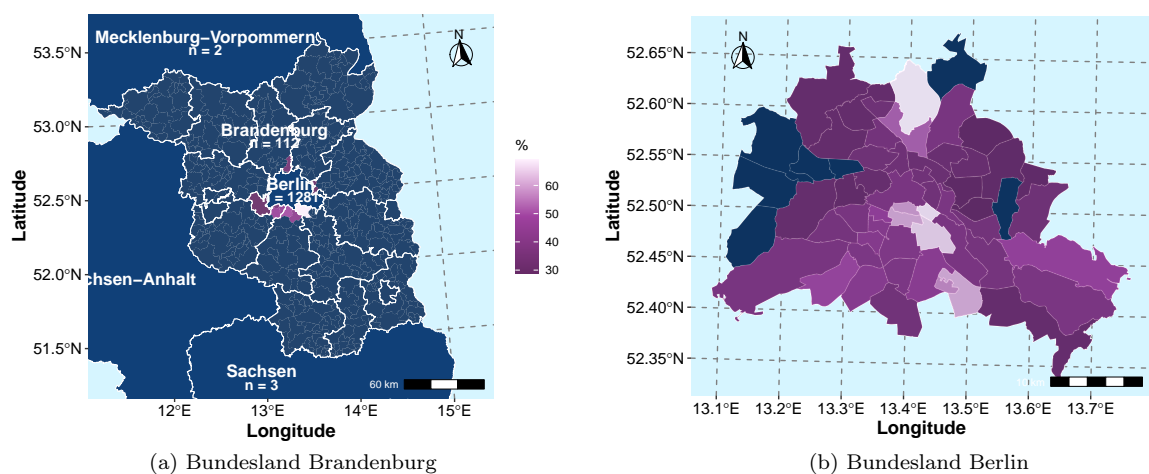


Abbildung 8.6: Prozentuale Darstellung des Wohnorts der Patienten zum Zeitpunkt der Diagnose für Brandenburg (Gemeindeebene) und Berlin (LOR) (mit mindestens 5 Fällen) - 5-Jahres Berichtszeitraum (2020 - 2024)

**Tabelle 8.10** stellt Ihnen die absoluten Häufigkeiten der betrachteten Tumorfälle nach Wohnort zum Zeitpunkt der Krebsdiagnose getrennt nach Diagnosejahr (einzelne Berichtsjahre 2020 - 2024) dar. Dabei steht "BB" für Brandenburg, "BE" für Berlin und "Andere BL" für alle anderen Bundesländer.

Tabelle 8.10: Absolute Häufigkeit der Tumorfälle je Wohnort (Bundeslandebene) und pro Berichtsjahr (Diagnosejahr)

Berichtsjahr	BB	BE	Andere BL
2020	27	258	1
2021	19	302	7
2022	26	296	4
2023	21	243	1
2024	19	182	1

Anmerkung: aktueller Datenstand: 31.10.2025

## 8.5. Überlebensanalysen (nach Kaplan-Meier)

Dieser Abschnitt beschreibt das absolute Überleben (Anteil der Patienten, die zu einem bestimmten Zeitpunkt nach ihrer Diagnose noch leben; basierend auf Kaplan-Meier-Schätzwerten) für Patienten Ihrer Einrichtung (diagnostiziert bzw. primärtherapiert) mit Tumordiagnosen der Gruppe **C50-C50 - Brustdrüse**, stellt Vergleiche mit Ihrer entsprechenden Referenz (siehe: Beschreibung in der Einleitung) an und analysiert das Gesamtüberleben stratifiziert u. a. nach UICC-Klassifikation, Geschlecht und Alter ("18-49 Jahre", "50-74 Jahre", "75+ Jahre"). Dabei ist zu berücksichtigen, dass das Patientenkollektiv Ihrer Einrichtung sich hinsichtlich Alter, Geschlecht, ECOG, Krankheitsstadien und weiteren Tumoreigenschaften von dem anderer Einrichtungen unterscheiden kann, was die direkte Vergleichbarkeit einschränkt. Stichtag für die Überlebensberechnungen ist der 31.12.2024, das bedeutet, dass die Betrachtung der Überlebenszeit bis zu diesem Datum erfolgt, da bis zu diesem Datum von einer vollständigen Erfassung des Lebendstatus der Patientinnen und Patienten auszugehen ist.

Bei der Interpretation der Überlebensstatistiken achten Sie bitte auf folgende Punkte:

- es werden nur für invasive Tumorentitäten (C00-C97) Überlebensanalysen gerechnet
- die Kaplan-Meier-Schätzwerte beruhen auf den Daten von 01.01.2020 bis zum aktuellen Stichtag 31.12.2024
- Konfidenzintervalle, die eine große Spannweite aufweisen, deuten auf ein größere Ungenauigkeit des Kaplan-Meier-Schätzers hin
- eine geringe Fallanzahl (Gesamt oder pro untersuchte Gruppe) führt zu größeren Konfidenzintervallen

Auf Anfrage (per E-Mail an [Datenauswertung@kkrbb.de](mailto:Datenauswertung@kkrbb.de)) stellen wir Ihnen gerne weitere Überlebensdarstellungen und Statistiken Tumorentitäten zur Verfügung.

### 8.5.1 Überblick für C50-C50 - Brustdrüse

**Tabelle 8.11** gibt Ihnen einen Überblick über das Patientenkollektiv, für die die Überlebensanalysen gerechnet wurden. Des Weiteren finden Sie für die fünf häufigsten ICD-10 dieser Gruppe ( $n \geq 50$ ) eine separate Auflistung der Merkmale der betrachteten Population.

Tabelle 8.11: Beschreibung des Patientenkollektivs: Charakteristika der eingeschlossenen Patienten für die Überlebensanalysen ('overall' - alle; einzelne ICD-10 ( $n \geq 50$ ))

Variable	**Overall**, N = 1,304	**C50**, N = 1,304
Geschlecht, n (%)		
M	6 (0.5%)	6 (0.5%)
W	1,298 (100%)	1,298 (100%)
Alter bei Diagnose, Median (IQR)	58 (48, 70)	58 (48, 70)
Altersgruppe, n (%)		
18-49	402 (31%)	402 (31%)
50-74	667 (51%)	667 (51%)
75+	235 (18%)	235 (18%)
Diagnosejahr, n (%)		
2020	272 (21%)	272 (21%)
2021	296 (23%)	296 (23%)
2022	306 (23%)	306 (23%)
2023	244 (19%)	244 (19%)
2024	186 (14%)	186 (14%)
UICC-Klassifikation, n (%)		
I	411 (32%)	411 (32%)
II	620 (48%)	620 (48%)
III	193 (15%)	193 (15%)
IV	80 (6.1%)	80 (6.1%)
ECOG, n (%)		
0	879 (67%)	879 (67%)
1	114 (8.7%)	114 (8.7%)
2	28 (2.1%)	28 (2.1%)
3	14 (1.1%)	14 (1.1%)
4	2 (0.2%)	2 (0.2%)
X	267 (20%)	267 (20%)

Anmerkung: aktueller Datenstand: 31.10.2025; aktueller Stichtag: 31.12.2024

## 8.5.2 Überblick für C50 - Brustdrüse

**Abbildung 8.7 a)** stellt die absoluten Überlebensraten (Kaplan-Meier-Schätzer) für Patienten mit Tumordiagnosen der Tumorentität C50 - Brustdrüse Ihrer Einrichtung im Vergleich zur Referenz bis 5 Jahre nach Erstdiagnose (60 Monate) grafisch dar. In **Abbildung 8.7 b)** werden die absoluten Überlebensraten Ihrer Einrichtung stratifiziert nach UICC-Klassifikation gezeigt.

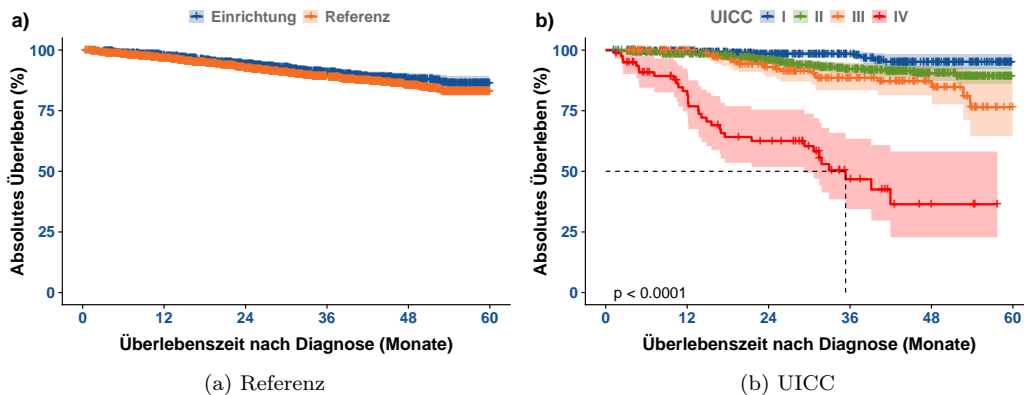


Abbildung 8.7: Darstellung des absoluten Überlebens (Kaplan-Meier-Schätzer) für C50 - Brustdrüse - a) im Vergleich zur Referenz, b) nach UICC-Klassifikation

In den **Tabellen 8.12** und **8.13** werden die Kaplan-Meier-Schätzer (mit Konfidenzintervallen) stratifiziert für das 1-Jahres bis 5-Jahres Überleben sowie für den entsprechenden Median aufgelistet.

Tabelle 8.12: Tabellarische Darstellung der Kaplan-Meier-Schätzwerte mit Konfidenzintervallen (KI) für das Gesamtüberleben für C50 - Brustdrüse der Einrichtung und Referenz

Zeit (Monate)	Einrichtung			Referenz	
	Überlebensrate (%)	95%-KI (%)	Überlebensrate (%)	95%-KI (%)	
0	100.0	100 - 100	100.0	100 - 100	100 - 100
12	98.1	97.3 - 98.8	96.8	96.2 - 97.4	96.2 - 97.4
24	94.4	93 - 95.7	92.7	91.8 - 93.7	91.8 - 93.7
36	90.9	89.1 - 92.8	89.1	87.9 - 90.3	87.9 - 90.3
48	88.3	86 - 90.7	85.5	83.9 - 87.1	83.9 - 87.1
Median (Monate)	NA	NA - NA	NA	NA - NA	NA - NA

Tabelle 8.13: Tabellarische Darstellung der Kaplan-Meier-Schätzwerte mit Konfidenzintervallen (KI) für das Gesamtüberleben für C50 - Brustdrüse stratifiziert nach UICC-Klassifikation

Zeit (Monate)	UICC = I		UICC = II		UICC = III		UICC = IV	
	Überlebensrate (%)	95%-KI (%)						
0	100.0	100 - 100	100.0	100 - 100	100.0	100 - 100	100.0	100 - 100
12	99.5	98.8 - 100	98.3	97.3 - 99.4	100.0	100 - 100	83.1	74.8 - 92.4
24	98.5	97.2 - 99.8	96.0	94.3 - 97.7	93.0	89 - 97.1	62.5	51.8 - 75.4
36	98.5	97.2 - 99.8	92.2	89.7 - 94.8	88.6	83.4 - 94.1	46.7	34.4 - 63.4
48	95.2	92.1 - 98.4	90.3	87.3 - 93.5	87.2	81.4 - 93.3	36.4	22.8 - 58.2
Median (Monate)	NA	NA - NA	NA	NA - NA	NA	NA - NA	35.4	29.3 - NA

Anmerkung: aktueller Datenstand: 31.10.2025; aktueller Stichtag: 31.12.2024

Die folgenden Abbildungen **8.8** stellen das Gesamtüberleben für Patienten Ihrer Einrichtung mit Tumordiagnosen der Gruppe C50 - Brustdrüse nach Geschlecht und Alter bei Diagnose dar. In den **Tabellen 8.14** und **8.15** werden die Kaplan-Meier-Schätzer (mit Konfidenzintervallen) stratifiziert nach Geschlecht und Alter bei Diagnose für das 1-Jahres bis 5-Jahres Überleben sowie für den entsprechenden Median aufgelistet.

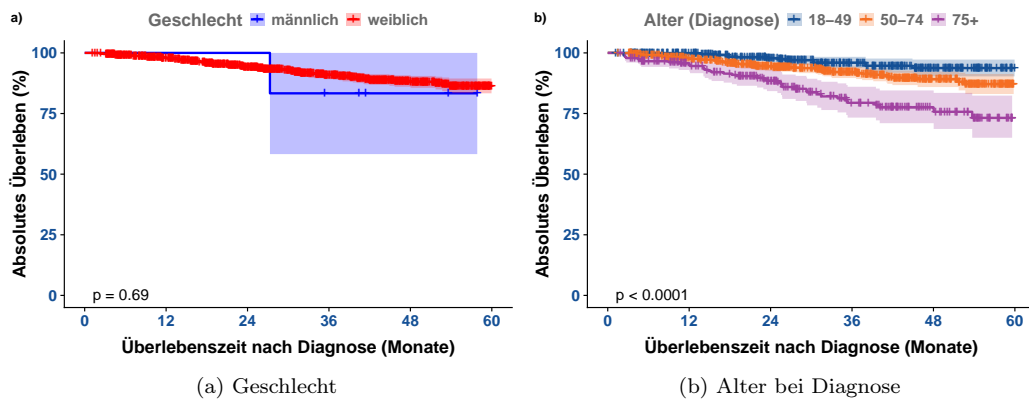


Abbildung 8.8: Darstellung des absoluten Überlebens (Kaplan-Meier-Schätzer) für C50 - Brustdrüse - a) nach Geschlecht, b) nach Alter bei Diagnose in Gruppen

Tabelle 8.14: Tabellarische Darstellung der Kaplan-Meier-Schätzwerte mit Konfidenzintervallen (KI) für das Gesamtüberleben für C50 - Brustdrüse stratifiziert nach Geschlecht

Zeit (Monate)	männlich		weiblich	
	Überlebensrate (%)	95%-KI (%)	Überlebensrate (%)	95%-KI (%)
0	100.0	100 - 100	100.0	100 - 100
12	100.0	100 - 100	98.0	97.3 - 98.8
24	100.0	100 - 100	94.3	93 - 95.7
36	83.3	58.3 - 100	91.0	89.1 - 92.9
48	83.3	58.3 - 100	88.4	86.1 - 90.8
Median (Monate)	NA	NA - NA	NA	NA - NA

Anmerkung: aktueller Datenstand: 31.10.2025; aktueller Stichtag: 31.12.2024

Tabelle 8.15: Tabellarische Darstellung der Kaplan-Meier-Schätzwerte mit Konfidenzintervallen (KI) für das Gesamtüberleben für C50 - Brustdrüse stratifiziert nach Alter bei Diagnose

Zeit (Monate)	Alter = 18-49		Alter = 50-74		Alter = 75+	
	Überlebensrate (%)	95%-KI (%)	Überlebensrate (%)	95%-KI (%)	Überlebensrate (%)	95%-KI (%)
0	100.0	100 - 100	100.0	100 - 100	100.0	100 - 100
12	99.7	99.2 - 100	97.9	96.8 - 99	95.6	93 - 98.3
24	97.7	96.1 - 99.4	94.4	92.5 - 96.3	88.6	84.2 - 93.1
36	96.0	93.7 - 98.4	92.0	89.6 - 94.5	79.4	73.3 - 86
48	93.7	90.3 - 97.3	89.1	85.9 - 92.3	77.5	71 - 84.5
Median (Monate)	NA	NA - NA	NA	NA - NA	NA	NA - NA

Anmerkung: aktueller Datenstand: 31.10.2025; aktueller Stichtag: 31.12.2024

## 9 | C15-C26 - Verdauungsorgane

Das Kapitel **C15-C26 - Verdauungsorgane** dieses Rückmeldeberichtes stellt Ihnen verschiedene Auswertungen und Darstellungen zu Tumorfällen von Patienten mit Diagnosen der Gruppe C15-C26 - Verdauungsorgane zu Verfügung. Neben den Fall- und Behandlungszahlen sowie den Vollständigkeitsangaben werden die Tumoreigenschaften und Patientenstruktur als auch Überlebensanalysen präsentiert.

### 9.1. Allgemeine Informationen

**Tabelle 9.1** fasst die Anzahl der neu diagnostizierten Fälle und therapeutischen Behandlungen (einzelner oder mehrerer Therapieanwendungen) nach Art der Therapie (Operation, Strahlentherapie/Nuklearmedizin, systemische Therapie oder abwartende Therapie) und Verlauf für Tumoren der Gruppe C15-C26 - Verdauungsorgane Ihrer Einrichtung über den 5-Jahres Berichtszeitraum (2020 bis 2024), als auch für das aktuelle Berichtsjahr (2024) zusammen.

Tabelle 9.1: Anzahl der gemeldeten Diagnosen, therapeutischen Behandlungen und Verläufe für C15-C26 - Verdauungsorgane

TYP	Anzahl der Behandlungen		Anzahl der Fälle	
	Einrichtung	REF	Einrichtung	REF
5-Jahres Berichtszeitraum (2020 - 2024)				
Diagnose			1520	25.14%
therapeutische Behandlungen	436	4.70%	311	5.06%
Operation	9	9.47%	9	12.86%
Strahlentherapie	0	0.00%	0	0.00%
Systemtherapie	426	4.68%	302	4.97%
abwartende Therapie	0	0.00%	0	0.00%
Verlauf	174	5.57%	143	6.36%
Gesamt			1850	15.27%
Aktuelles Berichtsjahr (2024)				
Diagnose			345	32.73%
therapeutische Behandlungen	44	3.03%	42	3.58%
Operation	2	28.57%	2	28.57%
Strahlentherapie	0	0.00%	0	0.00%
Systemtherapie	42	2.94%	40	3.46%
abwartende Therapie	0	0.00%	0	0.00%
Verlauf	62	7.90%	59	8.44%
Gesamt			428	17.49%

Anmerkung: Gesamt = Fall mit Diagnose oder Therapie in der Einrichtung; aktueller Datenstand: 31.10.2025

## 9.2. Vollständigkeit

Im Abschnitt **Vollständigkeit** werden analog zu Teil II “Qualität und Vollständigkeit” die Vollständigkeit sowie die Qualität der an das KKRBB gesandten Meldungen zu tumorrelevanten Behandlungen bezüglich der in Ihrer Einrichtung diagnostizierten und / oder therapierten Krebserkrankungen der Tumorentitätengruppe **C15-C26 - Verdauungsorgane** für den 5-Jahres Berichtszeitraum (2020 bis 2024) beschrieben. Weitere Informationen bezüglich Definition dieser Merkmale finden Sie in Teil II “Qualität und Vollständigkeit” des Rückmeldeberichts.

### 9.2.1 Vollständigkeit von Diagnose- und Histologiemerkmalen

**Tabelle 9.2** gibt Ihnen einen Überblick über die Qualität und Vollständigkeit der beschriebenen Diagnose- und Histologiemerkmale für durchgeführte Diagnosen Ihrer Einrichtung; sowohl für den Gesamtzeitraum als auch für die einzelnen Berichtsjahre (basierend auf dem Diagnosejahr). Zudem zeigt Ihnen **Tabelle 9.2** zur Einordnung Ihrer Zahlen die prozentualen Ergebnisse der Vollständigkeit der Referenz (REF).

Tabelle 9.2: Qualität und Vollständigkeit von Diagnose- und Histologiemerkmalen im Zeitverlauf (REF - Referenz)

Merkmalsname	2020	2021	2022	2023	2024	Gesamt	REF
<b>Thematik: DIAGNOSE und HISTOLOGIE</b>							
Gesamt	345	261	268	301	345	1520	
Diagnose-Datum	n 345	261	268	301	345	1520	
	% 100.0%	100.0%	100.0%	100.0%	100.0%	100.0%	100.0%
tagesgen. Diagnose-Datum	n 332	256	262	296	343	1489	
	% 96.2%	98.1%	97.8%	98.3%	99.4%	98.0%	85.4%
Diagnosesicherung (DS)	n 345	261	268	301	345	1520	
	% 100.0%	100.0%	100.0%	100.0%	100.0%	100.0%	99.9%
DS (histol. od. zytol.)	n 342	257	267	297	344	1507	
	% 99.1%	98.5%	99.6%	98.7%	99.7%	99.1%	87.8%
Lokalisation	n 345	261	268	301	345	1520	
	% 100.0%	100.0%	100.0%	100.0%	100.0%	100.0%	100.0%
Seitenlokalisation	n 345	261	268	301	345	1520	
	% 100.0%	100.0%	100.0%	100.0%	100.0%	100.0%	100.0%
Histologie*	n 342	255	267	297	344	1505	
	% 100.0%	100.0%	100.0%	100.0%	100.0%	100.0%	100.0%
Histologie-Schlüssel*	n 340	252	264	295	342	1493	
	% 99.4%	98.8%	98.9%	99.3%	99.4%	99.2%	98.3%
Histologie-Datum*	n 342	255	267	297	344	1505	
	% 100.0%	100.0%	100.0%	100.0%	100.0%	100.0%	99.9%
Grading*	n 209	153	152	166	190	870	
	% 100.0%	100.0%	100.0%	99.4%	99.5%	99.8%	99.3%
<b>klin. u. / od. pathol. TNM</b>							
UICC-Klassifikation*	n 312	219	222	259	291	1303	
	% 95.7%	89.8%	89.5%	92.5%	86.9%	90.9%	87.0%
TNM (T-Kategorie)*	n 242	146	157	159	153	857	
	% 74.2%	59.8%	63.3%	56.8%	45.7%	59.8%	68.6%
TNM (N-Kategorie)*	n 224	133	145	143	127	772	
	% 68.7%	54.5%	58.5%	51.1%	37.9%	53.9%	64.3%
TNM (M-Kategorie)*	n 220	133	144	139	139	775	
	% 73.8%	63.0%	68.9%	57.0%	44.0%	60.6%	72.8%
<b>klin. TNM</b>							
UICC-Klassifikation*	n 135	94	100	99	107	535	
	% 45.3%	44.5%	47.8%	40.6%	33.9%	41.9%	50.8%
TNM (T-Kategorie)*	n 148	100	110	105	107	570	
	% 49.7%	47.4%	52.6%	43.0%	33.9%	44.6%	53.6%
TNM (N-Kategorie)*	n 146	95	107	100	101	549	
	% 49.0%	45.0%	51.2%	41.0%	32.0%	43.0%	52.1%
TNM (M-Kategorie)*	n 145	96	110	100	103	554	
	% 48.7%	45.5%	52.6%	41.0%	32.6%	43.3%	53.9%
ECOG	n 271	178	180	204	276	1109	
	% 86.3%	79.8%	80.0%	78.2%	84.7%	82.2%	75.4%

**Anmerkung:** n - Anzahl; aktueller Datenstand vom 31.10.2025

\* n des Merkmals weicht von Gesamt n ab

## 9.2.2 Vollständigkeit von Therapiemerkmale

### 9.2.2.1 Operation

**Tabelle 9.3** gibt Ihnen einen Überblick über die Qualität und Vollständigkeit der beschriebenen Therapiemerkmale für durchgeführte Operationen Ihrer Einrichtung; sowohl für den Gesamtzeitraum als auch für die einzelnen Berichtsjahre (basierend auf dem Jahr der Leistungserbringung). Zudem zeigt Ihnen **Tabelle 9.3** zur Einordnung der Zahlen Ihrer Einrichtung die prozentualen Ergebnisse der Vollständigkeit der Referenz (REF).

Tabelle 9.3: Operation - Qualität und Vollständigkeit von Merkmalen im Zeitverlauf (REF - Referenz)

Merkmalsname	2020	2021	2022	2023	2024	Gesamt	REF
<b>Behandlung: OPERATION</b>							
Gesamt	3	2	1	1	2	9	
OP-Datum	n 3	2	1	1	2	9	
	% 100.0%	100.0%	100.0%	100.0%	100.0%	100.0%	100.0%
Tagesgenauigkeit (OP)	n 3	2	1	1	2	9	
	% 100.0%	100.0%	100.0%	100.0%	100.0%	100.0%	97.7%
Therapieintention	n 3	2	1	1	2	9	
	% 100.0%	100.0%	100.0%	100.0%	100.0%	100.0%	100.0%
OP-Schlüssel vollst.	n 3	2	1	1	2	9	
	% 100.0%	100.0%	100.0%	100.0%	100.0%	100.0%	95.3%
lokale R-Klass.*	n 1	2	0	1	2	6	
	% 100.0%	100.0%	0.0%	100.0%	100.0%	85.7%	100.0%
globale R-Klass.*	n 1	2	0	1	1	5	
	% 100.0%	100.0%	0.0%	100.0%	50.0%	71.4%	79.2%
Anzahl Lymphkn. (unters.)*	n 0	1	0	0	0	1	
	% 0.0%	100.0%	0.0%	0.0%	0.0%	100.0%	38.5%
Anzahl Lymphkn. (befall.)*	n 0	1	0	0	0	1	
	% 0.0%	100.0%	0.0%	0.0%	0.0%	100.0%	38.5%
Komplikationen	n 2	1	0	1	2	6	
	% 66.7%	50.0%	0.0%	100.0%	100.0%	66.7%	76.7%

**Anmerkung:** aktueller Datenstand vom 31.10.2025

\* n des Merkmals weicht von Gesamt n ab

### 9.2.2.2 Systemtherapie

Die folgende Tabelle gibt Ihnen einen Überblick über die Qualität und Vollständigkeit der beschriebenen Therapiemerkmale für durchgeführte Systemtherapien Ihrer Einrichtung; sowohl für den Gesamtzeitraum als auch für die einzelnen Berichtsjahre (basierend auf dem Jahr der Leistungserbringung). Zudem zeigt Ihnen diese Tabelle zur Einordnung der Zahlen Ihrer Einrichtung die prozentualen Ergebnisse der Vollständigkeit der Referenz (REF).

Tabelle 9.4: Systemtherapie - Qualität und Vollständigkeit von Therapiemerkmale im Zeitverlauf

Merkmalsname	2020	2021	2022	2023	2024	Gesamt	REF
<b>Behandlung: SYSTEMTHERAPIE</b>							
Gesamt	146	95	63	80	42	426	
Anfang und Ende d. Th.*	n 113	66	54	57	23	313	
	% 77.4%	71.0%	85.7%	71.2%	54.8%	73.8%	74.5%
Anfang der Th.	n 146	95	63	80	42	426	
	% 100.0%	100.0%	100.0%	100.0%	100.0%	100.0%	100.0%
Ende der Th.*	n 113	66	54	57	23	313	
	% 77.4%	71.0%	85.7%	71.2%	54.8%	73.8%	74.5%
Typ d. syst. Th.	n 146	95	63	80	42	426	
	% 100.0%	100.0%	100.0%	100.0%	100.0%	100.0%	100.0%
Th.protokoll / Subs.	n 146	95	63	80	42	426	
	% 100.0%	100.0%	100.0%	100.0%	100.0%	100.0%	99.6%
Therapieintention	n 145	95	63	80	42	425	
	% 99.3%	100.0%	100.0%	100.0%	100.0%	99.8%	99.1%
Stellung zur OP	n 130	92	63	80	39	404	

Tabelle 9.4: Systemtherapie - Qualität und Vollständigkeit von Therapiemerkmalen im Zeitverlauf (continued)

Merkmalname	2020	2021	2022	2023	2024	Gesamt	REF
	%	89.0%	96.8%	100.0%	100.0%	92.9%	94.8% <b>99.1%</b>
Nebenwirkungen*	n	63	38	27	31	11	170
	%	43.2%	40.0%	42.9%	38.8%	26.2%	39.9% <b>31.2%</b>
Therapieabschluss	n	110	64	51	50	16	291
	%	75.3%	67.4%	81.0%	62.5%	38.1%	68.3% <b>72.0%</b>

**Anmerkung:** aktueller Datenstand vom 31.10.2025

\* n des Merkmals weicht von Gesamt n ab

### 9.3. Tumoreigenschaften

Im Abschnitt **Tumoreigenschaften** wird Ihnen für die Patienten mit Tumordiagnosen der Tumorentitätengruppe **C15-C26 - Verdauungsorgane** Ihrer Einrichtung u. a. die Histologien, Klassifizierungen und Metastasen dargestellt. Bei den Analysen wird der 5-Jahres Berichtszeitraum von **2020 bis 2024** betrachtet.

#### 9.3.1 Tumordiagnose (nach ICD-10)

Die Tumordiagnosen werden in diesem Unterabschnitt basierend auf der 5-stelligen ICD-10 beschrieben. **Tabelle 9.5** umfasst die absolute und relative Häufigkeiten der Tumorentitäten beruhend auf dem Jahr der Erstdiagnose für die einzelnen Berichtsjahre und dem Zeitraum (2020 bis 2024). Die prozentualen Angaben in diesen Spalten beziehen sich auf die Gesamtanzahl an Tumorfällen Ihrer Einrichtung. Zudem zeigt Ihnen **Tabelle 9.5** in Spalte **REF** den prozentualen Anteil Ihrer Einrichtung an den entsprechenden Gesamtzahlen der in der Referenz diagnostizierten Tumorfälle.

Tabelle 9.5: ICD-10 - Absolute und relative Häufigkeiten der Tumorentitäten im Zeitverlauf (basierend auf Diagnosejahr)

ICD-10 (Diagnose)	2020	2021	2022	2023	2024	Gesamt	REF
C15 - Ösophagus	C15.0	1 (0.3%)	-	-	-	1 (0.3%)	2 (0.1%) <b>1.6%</b>
	C15.1	-	1 (0.3%)	-	1 (0.3%)	-	2 (0.1%) <b>1.9%</b>
	C15.2	-	-	-	1 (0.3%)	-	1 (0.1%) <b>2.1%</b>
	C15.3	1 (0.3%)	1 (0.3%)	2 (0.7%)	1 (0.3%)	1 (0.3%)	6 (0.4%) <b>2.1%</b>
	C15.4	3 (0.8%)	-	2 (0.7%)	4 (1.2%)	1 (0.3%)	10 (0.6%) <b>2.0%</b>
	C15.5	7 (1.8%)	13 (4.3%)	13 (4.2%)	7 (2.1%)	10 (2.8%)	50 (3.0%) <b>3.9%</b>
	C15.8	-	1 (0.3%)	-	1 (0.3%)	-	2 (0.1%) <b>1.2%</b>
	C15.9	1 (0.3%)	3 (1.0%)	1 (0.3%)	4 (1.2%)	2 (0.6%)	11 (0.7%) <b>2.3%</b>
	gesamt	13 (3.4%)	19 (6.3%)	18 (5.9%)	19 (5.8%)	15 (4.3%)	84 (5.0%) <b>2.8%</b>
C16 - Magen	C16.0	13 (3.4%)	7 (2.3%)	16 (5.2%)	9 (2.7%)	15 (4.3%)	60 (3.6%) <b>3.3%</b>
	C16.1	-	1 (0.3%)	-	-	2 (0.6%)	3 (0.2%) <b>1.2%</b>
	C16.2	5 (1.3%)	2 (0.7%)	5 (1.6%)	4 (1.2%)	5 (1.4%)	21 (1.3%) <b>1.5%</b>
	C16.3	3 (0.8%)	2 (0.7%)	5 (1.6%)	4 (1.2%)	2 (0.6%)	16 (1.0%) <b>1.6%</b>
	C16.4	1 (0.3%)	1 (0.3%)	-	-	-	2 (0.1%) <b>1.7%</b>
	C16.5	2 (0.5%)	-	-	-	-	2 (0.1%) <b>2.8%</b>
	C16.6	1 (0.3%)	-	-	-	-	1 (0.1%) <b>2.0%</b>
	C16.8	1 (0.3%)	2 (0.7%)	1 (0.3%)	2 (0.6%)	-	6 (0.4%) <b>1.9%</b>
	C16.9	5 (1.3%)	6 (2.0%)	2 (0.7%)	2 (0.6%)	2 (0.6%)	17 (1.0%) <b>1.6%</b>
C17 - Dünndarm	gesamt	31 (8.1%)	21 (7.0%)	29 (9.4%)	21 (6.4%)	26 (7.4%)	128 (7.7%) <b>2.1%</b>
	C17.0	-	2 (0.7%)	5 (1.6%)	1 (0.3%)	1 (0.3%)	9 (0.5%) <b>2.1%</b>
	C17.1	-	1 (0.3%)	-	-	-	1 (0.1%) <b>0.6%</b>
	C17.2	1 (0.3%)	6 (2.0%)	1 (0.3%)	5 (1.5%)	3 (0.9%)	16 (1.0%) <b>4.5%</b>
	C17.9	-	-	1 (0.3%)	1 (0.3%)	-	2 (0.1%) <b>1.5%</b>
	gesamt	1 (0.3%)	9 (3.0%)	7 (2.3%)	7 (2.1%)	4 (1.1%)	28 (1.7%) <b>2.5%</b>

Tabelle 9.5: ICD-10 - Absolute und relative Häufigkeiten der Tumorentitäten im Zeitverlauf (basierend auf Diagnosejahr) (continued)

ICD-10 (Diagnose)	2020	2021	2022	2023	2024	Gesamt	REF
C18 - Kolon	C18.0	21 (5.5%)	12 (4.0%)	10 (3.3%)	19 (5.8%)	17 (4.8%)	79 (4.7%) <b>3.2%</b>
	C18.1	-	-	1 (0.3%)	-	-	1 (0.1%) <b>0.2%</b>
	C18.2	27 (7.1%)	19 (6.3%)	20 (6.5%)	19 (5.8%)	23 (6.6%)	108 (6.5%) <b>3.4%</b>
	C18.3	11 (2.9%)	6 (2.0%)	4 (1.3%)	6 (1.8%)	10 (2.8%)	37 (2.2%) <b>3.6%</b>
	C18.4	10 (2.6%)	13 (4.3%)	12 (3.9%)	5 (1.5%)	4 (1.1%)	44 (2.6%) <b>3.1%</b>
	C18.5	5 (1.3%)	5 (1.7%)	1 (0.3%)	2 (0.6%)	2 (0.6%)	15 (0.9%) <b>3.2%</b>
	C18.6	6 (1.6%)	3 (1.0%)	3 (1.0%)	7 (2.1%)	5 (1.4%)	24 (1.4%) <b>3.1%</b>
	C18.7	44 (11.5%)	23 (7.7%)	27 (8.8%)	32 (9.8%)	33 (9.4%)	159 (9.5%) <b>3.5%</b>
	C18.8	-	-	-	1 (0.3%)	-	1 (0.1%) <b>1.2%</b>
	C18.9	1 (0.3%)	1 (0.3%)	-	1 (0.3%)	-	3 (0.2%) <b>0.4%</b>
C20 - Rektum	gesamt	125 (32.7%)	82 (27.3%)	78 (25.4%)	92 (28.0%)	94 (26.8%)	471 (28.2%) <b>3.1%</b>
	C20	56 (14.7%)	48 (16.0%)	45 (14.7%)	50 (15.2%)	49 (14.0%)	248 (14.9%) <b>3.5%</b>
	gesamt	56 (14.7%)	48 (16.0%)	45 (14.7%)	50 (15.2%)	49 (14.0%)	248 (14.9%) <b>3.5%</b>
C21 - Anus u. Analkanal	C21.0	4 (1.0%)	-	5 (1.6%)	-	1 (0.3%)	10 (0.6%) <b>3.8%</b>
	C21.1	5 (1.3%)	5 (1.7%)	6 (2.0%)	4 (1.2%)	3 (0.9%)	23 (1.4%) <b>2.6%</b>
	C21.8	-	1 (0.3%)	2 (0.7%)	1 (0.3%)	1 (0.3%)	5 (0.3%) <b>4.1%</b>
	gesamt	9 (2.4%)	6 (2.0%)	13 (4.2%)	5 (1.5%)	5 (1.4%)	38 (2.3%) <b>3.0%</b>
C22 - Leber u. intrahepat. Galleng.	C22.0	5 (1.3%)	2 (0.7%)	2 (0.7%)	1 (0.3%)	-	10 (0.6%) <b>0.4%</b>
	C22.1	2 (0.5%)	1 (0.3%)	3 (1.0%)	2 (0.6%)	3 (0.9%)	11 (0.7%) <b>0.9%</b>
	C22.7	1 (0.3%)	1 (0.3%)	1 (0.3%)	-	-	3 (0.2%) <b>0.7%</b>
	C22.9	-	-	1 (0.3%)	1 (0.3%)	-	2 (0.1%) <b>0.7%</b>
	gesamt	8 (2.1%)	4 (1.3%)	7 (2.3%)	4 (1.2%)	3 (0.9%)	26 (1.6%) <b>0.6%</b>
C23 - Gallenblase	C23	1 (0.3%)	1 (0.3%)	1 (0.3%)	-	-	3 (0.2%) <b>0.4%</b>
	gesamt	1 (0.3%)	1 (0.3%)	1 (0.3%)	-	-	3 (0.2%) <b>0.4%</b>
C24 - Gallenwege n.n.b.	C24.0	1 (0.3%)	-	-	2 (0.6%)	-	3 (0.2%) <b>0.3%</b>
	C24.1	1 (0.3%)	-	1 (0.3%)	-	1 (0.3%)	3 (0.2%) <b>0.8%</b>
	C24.9	1 (0.3%)	-	-	1 (0.3%)	-	2 (0.1%) <b>1.1%</b>
	gesamt	3 (0.8%)	-	1 (0.3%)	3 (0.9%)	1 (0.3%)	8 (0.5%) <b>0.5%</b>
C25 - Pankreas	C25.0	6 (1.6%)	6 (2.0%)	1 (0.3%)	3 (0.9%)	7 (2.0%)	23 (1.4%) <b>0.6%</b>
	C25.1	1 (0.3%)	1 (0.3%)	1 (0.3%)	2 (0.6%)	1 (0.3%)	6 (0.4%) <b>0.6%</b>
	C25.2	3 (0.8%)	3 (1.0%)	3 (1.0%)	2 (0.6%)	-	11 (0.7%) <b>0.9%</b>
	C25.8	2 (0.5%)	2 (0.7%)	1 (0.3%)	-	-	5 (0.3%) <b>1.3%</b>
	C25.9	2 (0.5%)	3 (1.0%)	2 (0.7%)	1 (0.3%)	-	8 (0.5%) <b>0.4%</b>
	gesamt	14 (3.7%)	15 (5.0%)	8 (2.6%)	8 (2.4%)	8 (2.3%)	53 (3.2%) <b>0.6%</b>
	D00.1	-	2 (0.7%)	2 (0.7%)	-	3 (0.9%)	7 (0.4%) <b>5.8%</b>
D00 - CIS d. Mundh., Ösoph., Magen	D00.2	1 (0.3%)	-	1 (0.3%)	-	1 (0.3%)	3 (0.2%) <b>2.3%</b>
	gesamt	1 (0.3%)	2 (0.7%)	3 (1.0%)	-	4 (1.1%)	10 (0.6%) <b>2.7%</b>
D01 - CIS sonst. u. n.n.b. V.org.	D01.0	90 (23.6%)	61 (20.3%)	74 (24.1%)	93 (28.4%)	104 (29.6%)	422 (25.3%) <b>8.6%</b>
	D01.1	-	2 (0.7%)	1 (0.3%)	1 (0.3%)	1 (0.3%)	5 (0.3%) <b>7.7%</b>
	D01.2	29 (7.6%)	25 (8.3%)	19 (6.2%)	24 (7.3%)	35 (10.0%)	132 (7.9%) <b>8.0%</b>
	D01.3	1 (0.3%)	5 (1.7%)	2 (0.7%)	1 (0.3%)	1 (0.3%)	10 (0.6%) <b>1.9%</b>
	D01.4	-	-	1 (0.3%)	-	1 (0.3%)	2 (0.1%) <b>2.4%</b>
	gesamt	120 (31.4%)	93 (31.0%)	97 (31.6%)	119 (36.3%)	142 (40.5%)	571 (34.2%) <b>7.7%</b>
	<b>GESAMT</b>	<b>GESAMT</b>	<b>382</b>	<b>300</b>	<b>307</b>	<b>328</b>	<b>351</b>

Anmerkung: aktueller Datenstand: 31.10.2025

### 9.3.2 Histologie

Die nachfolgenden Analysen umfassen sowohl eine Kategorisierung der Tumoren nach deren dokumentierter Histologie (Hauptklassen nach *ENCR 2017* und *NCT 2018*) sowie das Vorkommen dieser **Histologie-Hauptklassen** (bspw. Karzinome) innerhalb der fünf am häufigsten vorkommenden Entitäten innerhalb der Tumorentitätengruppe **C15-C26 - Verdauungsorgane** Ihrer Einrichtung. Zudem werden die **Histologie-Hauptklassen** nach den vorhandenen Histologie-Gruppen (nach *ENCR 2017* und *NCT 2018*) und die Verteilung der Histologie-Schlüssel (nach *ICD-O*) für die vorkommenden Tumorentitäten (nach *ICD-10*) tabellarisch dargestellt.

Der folgenden Tabellen beschreiben Ihnen die Tumorfälle (aufgeschlüsselt nach *ICD-10*), die in Ihrer Einrichtung im 5-Jahres Berichtszeitraum (2020 bis 2024) diagnostiziert oder im Rahmen der Primärtherapie behandelt worden sind, nach deren **Histologie** (Histologie-Schlüssel nach *ICD-O*).

Als Referenz zur Kategorisierung der Histologie-Schlüssel wurden verwendet:

- ENCR 2017 - Ardanaz et. al.: Working Group ENCR guidelines for reporting of multiple primary malignant (invasive) neoplasms - ENCR Multiple primary rules version 4
- NCT 2018 - Adzersen u. Schäfer: Handbuch der allgemeinen Tumordokumentation, 7. Auflage

Tabelle 9.6: Histologie-Übersicht für C18 - Kolon - absolute Häufigkeiten der Tumorhistologien stratifiziert (nach ENCR 2017, NCT 2018) für einzelne Berichtsjahre

Gruppe	Histologie-Schlüssel	2020	2021	2022	2023	2024	Gesamt
<b>Karzinome</b>							
Plattenepi.- u. Überg.zell-Ca.	8070/6: Plattenepithelkarzinom-Met. o.n.A.	0	0	0	0	1	1
Plattenepi.- u. Überg.zell-Ca.	Total	0	0	0	0	1	1
Adenokarzinome	8140/3: Adenokarzinom o.n.A.	119	77	70	86	87	439
Adenokarzinome	8140/6: Adenokarzinom-Metastase o.n.A.	0	1	0	0	0	1
Adenokarzinome	8144/3: Adenokarzinom vom intestinalen Typ	0	0	1	0	0	1
Adenokarzinome	8210/3: Adenokarzinom in adenomatösem Polypen	1	1	1	3	3	9
Adenokarzinome	8480/3: Muzinöses Adenokarzinom	2	1	3	1	2	9
Adenokarzinome	Total	122	80	75	90	92	459
n.n.b. Karzinome	8010/3: Karzinom o.n.A.	0	1	1	0	0	2
n.n.b. Karzinome	Total	0	1	1	0	0	2
Total		122	81	76	90	93	462
<b>neuroendokrine T.</b>							
neuroendokrine T.	8013/3: Großz. Neuroendokr. Karzinom	0	0	0	0	1	1
neuroendokrine T.	8244/3: Gem. adeno-neuroendokr. Karzinom	1	0	0	0	0	1
neuroendokrine T.	8246/3: Neuroendokrines Karzinom o.n.A.	0	0	1	0	0	1
neuroendokrine T.	Total	1	0	1	0	1	3
Total		1	0	1	0	1	3

Tabelle 9.7: Histologie-Übersicht für C20 - Rektum - absolute Häufigkeiten der Tumorhistologien stratifiziert (nach ENCR 2017, NCT 2018) für einzelne Berichtsjahre

Gruppe	Schlüssel	2020	2021	2022	2023	2024	Gesamt
<b>Karzinome</b>							
Plattenepi.- u. Überg.zell-Ca.	8070/3: Plattenepithelkarzinom o.n.A.	0	1	0	1	0	2
Plattenepi.- u. Überg.zell-Ca.	Total	0	1	0	1	0	2
Adenokarzinome	8140/3: Adenokarzinom o.n.A.	47	37	40	43	45	212
Adenokarzinome	8210/3: Adenokarzinom in adenomatösem Polypen	0	1	1	0	0	2
Adenokarzinome	8480/3: Muzinöses Adenokarzinom	3	0	1	1	0	5
Adenokarzinome	8490/3: Siegelringzellkarzinom	1	0	0	0	0	1
Adenokarzinome	Total	51	38	42	44	45	220
n.n.b. Karzinome	8010/3: Karzinom o.n.A.	0	1	0	0	2	3
n.n.b. Karzinome	Total	0	1	0	0	2	3
Total		51	40	42	45	47	225
<b>neuroendokrine T.</b>							
neuroendokrine T.	8154/3: Malig. gem. endokr. u. exokr. Pankreas.	0	1	0	0	0	1

Tabelle 9.7: Histologie-Übersicht für C20 - Rektum - absolute Häufigkeiten der Tumorhistologien stratifiziert (nach ENCR 2017, NCT 2018) für einzelne Berichtsjahre (continued)

Gruppe	Schlüssel	2020	2021	2022	2023	2024	Gesamt
neuroendokrine T.	Total	0	1	0	0	0	1
Total		0	1	0	0	0	1

Tabelle 9.8: Histologie-Übersicht für C16 - Magen - absolute Häufigkeiten der Tumorhistologien stratifiziert (nach ENCR 2017, NCT 2018) für einzelne Berichtsjahre

Gruppe	Schlüssel	2020	2021	2022	2023	2024	Gesamt
<b>Karzinome</b>							
Plattenepi.- u. Überg.zell-Ca.	8070/3: Plattenepithelkarzinom o.n.A.	0	0	0	1	0	1
Plattenepi.- u. Überg.zell-Ca.	Total	0	0	0	1	0	1
Adenokarzinome	8140/3: Adenokarzinom o.n.A.	24	13	23	16	20	96
Adenokarzinome	8140/6: Adenokarzinom-Metastase o.n.A.	0	1	0	0	0	1
Adenokarzinome	8144/3: Adenokarzinom vom intestinalen Typ	2	1	0	1	1	5
Adenokarzinome	8480/3: Muzinöses Adenokarzinom	0	0	0	0	1	1
Adenokarzinome	8490/3: Siegelingzellkarzinom	2	1	4	2	1	10
Adenokarzinome	Total	28	16	27	19	23	113
n.n.b. Karzinome	8010/3: Karzinom o.n.A.	1	0	0	0	0	1
n.n.b. Karzinome	Total	1	0	0	0	0	1
Total		29	16	27	20	23	115

Tabelle 9.9: Histologie-Übersicht für C15 - Ösophagus - absolute Häufigkeiten der Tumorhistologien stratifiziert (nach ENCR 2017, NCT 2018) für einzelne Berichtsjahre

Gruppe	Schlüssel	2020	2021	2022	2023	2024	Gesamt
<b>Karzinome</b>							
Plattenepi.- u. Überg.zell-Ca.	8070/3: Plattenepithelkarzinom o.n.A.	3	7	5	7	3	25
Plattenepi.- u. Überg.zell-Ca.	8070/6: Plattenepithelkarzinom-Met. o.n.A.	0	0	0	1	0	1
Plattenepi.- u. Überg.zell-Ca.	8071/3: Verhorndes PE-Karzinom o.n.A.	0	0	1	0	2	3
Plattenepi.- u. Überg.zell-Ca.	8072/3: Großzell. n. verh. PE-Karzinom o.n.A.	1	0	0	1	0	2
Plattenepi.- u. Überg.zell-Ca.	Total	4	7	6	9	5	31
Adenokarzinome	8140/3: Adenokarzinom o.n.A.	6	9	11	10	9	45
Adenokarzinome	8144/3: Adenokarzinom vom intestinalen Typ	0	0	1	0	0	1
Adenokarzinome	8480/3: Muzinöses Adenokarzinom	1	1	0	0	1	3
Adenokarzinome	Total	7	10	12	10	10	49
andere n.b. Karzinome	8560/3: Adenosquamöses Karzinom	1	1	0	0	0	2
andere n.b. Karzinome	Total	1	1	0	0	0	2
n.n.b. Karzinome	8010/3: Karzinom o.n.A.	0	1	0	0	0	1
n.n.b. Karzinome	Total	0	1	0	0	0	1
Total		12	19	18	19	15	83
<b>Melanome</b>							
Melanome	8720/3: Malignes Melanom o.n.A.	1	0	0	0	0	1
Melanome	Total	1	0	0	0	0	1
Total		1	0	0	0	0	1

Tabelle 9.10: Histologie-Übersicht für C25 - Pankreas - absolute Häufigkeiten der Tumorhistologien stratifiziert (nach ENCR 2017, NCT 2018) für einzelne Berichtsjahre

Gruppe	Schlüssel	2020	2021	2022	2023	2024	Gesamt
<b>Karzinome</b>							
Adenokarzinome	8140/3: Adenokarzinom o.n.A.	7	8	2	5	1	23
Adenokarzinome	8140/6: Adenokarzinom-Metastase o.n.A.	4	1	3	1	3	12
Adenokarzinome	8500/3: Invasives duktales Karzinom o.n.A.	2	2	2	1	3	10
Adenokarzinome	8503/3: Intradukt. papilläres Adenokarzinom m. Invasion	0	1	0	0	0	1
Adenokarzinome	Total	13	12	7	7	7	46

Tabelle 9.10: Histologie-Übersicht für C25 - Pankreas - absolute Häufigkeiten der Tumorhistologien stratifiziert (nach ENCR 2017, NCT 2018) für einzelne Berichtsjahre (continued)

Gruppe	Schlüssel	2020	2021	2022	2023	2024	Gesamt
andere n.b. Karzinome	8560/3: Adenosquamöses Karzinom	0	0	0	0	1	1
andere n.b. Karzinome	Total	0	0	0	0	1	1
n.n.b. Karzinome	8010/3: Karzinom o.n.A.	1	0	0	0	0	1
n.n.b. Karzinome	Total	1	0	0	0	0	1
Total		14	12	7	7	8	48

### 9.3.3 Histopathologisches Grading und UICC-Klassifikation

Die Analyse des histopathologischen Gradings beruht auf den ermittelten **häufigsten Tumorentitäten** (nach ICD-10) (siehe **Abschnitt 6.1**). Von diesen Tumoren wurden ausschließlich die gradingpflichtigen ausgewählt (Entscheidungskriteria basierend auf ICD-10, ICD-O und Histologie), deren Diagnose histologisch oder zytologisch gesichert wurde, und bezüglich der Verteilung der Differenzierungsgrade analysiert.

Folgende Differenzierungsgrade wurden ausgewertet:

- **G1** -> gut differenziert
- **G2** -> mäßig differenziert
- **G3** -> schlecht differenziert
- **G4** -> undifferenziert
- **GX** -> unbekannt

**Abbildung 9.1** gibt Ihnen für die häufigsten Tumorfälle Ihrer Einrichtung einen Überblick über die absolute und relative Häufigkeiten der Differenzierungsgrade des histopathologischen Gradings für die betrachteten Tumorfälle von gradingpflichtigen Tumorentitäten. Im Gegensatz zu **Abbildung 9.1 a)** ist in **Abbildung 9.1 b)** das Grading (absolute und relative Häufigkeiten) **ohne** die Fälle mit fehlender Angabe zu den Differenzierungsgraden dargestellt.

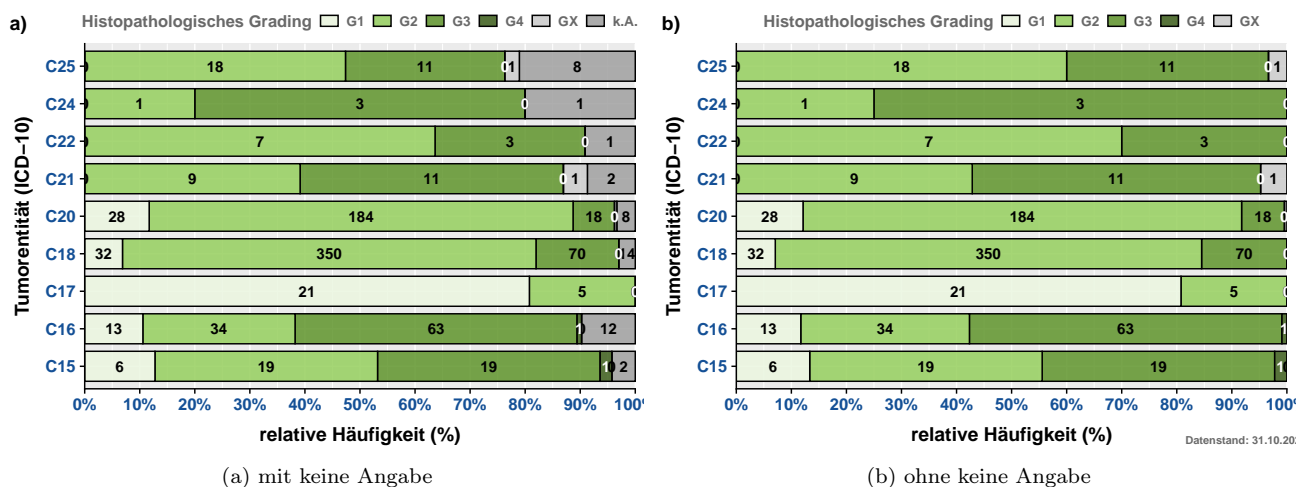


Abbildung 9.1: Histopathologisches Grading für den 5-Jahres Berichtszeitraum (2020 - 2024) - absolute und relative Häufigkeiten der Differenzierungsgrade

### 9.3.4 UICC-Klassifikation

Die Beschreibung der Stadienverteilung nach UICC beruht auf den ermittelten invasiven Tumorentitäten (nach ICD-10). Von diesen Tumoren wurden ausschließlich die TNM-pflichtigen ausgewählt (Entscheidungskriteria basierend auf ICD-10, ICD-O und Histologie) und bezüglich der Verteilung der Stadien analysiert. In der Auswertung wurden vorrangig pathologische UICC-Stadien verwendet. Lag aufgrund neoadjuvanter oder nicht operativer Behandlungen die pathologische Variante nicht vor, wurde in der Berechnung auf die klinischen UICC-Stadien zurückgegriffen.

Die folgende Abbildung gibt Ihnen einen Überblick über die absoluten und relativen Häufigkeiten der einzelnen Stadien nach UICC für die betrachteten Fälle von TNM-pflichtigen Tumorentitäten (Tumorentitätengruppen nach ICD-10).

### 9.3.5 Staging

Die Beschreibung der TNM-Verteilung beruht auf den ermittelten häufigsten invasiven Tumorentitäten und wird in der folgenden Abbildung dargestellt. Von diesen Tumoren wurden ausschließlich die TNM-pflichtigen ausgewählt und analysiert (Entscheidungskriteria basierend auf ICD-10, ICD-O und Histologie). In der Auswertung

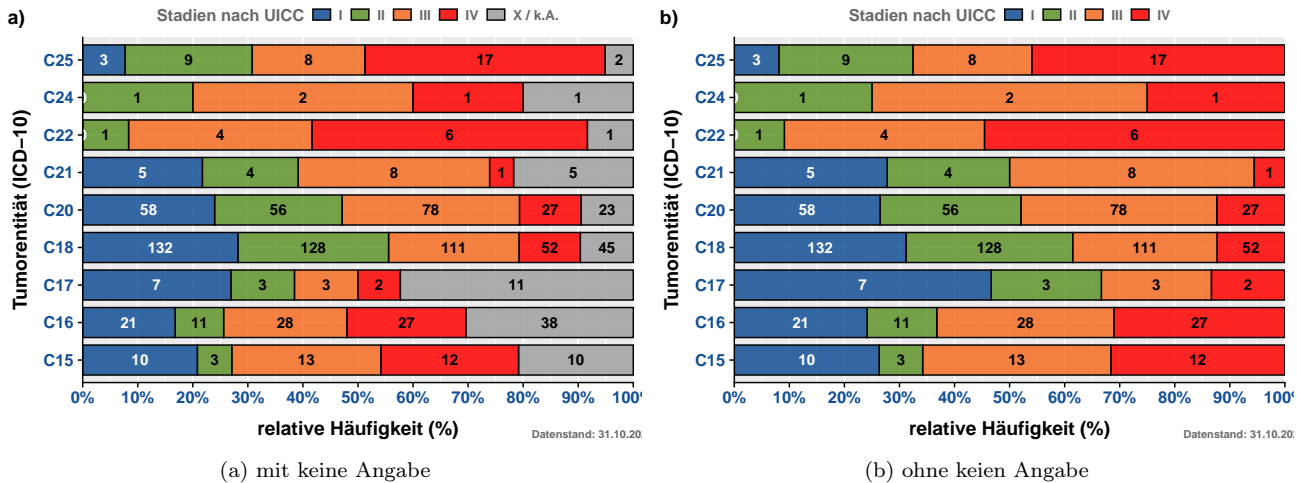


Abbildung 9.2: Stadienverteilung nach UICC für invasive Tumorentitäten (TNM-pflichtig) für den 5-Jahres Berichtszeitraum (2020 - 2024) - absolute und relative Häufigkeiten der Differenzierungsgrade

wurden vorrangig pathologische TNM-Kategorien verwendet. Lag aufgrund neoadjuvanter oder nicht operativer Behandlungen die pathologische Variante nicht vor, wurde in der Berechnung auf die klinischen TNM-Kategorien zurückgegriffen.

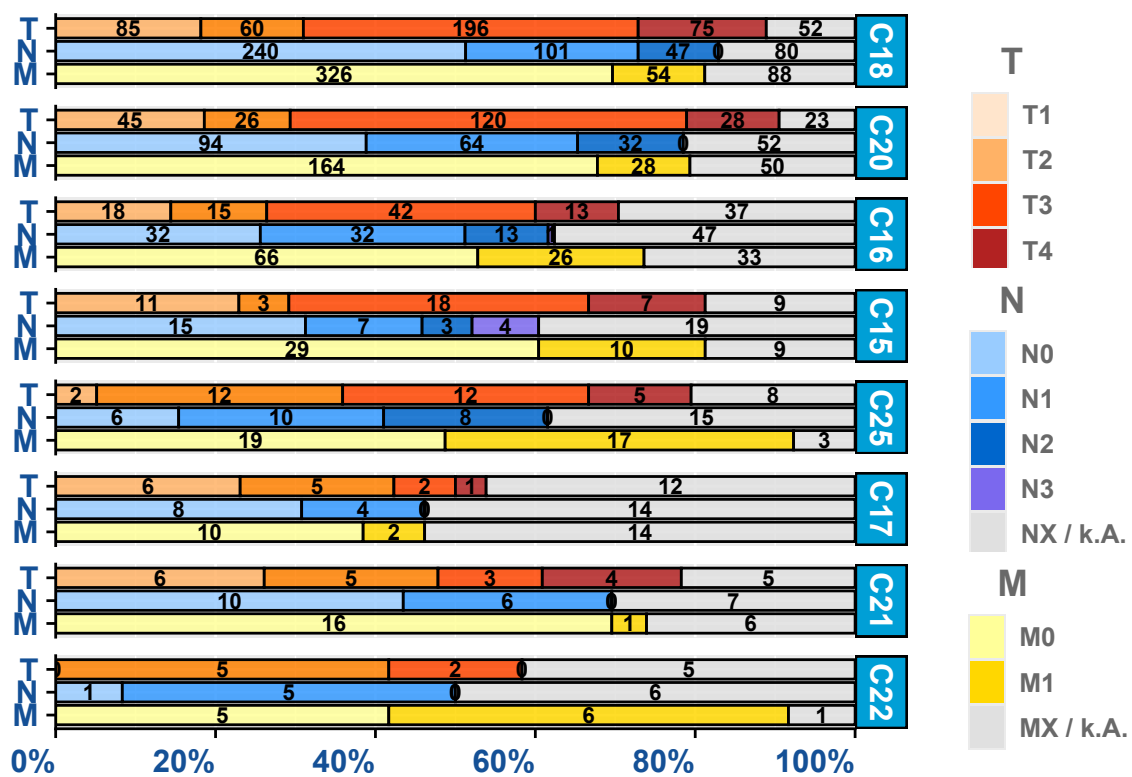


Abbildung 9.3: TNM - Verteilung der TNM-Kategorien der 10 häufigsten invasiven Tumorentitätengruppen (TNM-pflichtig)

### 9.3.6 Primäre Metastasierung

In diesem Abschnitt wird die primäre Metastasierung Ihrer Tumorfälle analysiert. Primäre Metastasierung umfasst Metastasen, die innerhalb von 92 Tagen nach Diagnosestellung aufgetreten sind. **Tabelle 9.11** listet die primär metastasierten Tumorfälle für die häufigsten Tumorentitäten (ICD-10) auf.

Tabelle 9.11: Absolute und relative Häufigkeiten der Tumorfälle mit primärer Metastasierung nach ICD-10 und Zeitraum

ICD-10 (Diagnose)	Berichtsjahr					GESAMT
	2020	2021	2022	2023	2024	
C15 - Ösophagus	-	4 (13.3%)	4 (10.3%)	3 (10.0%)	4 (12.5%)	15 (8.4%)
C16 - Magen	9 (18.8%)	5 (16.7%)	5 (12.8%)	5 (16.7%)	7 (21.9%)	31 (17.3%)
C17 - Dünndarm	1 (2.1%)	1 (3.3%)	-	-	-	2 (1.1%)
C18 - Kolon	16 (33.3%)	7 (23.3%)	13 (33.3%)	9 (30.0%)	11 (34.4%)	56 (31.3%)
C20 - Rektum	9 (18.8%)	4 (13.3%)	6 (15.4%)	6 (20.0%)	5 (15.6%)	30 (16.8%)
C21 - Anus u. Analkanal	1 (2.1%)	-	1 (2.6%)	-	-	2 (1.1%)
C22 - Leber u. intrahepat.	2 (4.2%)	1 (3.3%)	4 (10.3%)	2 (6.7%)	1 (3.1%)	10 (5.6%)
Galleng.						
C23 - Gallenblase	1 (2.1%)	-	1 (2.6%)	-	-	2 (1.1%)
C24 - Gallenwege n.n.b.	1 (2.1%)	-	1 (2.6%)	1 (3.3%)	-	3 (1.7%)
C25 - Pankreas	8 (16.7%)	8 (26.7%)	4 (10.3%)	4 (13.3%)	4 (12.5%)	28 (15.6%)
GESAMT	48	30	39	30	32	179

Anmerkung: aktueller Datenstand: 31.10.2025

**Tabelle 9.12** zeigt die absolute Häufigkeit der Lokalisationen der primären Fernmetastasen.

Tabelle 9.12: Absolute Häufigkeit der Lokalisation primärer Metastasen (stratifiziert nach ICD-10)

Lokalisation	C15	C18	C25	C20	C16	C17	C21	C22	C23	C24	n
GEN Generalisierte Metastasierung	0	0	0	0	0	0	0	0	0	0	0
SKI Hautmetastasen	0	1	0	0	0	0	0	0	0	0	1
BRA Hirnmetastasen	0	0	0	1	0	0	0	0	0	0	1
MAR Knochenmarkmetastasen	0	0	0	0	0	0	0	0	0	0	0
OSS Knochenmetastasen	1	1	4	1	0	0	0	0	0	0	7
HEP Lebermetastasen	8	32	21	27	12	1	2	5	1	0	109
PUL Lungenmetastasen	6	16	14	14	2	0	1	6	0	1	60
LYM Lymphknotenmetastasen	4	4	6	3	8	0	0	1	1	1	28
OTH Metastasen in anderen Organen	0	5	3	0	2	1	0	0	0	0	11
SPL Milzmetastasen	0	0	0	0	0	0	0	0	0	0	0
ADR Nebennierenmetastasen	1	1	2	0	0	0	0	0	0	0	4
PER Peritoneummetastasen	4	14	7	2	14	0	0	0	1	1	43
PLE Pleurametastasen	0	1	2	1	2	0	0	1	0	0	7
gesamt	24	75	59	49	40	2	3	13	3	3	271

Anmerkung: aktueller Datenstand: 31.10.2025

## 9.4. Patientenstruktur

Im Abschnitt Patientenstruktur wird Ihnen für die Patienten mit Tumordiagnosen C15-C26 - Verdauungsorgane das Geschlechterverhältnis, die Altersstruktur sowie die Herkunft der Fälle zum Zeitpunkt der Diagnose dargestellt. Dabei wird der 5-Jahres Berichtszeitraum von **2020 bis 2024** betrachtet.

**Abbildung 9.4** zeigt Ihnen die absolute Häufigkeit der betrachteten Tumorfälle aufgesplittet nach Geschlecht (männlich / weiblich) und Tumorentität (ICD-10). Abgebildet sind die in Ihrer Einrichtung aufgetretenen invasiven Tumorentitäten der Berichtsjahre 2020 bis 2024 (basierend auf dem Diagnosejahr).

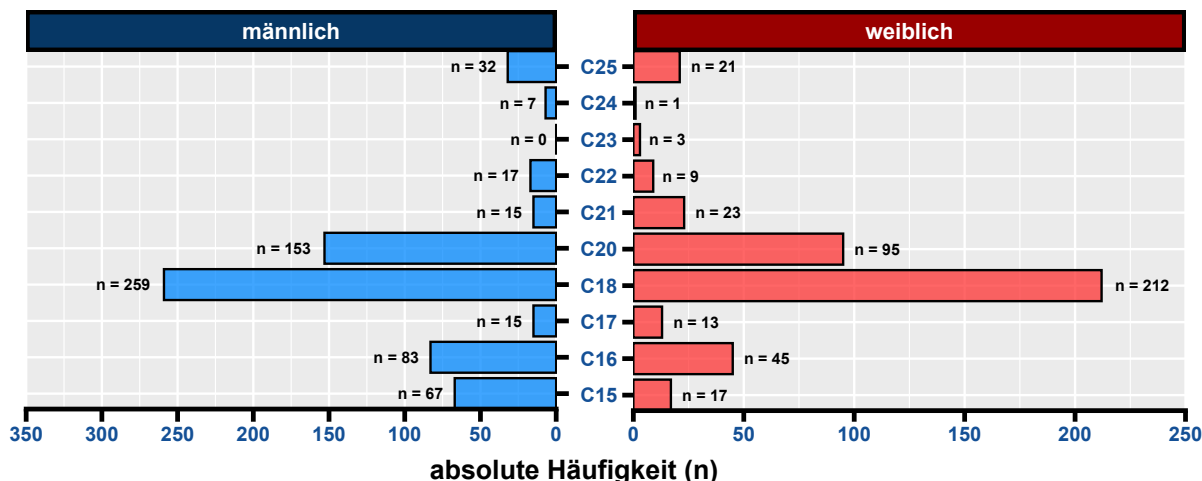


Abbildung 9.4: Geschlechterverhältnis (männlich / weiblich) der Tumorfälle für die Tumorentitäten (nach ICD-10) 5-Jahres Berichtszeitraum (2020 - 2024)

**Abbildung 9.5** veranschaulicht Ihnen die Altersverteilung der Tumorentitäten (nach ICD-10) für Männer und Frauen.

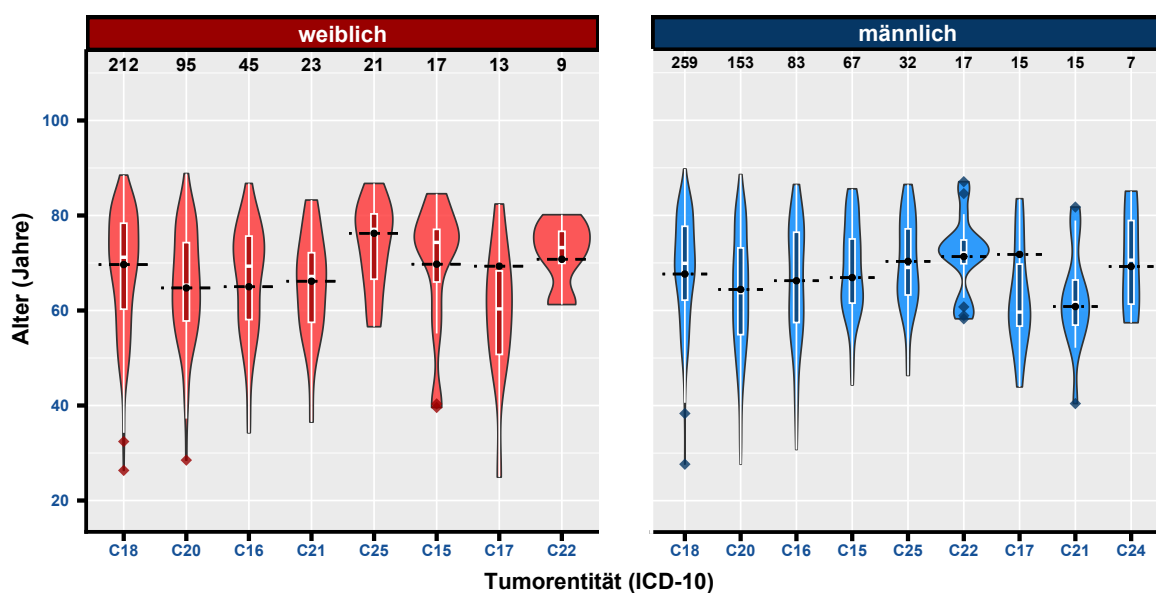


Abbildung 9.5: Altersverteilung der vorkommenden Tumorentitäten (nach ICD-10) je Geschlecht

### 9.4.1 Herkunft

Das Patientenkollektiv Ihrer Einrichtung stammt, basierend auf dem Wohnort zum Zeitpunkt der Diagnose, aus **8 Bundesländern**. Dabei kommen **1.508** Fälle aus dem Bundesland Berlin und **150** Fälle aus dem Bundesland Brandenburg. Aus dem Bundesland Baden-Württemberg kommen mit 2 Fällen die meisten Patienten, die nicht in der Region Brandenburg-Berlin zum Zeitpunkt der Diagnose wohnhaft waren. Die folgenden kartographischen Darstellungen stellen Ihnen den Wohnort zum Zeitpunkt der Diagnose Ihrer Patienten detaillierter dar (wenn mindestens 25 Tumorfälle vorliegen). Für Patienten aus dem Bundesland Brandenburg werden die Zahlen (prozentual) auf Gemeindeebene, für Berliner Patienten basierend auf den Prognoseräumen (Konzept der Lebensweltlich orientierten Räumen (LOR)) erhoben. Bitte beachten Sie, dass nur Prognoseräume und Gemeinden in der Darstellung berücksichtigt werden, wenn diese mindestens 5 Tumorfälle vorweisen (**Abbildung 9.6**).

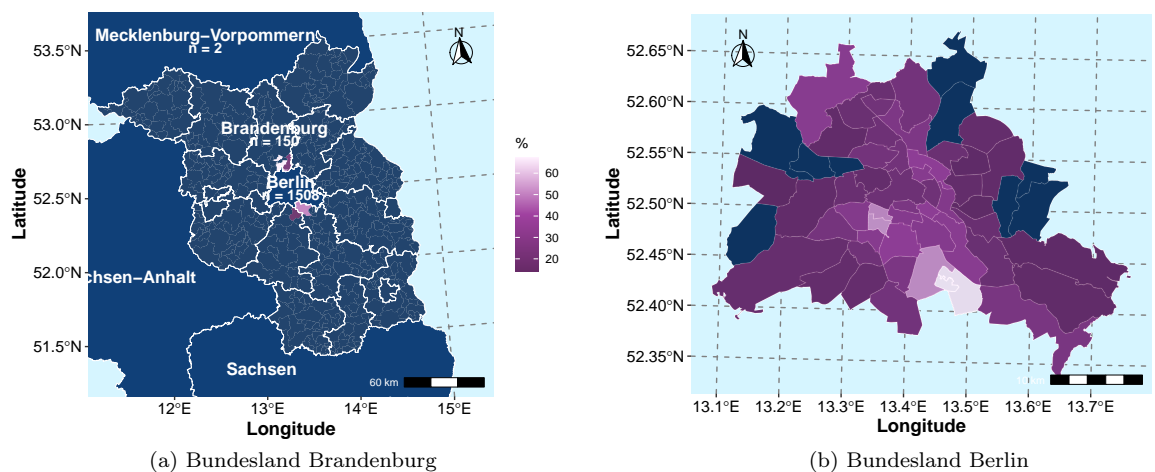


Abbildung 9.6: Prozentuale Darstellung des Wohnorts der Patienten zum Zeitpunkt der Diagnose für Brandenburg (Gemeindeebene) und Berlin (LOR) (mit mindestens 5 Fällen) - 5-Jahres Berichtszeitraum (2020 - 2024)

**Tabelle 9.13** stellt Ihnen die absoluten Häufigkeiten der betrachteten Tumorfälle nach Wohnort zum Zeitpunkt der Krebsdiagnose getrennt nach Diagnosejahr (einzelne Berichtsjahre 2020 - 2024) dar. Dabei steht "BB" für Brandenburg, "BE" für Berlin und "Andere BL" für alle anderen Bundesländer.

Tabelle 9.13: Absolute Häufigkeit der Tumorfälle je Wohnort (Bundeslandebene) und pro Berichtsjahr (Diagnosejahr)

Berichtsjahr	BB	BE	Andere BL
2020	28	352	2
2021	33	264	3
2022	23	282	2
2023	30	297	1
2024	36	313	2

Anmerkung: aktueller Datenstand: 31.10.2025

## 9.5. Überlebensanalysen (nach Kaplan-Meier)

Dieser Abschnitt beschreibt das absolute Überleben (Anteil der Patienten, die zu einem bestimmten Zeitpunkt nach ihrer Diagnose noch leben; basierend auf Kaplan-Meier-Schätzwerten) für Patienten Ihrer Einrichtung (diagnostiziert bzw. primärtherapiert) mit Tumordiagnosen der Gruppe **C15-C26 - Verdauungsorgane**, stellt Vergleiche mit Ihrer entsprechenden Referenz (siehe: Beschreibung in der Einleitung) an und analysiert das Gesamtüberleben stratifiziert u. a. nach UICC-Klassifikation, Geschlecht und Alter ("18-49 Jahre", "50-74 Jahre", "75+ Jahre"). Dabei ist zu berücksichtigen, dass das Patientenkollektiv Ihrer Einrichtung sich hinsichtlich Alter, Geschlecht, ECOG, Krankheitsstadien und weiteren Tumoreigenschaften von dem anderer Einrichtungen unterscheiden kann, was die direkte Vergleichbarkeit einschränkt. Stichtag für die Überlebensberechnungen ist der 31.12.2024, das bedeutet, dass die Betrachtung der Überlebenszeit bis zu diesem Datum erfolgt, da bis zu diesem Datum von einer vollständigen Erfassung des Lebendstatus der Patientinnen und Patienten auszugehen ist.

Bei der Interpretation der Überlebensstatistiken achten Sie bitte auf folgende Punkte:

- es werden nur für invasive Tumorentitäten (C00-C97) Überlebensanalysen gerechnet
- die Kaplan-Meier-Schätzwerte beruhen auf den Daten von 01.01.2020 bis zum aktuellen Stichtag 31.12.2024
- Konfidenzintervalle, die eine große Spannweite aufweisen, deuten auf ein größere Ungenauigkeit des Kaplan-Meier-Schätzers hin
- eine geringe Fallanzahl (Gesamt oder pro untersuchte Gruppe) führt zu größeren Konfidenzintervallen

Auf Anfrage (per E-Mail an [Datenauswertung@kkrbb.de](mailto:Datenauswertung@kkrbb.de)) stellen wir Ihnen gerne weitere Überlebensdarstellungen und Statistiken Tumorentitäten zur Verfügung.

### 9.5.1 Überblick für C15-C26 - Verdauungsorgane

**Tabelle 9.14** gibt Ihnen einen Überblick über das Patientenkollektiv, für die die Überlebensanalysen gerechnet wurden. Des Weiteren finden Sie für die fünf häufigsten ICD-10 dieser Gruppe (n >= 50) eine separate Auflistung der Merkmale der betrachteten Population.

Tabelle 9.14: Beschreibung des Patientenkollektivs: Charakteristika der eingeschlossenen Patienten für die Überlebensanalysen ('overall' - alle; einzelne ICD-10 (n >= 50))

Variable	**Overall**, N = 924	**C15**, N = 61	**C16**, N = 90	**C18**, N = 425	**C20**, N = 224	**C25**, N =
Geschlecht, n (%)						
M	547 (59%)	50 (82%)	60 (67%)	235 (55%)	137 (61%)	30 (60%)
W	377 (41%)	11 (18%)	30 (33%)	190 (45%)	87 (39%)	20 (40%)
Alter bei Diagnose, Median (IQR)	69 (60, 77)	67 (62, 76)	67 (58, 78)	70 (62, 78)	65 (56, 74)	72 (64, 80)
Altersgruppe, n (%)						
18-49	70 (7.6%)	4 (6.6%)	8 (8.9%)	27 (6.4%)	27 (12%)	1 (2.0%)
50-74	574 (62%)	40 (66%)	49 (54%)	257 (60%)	143 (64%)	28 (56%)
75+	280 (30%)	17 (28%)	33 (37%)	141 (33%)	54 (24%)	21 (42%)
Diagnosejahr, n (%)						
2020	237 (26%)	10 (16%)	26 (29%)	120 (28%)	52 (23%)	14 (28%)
2021	175 (19%)	16 (26%)	15 (17%)	75 (18%)	40 (18%)	13 (26%)
2022	174 (19%)	14 (23%)	21 (23%)	68 (16%)	43 (19%)	8 (16%)
2023	181 (20%)	13 (21%)	14 (16%)	86 (20%)	46 (21%)	8 (16%)
2024	157 (17%)	8 (13%)	14 (16%)	76 (18%)	43 (19%)	7 (14%)
UICC-Klassifikation, n (%)						
I	254 (27%)	13 (21%)	22 (24%)	132 (31%)	61 (27%)	5 (10%)
II	231 (25%)	11 (18%)	12 (13%)	128 (30%)	57 (25%)	11 (22%)
III	270 (29%)	18 (30%)	29 (32%)	112 (26%)	79 (35%)	8 (16%)
IV	169 (18%)	19 (31%)	27 (30%)	53 (12%)	27 (12%)	26 (52%)
ECOG, n (%)						
0	496 (54%)	34 (56%)	41 (46%)	231 (54%)	129 (58%)	18 (36%)
1	274 (30%)	19 (31%)	36 (40%)	125 (29%)	51 (23%)	20 (40%)
2	29 (3.1%)	3 (4.9%)	2 (2.2%)	9 (2.1%)	9 (4.0%)	4 (8.0%)
3	3 (0.3%)	0 (0%)	0 (0%)	2 (0.5%)	1 (0.4%)	0 (0%)
X	122 (13%)	5 (8.2%)	11 (12%)	58 (14%)	34 (15%)	8 (16%)

Anmerkung: aktueller Datenstand: 31.10.2025; aktueller Stichtag: 31.12.2024

## 9.5.2 Überblick für C18 - Kolon

**Abbildung 9.7 a)** stellt die absoluten Überlebensraten (Kaplan-Meier-Schätzer) für Patienten mit Tumordiagnosen der Tumorentität C18 - Kolon Ihrer Einrichtung im Vergleich zur Referenz bis 5 Jahre nach Erstdiagnose (60 Monate) grafisch dar. In **Abbildung 9.7 b)** werden die absoluten Überlebensraten Ihrer Einrichtung stratifiziert nach UICC-Klassifikation gezeigt.

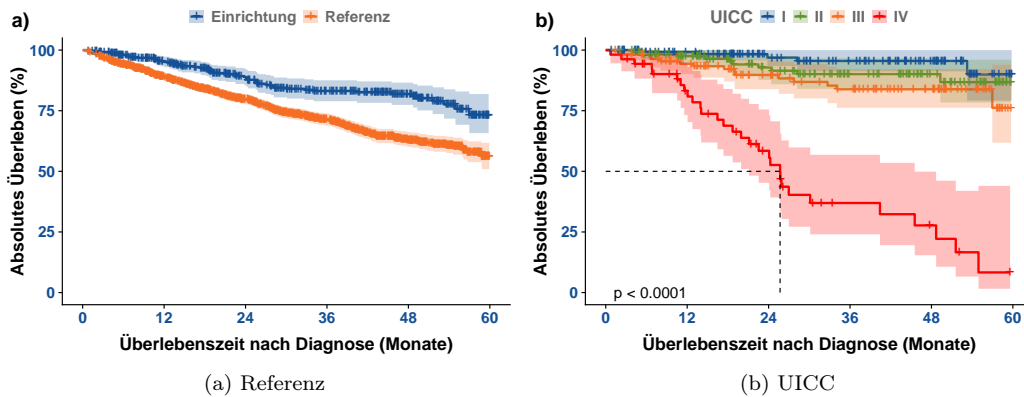


Abbildung 9.7: Darstellung des absoluten Überlebens (Kaplan-Meier-Schätzer) für C18 - Kolon - a) im Vergleich zur Referenz, b) nach UICC-Klassifikation

In den **Tabellen 9.15** und **9.16** werden die Kaplan-Meier-Schätzer (mit Konfidenzintervallen) stratifiziert für das 1-Jahres bis 5-Jahres Überleben sowie für den entsprechenden Median aufgelistet.

Tabelle 9.15: Tabellarische Darstellung der Kaplan-Meier-Schätzwerte mit Konfidenzintervallen (KI) für das Gesamtüberleben für C18 - Kolon der Einrichtung und Referenz

Zeit (Monate)	Einrichtung			Referenz		
	Überlebensrate (%)	95%-KI (%)	Überlebensrate (%)	95%-KI (%)		
0	100.0	100 - 100	100.0	100 - 100	100 - 100	100 - 100
12	95.4	93.3 - 97.5	89.2	87.7 - 90.7		
24	88.9	85.6 - 92.3	79.7	77.7 - 81.8		
36	83.1	78.9 - 87.5	71.3	68.9 - 73.9		
48	81.9	77.4 - 86.6	63.0	60.1 - 66.1		
Median (Monate)	NA	NA - NA	NA	NA - NA	NA - NA	NA - NA

Tabelle 9.16: Tabellarische Darstellung der Kaplan-Meier-Schätzwerte mit Konfidenzintervallen (KI) für das Gesamtüberleben für C18 - Kolon stratifiziert nach UICC-Klassifikation

Zeit (Monate)	UICC = I		UICC = II		UICC = III		UICC = IV	
	Überlebensrate (%)	95%-KI (%)	Überlebensrate (%)	95%-KI (%)	Überlebensrate (%)	95%-KI (%)	Überlebensrate (%)	95%-KI (%)
0	100.0	100 - 100	100.0	100 - 100	100.0	100 - 100	100.0	100 - 100
12	99.2	97.6 - 100	97.5	94.6 - 100	94.4	90.1 - 98.9	83.2	73.2 - 94.6
24	96.9	93.4 - 100	92.8	87.7 - 98.2	89.7	83.9 - 96	58.5	45.3 - 75.5
36	95.5	91.2 - 100	90.1	84 - 96.6	83.8	76.2 - 92.2	36.9	24 - 56.8
48	95.5	91.2 - 100	90.1	84 - 96.6	83.8	76.2 - 92.2	27.7	15.4 - 49.9
Median (Monate)	NA	NA - NA	NA	NA - NA	NA	NA - NA	25.7	21.1 - 45.5

Anmerkung: aktueller Datenstand: 31.10.2025; aktueller Stichtag: 31.12.2024

Die folgenden Abbildungen **9.8** stellen das Gesamtüberleben für Patienten Ihrer Einrichtung mit Tumordiagnosen der Gruppe C18 - Kolon nach Geschlecht und Alter bei Diagnose dar. In den **Tabellen 9.17** und **9.18** werden die Kaplan-Meier-Schätzer (mit Konfidenzintervallen) stratifiziert nach Geschlecht und Alter bei Diagnose für das 1-Jahres bis 5-Jahres Überleben sowie für den entsprechenden Median aufgelistet.

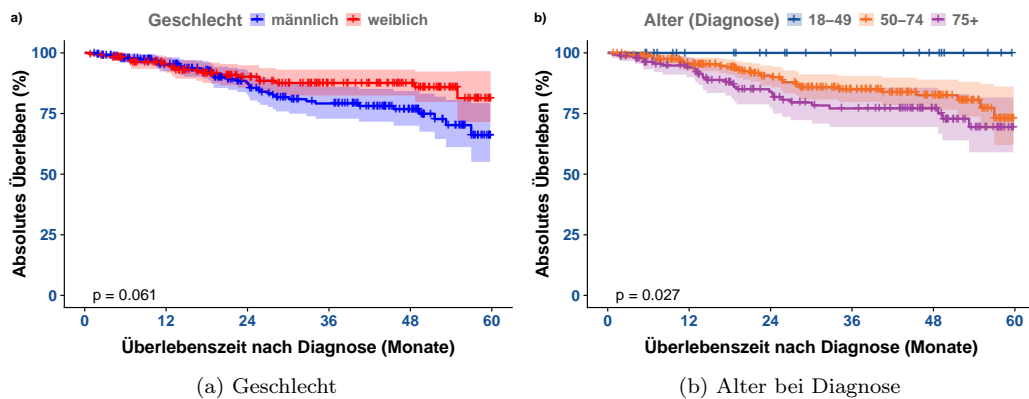


Abbildung 9.8: Darstellung des absoluten Überlebens (Kaplan-Meier-Schätzer) für C18 - Kolon - a) nach Geschlecht, b) nach Alter bei Diagnose in Gruppen

Tabelle 9.17: Tabellarische Darstellung der Kaplan-Meier-Schätzwerte mit Konfidenzintervallen (KI) für das Gesamtüberleben für C18 - Kolon stratifiziert nach Geschlecht

Zeit (Monate)	männlich		weiblich	
	Überlebensrate (%)	95%-KI (%)	Überlebensrate (%)	95%-KI (%)
0	100.0	100 - 100	100.0	100 - 100
12	95.2	92.3 - 98.2	95.6	92.6 - 98.6
24	87.7	83 - 92.8	90.2	85.7 - 94.9
36	79.1	72.9 - 86	87.6	82.4 - 93.1
48	76.8	70 - 84.3	87.6	82.4 - 93.1
Median (Monate)	NA	NA - NA	NA	NA - NA

Anmerkung: aktueller Datenstand: 31.10.2025; aktueller Stichtag: 31.12.2024

Tabelle 9.18: Tabellarische Darstellung der Kaplan-Meier-Schätzwerte mit Konfidenzintervallen (KI) für das Gesamtüberleben für C18 - Kolon stratifiziert nach Alter bei Diagnose

Zeit (Monate)	Alter = 18-49		Alter = 50-74		Alter = 75+	
	Überlebensrate (%)	95%-KI (%)	Überlebensrate (%)	95%-KI (%)	Überlebensrate (%)	95%-KI (%)
0	100	100 - 100	100.0	100 - 100	100.0	100 - 100
12	100	100 - 100	95.7	93.1 - 98.3	93.9	90 - 98.1
24	100	100 - 100	90.6	86.6 - 94.8	83.9	77.5 - 90.9
36	100	100 - 100	85.0	79.8 - 90.5	77.1	69.4 - 85.6
48	100	100 - 100	82.6	76.6 - 89	77.1	69.4 - 85.6
Median (Monate)	NA	NA - NA	NA	NA - NA	NA	NA - NA

Anmerkung: aktueller Datenstand: 31.10.2025; aktueller Stichtag: 31.12.2024

### 9.5.3 Überblick für C20 - Rektum

**Abbildung 9.9 a)** stellt die absoluten Überlebensraten (Kaplan-Meier-Schätzer) für Patienten Ihrer Einrichtung im Vergleich zur Referenz bis 5 Jahre nach Erstdiagnose (60 Monate) grafisch dar. In **Abbildung 9.9 b)** werden die absoluten Überlebensraten Ihrer Einrichtung stratifiziert nach UICC-Klassifikation gezeigt.

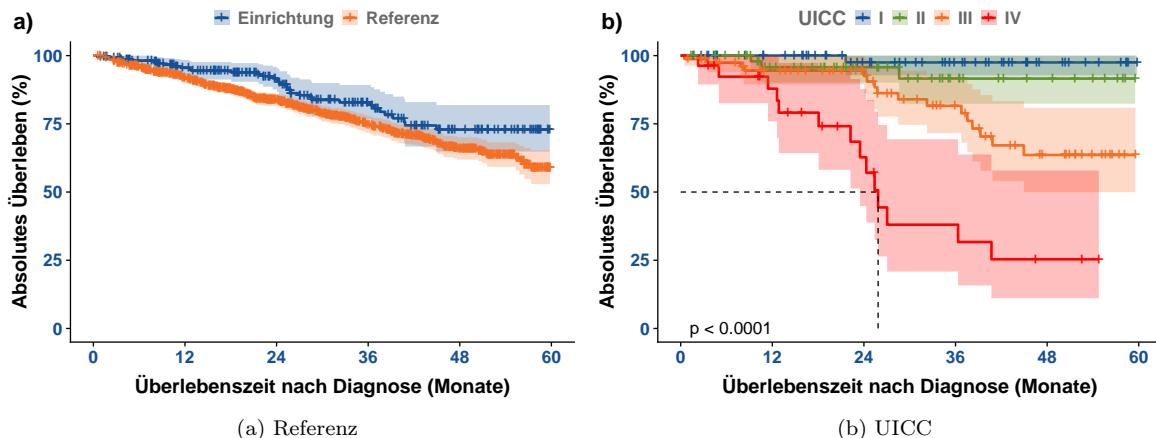


Abbildung 9.9: Darstellung des absoluten Überlebens (Kaplan-Meier-Schätzer) für C20 - Rektum - a) im Vergleich zur Referenz, b) nach UICC-Klassifikation

In den **Tabellen 9.19** und **9.20** werden die Kaplan-Meier-Schätzer (mit Konfidenzintervallen) stratifiziert für das 1-Jahres bis 5-Jahres Überleben sowie für den entsprechenden Median aufgelistet.

Tabelle 9.19: Tabellarische Darstellung der Kaplan-Meier-Schätzwerte mit Konfidenzintervallen (KI) für das Gesamtüberleben für C20 - Rektum der Einrichtung und Referenz

Zeit (Monate)	Einrichtung		Referenz	
	Überlebensrate (%)	95%-KI (%)	Überlebensrate (%)	95%-KI (%)
0	100.0	100 - 100	100.0	100 - 100
12	95.5	92.7 - 98.4	91.8	90.1 - 93.5
24	91.7	87.6 - 95.9	83.7	81.4 - 86.1
36	82.8	76.8 - 89.3	74.7	71.6 - 77.9
48	72.9	64.8 - 81.9	65.8	61.9 - 70
Median (Monate)	NA	NA - NA	NA	NA - NA

Tabelle 9.20: Tabellarische Darstellung der Kaplan-Meier-Schätzwerte mit Konfidenzintervallen (KI) für das Gesamtüberleben für C20 - Rektum stratifiziert nach UICC-Klassifikation

Zeit (Monate)	UICC = I		UICC = II		UICC = III		UICC = IV	
	Überlebensrate (%)	95%-KI (%)	Überlebensrate (%)	95%-KI (%)	Überlebensrate (%)	95%-KI (%)	Überlebensrate (%)	95%-KI (%)
0	100.0	100 - 100	100.0	100 - 100	100.0	100 - 100	100.0	100 - 100
12	100.0	100 - 100	95.7	90.1 - 100	94.5	89.4 - 99.9	87.9	75.9 - 100
24	97.5	92.8 - 100	95.7	90.1 - 100	94.5	89.4 - 99.9	62.7	44.9 - 87.8
36	97.5	92.8 - 100	91.6	82.4 - 100	81.6	71.6 - 93	38.0	20.9 - 69.4
48	97.5	92.8 - 100	91.6	82.4 - 100	63.6	50 - 80.9	25.4	11.1 - 57.9
Median (Monate)	NA	NA - NA	NA	NA - NA	NA	44.9 - NA	25.9	23.5 - NA

Anmerkung: aktueller Datenstand: 31.10.2025; aktueller Stichtag: 31.12.2024

Die folgenden Abbildungen **9.10** stellen das Gesamtüberleben für Patienten Ihrer Einrichtung nach Geschlecht und Alter bei Diagnose dar. In den **Tabellen 9.21** und **9.22** werden die Kaplan-Meier-Schätzer (mit Konfidenzintervallen) stratifiziert nach Geschlecht und Alter bei Diagnose für das 1-Jahres bis 5-Jahres Überleben sowie für den entsprechenden Median aufgelistet.

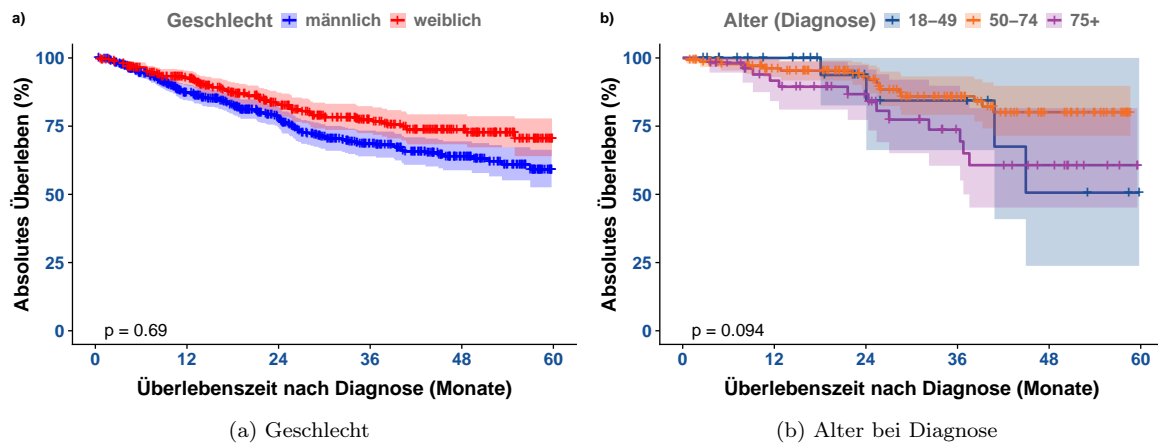


Abbildung 9.10: Darstellung des absoluten Überlebens (Kaplan-Meier-Schätzer) - a) nach Geschlecht, b) nach Alter bei Diagnose in Gruppen

Tabelle 9.21: Tabellarische Darstellung der Kaplan-Meier-Schätzwerte mit Konfidenzintervallen (KI) für das Gesamtüberleben für C20 - Rektum stratifiziert nach Geschlecht

Zeit (Monate)	männlich		weiblich	
	Überlebensrate (%)	95%-KI (%)	Überlebensrate (%)	95%-KI (%)
0	100.0	100 - 100	100.0	100 - 100
12	87.4	84.5 - 90.4	92.7	90 - 95.4
24	78.3	74.6 - 82.3	83.0	78.9 - 87.3
36	68.5	63.9 - 73.4	77.2	72.4 - 82.3
48	63.9	58.8 - 69.4	73.6	68.4 - 79.3
Median (Monate)	NA	NA - NA	NA	NA - NA

Anmerkung: aktueller Datenstand: 31.10.2025; aktueller Stichtag: 31.12.2024

Tabelle 9.22: Tabellarische Darstellung der Kaplan-Meier-Schätzwerte mit Konfidenzintervallen (KI) für das Gesamtüberleben für C20 - Rektum stratifiziert nach Alter bei Diagnose

Zeit (Monate)	Alter = 18-49		Alter = 50-74		Alter = 75+	
	Überlebensrate (%)	95%-KI (%)	Überlebensrate (%)	95%-KI (%)	Überlebensrate (%)	95%-KI (%)
0	100.0	100 - 100	100.0	100 - 100	100.0	100 - 100
12	100.0	100 - 100	96.2	93 - 99.5	91.7	84.2 - 99.9
24	93.8	82.6 - 100	93.1	88.6 - 97.9	86.7	77.3 - 97.3
36	84.4	66.2 - 100	85.9	79.2 - 93.2	73.7	60.5 - 89.8
48	50.6	23.8 - 100	80.1	71.5 - 89.8	60.7	45.2 - 81.6
Median (Monate)	NA	40.8 - NA	NA	NA - NA	NA	36.8 - NA

Anmerkung: aktueller Datenstand: 31.10.2025; aktueller Stichtag: 31.12.2024

### 9.5.4 Überblick für C16 - Magen

**Abbildung 9.11 a)** stellt die absoluten Überlebensraten (Kaplan-Meier-Schätzer) für Patienten Ihrer Einrichtung im Vergleich zur Referenz bis 5 Jahre nach Erstdiagnose (60 Monate) grafisch dar. In **Abbildung 9.11 b)** werden die absoluten Überlebensraten Ihrer Einrichtung stratifiziert nach UICC-Klassifikation gezeigt.

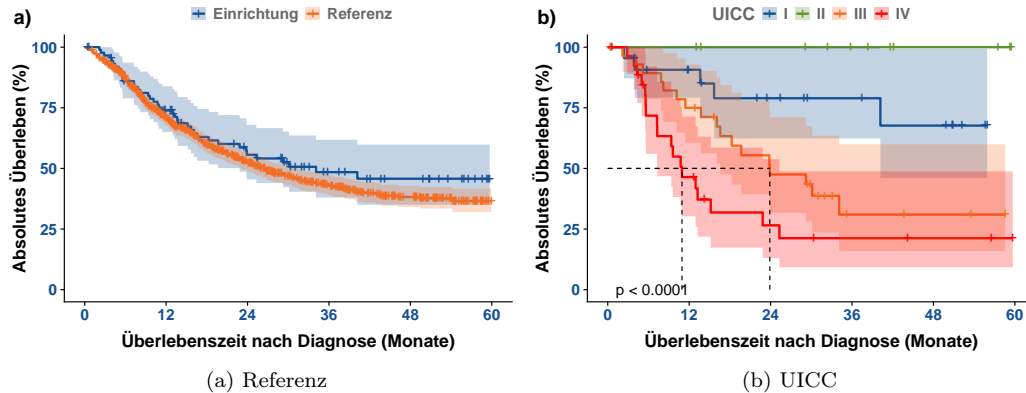


Abbildung 9.11: Darstellung des absoluten Überlebens (Kaplan-Meier-Schätzer) für C16 - Magen - a) im Vergleich zur Referenz, b) nach UICC-Klassifikation

In den **Tabellen 9.23** und **9.24** werden die Kaplan-Meier-Schätzer (mit Konfidenzintervallen) stratifiziert für das 1-Jahres bis 5-Jahres Überleben sowie für den entsprechenden Median aufgelistet.

Tabelle 9.23: Tabellarische Darstellung der Kaplan-Meier-Schätzwerte mit Konfidenzintervallen (KI) für das Gesamtüberleben für C16 - Magen der Einrichtung und Referenz

Zeit (Monate)	Einrichtung		Referenz	
	Überlebensrate (%)	95%-KI (%)	Überlebensrate (%)	95%-KI (%)
0	100.0	100 - 100	100.0	100 - 100
12	73.9	65 - 83.9	70.8	67.6 - 74.2
24	55.6	45.5 - 68	52.6	48.9 - 56.6
36	48.5	38 - 61.8	43.1	39.2 - 47.3
48	45.8	35 - 59.8	38.2	34.1 - 42.9
Median (Monate)	34.1	22.8 - NA	26.6	23 - 31.5

Tabelle 9.24: Tabellarische Darstellung der Kaplan-Meier-Schätzwerte mit Konfidenzintervallen (KI) für das Gesamtüberleben für C16 - Magen stratifiziert nach UICC-Klassifikation

Zeit (Monate)	UICC = I		UICC = II		UICC = III		UICC = IV	
	Überlebensrate (%)	95%-KI (%)	Überlebensrate (%)	95%-KI (%)	Überlebensrate (%)	95%-KI (%)	Überlebensrate (%)	95%-KI (%)
0	100.0	100 - 100	100	100 - 100	100.0	100 - 100	100.0	100 - 100
12	90.7	79.2 - 100	100	100 - 100	75.0	60.6 - 92.9	46.4	30.2 - 71.4
24	78.9	62.4 - 99.9	100	100 - 100	47.5	31.7 - 71.1	26.5	13.1 - 53.8
36	78.9	62.4 - 99.9	100	100 - 100	31.0	16 - 60	21.2	9.2 - 48.8
48	67.7	46.1 - 99.3	100	100 - 100	31.0	16 - 60	21.2	9.2 - 48.8
Median (Monate)	NA	40.2 - NA	NA	NA - NA	23.9	16.6 - NA	10.9	7.3 - 25.3

Anmerkung: aktueller Datenstand: 31.10.2025; aktueller Stichtag: 31.12.2024

Die folgenden Abbildungen **9.12** stellen das Gesamtüberleben für Patienten Ihrer Einrichtung nach Geschlecht und Alter bei Diagnose dar. In den **Tabellen 9.25** und **9.26** werden die Kaplan-Meier-Schätzer (mit Konfidenzintervallen) stratifiziert nach Geschlecht und Alter bei Diagnose für das 1-Jahres bis 5-Jahres Überleben sowie für den entsprechenden Median aufgelistet.

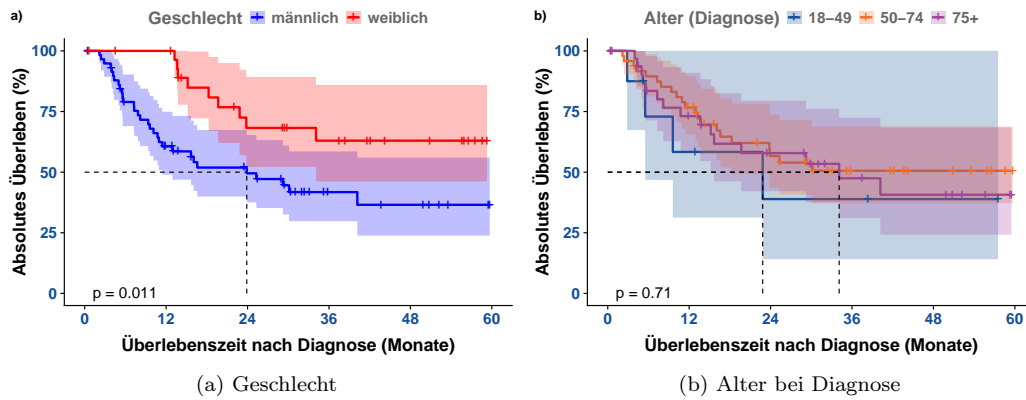


Abbildung 9.12: Darstellung des absoluten Überlebens (Kaplan-Meier-Schätzer) für C16 - Magen - a) nach Geschlecht, b) nach Alter bei Diagnose in Gruppen

Tabelle 9.25: Tabellarische Darstellung der Kaplan-Meier-Schätzwerte mit Konfidenzintervallen (KI) für das Gesamtüberleben für C16 - Magen stratifiziert nach Geschlecht

Zeit (Monate)	männlich		weiblich	
	Überlebensrate (%)	95%-KI (%)	Überlebensrate (%)	95%-KI (%)
0	100.0	100 - 100	100.0	100 - 100
12	60.6	49 - 74.9	100.0	100 - 100
24	49.5	37.5 - 65.3	68.2	52.2 - 89.2
36	41.8	29.8 - 58.6	63.0	46.2 - 86
48	36.5	23.8 - 56	63.0	46.2 - 86
Median (Monate)	23.9	11.4 - NA	NA	34.1 - NA

Anmerkung: aktueller Datenstand: 31.10.2025; aktueller Stichtag: 31.12.2024

Tabelle 9.26: Tabellarische Darstellung der Kaplan-Meier-Schätzwerte mit Konfidenzintervallen (KI) für das Gesamtüberleben für C16 - Magen stratifiziert nach Alter bei Diagnose

Zeit (Monate)	Alter = 18-49		Alter = 50-74		Alter = 75+	
	Überlebensrate (%)	95%-KI (%)	Überlebensrate (%)	95%-KI (%)	Überlebensrate (%)	95%-KI (%)
0	100.0	100 - 100	100.0	100 - 100	100.0	100 - 100
12	58.3	31.3 - 100	76.7	65.5 - 89.8	73.1	58.7 - 91
24	38.9	14.1 - 100	56.6	43.5 - 73.8	57.9	42.1 - 79.5
36	38.9	14.1 - 100	50.6	37.2 - 68.8	47.5	31.1 - 72.4
48	38.9	14.1 - 100	50.6	37.2 - 68.8	40.7	24.2 - 68.4
Median (Monate)	22.8	5.5 - NA	NA	18.3 - NA	34.1	15.7 - NA

Anmerkung: aktueller Datenstand: 31.10.2025; aktueller Stichtag: 31.12.2024

### 9.5.5 Überblick für C15 - Ösophagus

**Abbildung 9.13 a)** stellt die absoluten Überlebensraten (Kaplan-Meier-Schätzer) für Patienten Ihrer Einrichtung im Vergleich zur Referenz bis 5 Jahre nach Erstdiagnose (60 Monate) grafisch dar. In **Abbildung 9.13 b)** werden die absoluten Überlebensraten Ihrer Einrichtung stratifiziert nach UICC-Klassifikation gezeigt.

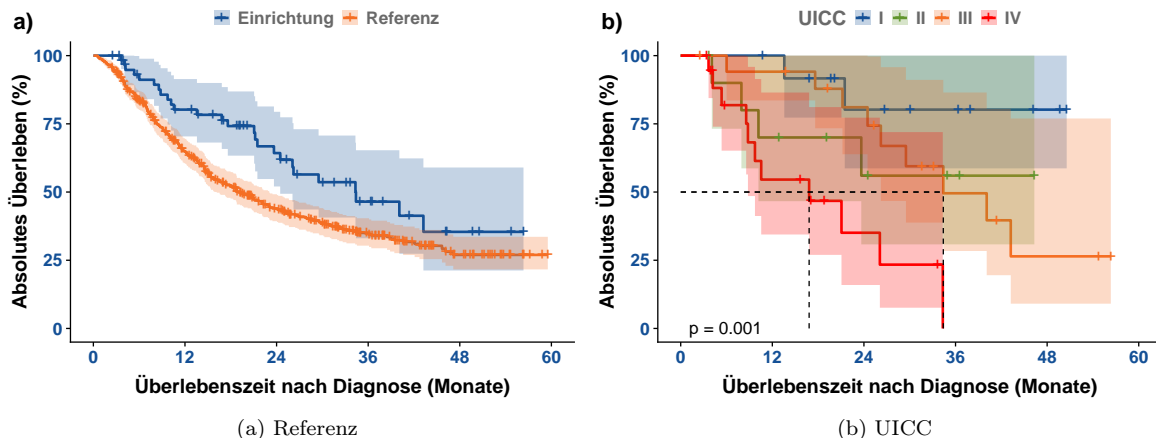


Abbildung 9.13: Darstellung des absoluten Überlebens (Kaplan-Meier-Schätzer) für C15 - Ösophagus - a) im Vergleich zur Referenz, b) nach UICC-Klassifikation

In den **Tabellen 9.27** und **9.28** werden die Kaplan-Meier-Schätzer (mit Konfidenzintervallen) stratifiziert für das 1-Jahres bis 5-Jahres Überleben sowie für den entsprechenden Median aufgelistet.

Tabelle 9.27: Tabellarische Darstellung der Kaplan-Meier-Schätzwerte mit Konfidenzintervallen (KI) für das Gesamtüberleben für C15 - Ösophagus der Einrichtung und Referenz

Zeit (Monate)	Einrichtung		Referenz	
	Überlebensrate (%)	95%-KI (%)	Überlebensrate (%)	95%-KI (%)
0	100.0	100 - 100	100.0	100 - 100
12	80.2	70.4 - 91.4	64.8	60.4 - 69.5
24	64.3	52 - 79.4	44.0	39.3 - 49.2
36	46.5	33.1 - 65.3	35.0	30.3 - 40.4
48	35.4	21.2 - 59	27.0	21.6 - 33.6
Median (Monate)	34.4	24.5 - NA	19.2	16.2 - 23

Tabelle 9.28: Tabellarische Darstellung der Kaplan-Meier-Schätzwerte mit Konfidenzintervallen (KI) für das Gesamtüberleben für C15 - Ösophagus stratifiziert nach UICC-Klassifikation

Zeit (Monate)	UICC = I		UICC = II		UICC = III		UICC = IV	
	Überlebensrate (%)	95%-KI (%)	Überlebensrate (%)	95%-KI (%)	Überlebensrate (%)	95%-KI (%)	Überlebensrate (%)	95%-KI (%)
0	100.0	100 - 100	100	100 - 100	100.0	100 - 100	100.0	100 - 100
12	100.0	100 - 100	70	46.7 - 100	94.1	83.6 - 100	54.6	34.4 - 86.5
24	80.2	58.7 - 100	56	30.8 - 100	81.1	63.9 - 100	35.1	15.9 - 77.3
36	80.2	58.7 - 100	56	30.8 - 100	49.6	28.4 - 86.5	NA	NA - NA
48	80.2	58.7 - 100	NA	NA - NA	26.4	9.1 - 77	NA	NA - NA
Median (Monate)	NA	NA - NA	NA	10.2 - NA	34.4	26.2 - NA	16.8	8.8 - NA

Anmerkung: aktueller Datenstand: 31.10.2025; aktueller Stichtag: 31.12.2024

Die folgenden Abbildungen **9.14** stellen das Gesamtüberleben für Patienten Ihrer Einrichtung nach Geschlecht und Alter bei Diagnose dar. In den **Tabellen 9.29** und **9.30** werden die Kaplan-Meier-Schätzer (mit Konfidenzintervallen) stratifiziert nach Geschlecht und Alter bei Diagnose für das 1-Jahres bis 5-Jahres Überleben sowie für den entsprechenden Median aufgelistet.

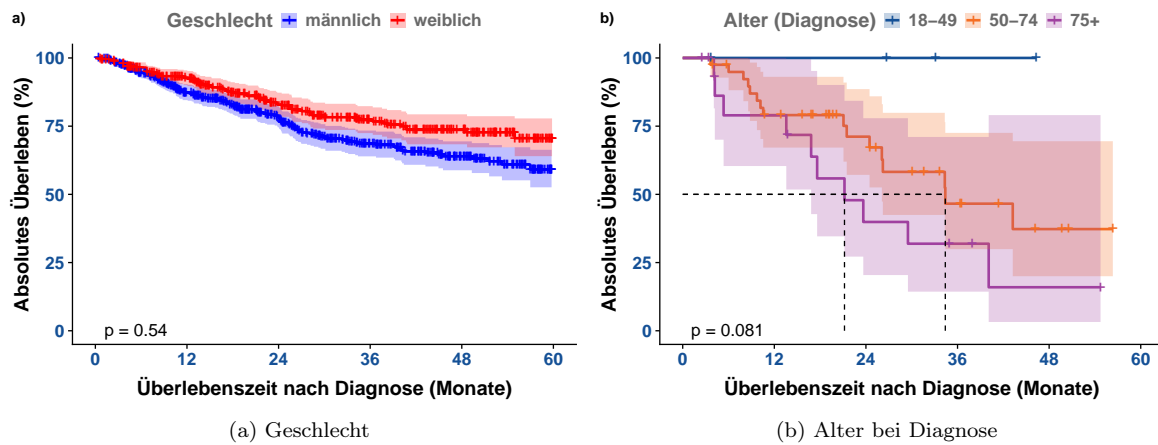


Abbildung 9.14: Darstellung des absoluten Überlebens (Kaplan-Meier-Schätzer) für C15 - Ösophagus - a) nach Geschlecht, b) nach Alter bei Diagnose in Gruppen

Tabelle 9.29: Tabellarische Darstellung der Kaplan-Meier-Schätzwerte mit Konfidenzintervallen (KI) für das Gesamtüberleben für C15 - Ösophagus stratifiziert nach Geschlecht

Zeit (Monate)	männlich		weiblich	
	Überlebensrate (%)	95%-KI (%)	Überlebensrate (%)	95%-KI (%)
0	100.0	100 - 100	100.0	100 - 100
12	87.4	84.5 - 90.4	92.7	90 - 95.4
24	78.3	74.6 - 82.3	83.0	78.9 - 87.3
36	68.5	63.9 - 73.4	77.2	72.4 - 82.3
48	63.9	58.8 - 69.4	73.6	68.4 - 79.3
Median (Monate)	NA	NA - NA	NA	NA - NA

Anmerkung: aktueller Datenstand: 31.10.2025; aktueller Stichtag: 31.12.2024

Tabelle 9.30: Tabellarische Darstellung der Kaplan-Meier-Schätzwerte mit Konfidenzintervallen (KI) für das Gesamtüberleben für C15 - Ösophagus stratifiziert nach Alter bei Diagnose

Zeit (Monate)	Alter = 18-49		Alter = 50-74		Alter = 75+	
	Überlebensrate (%)	95%-KI (%)	Überlebensrate (%)	95%-KI (%)	Überlebensrate (%)	95%-KI (%)
0	100	100 - 100	100.0	100 - 100	100.0	100 - 100
12	100	100 - 100	79.1	67.1 - 93.1	79.0	60.4 - 100
24	100	100 - 100	71.1	57.1 - 88.6	39.9	20.4 - 77.9
36	100	100 - 100	46.6	29.9 - 72.5	31.9	14.3 - 71
48	NA	NA - NA	37.3	20 - 69.5	16.0	3.2 - 79.1
Median (Monate)	NA	NA - NA	34.4	26.1 - NA	21.2	16.8 - NA

Anmerkung: aktueller Datenstand: 31.10.2025; aktueller Stichtag: 31.12.2024

## 9.5.6 Überblick für C25 - Pankreas

**Abbildung 9.15 a)** stellt die absoluten Überlebensraten (Kaplan-Meier-Schätzer) für Patienten Ihrer Einrichtung im Vergleich zur Referenz bis 5 Jahre nach Erstdiagnose (60 Monate) grafisch dar. In **Abbildung 9.15 b)** werden die absoluten Überlebensraten Ihrer Einrichtung stratifiziert nach UICC-Klassifikation gezeigt.

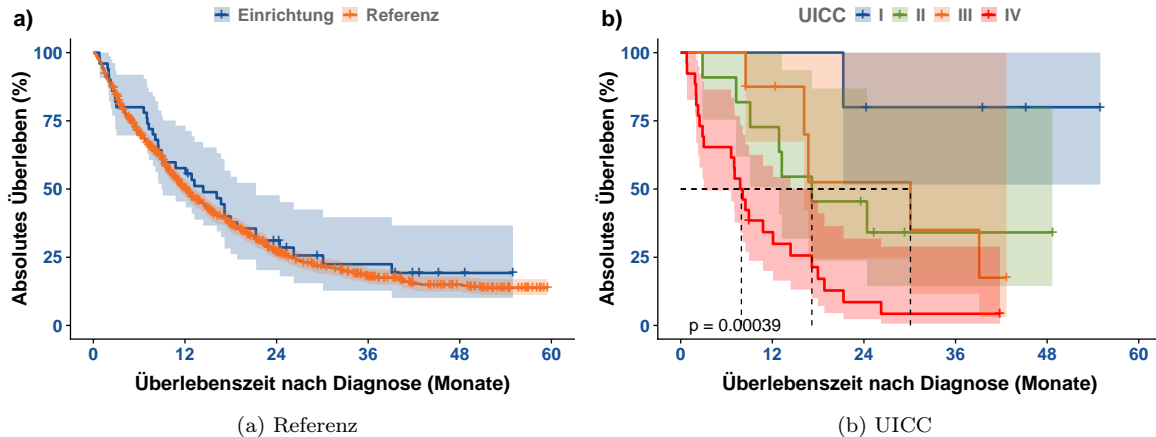


Abbildung 9.15: Darstellung des absoluten Überlebens (Kaplan-Meier-Schätzer) für C25 - Pankreas - a) im Vergleich zur Referenz, b) nach UICC-Klassifikation

In den **Tabellen 9.31** und **9.32** werden die Kaplan-Meier-Schätzer (mit Konfidenzintervallen) stratifiziert für das 1-Jahres bis 5-Jahres Überleben sowie für den entsprechenden Median aufgelistet.

Tabelle 9.31: Tabellarische Darstellung der Kaplan-Meier-Schätzwerte mit Konfidenzintervallen (KI) für das Gesamtüberleben für C25 - Pankreas der Einrichtung und Referenz

Zeit (Monate)	Einrichtung		Referenz	
	Überlebensrate (%)	95%-KI (%)	Überlebensrate (%)	95%-KI (%)
0	100.0	100 - 100	100.0	100 - 100
12	57.7	45.4 - 73.2	50.2	47.2 - 53.5
24	31.1	20.3 - 47.7	27.0	24.2 - 30.2
36	22.4	12.7 - 39.7	17.9	15.3 - 20.9
48	19.2	10.1 - 36.6	15.0	12.4 - 18
Median (Monate)	14.4	8.9 - 21.3	12.2	11.2 - 13.2

Tabelle 9.32: Tabellarische Darstellung der Kaplan-Meier-Schätzwerte mit Konfidenzintervallen (KI) für das Gesamtüberleben für C25 - Pankreas stratifiziert nach UICC-Klassifikation

Zeit (Monate)	UICC = I		UICC = II		UICC = III		UICC = IV	
	Überlebensrate (%)	95%-KI (%)	Überlebensrate (%)	95%-KI (%)	Überlebensrate (%)	95%-KI (%)	Überlebensrate (%)	95%-KI (%)
0	100	100 - 100	100.0	100 - 100	100.0	100 - 100	100.0	100 - 100
12	100	100 - 100	72.7	50.6 - 100	87.5	67.3 - 100	34.2	20 - 58.6
24	80	51.6 - 100	45.5	23.8 - 86.8	52.5	24.5 - 100	8.5	2.3 - 31.8
36	80	51.6 - 100	34.1	14.4 - 80.5	35.0	11.6 - 100	4.3	0.6 - 28.9
48	80	51.6 - 100	34.1	14.4 - 80.5	NA	NA - NA	NA	NA - NA
Median (Monate)	NA	NA - NA	17.2	12.9 - NA	30.1	16.2 - NA	8.0	3 - 17.2

Anmerkung: aktueller Datenstand: 31.10.2025; aktueller Stichtag: 31.12.2024

Die folgenden Abbildungen **9.16** stellen das Gesamtüberleben für Patienten Ihrer Einrichtung nach Geschlecht und Alter bei Diagnose dar. In den **Tabellen 9.33** und **9.34** werden die Kaplan-Meier-Schätzer (mit Konfidenzintervallen) stratifiziert nach Geschlecht und Alter bei Diagnose für das 1-Jahres bis 5-Jahres Überleben sowie für den entsprechenden Median aufgelistet.

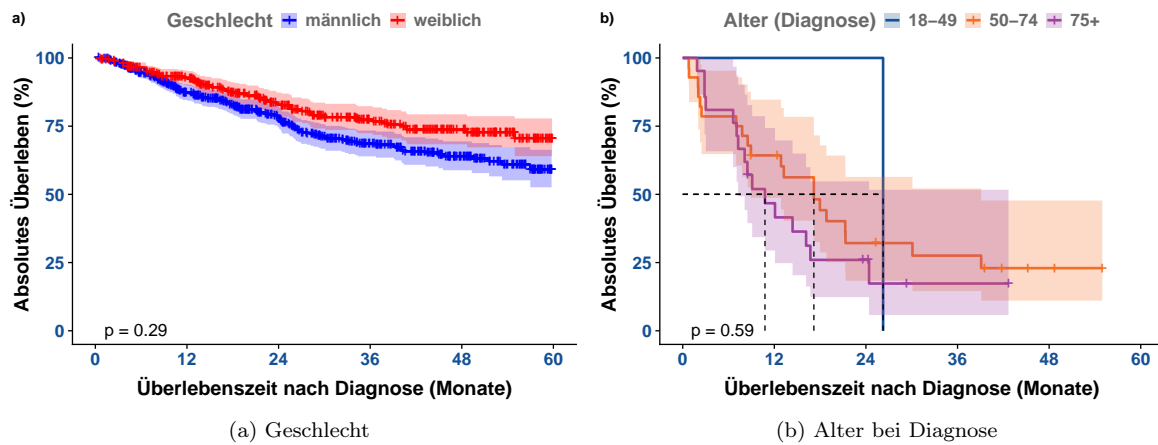


Abbildung 9.16: Darstellung des absoluten Überlebens (Kaplan-Meier-Schätzer) für C25 - Pankreas - a) nach Geschlecht, b) nach Alter bei Diagnose in Gruppen

Tabelle 9.33: Tabellarische Darstellung der Kaplan-Meier-Schätzwerte mit Konfidenzintervallen (KI) für das Gesamtüberleben für C25 - Pankreas stratifiziert nach Geschlecht

Zeit (Monate)	männlich		weiblich	
	Überlebensrate (%)	95%-KI (%)	Überlebensrate (%)	95%-KI (%)
0	100.0	100 - 100	100.0	100 - 100
12	87.4	84.5 - 90.4	92.7	90 - 95.4
24	78.3	74.6 - 82.3	83.0	78.9 - 87.3
36	68.5	63.9 - 73.4	77.2	72.4 - 82.3
48	63.9	58.8 - 69.4	73.6	68.4 - 79.3
Median (Monate)	NA	NA - NA	NA	NA - NA

Anmerkung: aktueller Datenstand: 31.10.2025; aktueller Stichtag: 31.12.2024

Tabelle 9.34: Tabellarische Darstellung der Kaplan-Meier-Schätzwerte mit Konfidenzintervallen (KI) für das Gesamtüberleben für C25 - Pankreas stratifiziert nach Alter bei Diagnose

Zeit (Monate)	Alter = 18-49		Alter = 50-74		Alter = 75+	
	Überlebensrate (%)	95%-KI (%)	Überlebensrate (%)	95%-KI (%)	Überlebensrate (%)	95%-KI (%)
0	100.0	100 - 100	100.0	100 - 100	100.0	100 - 100
12	100.0	100 - 100	64.3	48.8 - 84.7	46.8	29.4 - 74.3
24	100.0	100 - 100	32.1	18.3 - 56.4	26.0	12.3 - 54.8
36	NA	NA - NA	27.6	14.5 - 52.2	17.3	5.8 - 51.7
48	NA	NA - NA	23.0	11 - 47.7	NA	NA - NA
Median (Monate)	26.3	NA - NA	17.2	8.9 - 39.1	10.8	7.3 - NA

Anmerkung: aktueller Datenstand: 31.10.2025; aktueller Stichtag: 31.12.2024

## 10 | C81-C96 - lymph., blutbd. u. verw. Gewebes

Das Kapitel **C81-C96 - lymph., blutbd. u. verw. Gewebes** dieses Rückmeldeberichtes stellt Ihnen verschiedene Auswertungen und Darstellungen zu Tumorfällen von Patienten mit Diagnosen der Gruppe C81-C96 - lymph., blutbd. u. verw. Gewebes zu Verfügung. Neben den Fall- und Behandlungszahlen sowie den Vollständigkeitsangaben werden die Tumoreigenschaften und Patientenstruktur als auch Überlebensanalysen präsentiert.

### 10.1. Allgemeine Informationen

**Tabelle 10.1** fasst die Anzahl der neu diagnostizierten Fälle und therapeutischen Behandlungen (einzelner oder mehrerer Therapieanwendungen) nach Art der Therapie (Operation, Strahlentherapie/Nuklearmedizin, systemische Therapie oder abwartende Therapie) und Verlauf für Tumoren der Gruppe C81-C96 - lymph., blutbd. u. verw. Gewebes Ihrer Einrichtung über den 5-Jahres Berichtszeitraum (2020 bis 2024), als auch für das aktuelle Berichtsjahr (2024) zusammen.

Tabelle 10.1: Anzahl der gemeldeten Diagnosen, therapeutischen Behandlungen und Verläufe für C81-C96 - lymph., blutbd. u. verw. Gewebes

TYP	Anzahl der Behandlungen		Anzahl der Fälle	
	Einrichtung	REF	Einrichtung	REF
5-Jahres Berichtszeitraum (2020 - 2024)				
Diagnose			357	11.99%
therapeutische Behandlungen	364	6.31%	274	7.05%
Operation	1	50.00%	1	50.00%
Strahlentherapie	0	0.00%	0	0.00%
Systemtherapie	323	6.27%	240	7.04%
abwartende Therapie	31	7.56%	31	7.56%
Verlauf	196	8.16%	158	9.33%
Gesamt			549	9.16%
Aktuelles Berichtsjahr (2024)				
Diagnose			28	6.31%
therapeutische Behandlungen	26	2.45%	24	3.01%
Operation	1	100.00%	1	100.00%
Strahlentherapie	0	0.00%	0	0.00%
Systemtherapie	23	2.39%	21	2.95%
abwartende Therapie	2	2.90%	2	2.90%
Verlauf	99	16.72%	99	19.04%
Gesamt			142	11.08%

Anmerkung: Gesamt = Fall mit Diagnose oder Therapie in der Einrichtung; aktueller Datenstand: 31.10.2025

## 10.2. Vollständigkeit

Im Abschnitt *Vollständigkeit* werden analog zu Teil II “Qualität und Vollständigkeit” die Vollständigkeit sowie die Qualität der an das KKRBB gesandten Meldungen zu tumorrelevanten Behandlungen bezüglich der in Ihrer Einrichtung diagnostizierten und / oder therapierten Krebskrankungen der Tumorentitätengruppe **C81-C96 - lymph., blutbd. u. verw. Gewebes** für den 5-Jahres Berichtszeitraum (2020 bis 2024) beschrieben. Weitere Informationen bezüglich Definition dieser Merkmale finden Sie in Teil II “Qualität und Vollständigkeit” des Rückmeldeberichts.

### 10.2.1 Vollständigkeit von Diagnose- und Histologiemerkmalen

**Tabelle 10.2** gibt Ihnen einen Überblick über die Qualität und Vollständigkeit der beschriebenen Diagnose- und Histologiemerkmale für durchgeführte Diagnosen Ihrer Einrichtung; sowohl für den Gesamtzeitraum als auch für die einzelnen Berichtsjahre (basierend auf dem Diagnosejahr). Zudem zeigt Ihnen **Tabelle 10.2** zur Einordnung Ihrer Zahlen die prozentualen Ergebnisse der Vollständigkeit der Referenz (REF).

Tabelle 10.2: Qualität und Vollständigkeit von Diagnose- und Histologiemerkmalen im Zeitverlauf (REF - Referenz)

Merkmalsname	2020	2021	2022	2023	2024	Gesamt	REF
<b>DIAGNOSE und HISTOLOGIE</b>							
<b>Gesamt</b>							
Diagnose-Datum	118	75	69	67	28	357	
n	118	75	69	67	28	357	
%	100.0%	100.0%	100.0%	100.0%	100.0%	100.0%	100.0%
tagesgen. Diagnose-Datum	93	65	56	62	24	300	
n	93	65	56	62	24	300	
%	78.8%	86.7%	81.2%	92.5%	85.7%	84.0%	85.0%
Diagnosesicherung (DS)	118	75	69	67	28	357	
n	118	75	69	67	28	357	
%	100.0%	100.0%	100.0%	100.0%	100.0%	100.0%	99.7%
DS (histol. od. zytol.)	115	74	65	66	24	344	
n	115	74	65	66	24	344	
%	97.5%	98.7%	94.2%	98.5%	85.7%	96.4%	91.2%
Lokalisation	118	75	69	67	28	357	
n	118	75	69	67	28	357	
%	100.0%	100.0%	100.0%	100.0%	100.0%	100.0%	100.0%
Seitenlokalisation	118	75	69	67	28	357	
n	118	75	69	67	28	357	
%	100.0%	100.0%	100.0%	100.0%	100.0%	100.0%	100.0%
Histologie*	115	74	65	66	24	344	
n	115	74	65	66	24	344	
%	100.0%	100.0%	100.0%	100.0%	100.0%	100.0%	100.0%
Histologie-Schlüssel*	114	74	65	66	24	343	
n	114	74	65	66	24	343	
%	99.1%	100.0%	100.0%	100.0%	100.0%	99.7%	99.9%
Histologie-Datum*	115	74	65	66	24	344	
n	115	74	65	66	24	344	
%	100.0%	100.0%	100.0%	100.0%	100.0%	100.0%	99.7%
ECOG	82	51	41	50	20	244	
n	82	51	41	50	20	244	
%	73.2%	81.0%	75.9%	89.3%	76.9%	78.5%	67.2%
<b>klin. u. / od. pathol. TNM</b>							
klin. TNM							

**Anmerkung:** n - Anzahl; aktueller Datenstand vom 31.10.2025

\* n des Merkmals weicht von Gesamt n ab

### 10.2.2 Vollständigkeit von Therapiemerkmalen

#### 10.2.2.1 Operation

**Tabelle 10.3** gibt Ihnen einen Überblick über die Qualität und Vollständigkeit der beschriebenen Therapiemerkmale für durchgeführte Operationen Ihrer Einrichtung; sowohl für den Gesamtzeitraum als auch für die einzelnen Berichtsjahre (basierend auf dem Jahr der Leistungserbringung). Zudem zeigt Ihnen **Tabelle 10.3** zur Einordnung der Zahlen Ihrer Einrichtung die prozentualen Ergebnisse der Vollständigkeit der Referenz (REF).

Tabelle 10.3: Operation - Qualität und Vollständigkeit von Merkmalen im Zeitverlauf (REF - Referenz)

Merkmalname	2024		Gesamt	REF
<b>Behandlung: OPERATION</b>				
<b>Gesamt</b>	<b>1</b>		<b>1</b>	
OP-Datum	n	1	1	
	%	100.0%	100.0%	<b>100.0%</b>
Tagesgenauigkeit (OP)	n	1	1	
	%	100.0%	100.0%	<b>100.0%</b>
Therapieintention	n	1	1	
	%	100.0%	100.0%	<b>100.0%</b>
OP-Schlüssel vollst.	n	1	1	
	%	100.0%	100.0%	<b>100.0%</b>
Anzahl Lymphkn. (unters.)*	n	0	0	
	%	0.0%	0.0%	
Anzahl Lymphkn. (befall.)*	n	0	0	
	%	0.0%	0.0%	
Komplikationen	n	1	1	
	%	100.0%	100.0%	<b>100.0%</b>

**Anmerkung:** aktueller Datenstand vom 31.10.2025

\* n des Merkmals weicht von Gesamt n ab

### 10.2.2.2 Systemtherapie

Die folgende Tabelle gibt Ihnen einen Überblick über die Qualität und Vollständigkeit der beschriebenen Therapiemerkmale für durchgeführte Systemtherapien Ihrer Einrichtung; sowohl für den Gesamtzeitraum als auch für die einzelnen Berichtsjahre (basierend auf dem Jahr der Leistungserbringung). Zudem zeigt Ihnen diese Tabelle zur Einordnung der Zahlen Ihrer Einrichtung die prozentualen Ergebnisse der Vollständigkeit der Referenz (REF).

Tabelle 10.4: Systemtherapie - Qualität und Vollständigkeit von Therapiemerkmale im Zeitverlauf

Merkmalname	2020	2021	2022	2023	2024	Gesamt	REF
<b>Behandlung: SYSTEMTHERAPIE</b>							
<b>Gesamt</b>	<b>95</b>	<b>71</b>	<b>63</b>	<b>71</b>	<b>23</b>	<b>323</b>	
Anfang und Ende d. Th.*	n	74	52	43	44	226	
	%	77.9%	74.3%	68.3%	62.0%	56.5%	70.2% <b>72.6%</b>
Anfang der Th.	n	95	71	63	71	323	
	%	100.0%	100.0%	100.0%	100.0%	100.0%	100.0% <b>100.0%</b>
Ende der Th.*	n	74	52	43	44	226	
	%	77.9%	74.3%	68.3%	62.0%	56.5%	70.2% <b>72.6%</b>
Typ d. syst. Th.	n	95	71	62	71	322	
	%	100.0%	100.0%	98.4%	100.0%	100.0%	99.7% <b>99.0%</b>
Th.protokoll / Subs.	n	95	71	63	71	323	
	%	100.0%	100.0%	100.0%	100.0%	100.0%	100.0% <b>99.1%</b>
Therapieintention	n	95	70	62	70	320	
	%	100.0%	98.6%	98.4%	98.6%	100.0%	99.1% <b>98.8%</b>
Stellung zur OP	n	94	71	62	70	320	
	%	98.9%	100.0%	98.4%	98.6%	100.0%	99.1% <b>99.1%</b>
Nebenwirkungen*	n	45	36	32	27	150	
	%	47.4%	50.7%	50.8%	38.0%	43.5%	46.4% <b>28.9%</b>
Therapieabschluss	n	66	50	39	42	210	
	%	69.5%	70.4%	61.9%	59.2%	56.5%	65.0% <b>70.6%</b>

**Anmerkung:** aktueller Datenstand vom 31.10.2025

\* n des Merkmals weicht von Gesamt n ab

### 10.3. Tumoreigenschaften

Im Abschnitt *Tumoreigenschaften* wird Ihnen für die Patienten mit Tumordiagnosen der Tumorentitätengruppe **C81-C96 - lymph., blutbd. u. verw. Gewebes** Ihrer Einrichtung u. a. die Histologien, Klassifizierungen und Metastasen dargestellt. Bei den Analysen wird der 5-Jahres Berichtszeitraum von **2020 bis 2024** betrachtet.

### 10.3.1 Tumordiagnose (nach ICD-10)

Die Tumordiagnosen werden in diesem Unterabschnitt basierend auf der 5-stelligen ICD-10 beschrieben. **Tabelle 10.5** umfasst die absolute und relative Häufigkeiten der Tumorentitäten beruhend auf dem Jahr der Erstdiagnose für die einzelnen Berichtsjahre und dem Zeitraum (2020 bis 2024). Die prozentualen Angaben in diesen Spalten beziehen sich auf die Gesamtanzahl an Tumorfällen Ihrer Einrichtung. Zudem zeigt Ihnen **Tabelle 10.5** in Spalte *REF* den prozentualen Anteil Ihrer Einrichtung an den entsprechenden Gesamtzahlen der in der Referenz diagnostizierten Tumorfälle.

Tabelle 10.5: ICD-10 - Absolute und relative Häufigkeiten der Tumorentitäten im Zeitverlauf (basierend auf Diagnosejahr)

ICD-10 (Diagnose)	2020	2021	2022	2023	2024	Gesamt	REF
C81 - Hodgkin-Lymphom	C81.0	1 (0.7%)	-	-	1 (3.1%)	2 (0.5%)	<b>1.9%</b>
	C81.1	2 (1.5%)	-	1 (1.2%)	-	3 (0.7%)	<b>0.9%</b>
	C81.2	-	-	2 (2.5%)	-	2 (0.5%)	<b>1.0%</b>
	C81.4	-	-	-	1 (1.3%)	1 (0.2%)	<b>1.5%</b>
	C81.7	1 (0.7%)	-	-	2 (2.5%)	3 (0.7%)	<b>7.0%</b>
	C81.9	1 (0.7%)	1 (1.1%)	1 (1.2%)	-	3 (0.7%)	<b>1.1%</b>
	gesamt	5 (3.7%)	1 (1.1%)	4 (4.9%)	3 (3.8%)	14 (3.3%)	<b>1.4%</b>
	C82.0	6 (4.5%)	3 (3.3%)	-	1 (1.3%)	10 (2.4%)	<b>3.4%</b>
	C82.1	4 (3.0%)	1 (1.1%)	1 (1.2%)	1 (1.3%)	8 (1.9%)	<b>1.7%</b>
C82 - folliculäres Lymph.	C82.2	2 (1.5%)	2 (2.2%)	-	1 (1.3%)	5 (1.2%)	<b>3.1%</b>
	C82.9	4 (3.0%)	2 (2.2%)	-	1 (1.3%)	7 (1.7%)	<b>1.6%</b>
	gesamt	16 (11.9%)	8 (8.7%)	1 (1.2%)	4 (5.1%)	30 (7.2%)	<b>2.1%</b>
	C83.0	6 (4.5%)	8 (8.7%)	5 (6.2%)	-	19 (4.5%)	<b>2.6%</b>
C83 - nicht folliculäres Lymph.	C83.1	3 (2.2%)	2 (2.2%)	4 (4.9%)	1 (1.3%)	13 (3.1%)	<b>2.6%</b>
	C83.3	14 (10.4%)	9 (9.8%)	5 (6.2%)	6 (7.6%)	40 (9.6%)	<b>1.3%</b>
	C83.7	-	-	-	1 (3.1%)	1 (0.2%)	<b>1.3%</b>
	gesamt	23 (17.2%)	19 (20.7%)	14 (17.3%)	7 (8.9%)	73 (17.5%)	<b>1.7%</b>
C84 - reifzellige T/NK-Zell-Lymph.	C84.4	1 (0.7%)	-	-	1 (1.3%)	2 (0.5%)	<b>1.3%</b>
	C84.6	1 (0.7%)	-	-	1 (1.3%)	2 (0.5%)	<b>5.4%</b>
	C84.8	-	-	-	1 (1.3%)	1 (0.2%)	<b>3.1%</b>
	gesamt	2 (1.5%)	-	-	3 (3.8%)	5 (1.2%)	<b>1.1%</b>
C85 - Non-Hodgkin n.n.b.	C85.2	-	1 (1.1%)	-	1 (1.3%)	2 (0.5%)	<b>2.7%</b>
	C85.9	13 (9.7%)	4 (4.3%)	2 (2.5%)	3 (3.8%)	1 (3.1%)	<b>3.2%</b>
	gesamt	13 (9.7%)	5 (5.4%)	2 (2.5%)	4 (5.1%)	1 (3.1%)	<b>2.8%</b>
	C86.2	-	1 (1.1%)	-	-	1 (0.2%)	<b>5.9%</b>
C86 - weitere spez. T/NK-Zell-Lymph.	C86.4	-	-	-	1 (3.1%)	1 (0.2%)	<b>33.3%</b>
	C86.5	1 (0.7%)	-	-	-	1 (0.2%)	<b>1.0%</b>
	C86.6	-	-	-	1 (1.3%)	1 (0.2%)	<b>5.6%</b>
	gesamt	1 (0.7%)	1 (1.1%)	-	1 (1.3%)	1 (3.1%)	<b>2.5%</b>
C88 - immunproliferative Krankh.	C88.0	1 (0.7%)	4 (4.3%)	2 (2.5%)	1 (1.3%)	8 (1.9%)	<b>4.6%</b>
	C88.4	5 (3.7%)	3 (3.3%)	6 (7.4%)	3 (3.8%)	3 (9.4%)	<b>4.2%</b>
	C88.40	-	-	-	1 (1.3%)	1 (3.1%)	<b>3.0%</b>
	gesamt	6 (4.5%)	7 (7.6%)	8 (9.9%)	5 (6.3%)	4 (12.5%)	<b>4.0%</b>
C90 - Plasmoz. u. Plasmaz.-Nbldg.	C90.0	21 (15.7%)	19 (20.7%)	14 (17.3%)	15 (19.0%)	3 (9.4%)	<b>3.1%</b>
	C90.00	1 (0.7%)	2 (2.2%)	1 (1.2%)	4 (5.1%)	-	<b>2.1%</b>
	C90.1	-	-	1 (1.2%)	2 (2.5%)	-	<b>3 (0.7%)</b>
	C90.3	-	1 (1.1%)	-	-	1 (0.2%)	<b>0.9%</b>
C91 -	gesamt	22 (16.4%)	22 (23.9%)	16 (19.8%)	21 (26.6%)	3 (9.4%)	<b>2.9%</b>
	C91.0	-	1 (1.1%)	-	-	1 (0.2%)	<b>0.5%</b>
	C91.1	24 (17.9%)	15 (16.3%)	19 (23.5%)	10 (12.7%)	9 (28.1%)	<b>3.9%</b>

Tabelle 10.5: ICD-10 - Absolute und relative Häufigkeiten der Tumorentitäten im Zeitverlauf (basierend auf Diagnosejahr) (continued)

ICD-10 (Diagnose)	2020	2021	2022	2023	2024	Gesamt	REF
C91 - lymphatische Leukämie	C91.10	3 (2.2%)	-	-	-	3 (0.7%)	1.5%
	C91.4	2 (1.5%)	3 (3.3%)	1 (1.2%)	-	6 (1.4%)	6.6%
	C91.9	-	-	-	2 (2.5%)	2 (0.5%)	2.5%
	gesamt	29 (21.6%)	19 (20.7%)	20 (24.7%)	12 (15.2%)	9 (28.1%)	89 (21.3%)
C92 - myeloische Leukämie	C92.0	5 (3.7%)	3 (3.3%)	7 (8.6%)	8 (10.1%)	-	23 (5.5%)
	C92.00	3 (2.2%)	-	-	-	1 (3.1%)	1.1%
	C92.1	5 (3.7%)	3 (3.3%)	2 (2.5%)	7 (8.9%)	-	17 (4.1%)
	C92.2	-	-	1 (1.2%)	-	1 (3.1%)	16.7%
	C92.40	-	-	-	1 (1.3%)	-	1 (0.2%)
	C92.5	-	-	1 (1.2%)	-	-	1 (0.2%)
	C92.8	-	-	-	1 (1.3%)	-	1 (0.2%)
	C92.9	-	-	1 (1.2%)	-	-	1 (0.2%)
	gesamt	13 (9.7%)	6 (6.5%)	12 (14.8%)	17 (21.5%)	2 (6.2%)	50 (12.0%)
C93 - Monozytenleukämie	C93.1	3 (2.2%)	3 (3.3%)	3 (3.7%)	2 (2.5%)	-	11 (2.6%)
	gesamt	3 (2.2%)	3 (3.3%)	3 (3.7%)	2 (2.5%)	-	11 (2.6%)
C95 - n.n.b. Leukämien	C95.9	1 (0.7%)	-	1 (1.2%)	-	-	2 (0.5%)
	gesamt	1 (0.7%)	-	1 (1.2%)	-	-	2 (0.5%)
C96 - n.n.b.	C96.2	-	1 (1.1%)	-	-	-	1 (0.2%)
	gesamt	-	1 (1.1%)	-	-	-	1 (0.2%)
<b>GESAMT</b>	<b>GESAMT</b>	<b>134</b>	<b>92</b>	<b>81</b>	<b>79</b>	<b>32</b>	<b>418</b>
Anmerkung: aktueller Datenstand: 31.10.2025							

Anmerkung: aktueller Datenstand: 31.10.2025

### 10.3.2 Histologie

Die nachfolgenden Analysen umfassen sowohl eine Kategorisierung der Tumoren nach deren dokumentierter Histologie (Hauptklassen nach ENCR 2017 und NCT 2018) sowie das Vorkommen dieser **Histologie-Hauptklassen** (bspw. Karzinome) innerhalb der fünf am häufigsten vorkommenden Entitäten innerhalb der Tumorentitätengruppe **C81-C96 - lymph., blutbd. u. verw. Gewebes** Ihrer Einrichtung. Zudem werden die **Histologie-Hauptklassen** nach den vorhandenen Histologie-Gruppen (nach ENCR 2017 und NCT 2018) und die Verteilung der Histologie-Schlüssel (nach ICD-O) für die vorkommenden Tumorentitäten (nach ICD-10) tabellarisch dargestellt.

Der folgenden Tabellen beschreiben Ihnen die Tumorfälle (aufgeschlüsselt nach ICD-10), die in Ihrer Einrichtung im 5-Jahres Berichtszeitraum (2020 bis 2024) diagnostiziert oder im Rahmen der Primärtherapie behandelt worden sind, nach deren **Histologie** (Histologie-Schlüssel nach ICD-O).

Als Referenz zur Kategorisierung der Histologie-Schlüssel wurden verwendet:

- ENCR 2017 - Ardanaz et. al.: Working Group ENCR guidelines for reporting of multiple primary malignant (invasive) neoplasms - ENCR Multiple primary rules version 4
- NCT 2018 - Adzersen u. Schäfer: Handbuch der allgemeinen Tumordokumentation, 7. Auflage

Tabelle 10.6: Histologie-Übersicht für C91 - lymphatische Leukämie - absolute Häufigkeiten der Tumorhistologien stratifiziert (nach ENCR 2017, NCT 2018) für einzelne Berichtsjahre

Gruppe	Histologie-Schlüssel	2020	2021	2022	2023	2024	Gesamt
<b>T. d. hämatopoiet. u. lymph. Gew.</b>							
B-Zell Neoplasien	9671/3: Lymphoplasmazytisches Lymphom	1	0	0	0	0	1
B-Zell Neoplasien	9823/3: Chron. Lymphat. B-Zell-Leuk./kleinz. Lymphozyt. Lymphom	26	14	18	10	9	77
B-Zell Neoplasien	9940/3: Haarzell-Leukämie	2	3	1	0	0	6
B-Zell Neoplasien	Total	29	17	19	10	9	84

Tabelle 10.6: Histologie-Übersicht für C91 - lymphatische Leukämie - absolute Häufigkeiten der Tumorhistologien stratifiziert (nach ENCR 2017, NCT 2018) für einzelne Berichtsjahre (continued)

Gruppe	Histologie-Schlüssel	2020	2021	2022	2023	2024	Gesamt
n.n.b. Neoplasien	9820/3: Lymphatische Leukämie o.n.A.	0	0	0	2	0	2
n.n.b. Neoplasien	9835/3: Vorläuferzell-lymphoblastische	0	1	0	0	0	1
n.n.b. Neoplasien	Leukämie o.n.A.						
	Total	0	1	0	2	0	3
		29	18	19	12	9	87

Tabelle 10.7: Histologie-Übersicht für C90 - Plasmoz. u. Plasmaz.-Nbldg. - absolute Häufigkeiten der Tumorhistologien stratifiziert (nach ENCR 2017, NCT 2018) für einzelne Berichtsjahre

Gruppe	Schlüssel	2020	2021	2022	2023	2024	Gesamt
<b>T. d. hämatopoiet. u. lymph. Gew.</b>							
B-Zell Neoplasien	9731/3: Plasmozytom o.n.A.	2	1	2	0	0	5
B-Zell Neoplasien	9733/3: Plazmazell-Leukämie	0	0	1	2	0	3
B-Zell Neoplasien	Total	2	1	3	2	0	8
		2	1	3	2	0	8

Tabelle 10.8: Histologie-Übersicht für C83 - nicht folliculäres Lymph. - absolute Häufigkeiten der Tumorhistologien stratifiziert (nach ENCR 2017, NCT 2018) für einzelne Berichtsjahre

Gruppe	Schlüssel	2020	2021	2022	2023	2024	Gesamt
<b>T. d. hämatopoiet. u. lymph. Gew.</b>							
B-Zell Neoplasien	9671/3: Lymphoplasmozytisches Lymphom	3	2	1	0	0	6
B-Zell Neoplasien	9673/3: Mantelzell-Lymphom	3	2	4	1	3	13
B-Zell Neoplasien	9680/3: Diffuses großzell. B-Zell-Lymphom o.n.A.	14	9	5	5	6	39
B-Zell Neoplasien	9687/3: Burkitt-Lymphom o.n.A.	0	0	0	0	1	1
B-Zell Neoplasien	9689/3: Marginalzonen-B-Zell-Lymphom der Milz	0	0	1	0	0	1
B-Zell Neoplasien	9699/3: Marginalzonen-B-Zell-Lymphom o.n.A.	2	4	3	0	0	9
B-Zell Neoplasien	9823/3: Chron. Lymphat. B-Zell-Leuk./kleinz. Lymphozyt. Lymphom	1	0	0	0	0	1
B-Zell Neoplasien	Total	23	17	14	6	10	70
n.n.b. Neoplasien	9591/3: Malignes Non-Hodgkin-Lymphom o.n.A	0	0	0	1	0	1
n.n.b. Neoplasien	Total	0	0	0	1	0	1
	Total	23	17	14	7	10	71

Tabelle 10.9: Histologie-Übersicht für C92 - myeloische Leukämie - absolute Häufigkeiten der Tumorhistologien stratifiziert (nach ENCR 2017, NCT 2018) für einzelne Berichtsjahre

Gruppe	Schlüssel	2020	2021	2022	2023	2024	Gesamt
<b>T. d. hämatopoiet. u. lymph. Gew.</b>							
Myeloide Neoplasien	9860/3: Myeloische Leukämie o.n.A.	0	0	1	1	0	2
Myeloide Neoplasien	9861/3: Akute myeloische Leukämie o.n.A.	5	1	6	5	2	19
Myeloide Neoplasien	9863/3: Chronische myeloische Leukämie o.n.A.	3	2	2	7	0	14
Myeloide Neoplasien	9866/3: Akute Promyelozytenleukämie, t(15;17)(q22;q11-12)	0	0	0	1	0	1
Myeloide Neoplasien	9867/3: Akute myelomonozytäre Leukämie	0	0	1	0	0	1
Myeloide Neoplasien	9872/3: AML mit minimaler Ausreifung	1	1	0	1	0	3
Myeloide Neoplasien	9875/3: CML, BCR/ABL positiv	2	1	0	0	0	3
Myeloide Neoplasien	9876/3: Atypische CML, BCR/ABL negativ	0	0	1	0	0	1
Myeloide Neoplasien	9895/3: AML m. Myelodysplasie-ähnл. Veränderungen	1	0	0	1	0	2
Myeloide Neoplasien	9896/3: AML, t(8;21)(q22;q22)	1	1	0	0	0	2
Myeloide Neoplasien	9920/3: Therapiebedingte myeloische Neoplasie	0	0	1	0	0	1
Myeloide Neoplasien	Total	13	6	12	16	2	49
	Total	13	6	12	16	2	49

Tabelle 10.9: Histologie-Übersicht für C92 - myeloische Leukämie - absolute Häufigkeiten der Tumorhistologien stratifiziert (nach ENCR 2017, NCT 2018) für einzelne Berichtsjahre (continued)

Gruppe	Schlüssel	2020	2021	2022	2023	2024	Gesamt

Tabelle 10.10: Histologie-Übersicht für C82 - folliculäres Lymph. - absolute Häufigkeiten der Tumorhistologien stratifiziert (nach ENCR 2017, NCT 2018) für einzelne Berichtsjahre

Gruppe	Schlüssel	2020	2021	2022	2023	2024	Gesamt
<i>T. d. hämatopoiet. u. lymph. Gew.</i>							
B-Zell Neoplasien	9690/3: Follikuläres Lymphom o.n.A.	4	3	0	2	0	9
B-Zell Neoplasien	9691/3: Follikuläres Lymphom, Grad 2	4	0	1	0	1	6
B-Zell Neoplasien	9695/3: Follikuläres Lymphom, Grad 1	6	3	0	1	0	10
B-Zell Neoplasien	9698/3: Follikuläres Lymphom, Grad 3	2	2	0	1	0	5
B-Zell Neoplasien	Total	16	8	1	4	1	30
		16	8	1	4	1	30

### 10.3.3 Histopathologisches Grading und UICC-Klassifikation

Die Analyse des histopathologischen Gradings beruht auf den ermittelten **häufigsten Tumorentitäten** (nach ICD-10) (siehe *Abschnitt 6.1*). Von diesen Tumoren wurden ausschließlich die gradingpflichtigen ausgewählt (Entscheidungskriteria basierend auf ICD-10, ICD-O und Histologie), deren Diagnose histologisch oder zytologisch gesichert wurde, und bezüglich der Verteilung der Differenzierungsgrade analysiert.

Folgende Differenzierungsgrade wurden ausgewertet:

- **G1** -> gut differenziert
- **G2** -> mäßig differenziert
- **G3** -> schlecht differenziert
- **G4** -> undifferenziert
- **GX** -> unbekannt

**Abbildung 10.1** gibt Ihnen für die häufigsten Tumorfälle Ihrer Einrichtung einen Überblick über die absolute und relative Häufigkeiten der Differenzierungsgrade des histopathologischen Gradings für die betrachteten Tumorfälle von gradingpflichtigen Tumorentitäten. Im Gegensatz zu **Abbildung 10.1 a)** ist in **Abbildung 10.1 b)** das Grading (absolute und relative Häufigkeiten) **ohne** die Fälle mit fehlender Angabe zu den Differenzierungsgraden dargestellt.

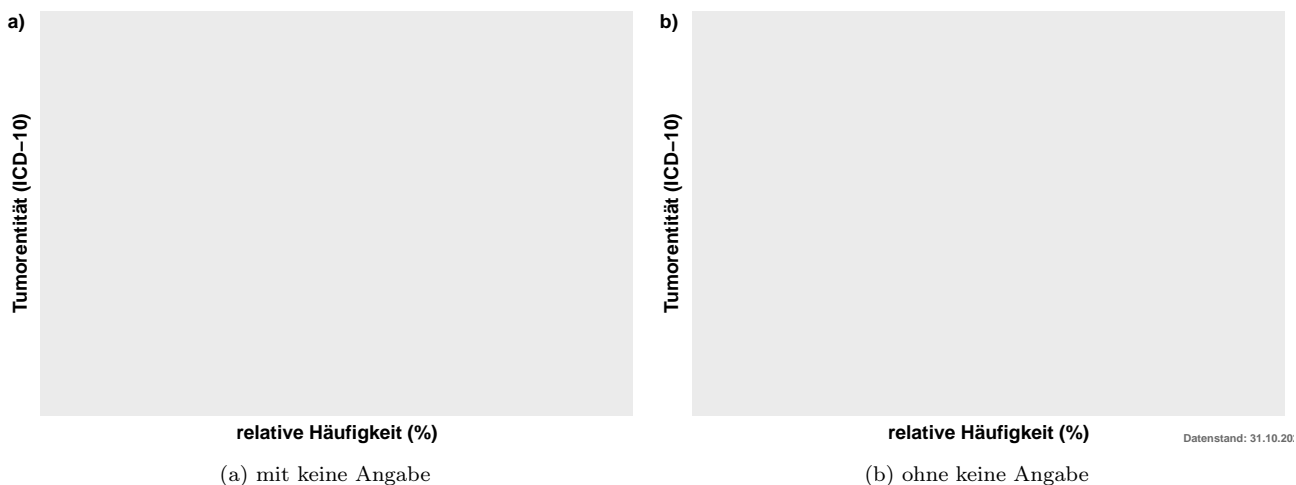


Abbildung 10.1: Histopathologisches Grading für den 5-Jahres Berichtszeitraum (2020 - 2024) - absolute und relative Häufigkeiten der Differenzierungsgrade

### 10.3.4 UICC-Klassifikation

Die Beschreibung der Stadienverteilung nach UICC beruht auf den ermittelten invasiven Tumorentitäten (nach ICD-10). Von diesen Tumoren wurden ausschließlich die TNM-pflichtigen ausgewählt (Entscheidungskriteria basierend auf ICD-10, ICD-O und Histologie) und bezüglich der Verteilung der Stadien analysiert. In der Auswertung wurden vorrangig pathologische UICC-Stadien verwendet. Lag aufgrund neoadjuvanter oder nicht operativer Behandlungen die pathologische Variante nicht vor, wurde in der Berechnung auf die klinischen UICC-Stadien zurückgegriffen.

Die folgende Abbildung gibt Ihnen einen Überblick über die absoluten und relativen Häufigkeiten der einzelnen Stadien nach UICC für die betrachteten Fälle von TNM-pflichtigen Tumorentitäten (Tumorentitätengruppen nach ICD-10).

### 10.3.5 Staging

Die Beschreibung der TNM-Verteilung beruht auf den ermittelten häufigsten invasiven Tumorentitäten und wird in der folgenden Abbildung dargestellt. Von diesen Tumoren wurden ausschließlich die TNM-pflichtigen ausgewählt und analysiert (Entscheidungskriteria basierend auf ICD-10, ICD-O und Histologie). In der Auswertung

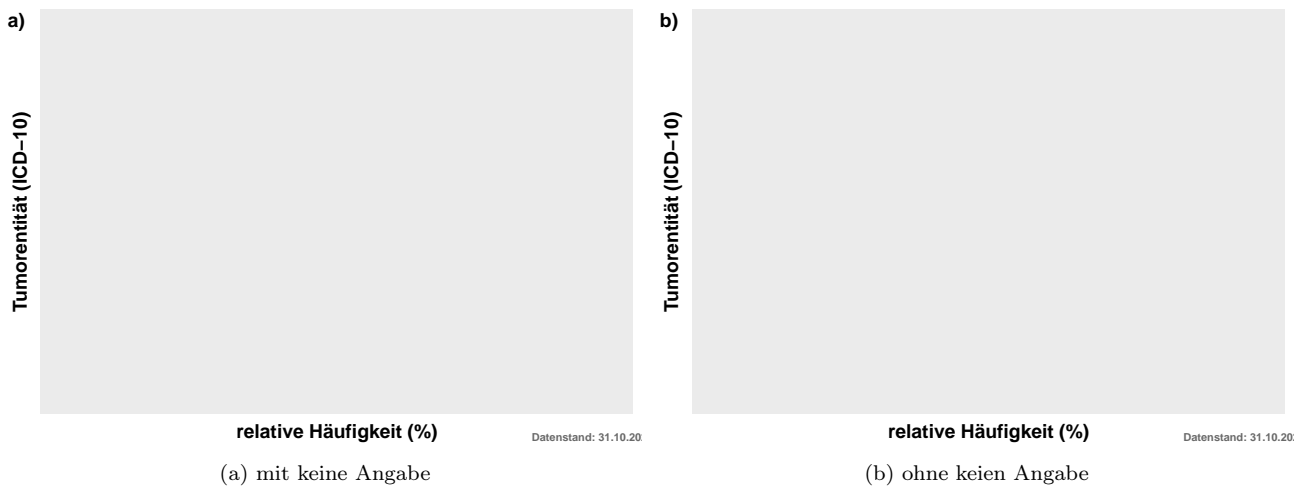


Abbildung 10.2: Stadienverteilung nach UICC für invasive Tumorentitäten (TNM-pflichtig) für den 5-Jahres Berichtszeitraum (2020 - 2024) - absolute und relative Häufigkeiten der Differenzierungsgrade

wurden vorrangig pathologische TNM-Kategorien verwendet. Lag aufgrund neoadjuvanter oder nicht operativer Behandlungen die pathologische Variante nicht vor, wurde in der Berechnung auf die klinischen TNM-Kategorien zurückgegriffen.

## 10.4. Patientenstruktur

Im Abschnitt Patientenstruktur wird Ihnen für die Patienten mit Tumordiagnosen C81-C96 - lymph., blutbd. u. verw. Gewebes das Geschlechterverhältnis, die Altersstruktur sowie die Herkunft der Fälle zum Zeitpunkt der Diagnose dargestellt. Dabei wird der 5-Jahres Berichtszeitraum von **2020 bis 2024** betrachtet.

**Abbildung 10.3** zeigt Ihnen die absolute Häufigkeit der betrachteten Tumorfälle aufgesplittet nach Geschlecht (männlich / weiblich) und Tumorentität (ICD-10). Abgebildet sind die in Ihrer Einrichtung aufgetretenen invasiven Tumorentitäten der Berichtsjahre 2020 bis 2024 (basierend auf dem Diagnosejahr).

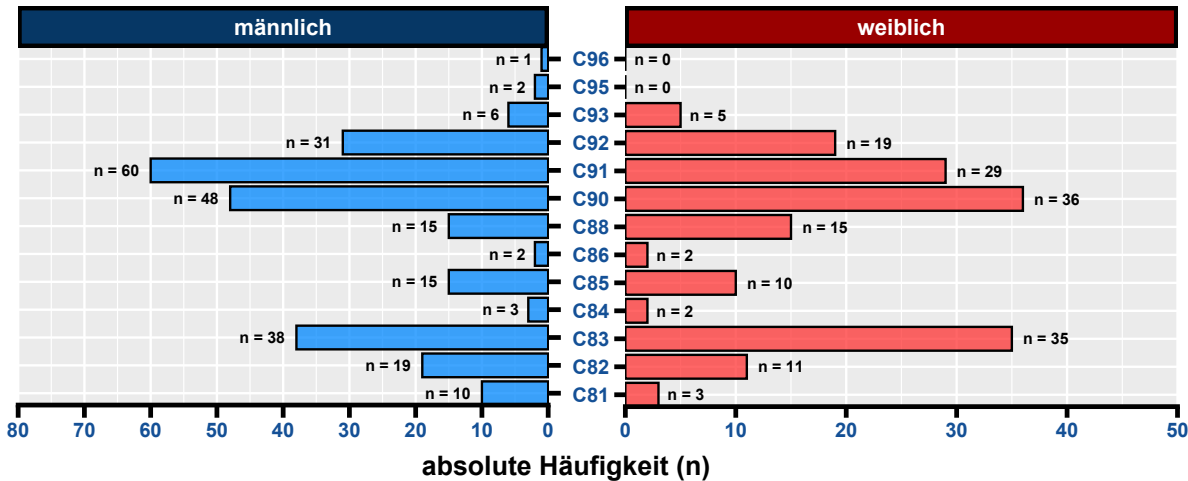


Abbildung 10.3: Geschlechterverhältnis (männlich / weiblich) der Tumorfälle für die Tumorentitäten (nach ICD-10) 5-Jahres Berichtszeitraum (2020 - 2024)

**Abbildung 10.4** veranschaulicht Ihnen die Altersverteilung der Tumorentitäten (nach ICD-10) für Männer und Frauen.

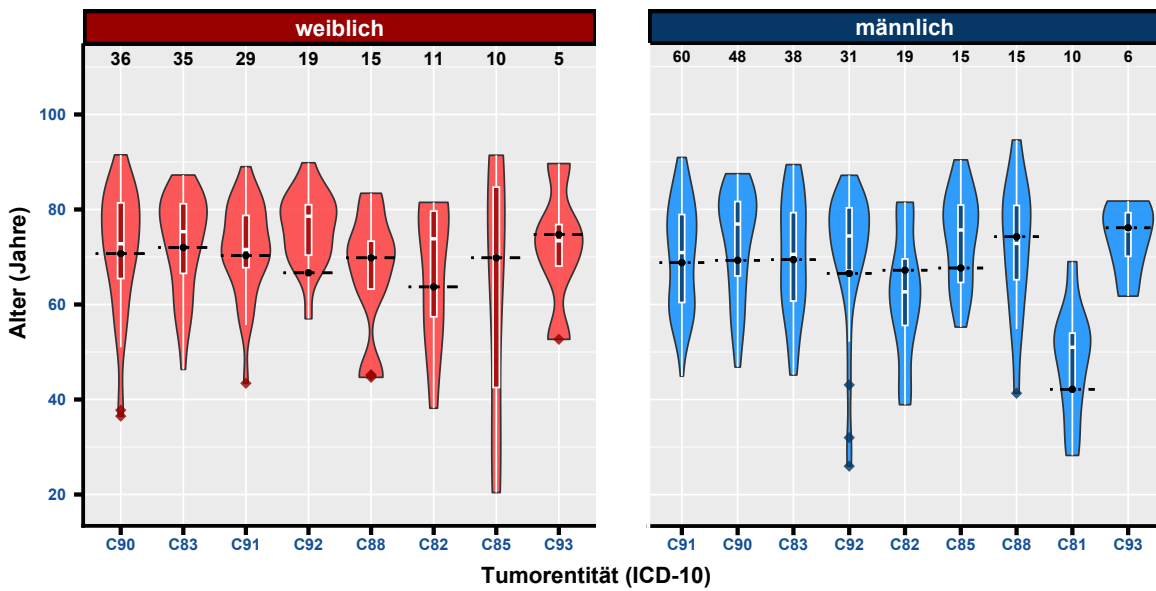


Abbildung 10.4: Altersverteilung der vorkommenden Tumorentitäten (nach ICD-10) je Geschlecht

### 10.4.1 Herkunft

Das Patientenkollektiv Ihrer Einrichtung stammt, basierend auf dem Wohnort zum Zeitpunkt der Diagnose, aus **4 Bundesländern**. Dabei kommen **371** Fälle aus dem Bundesland Berlin und **\* 44\*** Fälle aus dem Bundesland Brandenburg. Aus dem Bundesland Niedersachsen kommen mit 2 Fällen die meisten Patienten, die nicht in der Region Brandenburg-Berlin zum Zeitpunkt der Diagnose wohnhaft waren. Die folgenden kartographischen Darstellungen stellen Ihnen den Wohnort zum Zeitpunkt der Diagnose Ihrer Patienten detaillierter dar (wenn mindestens 25 Tumorfälle vorliegen). Für Patienten aus dem Bundesland Brandenburg werden die Zahlen (prozentual) auf Gemeindeebene, für Berliner Patienten basierend auf den Prognoseräumen (Konzept der Lebensweltlich orientierten Räumen (LOR)) erhoben. Bitte beachten Sie, dass nur Prognoseräume und Gemeinden in der Darstellung berücksichtigt werden, wenn diese mindestens 5 Tumorfälle vorweisen (**Abbildung 10.5**).

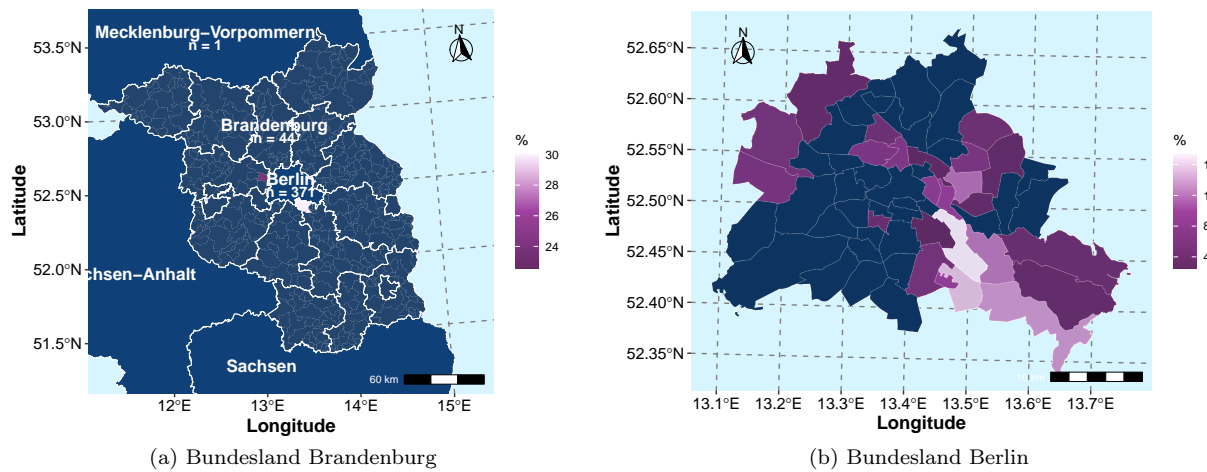


Abbildung 10.5: Prozentuale Darstellung des Wohnorts der Patienten zum Zeitpunkt der Diagnose für Brandenburg (Gemeindeebene) und Berlin (LOR) (mit mindestens 5 Fällen) - 5-Jahres Berichtszeitraum (2020 - 2024)

**Tabelle 10.11** stellt Ihnen die absoluten Häufigkeiten der betrachteten Tumorfälle nach Wohnort zum Zeitpunkt der Krebsdiagnose getrennt nach Diagnosejahr (einzelne Berichtsjahre 2020 - 2024) dar. Dabei steht "BB" für Brandenburg, "BE" für Berlin und "Andere BL" für alle anderen Bundesländer.

Tabelle 10.11: Absolute Häufigkeit der Tumorfälle je Wohnort (Bundeslandebene) und pro Berichtsjahr (Diagnosejahr)

Berichtsjahr	BB	BE	Andere BL
2020	14	119	1
2021	10	82	0
2022	6	75	0
2023	7	70	2
2024	7	25	0

Anmerkung: aktueller Datenstand: 31.10.2025

## 10.5. Überlebensanalysen (nach Kaplan-Meier)

Dieser Abschnitt beschreibt das absolute Überleben (Anteil der Patienten, die zu einem bestimmten Zeitpunkt nach ihrer Diagnose noch leben; basierend auf Kaplan-Meier-Schätzwerten) für Patienten Ihrer Einrichtung (diagnostiziert bzw. primärtherapiert) mit Tumordiagnosen der Gruppe **C81-C96 - lymph., blutbd. u. verw. Gewebes**, stellt Vergleiche mit Ihrer entsprechenden Referenz (siehe: Beschreibung in der Einleitung) an und analysiert das Gesamtüberleben stratifiziert u. a. nach UICC-Klassifikation, Geschlecht und Alter ("18-49 Jahre", "50-74 Jahre", "75+ Jahre"). Dabei ist zu berücksichtigen, dass das Patientenkollektiv Ihrer Einrichtung sich hinsichtlich Alter, Geschlecht, ECOG, Krankheitsstadien und weiteren Tumoreigenschaften von dem anderer Einrichtungen unterscheiden kann, was die direkte Vergleichbarkeit einschränkt. Stichtag für die Überlebensberechnungen ist der 31.12.2024, das bedeutet, dass die Betrachtung der Überlebenszeit bis zu diesem Datum erfolgt, da bis zu diesem Datum von einer vollständigen Erfassung des Lebendstatus der Patientinnen und Patienten auszugehen ist.

Bei der Interpretation der Überlebensstatistiken achten Sie bitte auf folgende Punkte:

- es werden nur für invasive Tumorentitäten (C00-C97) Überlebensanalysen gerechnet
- die Kaplan-Meier-Schätzwerte beruhen auf den Daten von 01.01.2020 bis zum aktuellen Stichtag 31.12.2024
- Konfidenzintervalle, die eine große Spannweite aufweisen, deuten auf ein größere Ungenauigkeit des Kaplan-Meier-Schätzers hin
- eine geringe Fallanzahl (Gesamt oder pro untersuchte Gruppe) führt zu größeren Konfidenzintervallen

Auf Anfrage (per E-Mail an [Datenauswertung@kkrbb.de](mailto:Datenauswertung@kkrbb.de)) stellen wir Ihnen gerne weitere Überlebensdarstellungen und Statistiken Tumorentitäten zur Verfügung.

### 10.5.1 Überblick für C81-C96 - lymph., blutbd. u. verw. Gewebes

**Tabelle 10.12** gibt Ihnen einen Überblick über das Patientenkollektiv, für die die Überlebensanalysen gerechnet wurden. Des Weiteren finden Sie für die fünf häufigsten ICD-10 dieser Gruppe ( $n \geq 50$ ) eine separate Auflistung der Merkmale der betrachteten Population.

Tabelle 10.12: Beschreibung des Patientenkollektivs: Charakteristika der eingeschlossenen Patienten für die Überlebensanalysen ('overall' - alle; einzelne ICD-10 ( $n \geq 50$ ))

Variable	**Overall**, N = 418	**C83**, N = 73	**C90**, N = 84	**C91**, N = 89
Geschlecht, n (%)				
M	250 (60%)	38 (52%)	48 (57%)	60 (67%)
S	1 (0.2%)	0 (0%)	0 (0%)	0 (0%)
W	167 (40%)	35 (48%)	36 (43%)	29 (33%)
Alter bei Diagnose, Median (IQR)	72 (62, 80)	72 (62, 81)	76 (66, 81)	71 (62, 79)
AGE_gr25, n (%)				
18-49	33 (7.9%)	3 (4.1%)	4 (4.8%)	2 (2.2%)
50-74	209 (50%)	35 (48%)	36 (43%)	53 (60%)
75+	176 (42%)	35 (48%)	44 (52%)	34 (38%)
Diagnosejahr, n (%)				
2020	134 (32%)	23 (32%)	22 (26%)	29 (33%)
2021	92 (22%)	19 (26%)	22 (26%)	19 (21%)
2022	81 (19%)	14 (19%)	16 (19%)	20 (22%)
2023	79 (19%)	7 (9.6%)	21 (25%)	12 (13%)
2024	32 (7.7%)	10 (14%)	3 (3.6%)	9 (10%)
ECOG, n (%)				
0	162 (39%)	28 (38%)	13 (15%)	49 (55%)
1	96 (23%)	17 (23%)	22 (26%)	17 (19%)
2	31 (7.4%)	6 (8.2%)	12 (14%)	4 (4.5%)
3	6 (1.4%)	2 (2.7%)	2 (2.4%)	0 (0%)
4	1 (0.2%)	0 (0%)	0 (0%)	0 (0%)
X	122 (29%)	20 (27%)	35 (42%)	19 (21%)

Anmerkung: aktueller Datenstand: 31.10.2025; aktueller Stichtag: 31.12.2024

## 10.5.2 Überblick für C91 - lymphatische Leukämie

**Abbildung 10.6 a)** stellt die absoluten Überlebensraten (Kaplan-Meier-Schätzer) für Patienten mit Tumordiagnosen der Tumorentität C91 - lymphatische Leukämie Ihrer Einrichtung im Vergleich zur Referenz bis 5 Jahre nach Erstdiagnose (60 Monate) grafisch dar. In **Abbildung 10.6 b)** werden die absoluten Überlebensraten Ihrer Einrichtung stratifiziert nach UICC-Klassifikation gezeigt.

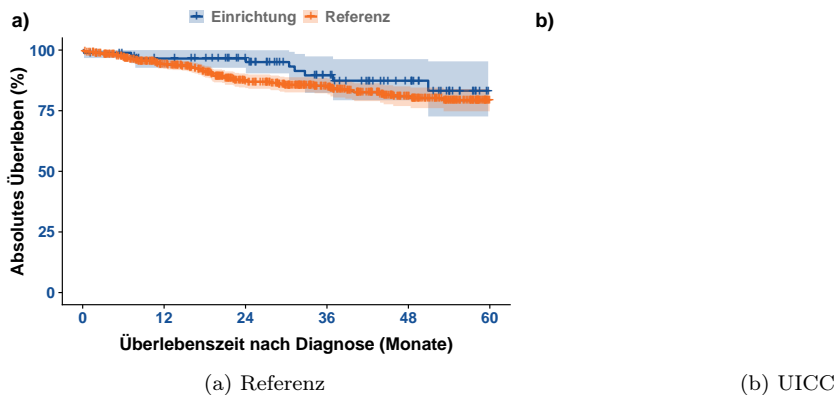


Abbildung 10.6: Darstellung des absoluten Überlebens (Kaplan-Meier-Schätzer) für C91 - lymphatische Leukämie - a) im Vergleich zur Referenz, b) nach UICC-Klassifikation

In den **Tabellen 10.13** und ?? werden die Kaplan-Meier-Schätzer (mit Konfidenzintervallen) stratifiziert für das 1-Jahres bis 5-Jahres Überleben sowie für den entsprechenden Median aufgelistet.

Tabelle 10.13: Tabellarische Darstellung der Kaplan-Meier-Schätzwerte mit Konfidenzintervallen (KI) für das Gesamtüberleben für C91 - lymphatische Leukämie der Einrichtung und Referenz

Zeit (Monate)	Einrichtung		Referenz	
	Überlebensrate (%)	95%-KI (%)	Überlebensrate (%)	95%-KI (%)
0	100.0	100 - 100	99.8	99.5 - 100
12	96.5	92.7 - 100	94.1	92.2 - 96.1
24	96.5	92.7 - 100	87.2	84.3 - 90.2
36	89.6	82.4 - 97.4	85.3	82.2 - 88.5
48	87.4	79.3 - 96.3	80.9	76.9 - 85
Median (Monate)	NA	NA - NA	NA	NA - NA

Die folgenden Abbildungen **10.7** stellen das Gesamtüberleben für Patienten Ihrer Einrichtung mit Tumordiagnosen der Gruppe C91 - lymphatische Leukämie nach Geschlecht und Alter bei Diagnose dar. In den **Tabellen 10.14** und **10.15** werden die Kaplan-Meier-Schätzer (mit Konfidenzintervallen) stratifiziert nach Geschlecht und Alter bei Diagnose für das 1-Jahres bis 5-Jahres Überleben sowie für den entsprechenden Median aufgelistet.

Tabelle 10.14: Tabellarische Darstellung der Kaplan-Meier-Schätzwerte mit Konfidenzintervallen (KI) für das Gesamtüberleben für C91 - lymphatische Leukämie stratifiziert nach Geschlecht

Zeit (Monate)	männlich		weiblich	
	Überlebensrate (%)	95%-KI (%)	Überlebensrate (%)	95%-KI (%)
0	100.0	100 - 100	100.0	100 - 100
12	96.5	91.9 - 100	96.6	90.1 - 100
24	96.5	91.9 - 100	96.6	90.1 - 100
36	89.2	80.4 - 98.8	90.5	78.4 - 100
48	86.0	75.9 - 97.4	90.5	78.4 - 100
Median (Monate)	NA	NA - NA	NA	NA - NA

Anmerkung: aktueller Datenstand: 31.10.2025; aktueller Stichtag: 31.12.2024

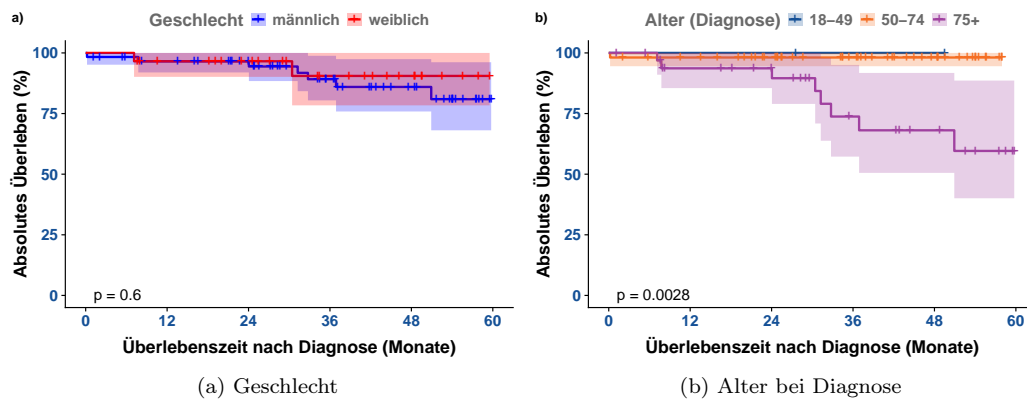


Abbildung 10.7: Darstellung des absoluten Überlebens (Kaplan-Meier-Schätzer) für C91 - lymphatische Leukämie - a) nach Geschlecht, b) nach Alter bei Diagnose in Gruppen

Tabelle 10.15: Tabellarische Darstellung der Kaplan-Meier-Schätzwerte mit Konfidenzintervallen (KI) für das Gesamtüberleben für C91 - lymphatische Leukämie stratifiziert nach Alter bei Diagnose

Zeit (Monate)	Alter = 18-49		Alter = 50-74		Alter = 75+	
	Überlebensrate (%)	95%-KI (%)	Überlebensrate (%)	95%-KI (%)	Überlebensrate (%)	95%-KI (%)
0	100	100 - 100	100.0	100 - 100	100.0	100 - 100
12	100	100 - 100	98.1	94.5 - 100	93.6	85.5 - 100
24	100	100 - 100	98.1	94.5 - 100	93.6	85.5 - 100
36	100	100 - 100	98.1	94.5 - 100	73.8	57.2 - 95.1
48	100	100 - 100	98.1	94.5 - 100	68.1	50.5 - 91.8
Median (Monate)	NA	NA - NA	NA	NA - NA	NA	50.9 - NA

Anmerkung: aktueller Datenstand: 31.10.2025; aktueller Stichtag: 31.12.2024

### 10.5.3 Überblick für C90 - Plasmoz. u. Plasmaz.-Nbldg.

**Abbildung 10.8 a)** stellt die absoluten Überlebensraten (Kaplan-Meier-Schätzer) für Patienten Ihrer Einrichtung im Vergleich zur Referenz bis 5 Jahre nach Erstdiagnose (60 Monate) grafisch dar. In **Abbildung 10.8 b)** werden die absoluten Überlebensraten Ihrer Einrichtung stratifiziert nach UICC-Klassifikation gezeigt.

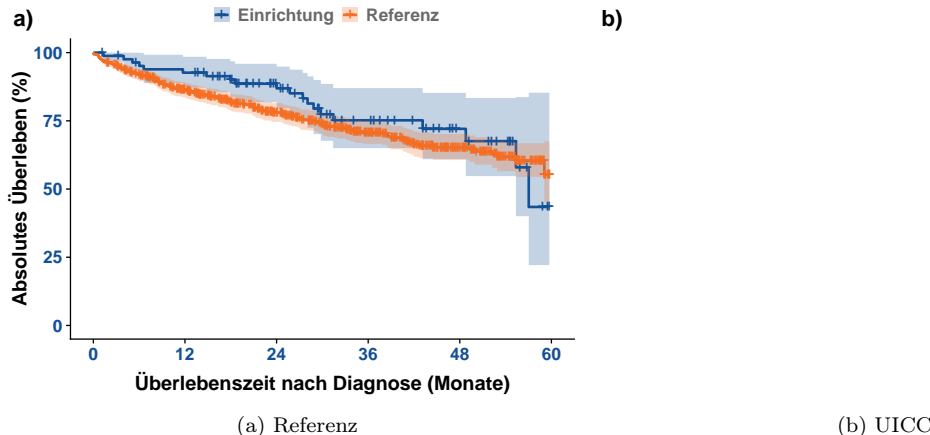


Abbildung 10.8: Darstellung des absoluten Überlebens (Kaplan-Meier-Schätzer) für C90 - Plasmoz. u. Plasmaz.-Nbldg. - a) im Vergleich zur Referenz, b) nach UICC-Klassifikation

In den **Tabellen 10.16** und ?? werden die Kaplan-Meier-Schätzer (mit Konfidenzintervallen) stratifiziert für das 1-Jahres bis 5-Jahres Überleben sowie für den entsprechenden Median aufgelistet.

Tabelle 10.16: Tabellarische Darstellung der Kaplan-Meier-Schätzwerte mit Konfidenzintervallen (KI) für das Gesamtüberleben für C90 - Plasmoz. u. Plasmaz.-Nbldg. der Einrichtung und Referenz

Zeit (Monate)	Einrichtung		Referenz	
	Überlebensrate (%)	95%-KI (%)	Überlebensrate (%)	95%-KI (%)
0	100.0	100 - 100	99.7	99.2 - 100
12	92.6	87.2 - 98.5	86.2	83.4 - 89
24	88.6	81.8 - 95.9	78.0	74.6 - 81.6
36	75.2	65 - 87	70.5	66.5 - 74.8
48	72.1	60.9 - 85.3	65.3	60.8 - 70.2
Median (Monate)	57.0	55.4 - NA	NA	59.1 - NA

Die folgenden Abbildungen **10.9** stellen das Gesamtüberleben für Patienten Ihrer Einrichtung nach Geschlecht und Alter bei Diagnose dar. In den **Tabellen 10.17** und **10.18** werden die Kaplan-Meier-Schätzer (mit Konfidenzintervallen) stratifiziert nach Geschlecht und Alter bei Diagnose für das 1-Jahres bis 5-Jahres Überleben sowie für den entsprechenden Median aufgelistet.

Tabelle 10.17: Tabellarische Darstellung der Kaplan-Meier-Schätzwerte mit Konfidenzintervallen (KI) für das Gesamtüberleben für C90 - Plasmoz. u. Plasmaz.-Nbldg. stratifiziert nach Geschlecht

Zeit (Monate)	männlich		weiblich	
	Überlebensrate (%)	95%-KI (%)	Überlebensrate (%)	95%-KI (%)
0	100.0	100 - 100	100.0	100 - 100
12	91.8	88.4 - 95.3	91.9	87.8 - 96.2
24	85.9	81.6 - 90.5	86.3	81.1 - 92
36	76.5	70.7 - 82.8	82.0	75.9 - 88.6
48	73.1	66.8 - 80	70.1	61.5 - 79.8
Median (Monate)	NA	NA - NA	NA	NA - NA

Anmerkung: aktueller Datenstand: 31.10.2025; aktueller Stichtag: 31.12.2024

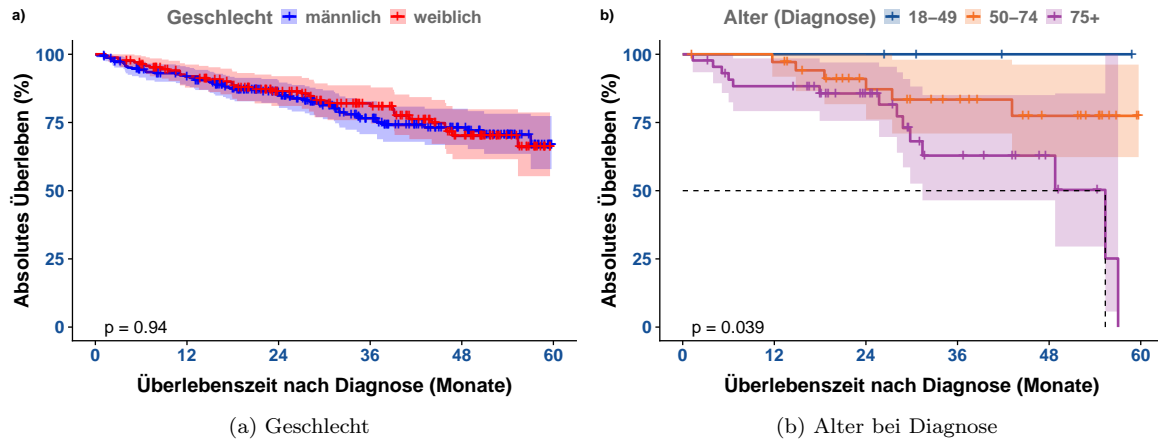


Abbildung 10.9: Darstellung des absoluten Überlebens (Kaplan-Meier-Schätzer) - a) nach Geschlecht, b) nach Alter bei Diagnose in Gruppen

Tabelle 10.18: Tabellarische Darstellung der Kaplan-Meier-Schätzwerte mit Konfidenzintervallen (KI) für das Gesamtüberleben für C90 - Plasmoz. u. Plasmaz.-Nbldg. stratifiziert nach Alter bei Diagnose

Zeit (Monate)	Alter = 18-49		Alter = 50-74		Alter = 75+	
	Überlebensrate (%)	95%-KI (%)	Überlebensrate (%)	95%-KI (%)	Überlebensrate (%)	95%-KI (%)
0	100	100 - 100	100.0	100 - 100	100.0	100 - 100
12	100	100 - 100	97.1	91.8 - 100	88.3	79.2 - 98.5
24	100	100 - 100	91.0	81.7 - 100	85.6	75.6 - 97
36	100	100 - 100	83.4	71 - 98	62.9	46.5 - 85.1
48	100	100 - 100	77.4	62.3 - 96.2	62.9	46.5 - 85.1
Median (Monate)	NA	NA - NA	NA	NA - NA	55.4	31.4 - NA

Anmerkung: aktueller Datenstand: 31.10.2025; aktueller Stichtag: 31.12.2024

#### 10.5.4 Überblick für C83 - nicht follikuläres Lymph.

**Abbildung 10.10 a)** stellt die absoluten Überlebensraten (Kaplan-Meier-Schätzer) für Patienten Ihrer Einrichtung im Vergleich zur Referenz bis 5 Jahre nach Erstdiagnose (60 Monate) grafisch dar. In **Abbildung 10.10 b)** werden die absoluten Überlebensraten Ihrer Einrichtung stratifiziert nach UICC-Klassifikation gezeigt.

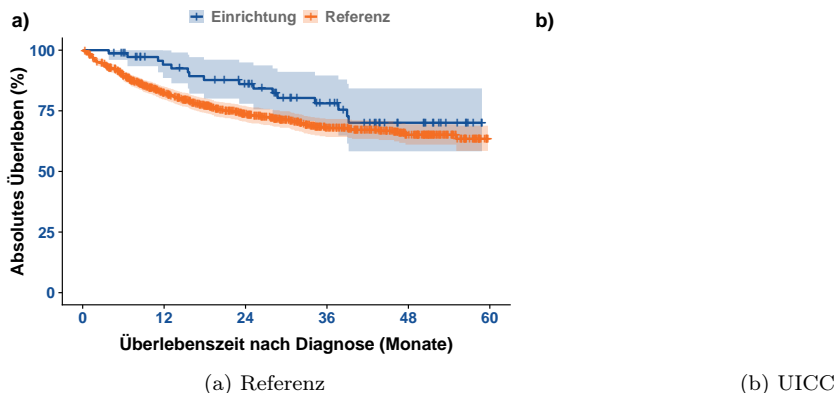


Abbildung 10.10: Darstellung des absoluten Überlebens (Kaplan-Meier-Schätzer) für C83 - nicht follikuläres Lymph. - a) im Vergleich zur Referenz, b) nach UICC-Klassifikation

In den **Tabellen 10.19** und ?? werden die Kaplan-Meier-Schätzer (mit Konfidenzintervallen) stratifiziert für das 1-Jahres bis 5-Jahres Überleben sowie für den entsprechenden Median aufgelistet.

Tabelle 10.19: Tabellarische Darstellung der Kaplan-Meier-Schätzwerte mit Konfidenzintervallen (KI) für das Gesamtüberleben für C83 - nicht follikuläres Lymph. der Einrichtung und Referenz

Zeit (Monate)	Einrichtung		Referenz	
	Überlebensrate (%)	95%-KI (%)	Überlebensrate (%)	95%-KI (%)
0	100.0	100 - 100	100.0	100 - 100
12	94.0	88.5 - 99.9	82.4	79.7 - 85.1
24	86.0	77.9 - 95	73.8	70.6 - 77.1
36	78.1	68 - 89.6	67.8	64.2 - 71.6
48	70.1	58.3 - 84.2	65.1	61.1 - 69.4
Median (Monate)	NA	NA - NA	NA	NA - NA

Die folgenden Abbildungen **10.11** stellen das Gesamtüberleben für Patienten Ihrer Einrichtung nach Geschlecht und Alter bei Diagnose dar. In den **Tabellen 10.20** und **10.21** werden die Kaplan-Meier-Schätzer (mit Konfidenzintervallen) stratifiziert nach Geschlecht und Alter bei Diagnose für das 1-Jahres bis 5-Jahres Überleben sowie für den entsprechenden Median aufgelistet.

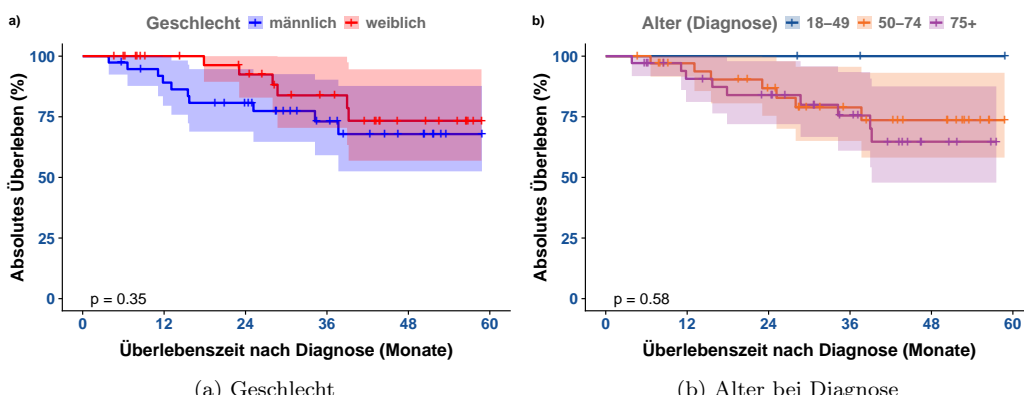


Abbildung 10.11: Darstellung des absoluten Überlebens (Kaplan-Meier-Schätzer) für C83 - nicht follikuläres Lymph. - a) nach Geschlecht, b) nach Alter bei Diagnose in Gruppen

Tabelle 10.20: Tabellarische Darstellung der Kaplan-Meier-Schätzwerte mit Konfidenzintervallen (KI) für das Gesamtüberleben für C83 - nicht folliculäres Lymph. stratifiziert nach Geschlecht

Zeit (Monate)	männlich		weiblich	
	Überlebensrate (%)	95%-KI (%)	Überlebensrate (%)	95%-KI (%)
0	100.0	100 - 100	100.0	100 - 100
12	89.1	79.5 - 99.8	100.0	100 - 100
24	80.7	68.9 - 94.7	92.4	82.9 - 100
36	73.1	59.1 - 90.3	83.8	70.4 - 99.8
48	67.9	52.5 - 87.7	73.4	56.9 - 94.6
Median (Monate)	NA	NA - NA	NA	NA - NA

Anmerkung: aktueller Datenstand: 31.10.2025; aktueller Stichtag: 31.12.2024

Tabelle 10.21: Tabellarische Darstellung der Kaplan-Meier-Schätzwerte mit Konfidenzintervallen (KI) für das Gesamtüberleben für C83 - nicht folliculäres Lymph. stratifiziert nach Alter bei Diagnose

Zeit (Monate)	Alter = 18-49		Alter = 50-74		Alter = 75+	
	Überlebensrate (%)	95%-KI (%)	Überlebensrate (%)	95%-KI (%)	Überlebensrate (%)	95%-KI (%)
0	100	100 - 100	100.0	100 - 100	100.0	100 - 100
12	100	100 - 100	97.1	91.5 - 100	90.7	81.1 - 100
24	100	100 - 100	86.8	75.4 - 99.8	84.0	72 - 97.9
36	100	100 - 100	78.9	65 - 95.6	75.5	61 - 93.5
48	100	100 - 100	73.6	58.2 - 93.1	64.7	47.9 - 87.5
Median (Monate)	NA	NA - NA	NA	NA - NA	NA	39.2 - NA

Anmerkung: aktueller Datenstand: 31.10.2025; aktueller Stichtag: 31.12.2024

## 11 | C60-C63 - männliche Genitalorgane

Das Kapitel **C60-C63 - männliche Genitalorgane** dieses Rückmeldeberichtes stellt Ihnen verschiedene Auswertungen und Darstellungen zu Tumorfällen von Patienten mit Diagnosen der Gruppe C60-C63 - männliche Genitalorgane zu Verfügung. Neben den Fall- und Behandlungszahlen sowie den Vollständigkeitsangaben werden die Tumoreigenschaften und Patientenstruktur als auch Überlebensanalysen präsentiert.

### 11.1. Allgemeine Informationen

**Tabelle 11.1** fasst die Anzahl der neu diagnostizierten Fälle und therapeutischen Behandlungen (einzelner oder mehrerer Therapieanwendungen) nach Art der Therapie (Operation, Strahlentherapie/Nuklearmedizin, systemische Therapie oder abwartende Therapie) und Verlauf für Tumoren der Gruppe C60-C63 - männliche Genitalorgane Ihrer Einrichtung über den 5-Jahres Berichtszeitraum (2020 bis 2024), als auch für das aktuelle Berichtsjahr (2024) zusammen.

Tabelle 11.1: Anzahl der gemeldeten Diagnosen, therapeutischen Behandlungen und Verläufe für C60-C63 - männliche Genitalorgane

TYP	Anzahl der Behandlungen		Anzahl der Fälle	
	Einrichtung	REF	Einrichtung	REF
5-Jahres Berichtszeitraum (2020 - 2024)				
Diagnose			343	68.19%
therapeutische Behandlungen	237	40.72%	164	40.69%
Operation	0	0.00%	0	0.00%
Strahlentherapie	0	0.00%	0	0.00%
Systemtherapie	204	37.64%	133	36.14%
abwartende Therapie	28	100.00%	28	100.00%
Verlauf	243	52.71%	186	49.08%
Gesamt			508	44.96%
Aktuelles Berichtsjahr (2024)				
Diagnose			35	63.64%
therapeutische Behandlungen	15	20.27%	11	18.03%
Operation	0	0.00%	0	0.00%
Strahlentherapie	0	0.00%	0	0.00%
Systemtherapie	15	21.13%	11	18.33%
abwartende Therapie	0	0.00%	0	0.00%
Verlauf	10	22.22%	10	25.64%
Gesamt			54	39.13%

Anmerkung: Gesamt = Fall mit Diagnose oder Therapie in der Einrichtung; aktueller Datenstand: 31.10.2025

## 11.2. Vollständigkeit

Im Abschnitt **Vollständigkeit** werden analog zu Teil II “Qualität und Vollständigkeit” die Vollständigkeit sowie die Qualität der an das KKRBB gesandten Meldungen zu tumorrelevanten Behandlungen bezüglich der in Ihrer Einrichtung diagnostizierten und / oder therapierten Krebserkrankungen der Tumorentitätengruppe **C60-C63 - männliche Genitalorgane** für den 5-Jahres Berichtszeitraum (2020 bis 2024) beschrieben. Weitere Informationen bezüglich Definition dieser Merkmale finden Sie in Teil II “Qualität und Vollständigkeit” des Rückmeldeberichts.

### 11.2.1 Vollständigkeit von Diagnose- und Histologiemerkmalen

**Tabelle 11.2** gibt Ihnen einen Überblick über die Qualität und Vollständigkeit der beschriebenen Diagnose- und Histologiemerkmale für durchgeführte Diagnosen Ihrer Einrichtung; sowohl für den Gesamtzeitraum als auch für die einzelnen Berichtsjahre (basierend auf dem Diagnosejahr). Zudem zeigt Ihnen **Tabelle 11.2** zur Einordnung Ihrer Zahlen die prozentualen Ergebnisse der Vollständigkeit der Referenz (REF).

Tabelle 11.2: Qualität und Vollständigkeit von Diagnose- und Histologiemerkmalen im Zeitverlauf (REF - Referenz)

Merkmalsname	2020	2021	2022	2023	2024	Gesamt	REF
<b>Thematik: DIAGNOSE und HISTOLOGIE</b>							
<b>Gesamt</b>	<b>105</b>	<b>73</b>	<b>86</b>	<b>44</b>	<b>35</b>	<b>343</b>	
Diagnose-Datum	n 105	n 73	n 86	n 44	n 35	343	
	% 100.0%	% 100.0%	% 100.0%	% 100.0%	% 100.0%	100.0%	<b>100.0%</b>
tagesgen. Diagnose-Datum	n 103	n 71	n 82	n 44	n 33	333	
	% 98.1%	% 97.3%	% 95.3%	% 100.0%	% 94.3%	97.1%	<b>61.9%</b>
Diagnosesicherung (DS)	n 105	n 71	n 86	n 44	n 35	341	
	% 100.0%	% 97.3%	% 100.0%	% 100.0%	% 100.0%	99.4%	<b>100.0%</b>
DS (histol. od. zytol.)	n 99	n 70	n 84	n 43	n 35	331	
	% 94.3%	% 95.9%	% 97.7%	% 97.7%	% 100.0%	96.5%	<b>65.0%</b>
Lokalisation	n 105	n 73	n 86	n 44	n 35	343	
	% 100.0%	% 100.0%	% 100.0%	% 100.0%	% 100.0%	100.0%	<b>100.0%</b>
Seitenlokalisation	n 105	n 73	n 86	n 44	n 35	343	
	% 100.0%	% 100.0%	% 100.0%	% 100.0%	% 100.0%	100.0%	<b>100.0%</b>
Histologie*	n 99	n 70	n 83	n 43	n 35	330	
	% 100.0%	% 100.0%	% 100.0%	% 100.0%	% 100.0%	100.0%	<b>100.0%</b>
Histologie-Schlüssel*	n 98	n 70	n 83	n 43	n 35	329	
	% 99.0%	% 100.0%	% 100.0%	% 100.0%	% 100.0%	99.7%	<b>93.8%</b>
Histologie-Datum*	n 99	n 70	n 83	n 43	n 35	330	
	% 100.0%	% 100.0%	% 100.0%	% 100.0%	% 100.0%	100.0%	<b>100.0%</b>
UICC-Klassifikation*	n 81	n 53	n 59	n 34	n 17	244	
	% 79.4%	% 75.7%	% 71.1%	% 77.3%	% 50.0%	73.3%	<b>76.6%</b>
<b>klin. u. / od. pathol. TNM</b>							
TNM (T-Kategorie)*	n 79	n 52	n 58	n 32	n 17	238	
	% 77.5%	% 74.3%	% 69.9%	% 72.7%	% 50.0%	71.5%	<b>47.9%</b>
TNM (N-Kategorie)*	n 55	n 45	n 46	n 18	n 5	169	
	% 53.9%	% 64.3%	% 55.4%	% 40.9%	% 14.7%	50.8%	<b>48.9%</b>
TNM (M-Kategorie)*	n 64	n 46	n 50	n 25	n 5	190	
	% 80.0%	% 79.3%	% 78.1%	% 78.1%	% 62.5%	78.5%	<b>81.1%</b>
UICC-Klassifikation*	n 66	n 50	n 51	n 26	n 6	199	
	% 82.5%	% 86.2%	% 79.7%	% 81.2%	% 75.0%	82.2%	<b>78.4%</b>
<b>klin. TNM</b>							
TNM (T-Kategorie)*	n 65	n 50	n 51	n 26	n 6	198	
	% 81.2%	% 86.2%	% 79.7%	% 81.2%	% 75.0%	81.8%	<b>75.7%</b>
TNM (N-Kategorie)*	n 64	n 48	n 43	n 19	n 2	176	
	% 80.0%	% 82.8%	% 67.2%	% 59.4%	% 25.0%	72.7%	<b>71.6%</b>
TNM (M-Kategorie)*	n 65	n 48	n 45	n 22	n 3	183	
	% 81.2%	% 82.8%	% 70.3%	% 68.8%	% 37.5%	75.6%	<b>77.0%</b>
ECOG	n 50	n 20	n 34	n 10	n 1	115	
	% 61.7%	% 32.8%	% 50.7%	% 31.2%	% 12.5%	46.2%	<b>54.6%</b>

**Anmerkung:** n - Anzahl; aktueller Datenstand vom 31.10.2025

\* n des Merkmals weicht von Gesamt n ab

## 11.2.2 Vollständigkeit von Therapiemerkmalen

### 11.2.2.1 Systemtherapie

Die folgende Tabelle gibt Ihnen einen Überblick über die Qualität und Vollständigkeit der beschriebenen Therapiemerkmale für durchgeführte Systemtherapien Ihrer Einrichtung; sowohl für den Gesamtzeitraum als auch für die einzelnen Berichtsjahre (basierend auf dem Jahr der Leistungserbringung). Zudem zeigt Ihnen diese Tabelle zur Einordnung der Zahlen Ihrer Einrichtung die prozentualen Ergebnisse der Vollständigkeit der Referenz (REF).

Tabelle 11.3: Systemtherapie - Qualität und Vollständigkeit von Therapiemerkmalen im Zeitverlauf

Merkmalname	2020	2021	2022	2023	2024	Gesamt	REF
<b>Behandlung: SYSTEMTHERAPIE</b>							
<b>Gesamt</b>	<b>56</b>	<b>44</b>	<b>43</b>	<b>46</b>	<b>15</b>	<b>204</b>	
Anfang und Ende d. Th.*	n 15 %88.2%	n 6 100.0%	n 9 100.0%	n 7 77.8%	n 3 75.0%	n 40 88.9%	<b>67.0%</b>
Anfang der Th.	n 56 100.0%	n 44 100.0%	n 43 100.0%	n 46 100.0%	n 15 100.0%	n 204 100.0%	<b>100.0%</b>
Ende der Th.*	n 15 88.2%	n 6 100.0%	n 9 100.0%	n 7 77.8%	n 3 75.0%	n 40 88.9%	<b>67.0%</b>
Typ d. syst. Th.	n 56 100.0%	n 44 100.0%	n 43 100.0%	n 46 100.0%	n 15 100.0%	n 204 100.0%	<b>100.0%</b>
Th.protokoll / Subs.	n 56 100.0%	n 44 100.0%	n 43 100.0%	n 45 97.8%	n 15 100.0%	n 203 99.5%	<b>98.8%</b>
Therapieintention	n 55 98.2%	n 44 100.0%	n 43 100.0%	n 46 100.0%	n 14 93.3%	n 202 99.0%	<b>100.0%</b>
Stellung zur OP	n 56 100.0%	n 44 100.0%	n 43 100.0%	n 45 97.8%	n 15 100.0%	n 203 99.5%	<b>98.8%</b>
Nebenwirkungen*	n 14 25.0%	n 12 27.3%	n 15 34.9%	n 10 21.7%	n 2 13.3%	n 53 26.0%	<b>21.6%</b>
Therapieabschluss	n 24 42.9%	n 17 38.6%	n 13 30.2%	n 14 30.4%	n 3 20.0%	n 71 34.8%	<b>54.1%</b>

**Anmerkung:** aktueller Datenstand vom 31.10.2025

\* n des Merkmals weicht von Gesamt n ab

## 11.3. Tumoreigenschaften

Im Abschnitt *Tumoreigenschaften* wird Ihnen für die Patienten mit Tumordiagnosen der Tumorentitätengruppe **C60-C63 - männliche Genitalorgane** Ihrer Einrichtung u. a. die Histologien, Klassifizierungen und Metastasen dargestellt. Bei den Analysen wird der 5-Jahres Berichtszeitraum von **2020 bis 2024** betrachtet.

### 11.3.1 Tumordiagnose (nach ICD-10)

Die Tumordiagnosen werden in diesem Unterabschnitt basierend auf der 5-stelligen ICD-10 beschrieben. **Tabelle 11.4** umfasst die absolute und relative Häufigkeiten der Tumorentitäten beruhend auf dem Jahr der Erstdiagnose für die einzelnen Berichtsjahre und dem Zeitraum (2020 bis 2024). Die prozentualen Angaben in diesen Spalten beziehen sich auf die Gesamtanzahl an Tumorfällen Ihrer Einrichtung. Zudem zeigt Ihnen **Tabelle 11.4** in Spalte *REF* den prozentualen Anteil Ihrer Einrichtung an den entsprechenden Gesamtzahlen der in der Referenz diagnostizierten Tumorfälle.

Tabelle 11.4: ICD-10 - Absolute und relative Häufigkeiten der Tumorentitäten im Zeitverlauf (basierend auf Diagnosejahr)

ICD-10 (Diagnose)	2020	2021	2022	2023	2024	Gesamt	REF
C61 - Prostata	C61 120 (100.0%)	94 (97.9%)	95 (97.9%)	56 (100.0%)	38 (100.0%)	403 (99.0%)	<b>1.4%</b>
	gesamt 120 (100.0%)	94 (97.9%)	95 (97.9%)	56 (100.0%)	38 (100.0%)	403 (99.0%)	<b>1.4%</b>
	C62.1 -	2 (2.1%)	1 (1.0%)	-	-	3 (0.7%)	<b>0.4%</b>
	C62.9 -	-	1 (1.0%)	-	-	1 (0.2%)	<b>0.1%</b>

Tabelle 11.4: ICD-10 - Absolute und relative Häufigkeiten der Tumorentitäten im Zeitverlauf (basierend auf Diagnosejahr) (continued)

ICD-10 (Diagnose)	2020	2021	2022	2023	2024	Gesamt	REF
C62 - Hoden							
gesamt	-	2 (2.1%)	2 (2.1%)	-	-	4 (1.0%)	0.2%
<b>GESAMT</b>	<b>GESAMT</b>	<b>120</b>	<b>96</b>	<b>97</b>	<b>56</b>	<b>38</b>	<b>407</b> <b>1.3%</b>

Anmerkung: aktueller Datenstand: 31.10.2025

### 11.3.2 Histologie

Die nachfolgenden Analysen umfassen sowohl eine Kategorisierung der Tumoren nach deren dokumentierter Histologie (Hauptklassen nach *ENCR 2017* und *NCT 2018*) sowie das Vorkommen dieser **Histologie-Hauptklassen** (bspw. Karzinome) innerhalb der fünf am häufigsten vorkommenden Entitäten innerhalb der Tumorentitätengruppe **C60-C63 - männliche Genitalorgane** Ihrer Einrichtung. Zudem werden die **Histologie-Hauptklassen** nach den vorhandenen Histologie-Gruppen (nach *ENCR 2017* und *NCT 2018*) und die Verteilung der Histologie-Schlüssel (nach *ICD-O*) für die vorkommenden Tumorentitäten (nach *ICD-10*) tabellarisch dargestellt.

Der folgenden Tabellen beschreiben Ihnen die Tumorfälle (aufgeschlüsselt nach ICD-10), die in Ihrer Einrichtung im 5-Jahres Berichtszeitraum (2020 bis 2024) diagnostiziert oder im Rahmen der Primärtherapie behandelt worden sind, nach deren **Histologie** (Histologie-Schlüssel nach *ICD-O*).

Als Referenz zur Kategorisierung der Histologie-Schlüssel wurden verwendet:

- ENCR 2017 - Ardanaz et. al.: Working Group ENCR guidelines for reporting of multiple primary malignant (invasive) neoplasms - ENCR Multiple primary rules version 4
- NCT 2018 - Adzersen u. Schäfer: Handbuch der allgemeinen Tumordokumentation, 7. Auflage

Tabelle 11.5: Histologie-Übersicht für C61 - Prostata - absolute Häufigkeiten der Tumorhistologien stratifiziert (nach ENCR 2017, NCT 2018) für einzelne Berichtsjahre

Gruppe	Histologie-Schlüssel	2020	2021	2022	2023	2024	Gesamt
<b>Karzinome</b>							
Plattenepi.- u. Überg.zell-Ca.	8070/3: Plattenepithelkarzinom o.n.A.	1	0	0	0	0	1
Plattenepi.- u. Überg.zell-Ca.	8120/3: Übergangszellkarzinom o.n.A.	0	1	0	0	0	1
Plattenepi.- u. Überg.zell-Ca.	Total	1	1	0	0	0	2
Adenokarzinome	8140/3: Adenokarzinom o.n.A.	115	84	92	53	37	381
Adenokarzinome	8140/6: Adenokarzinom-Metastase o.n.A.	0	2	0	2	0	4
Adenokarzinome	8550/3: Azinuszellkarzinom	1	3	0	0	0	4
Adenokarzinome	8574/3: Adenokarzinom m. neuroendokr.	1	0	0	0	0	1
Adenokarzinome	Diff.						
Adenokarzinome	Total	117	89	92	55	37	390
n.n.b. Karzinome	8010/3: Karzinom o.n.A.	2	1	0	0	0	3
n.n.b. Karzinome	Total	2	1	0	0	0	3
Total		120	91	92	55	37	395
<b>neuroendokrine T.</b>							
neuroendokrine T.	8041/3: Kleinzell. Karzinom o.n.A.	0	0	0	0	1	1
neuroendokrine T.	Total	0	0	0	0	1	1
Total		0	0	0	0	1	1

### 11.3.3 Histopathologisches Grading und UICC-Klassifikation

Die Analyse des histopathologischen Gradings beruht auf den ermittelten **häufigsten Tumorentitäten** (nach ICD-10) (siehe *Abschnitt 6.1*). Von diesen Tumoren wurden ausschließlich die gradingpflichtigen ausgewählt (Entscheidungskriteria basierend auf ICD-10, ICD-O und Histologie), deren Diagnose histologisch oder zytologisch gesichert wurde, und bezüglich der Verteilung der Differenzierungsgrade analysiert.

Folgende Differenzierungsgrade wurden ausgewertet:

- **G1** -> gut differenziert
- **G2** -> mäßig differenziert
- **G3** -> schlecht differenziert
- **G4** -> undifferenziert
- **GX** -> unbekannt

**Abbildung 11.1** gibt Ihnen für die häufigsten Tumorfälle Ihrer Einrichtung einen Überblick über die absolute und relative Häufigkeiten der Differenzierungsgrade des histopathologischen Gradings für die betrachteten Tumorfälle von gradingpflichtigen Tumorentitäten. Im Gegensatz zu **Abbildung 11.1 a)** ist in **Abbildung 11.1 b)** das Grading (absolute und relative Häufigkeiten) **ohne** die Fälle mit fehlender Angabe zu den Differenzierungsgraden dargestellt.

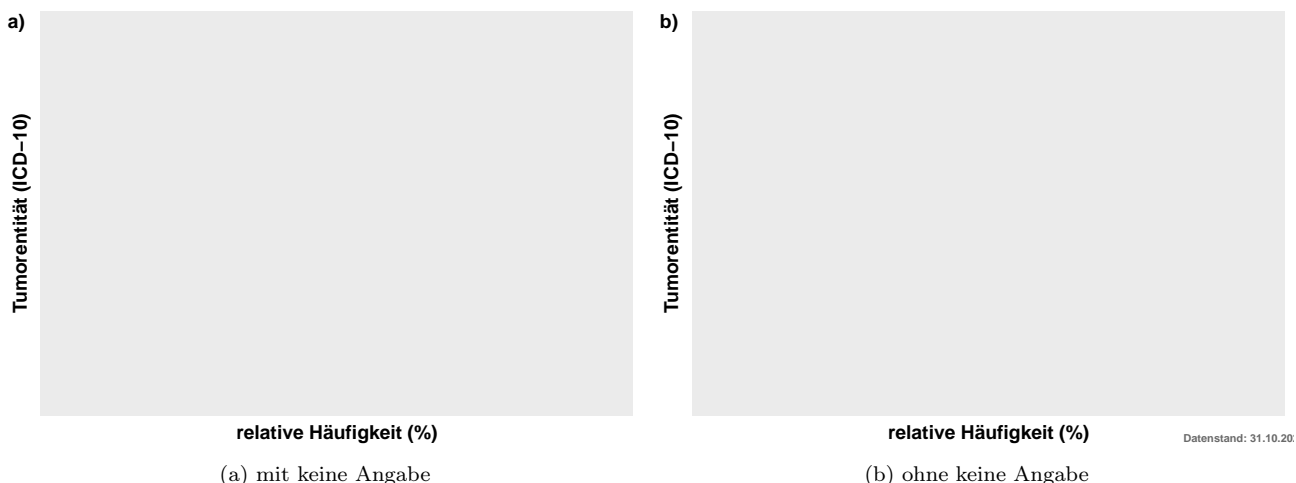


Abbildung 11.1: Histopathologisches Grading für den 5-Jahres Berichtszeitraum (2020 - 2024) - absolute und relative Häufigkeiten der Differenzierungsgrade

### 11.3.4 UICC-Klassifikation

Die Beschreibung der Stadienverteilung nach UICC beruht auf den ermittelten invasiven Tumorentitäten (nach ICD-10). Von diesen Tumoren wurden ausschließlich die TNM-pflichtigen ausgewählt (Entscheidungskriteria basierend auf ICD-10, ICD-O und Histologie) und bezüglich der Verteilung der Stadien analysiert. In der Auswertung wurden vorrangig pathologische UICC-Stadien verwendet. Lag aufgrund neoadjuvanter oder nicht operativer Behandlungen die pathologische Variante nicht vor, wurde in der Berechnung auf die klinischen UICC-Stadien zurückgegriffen.

Die folgende Abbildung gibt Ihnen einen Überblick über die absoluten und relativen Häufigkeiten der einzelnen Stadien nach UICC für die betrachteten Fälle von TNM-pflichtigen Tumorentitäten (Tumorentitätengruppen nach ICD-10).

### 11.3.5 Staging

Die Beschreibung der TNM-Verteilung beruht auf den ermittelten häufigsten invasiven Tumorentitäten und wird in der folgenden Abbildung dargestellt. Von diesen Tumoren wurden ausschließlich die TNM-pflichtigen ausgewählt und analysiert (Entscheidungskriteria basierend auf ICD-10, ICD-O und Histologie). In der Auswertung

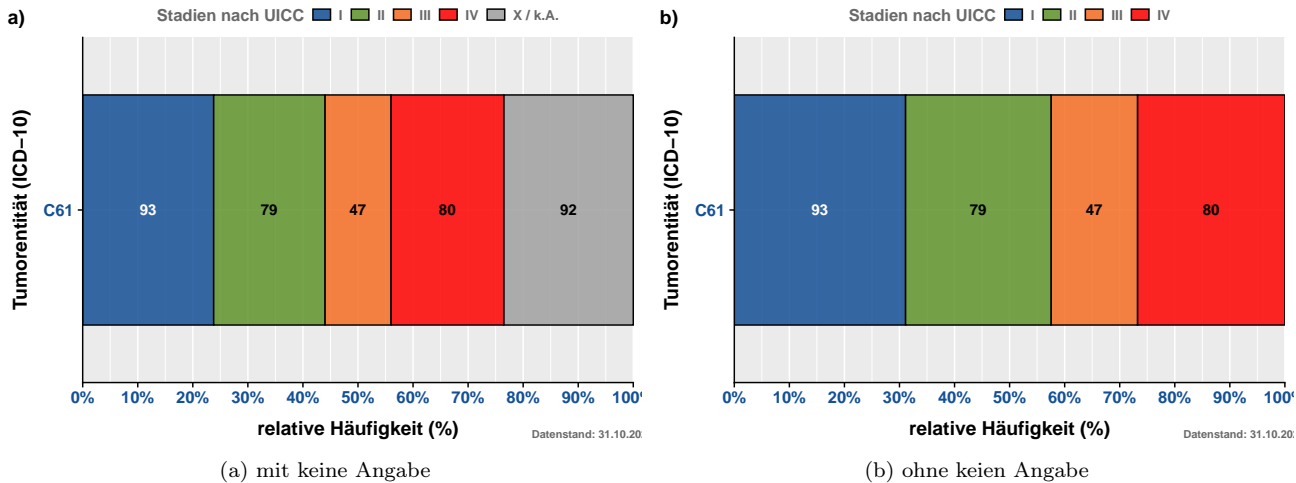


Abbildung 11.2: Stadienverteilung nach UICC für invasive Tumorentitäten (TNM-pflichtig) für den 5-Jahres Berichtszeitraum (2020 - 2024) - absolute und relative Häufigkeiten der Differenzierungsgrade

wurden vorrangig pathologische TNM-Kategorien verwendet. Lag aufgrund neoadjuvanter oder nicht operativer Behandlungen die pathologische Variante nicht vor, wurde in der Berechnung auf die klinischen TNM-Kategorien zurückgegriffen.

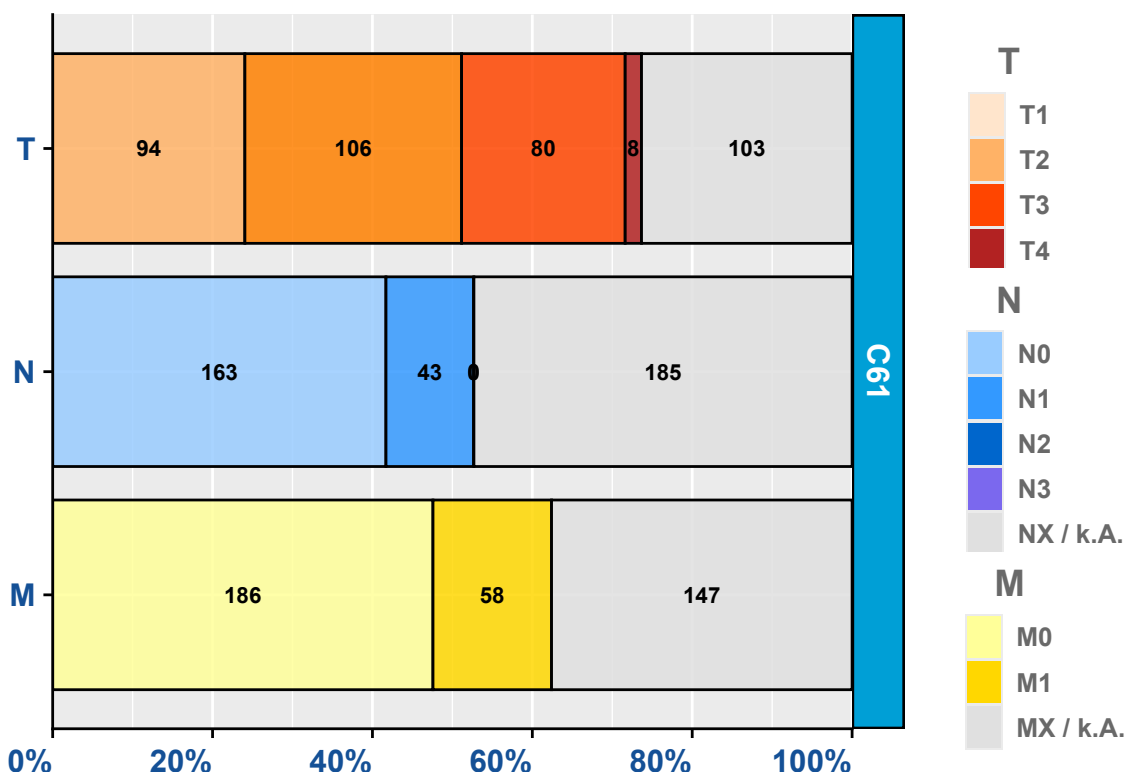


Abbildung 11.3: TNM - Verteilung der TNM-Kategorien der 10 häufigsten invasiven Tumorentitätengruppen (TNM-pflichtig)

### 11.3.6 Primäre Metastasierung

In diesem Abschnitt wird die primäre Metastasierung Ihrer Tumorfälle analysiert. Primäre Metastasierung umfasst Metastasen, die innerhalb von 92 Tagen nach Diagnosestellung aufgetreten sind. **Tabelle 11.6** listet die primär metastasierten Tumorfälle für die häufigsten Tumorentitäten (ICD-10) auf.

Tabelle 11.6: Absolute und relative Häufigkeiten der Tumorfälle mit primärer Metastasierung nach ICD-10 und Zeitraum

ICD-10 (Diagnose)	Berichtsjahr					GESAMT
	2020	2021	2022	2023	2024	
C61 - Prostata	22 (100.0%)	18 (100.0%)	11 (100.0%)	13 (100.0%)	3 (100.0%)	67 (100.0%)
C62 - Hoden	-	-	-	-	-	-
GESAMT	22	18	11	13	3	67

Anmerkung: aktueller Datenstand: 31.10.2025

**Tabelle 11.7** zeigt die absolute Häufigkeit der Lokalisationen der primären Fernmetastasen.

Tabelle 11.7: Absolute Häufigkeit der Lokalisation primärer Metastasen (stratifiziert nach ICD-10)

	Lokalisation	C61	n
GEN	Generalisierte Metastasierung	0	0
SKI	Hautmetastasen	0	0
BRA	Hirnmetastasen	0	0
MAR	Knochenmarkmetastasen	2	2
OSS	Knochenmetastasen	60	60
HEP	Lebermetastasen	2	2
PUL	Lungenmetastasen	7	7
LYM	Lymphknotenmetastasen	18	18
OTH	Metastasen in anderen Organen	1	1
SPL	Milzmetastasen	0	0
ADR	Nebennierenmetastasen	0	0
PER	Peritoneummetastasen	1	1
PLE	Pleurametastasen	0	0
	gesamt	91	91

Anmerkung: aktueller Datenstand: 31.10.2025

## 11.4. Patientenstruktur

Im Abschnitt Patientenstruktur wird Ihnen für die Patienten mit Tumordiagnosen C60-C63 - männliche Genitalorgane das Geschlechterverhältnis, die Altersstruktur sowie die Herkunft der Fälle zum Zeitpunkt der Diagnose dargestellt. Dabei wird der 5-Jahres Berichtszeitraum von **2020 bis 2024** betrachtet.

**Abbildung 11.4** zeigt Ihnen die absolute Häufigkeit der betrachteten Tumorfälle aufgesplittet nach Geschlecht (männlich / weiblich) und Tumorentität (ICD-10). Abgebildet sind die in Ihrer Einrichtung aufgetretenen invasiven Tumorentitäten der Berichtsjahre 2020 bis 2024 (basierend auf dem Diagnosejahr).

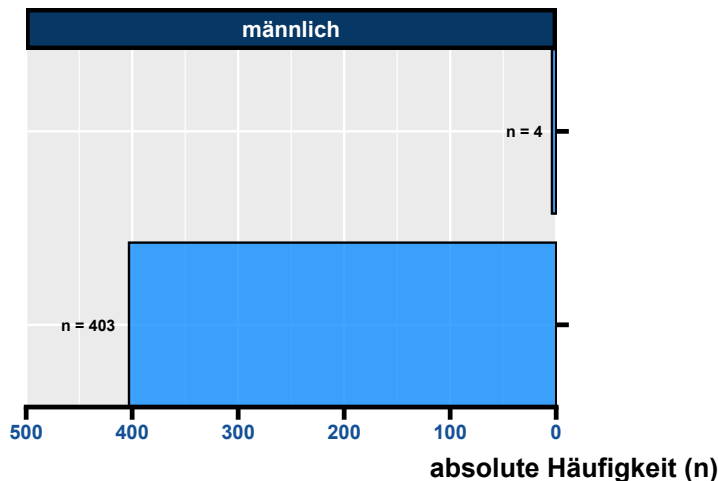


Abbildung 11.4: Geschlechterverhältnis (männlich / weiblich) der Tumorfälle für die Tumorentitäten (nach ICD-10) 5-Jahres Berichtszeitraum (2020 - 2024)

**Abbildung 11.5** veranschaulicht Ihnen die Altersverteilung der Tumorentitäten (nach ICD-10) für Männer und Frauen.

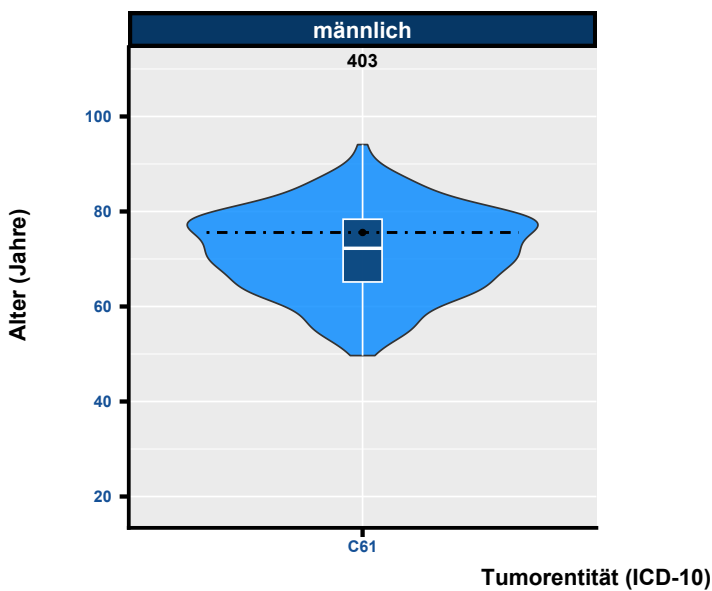


Abbildung 11.5: Altersverteilung der vorkommenden Tumorentitäten (nach ICD-10) je Geschlecht

### 11.4.1 Herkunft

Das Patientenkollektiv Ihrer Einrichtung stammt, basierend auf dem Wohnort zum Zeitpunkt der Diagnose, aus **4 Bundesländern**. Dabei kommen **348** Fälle aus dem Bundesland Berlin und **\* 57\*** Fälle aus dem Bundesland Brandenburg. Aus dem Bundesland Baden-Württemberg kommen mit 1 Fällen die meisten Patienten, die nicht in der Region Brandenburg-Berlin zum Zeitpunkt der Diagnose wohnhaft waren. Die folgenden kartographischen Darstellungen stellen Ihnen den Wohnort zum Zeitpunkt der Diagnose Ihrer Patienten detaillierter dar (wenn mindestens 25 Tumorfälle vorliegen). Für Patienten aus dem Bundesland Brandenburg werden die Zahlen (prozentual) auf Gemeindeebene, für Berliner Patienten basierend auf den Prognoseräumen (Konzept der Lebensweltlich orientierten Räumen (LOR)) erhoben. Bitte beachten Sie, dass nur Prognoseräume und Gemeinden in der Darstellung berücksichtigt werden, wenn diese mindestens 5 Tumorfälle vorweisen (**Abbildung 11.6**).

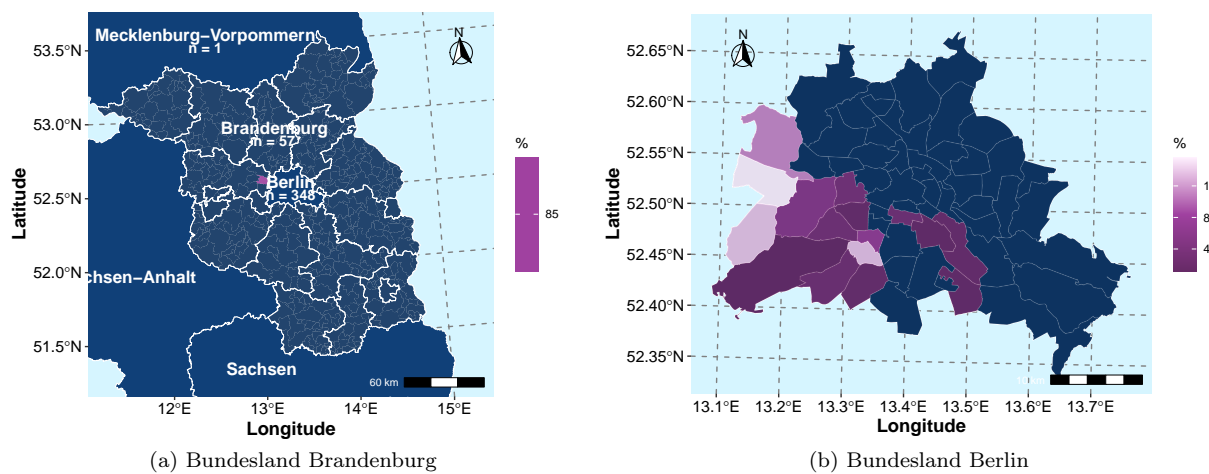


Abbildung 11.6: Prozentuale Darstellung des Wohnorts der Patienten zum Zeitpunkt der Diagnose für Brandenburg (Gemeindeebene) und Berlin (LOR) (mit mindestens 5 Fällen) - 5-Jahres Berichtszeitraum (2020 - 2024)

**Tabelle 11.8** stellt Ihnen die absoluten Häufigkeiten der betrachteten Tumorfälle nach Wohnort zum Zeitpunkt der Krebsdiagnose getrennt nach Diagnosejahr (einzelne Berichtsjahre 2020 - 2024) dar. Dabei steht "BB" für Brandenburg, "BE" für Berlin und "Andere BL" für alle anderen Bundesländer.

Tabelle 11.8: Absolute Häufigkeit der Tumorfälle je Wohnort (Bundeslandebene) und pro Berichtsjahr (Diagnosejahr)

Berichtsjahr	BB	BE	Andere BL
2020	17	101	2
2021	17	79	0
2022	12	85	0
2023	8	48	0
2024	3	35	0

Anmerkung: aktueller Datenstand: 31.10.2025

## 11.5. Überlebensanalysen (nach Kaplan-Meier)

Dieser Abschnitt beschreibt das absolute Überleben (Anteil der Patienten, die zu einem bestimmten Zeitpunkt nach ihrer Diagnose noch leben; basierend auf Kaplan-Meier-Schätzwerten) für Patienten Ihrer Einrichtung (diagnostiziert bzw. primärtherapiert) mit Tumordiagnosen der Gruppe **C60-C63 - männliche Genitalorgane**, stellt Vergleiche mit Ihrer entsprechenden Referenz (siehe: Beschreibung in der Einleitung) an und analysiert das Gesamtüberleben stratifiziert u. a. nach UICC-Klassifikation, Geschlecht und Alter ("18-49 Jahre", "50-74 Jahre", "75+ Jahre"). Dabei ist zu berücksichtigen, dass das Patientenkollektiv Ihrer Einrichtung sich hinsichtlich Alter, Geschlecht, ECOG, Krankheitsstadien und weiteren Tumoreigenschaften von dem anderer Einrichtungen unterscheiden kann, was die direkte Vergleichbarkeit einschränkt. Stichtag für die Überlebensberechnungen ist der 31.12.2024, das bedeutet, dass die Betrachtung der Überlebenszeit bis zu diesem Datum erfolgt, da bis zu diesem Datum von einer vollständigen Erfassung des Lebendstatus der Patientinnen und Patienten auszugehen ist.

Bei der Interpretation der Überlebensstatistiken achten Sie bitte auf folgende Punkte:

- es werden nur für invasive Tumorentitäten (C00-C97) Überlebensanalysen gerechnet
- die Kaplan-Meier-Schätzwerte beruhen auf den Daten von 01.01.2020 bis zum aktuellen Stichtag 31.12.2024
- Konfidenzintervalle, die eine große Spannweite aufweisen, deuten auf ein größere Ungenauigkeit des Kaplan-Meier-Schätzers hin
- eine geringe Fallanzahl (Gesamt oder pro untersuchte Gruppe) führt zu größeren Konfidenzintervallen

Auf Anfrage (per E-Mail an [Datenauswertung@kkrbb.de](mailto:Datenauswertung@kkrbb.de)) stellen wir Ihnen gerne weitere Überlebensdarstellungen und Statistiken Tumorentitäten zur Verfügung.

### 11.5.1 Überblick für C60-C63 - männliche Genitalorgane

**Tabelle 11.9** gibt Ihnen einen Überblick über das Patientenkollektiv, für die die Überlebensanalysen gerechnet wurden. Des Weiteren finden Sie für die fünf häufigsten ICD-10 dieser Gruppe ( $n \geq 50$ ) eine separate Auflistung der Merkmale der betrachteten Population.

Tabelle 11.9: Beschreibung des Patientenkollektivs: Charakteristika der eingeschlossenen Patienten für die Überlebensanalysen ('overall' - alle; einzelne ICD-10 ( $n \geq 50$ ))

Variable	**Overall**, N = 307	**C61**, N = 304
Geschlecht, n (%)		
M	307 (100%)	304 (100%)
Alter bei Diagnose, Median (IQR)	71 (64, 77)	71 (64, 77)
Altersgruppe, n (%)		
18-49	2 (0.7%)	1 (0.3%)
50-74	201 (65%)	199 (65%)
75+	104 (34%)	104 (34%)
Diagnosejahr, n (%)		
2020	96 (31%)	96 (32%)
2021	75 (24%)	74 (24%)
2022	71 (23%)	69 (23%)
2023	45 (15%)	45 (15%)
2024	20 (6.5%)	20 (6.6%)
UICC-Klassifikation, n (%)		
I	96 (31%)	93 (31%)
II	79 (26%)	79 (26%)
III	47 (15%)	47 (15%)
IV	85 (28%)	85 (28%)
ECOG, n (%)		
0	116 (38%)	113 (37%)
1	23 (7.5%)	23 (7.6%)
2	6 (2.0%)	6 (2.0%)
3	4 (1.3%)	4 (1.3%)
4	1 (0.3%)	1 (0.3%)
X	157 (51%)	157 (52%)

Anmerkung: aktueller Datenstand: 31.10.2025; aktueller Stichtag: 31.12.2024

## 11.5.2 Überblick für C61 - Prostata

**Abbildung 11.7 a)** stellt die absoluten Überlebensraten (Kaplan-Meier-Schätzer) für Patienten mit Tumordiagnosen der Tumorentität C61 - Prostata Ihrer Einrichtung im Vergleich zur Referenz bis 5 Jahre nach Erstdiagnose (60 Monate) grafisch dar. In **Abbildung 11.7 b)** werden die absoluten Überlebensraten Ihrer Einrichtung stratifiziert nach UICC-Klassifikation gezeigt.

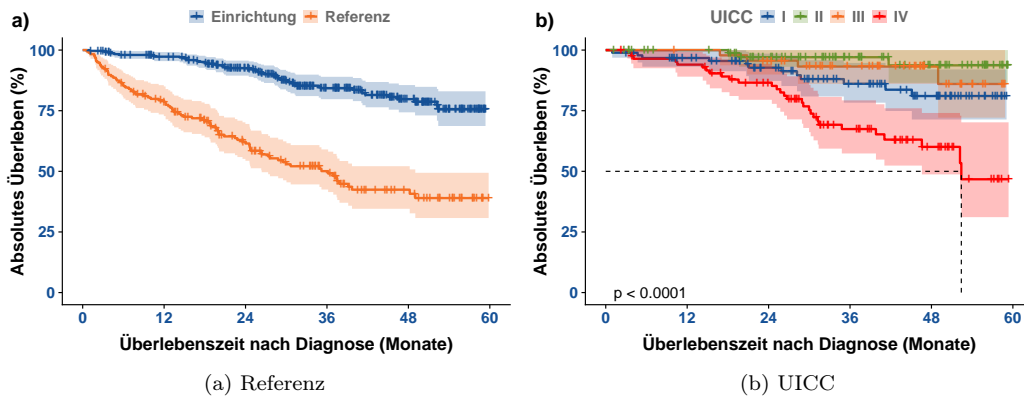


Abbildung 11.7: Darstellung des absoluten Überlebens (Kaplan-Meier-Schätzer) für C61 - Prostata - a) im Vergleich zur Referenz, b) nach UICC-Klassifikation

In den **Tabellen 11.10** und **11.11** werden die Kaplan-Meier-Schätzer (mit Konfidenzintervallen) stratifiziert für das 1-Jahres bis 5-Jahres Überleben sowie für den entsprechenden Median aufgelistet.

Tabelle 11.10: Tabellarische Darstellung der Kaplan-Meier-Schätzwerte mit Konfidenzintervallen (KI) für das Gesamtüberleben für C61 - Prostata der Einrichtung und Referenz

Zeit (Monate)	Einrichtung			Referenz		
	Überlebensrate (%)	95%-KI (%)	Überlebensrate (%)	95%-KI (%)		
0	100.0	100 - 100	100.0	100 - 100	100 - 100	100 - 100
12	97.3	95.5 - 99.2	78.7	72.8 - 85		
24	92.5	89.5 - 95.6	61.5	54.3 - 69.5		
36	84.2	79.7 - 89	50.1	42.5 - 59		
48	79.7	74.3 - 85.6	42.4	34.6 - 52.1		
Median (Monate)	NA	NA - NA	36.2	26.4 - 49		

Tabelle 11.11: Tabellarische Darstellung der Kaplan-Meier-Schätzwerte mit Konfidenzintervallen (KI) für das Gesamtüberleben für C61 - Prostata stratifiziert nach UICC-Klassifikation

Zeit (Monate)	UICC = I		UICC = II		UICC = III		UICC = IV	
	Überlebensrate (%)	95%-KI (%)	Überlebensrate (%)	95%-KI (%)	Überlebensrate (%)	95%-KI (%)	Überlebensrate (%)	95%-KI (%)
0	100.0	100 - 100	100.0	100 - 100	100.0	100 - 100	100.0	100 - 100
12	96.7	93.2 - 100	100.0	100 - 100	100.0	100 - 100	94.0	89 - 99.2
24	92.8	87.3 - 98.6	97.1	93.1 - 100	95.7	89.9 - 100	86.6	79.5 - 94.3
36	86.1	78.3 - 94.7	97.1	93.1 - 100	93.2	86 - 100	67.4	57.4 - 79.3
48	81.0	71.4 - 92	93.7	86.5 - 100	93.2	86 - 100	60.1	48.7 - 74.1
Median (Monate)	NA	NA - NA	NA	NA - NA	NA	NA - NA	52.4	46.6 - NA

Anmerkung: aktueller Datenstand: 31.10.2025; aktueller Stichtag: 31.12.2024

Die folgenden Abbildungen **11.8** stellen das Gesamtüberleben für Patienten Ihrer Einrichtung mit Tumordiagnosen der Gruppe C61 - Prostata nach Geschlecht und Alter bei Diagnose dar. In den **Tabellen 11.12** und **11.13** werden die Kaplan-Meier-Schätzer (mit Konfidenzintervallen) stratifiziert nach Geschlecht und Alter bei Diagnose für das 1-Jahres bis 5-Jahres Überleben sowie für den entsprechenden Median aufgelistet.

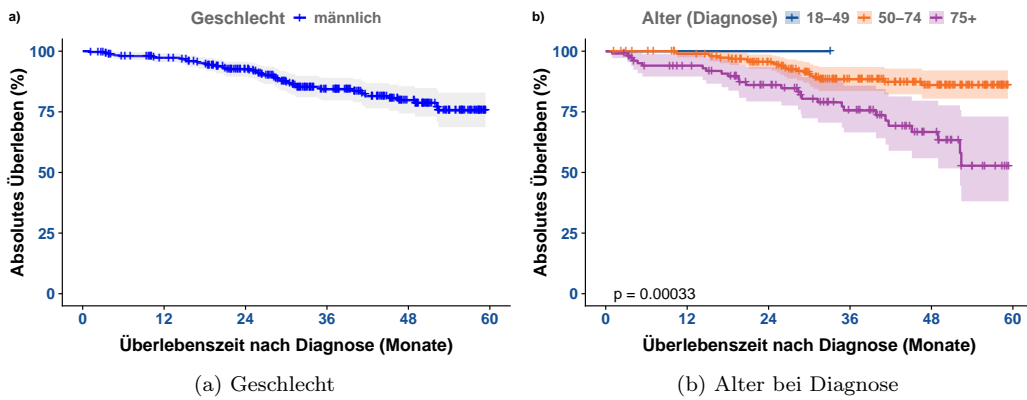


Abbildung 11.8: Darstellung des absoluten Überlebens (Kaplan-Meier-Schätzer) für C61 - Prostata - a) nach Geschlecht, b) nach Alter bei Diagnose in Gruppen

Tabelle 11.12: Tabellarische Darstellung der Kaplan-Meier-Schätzwerte mit Konfidenzintervallen (KI) für das Gesamtüberleben für C61 - Prostata stratifiziert nach Geschlecht

Zeit (Monate)	männlich	
	Überlebensrate (%)	95%-KI (%)
0	100.0	100 - 100
12	97.3	95.5 - 99.2
24	92.5	89.5 - 95.6
36	84.2	79.7 - 89
48	79.7	74.3 - 85.6
Median (Monate)	NA	NA - NA

Tabelle 11.13: Tabellarische Darstellung der Kaplan-Meier-Schätzwerte mit Konfidenzintervallen (KI) für das Gesamtüberleben für C61 - Prostata stratifiziert nach Alter bei Diagnose

Zeit (Monate)	Alter = 18-49		Alter = 50-74		Alter = 75+	
	Überlebensrate (%)	95%-KI (%)	Überlebensrate (%)	95%-KI (%)	Überlebensrate (%)	95%-KI (%)
0	100	100 - 100	100.0	100 - 100	100.0	100 - 100
12	100	100 - 100	98.9	97.5 - 100	94.1	89.5 - 98.8
24	100	100 - 100	95.7	92.8 - 98.7	86.1	79.3 - 93.4
36	NA	NA - NA	88.4	83.6 - 93.5	75.6	66.5 - 85.8
48	NA	NA - NA	86.1	80.4 - 92.1	66.7	55.8 - 79.6
Median (Monate)	NA	NA - NA	NA	NA - NA	NA	52.2 - NA

Anmerkung: aktueller Datenstand: 31.10.2025; aktueller Stichtag: 31.12.2024

## 12 | C43-C44 - Melanom u. sonst. bösart. Neubldg. d. Haut

Das Kapitel **C43-C44 - Melanom u. sonst. bösart. Neubldg. d. Haut** dieses Rückmeldeberichtes stellt Ihnen verschiedene Auswertungen und Darstellungen zu Tumorfällen von Patienten mit Diagnosen der Gruppe C43-C44 - Melanom u. sonst. bösart. Neubldg. d. Haut zu Verfügung. Neben den Fall- und Behandlungszahlen sowie den Vollständigkeitsangaben werden die Tumoreigenschaften und Patientenstruktur als auch Überlebensanalysen präsentiert.

### 12.1. Allgemeine Informationen

**Tabelle 12.1** fasst die Anzahl der neu diagnostizierten Fälle und therapeutischen Behandlungen (einzelner oder mehrerer Therapieanwendungen) nach Art der Therapie (Operation, Strahlentherapie/Nuklearmedizin, systemische Therapie oder abwartende Therapie) und Verlauf für Tumoren der Gruppe C43-C44 - Melanom u. sonst. bösart. Neubldg. d. Haut Ihrer Einrichtung über den 5-Jahres Berichtszeitraum (2020 bis 2024), als auch für das aktuelle Berichtsjahr (2024) zusammen.

Tabelle 12.1: Anzahl der gemeldeten Diagnosen, therapeutischen Behandlungen und Verläufe für C43-C44 - Melanom u. sonst. bösart. Neubldg. d. Haut

TYP	Anzahl der Behandlungen		Anzahl der Fälle	
	Einrichtung	REF	Einrichtung	REF
5-Jahres Berichtszeitraum (2020 - 2024)				
Diagnose			349	84.50%
therapeutische Behandlungen	127	51.63%	96	50.26%
Operation	72	96.00%	64	95.52%
Strahlentherapie	0	0.00%	0	0.00%
Systemtherapie	55	32.16%	34	26.98%
abwartende Therapie	0	0.00%	0	0.00%
Verlauf	15	27.78%	8	20.51%
Gesamt			389	68.49%
Aktuelles Berichtsjahr (2024)				
Diagnose			62	91.18%
therapeutische Behandlungen	27	60.00%	23	56.10%
Operation	23	100.00%	20	100.00%
Strahlentherapie	0	0.00%	0	0.00%
Systemtherapie	4	18.18%	3	14.29%
abwartende Therapie	0	0.00%	0	0.00%
Verlauf	0	0.00%	0	0.00%
Gesamt			66	72.53%

Anmerkung: Gesamt = Fall mit Diagnose oder Therapie in der Einrichtung; aktueller Datenstand: 31.10.2025

## 12.2. Vollständigkeit

Im Abschnitt **Vollständigkeit** werden analog zu Teil II “Qualität und Vollständigkeit” die Vollständigkeit sowie die Qualität der an das KKRBB gesandten Meldungen zu tumorrelevanten Behandlungen bezüglich der in Ihrer Einrichtung diagnostizierten und / oder therapierten Krebserkrankungen der Tumorentitätengruppe **C43-C44 - Melanom u. sonst. bösart. Neubldg. d. Haut** für den 5-Jahres Berichtszeitraum (2020 bis 2024) beschrieben. Weitere Informationen bezüglich Definition dieser Merkmale finden Sie in Teil II “Qualität und Vollständigkeit” des Rückmeldeberichts.

### 12.2.1 Vollständigkeit von Diagnose- und Histologiemerkmalen

**Tabelle 12.2** gibt Ihnen einen Überblick über die Qualität und Vollständigkeit der beschriebenen Diagnose- und Histologiemerkmale für durchgeführte Diagnosen Ihrer Einrichtung; sowohl für den Gesamtzeitraum als auch für die einzelnen Berichtsjahre (basierend auf dem Diagnosejahr). Zudem zeigt Ihnen **Tabelle 12.2** zur Einordnung Ihrer Zahlen die prozentualen Ergebnisse der Vollständigkeit der Referenz (REF).

Tabelle 12.2: Qualität und Vollständigkeit von Diagnose- und Histologiemerkmalen im Zeitverlauf (REF - Referenz)

Merkmalsname	2020	2021	2022	2023	2024	Gesamt	REF
<b>Thematik: DIAGNOSE und HISTOLOGIE</b>							
<b>Gesamt</b>	<b>71</b>	<b>79</b>	<b>59</b>	<b>78</b>	<b>62</b>	<b>349</b>	
Diagnose-Datum	n 71	n 79	n 59	n 78	n 62	349	
	% 100.0%	% 100.0%	% 100.0%	% 100.0%	% 100.0%	100.0%	<b>100.0%</b>
tagesgen. Diagnose-Datum	n 69	n 77	n 59	n 76	n 60	341	
	% 97.2%	% 97.5%	% 100.0%	% 97.4%	% 96.8%	97.7%	<b>70.3%</b>
Diagnosesicherung (DS)	n 71	n 79	n 59	n 78	n 62	349	
	% 100.0%	% 100.0%	% 100.0%	% 100.0%	% 100.0%	100.0%	<b>100.0%</b>
DS (histol. od. zytol.)	n 69	n 77	n 59	n 78	n 60	343	
	% 97.2%	% 97.5%	% 100.0%	% 100.0%	% 96.8%	98.3%	<b>92.2%</b>
Lokalisation	n 71	n 79	n 59	n 78	n 62	349	
	% 100.0%	% 100.0%	% 100.0%	% 100.0%	% 100.0%	100.0%	<b>100.0%</b>
Seitenlokalisation	n 71	n 79	n 59	n 78	n 62	349	
	% 100.0%	% 100.0%	% 100.0%	% 100.0%	% 100.0%	100.0%	<b>100.0%</b>
Histologie*	n 69	n 77	n 59	n 78	n 60	343	
	% 100.0%	% 100.0%	% 100.0%	% 100.0%	% 100.0%	100.0%	<b>100.0%</b>
Histologie-Schlüssel*	n 69	n 77	n 59	n 78	n 60	343	
	% 100.0%	% 100.0%	% 100.0%	% 100.0%	% 100.0%	100.0%	<b>100.0%</b>
Histologie-Datum*	n 69	n 77	n 59	n 77	n 60	342	
	% 100.0%	% 100.0%	% 100.0%	% 98.7%	% 100.0%	99.7%	<b>100.0%</b>
UICC-Klassifikation*	n 57	n 66	n 50	n 61	n 48	282	
	% 81.4%	% 83.5%	% 84.7%	% 78.2%	% 77.4%	81.0%	<b>78.3%</b>
<b>klin. u. / od. pathol. TNM</b>							
TNM (T-Kategorie)*	n 65	n 74	n 56	n 70	n 51	316	
	% 92.9%	% 93.7%	% 94.9%	% 89.7%	% 82.3%	90.8%	<b>76.7%</b>
TNM (N-Kategorie)*	n 24	n 19	n 15	n 16	n 17	91	
	% 34.3%	% 24.1%	% 25.4%	% 20.5%	% 27.4%	26.1%	<b>50.0%</b>
TNM (M-Kategorie)*	n 26	n 19	n 14	n 17	n 16	92	
	% 38.8%	% 24.7%	% 24.6%	% 24.6%	% 26.7%	27.9%	<b>60.4%</b>
UICC-Klassifikation*	n 1	n 1	n 0	n 0	n 1	3	
	% 1.5%	% 1.3%	% 0.0%	% 0.0%	% 1.7%	0.9%	<b>13.2%</b>
<b>klin. TNM</b>							
TNM (T-Kategorie)*	n 1	n 1	n 1	n 0	n 1	4	
	% 1.5%	% 1.3%	% 1.8%	% 0.0%	% 1.7%	1.2%	<b>11.3%</b>
TNM (N-Kategorie)*	n 1	n 1	n 1	n 0	n 1	4	
	% 1.5%	% 1.3%	% 1.8%	% 0.0%	% 1.7%	1.2%	<b>13.2%</b>
TNM (M-Kategorie)*	n 2	n 1	n 1	n 0	n 1	5	
	% 3.0%	% 1.3%	% 1.8%	% 0.0%	% 1.7%	1.5%	<b>13.2%</b>
ECOG	n 20	n 30	n 20	n 29	n 20	119	
	% 29.9%	% 39.0%	% 35.1%	% 42.0%	% 33.3%	36.1%	<b>76.8%</b>

**Anmerkung:** n - Anzahl; aktueller Datenstand vom 31.10.2025

\* n des Merkmals weicht von Gesamt n ab

## 12.2.2 Vollständigkeit von Therapiemerkmalen

### 12.2.2.1 Operation

**Tabelle 12.3** gibt Ihnen einen Überblick über die Qualität und Vollständigkeit der beschriebenen Therapiemerkmale für durchgeführte Operationen Ihrer Einrichtung; sowohl für den Gesamtzeitraum als auch für die einzelnen Berichtsjahre (basierend auf dem Jahr der Leistungserbringung). Zudem zeigt Ihnen **Tabelle 12.3** zur Einordnung der Zahlen Ihrer Einrichtung die prozentualen Ergebnisse der Vollständigkeit der Referenz (REF).

Tabelle 12.3: Operation - Qualität und Vollständigkeit von Merkmalen im Zeitverlauf (REF - Referenz)

Merkmalsname	2020	2021	2022	2023	2024	Gesamt	REF
<b>Behandlung: OPERATION</b>							
<b>Gesamt</b>	<b>7</b>	<b>8</b>	<b>18</b>	<b>16</b>	<b>23</b>	<b>72</b>	
OP-Datum	n 7	n 8	n 18	n 16	n 23	n 72	
	% 100.0%	% 100.0%	% 100.0%	% 100.0%	% 100.0%	% 100.0%	<b>100.0%</b>
Tagesgenauigkeit (OP)	n 7	n 8	n 18	n 16	n 23	n 72	
	% 100.0%	% 100.0%	% 100.0%	% 100.0%	% 100.0%	% 100.0%	<b>100.0%</b>
Therapieintention	n 7	n 7	n 18	n 16	n 23	n 71	
	% 100.0%	% 87.5%	% 100.0%	% 100.0%	% 100.0%	% 98.6%	<b>100.0%</b>
OP-Schlüssel vollst.	n 7	n 8	n 18	n 13	n 21	n 67	
	% 100.0%	% 100.0%	% 100.0%	% 81.2%	% 91.3%	% 93.1%	<b>100.0%</b>
lokale R-Klass.*	n 7	n 7	n 15	n 16	n 23	n 68	
	% 100.0%	% 100.0%	% 100.0%	% 100.0%	% 100.0%	% 100.0%	<b>100.0%</b>
globale R-Klass.*	n 6	n 2	n 12	n 14	n 18	n 52	
	% 85.7%	% 28.6%	% 80.0%	% 87.5%	% 78.3%	% 76.5%	<b>100.0%</b>
Komplikationen	n 3	n 5	n 17	n 13	n 8	n 46	
	% 42.9%	% 62.5%	% 94.4%	% 81.2%	% 34.8%	% 63.9%	<b>0.0%</b>

**Anmerkung:** aktueller Datenstand vom 31.10.2025

\* n des Merkmals weicht von Gesamt n ab

### 12.2.2.2 Systemtherapie

Die folgende Tabelle gibt Ihnen einen Überblick über die Qualität und Vollständigkeit der beschriebenen Therapiemerkmale für durchgeführte Systemtherapien Ihrer Einrichtung; sowohl für den Gesamtzeitraum als auch für die einzelnen Berichtsjahre (basierend auf dem Jahr der Leistungserbringung). Zudem zeigt Ihnen diese Tabelle zur Einordnung der Zahlen Ihrer Einrichtung die prozentualen Ergebnisse der Vollständigkeit der Referenz (REF).

Tabelle 12.4: Systemtherapie - Qualität und Vollständigkeit von Therapiemerkmalen im Zeitverlauf

Merkmalsname	2020	2021	2022	2023	2024	Gesamt	REF
<b>Behandlung: SYSTEMTHERAPIE</b>							
<b>Gesamt</b>	<b>20</b>	<b>12</b>	<b>14</b>	<b>5</b>	<b>4</b>	<b>55</b>	
Anfang und Ende d. Th.*	n 15	n 9	n 9	n 4	n 3	n 40	
	% 75.0%	% 75.0%	% 64.3%	% 80.0%	% 75.0%	% 72.7%	<b>60.3%</b>
Anfang der Th.	n 20	n 12	n 14	n 5	n 4	n 55	
	% 100.0%	% 100.0%	% 100.0%	% 100.0%	% 100.0%	% 100.0%	<b>100.0%</b>
Ende der Th.*	n 15	n 9	n 9	n 4	n 3	n 40	
	% 75.0%	% 75.0%	% 64.3%	% 80.0%	% 75.0%	% 72.7%	<b>60.3%</b>
Typ d. syst. Th.	n 20	n 12	n 14	n 5	n 4	n 55	
	% 100.0%	% 100.0%	% 100.0%	% 100.0%	% 100.0%	% 100.0%	<b>100.0%</b>
Th.protokoll / Subs.	n 20	n 12	n 14	n 5	n 4	n 55	
	% 100.0%	% 100.0%	% 100.0%	% 100.0%	% 100.0%	% 100.0%	<b>100.0%</b>
Therapieintention	n 20	n 12	n 14	n 5	n 4	n 55	
	% 100.0%	% 100.0%	% 100.0%	% 100.0%	% 100.0%	% 100.0%	<b>99.1%</b>
Stellung zur OP	n 20	n 12	n 14	n 5	n 4	n 55	
	% 100.0%	% 100.0%	% 100.0%	% 100.0%	% 100.0%	% 100.0%	<b>98.3%</b>
Nebenwirkungen*	n 13	n 7	n 7	n 3	n 1	n 31	
	% 65.0%	% 58.3%	% 50.0%	% 60.0%	% 25.0%	% 56.4%	<b>30.2%</b>

Tabelle 12.4: Systemtherapie - Qualität und Vollständigkeit von Therapiemerkmalen im Zeitverlauf (continued)

Merkmalname	2020	2021	2022	2023	2024	Gesamt	REF
Therapieabschluss	n %	14 70.0%	9 75.0%	8 57.1%	4 80.0%	3 75.0%	38 69.1% <b>58.6%</b>

**Anmerkung:** aktueller Datenstand vom 31.10.2025

\* n des Merkmals weicht von Gesamt n ab

## 12.3. Tumoreigenschaften

Im Abschnitt **Tumoreigenschaften** wird Ihnen für die Patienten mit Tumordiagnosen der Tumorentitätengruppe **C43-C44 - Melanom u. sonst. bösart. Neubldg. d. Haut** Ihrer Einrichtung u. a. die Histologien, Klassifizierungen und Metastasen dargestellt. Bei den Analysen wird der 5-Jahres Berichtszeitraum von **2020 bis 2024** betrachtet.

### 12.3.1 Tumordiagnose (nach ICD-10)

Die Tumordiagnosen werden in diesem Unterabschnitt basierend auf der 5-stelligen ICD-10 beschrieben. **Tabelle 12.5** umfasst die absolute und relative Häufigkeiten der Tumorentitäten beruhend auf dem Jahr der Erstdiagnose für die einzelnen Berichtsjahre und dem Zeitraum (2020 bis 2024). Die prozentualen Angaben in diesen Spalten beziehen sich auf die Gesamtanzahl an Tumorfällen Ihrer Einrichtung. Zudem zeigt Ihnen **Tabelle 12.5** in Spalte *REF* den prozentualen Anteil Ihrer Einrichtung an den entsprechenden Gesamtzahlen der in der Referenz diagnostizierten Tumorfälle.

Tabelle 12.5: ICD-10 - Absolute und relative Häufigkeiten der Tumorentitäten im Zeitverlauf (basierend auf Diagnosejahr)

ICD-10 (Diagnose)	2020	2021	2022	2023	2024	Gesamt	REF
C43 - malignes Melanom d. Haut	C43.2	-	1 (1.1%)	-	1 (1.3%)	-	2 (0.5%) <b>1.0%</b>
	C43.3	3 (3.9%)	7 (8.0%)	5 (7.9%)	4 (5.1%)	7 (11.3%)	26 (7.1%) <b>4.2%</b>
	C43.4	2 (2.6%)	5 (5.7%)	3 (4.8%)	3 (3.8%)	8 (12.9%)	21 (5.7%) <b>4.7%</b>
	C43.5	32 (42.1%)	34 (39.1%)	27 (42.9%)	30 (38.5%)	21 (33.9%)	144 (39.3%) <b>4.7%</b>
	C43.6	23 (30.3%)	27 (31.0%)	14 (22.2%)	30 (38.5%)	16 (25.8%)	110 (30.1%) <b>4.7%</b>
	C43.7	14 (18.4%)	13 (14.9%)	14 (22.2%)	10 (12.8%)	10 (16.1%)	61 (16.7%) <b>3.5%</b>
	C43.9	2 (2.6%)	-	-	-	-	2 (0.5%) <b>0.9%</b>
	gesamt	76 (100.0%)	87 (100.0%)	63 (100.0%)	78 (100.0%)	62 (100.0%)	366 (100.0%) <b>4.2%</b>
<b>GESAMT</b>	<b>GESAMT</b>	<b>76</b>	<b>87</b>	<b>63</b>	<b>78</b>	<b>62</b>	<b>366</b> <b>4.2%</b>

**Anmerkung:** aktueller Datenstand: 31.10.2025

### 12.3.2 Histologie

Die nachfolgenden Analysen umfassen sowohl eine Kategorisierung der Tumoren nach deren dokumentierter Histologie (Hauptklassen nach ENCR 2017 und NCT 2018) sowie das Vorkommen dieser **Histologie-Hauptklassen** (bspw. Karzinome) innerhalb der fünf am häufigsten vorkommenden Entitäten innerhalb der Tumorentitätengruppe **C43-C44 - Melanom u. sonst. bösart. Neubldg. d. Haut** Ihrer Einrichtung. Zudem werden die **Histologie-Hauptklassen** nach den vorhandenen Histologie-Gruppen (nach ENCR 2017 und NCT 2018) und die Verteilung der Histologie-Schlüssel (nach ICD-O) für die vorkommenden Tumorentitäten (nach ICD-10) tabellarisch dargestellt.

Der folgenden Tabellen beschreiben Ihnen die Tumorfälle (aufgeschlüsselt nach ICD-10), die in Ihrer Einrichtung im 5-Jahres Berichtszeitraum (2020 bis 2024) diagnostiziert oder im Rahmen der Primärtherapie behandelt worden sind, nach deren **Histologie** (Histologie-Schlüssel nach ICD-O).

Als Referenz zur Kategorisierung der Histologie-Schlüssel wurden verwendet:

- ENCR 2017 - Ardanaz et. al.: Working Group ENCR guidelines for reporting of multiple primary malignant (invasive) neoplasms - ENCR Multiple primary rules version 4
- NCT 2018 - Adzersen u. Schäfer: Handbuch der allgemeinen Tumordokumentation, 7. Auflage

Tabelle 12.6: Histologie-Übersicht für C43 - malignes Melanom d. Haut - absolute Häufigkeiten der Tumorhistologien stratifiziert (nach ENCR 2017, NCT 2018) für einzelne Berichtsjahre

Gruppe	Histologie-Schlüssel	2020	2021	2022	2023	2024	Gesamt
<b>Melanome</b>							
Melanome	8720/3: Malignes Melanom o.n.A.	24	31	17	35	32	139
Melanome	8721/3: Noduläres malignes Melanom	9	2	3	9	3	26
Melanome	8730/3: Amelanot. malignes Melanom	0	1	0	1	0	2
Melanome	8740/3: Malignes Melanom in Junktions-Nävus	0	0	0	1	0	1
Melanome	8742/3: Lentigo-maligna-Melanom	3	6	7	6	8	30
Melanome	8772/3: Spindelzellmelanom o.n.A.	0	1	0	0	0	1
Total	Total	36	41	27	52	43	199
Total		36	41	27	52	43	199

### 12.3.3 Histopathologisches Grading und UICC-Klassifikation

Die Analyse des histopathologischen Gradings beruht auf den ermittelten **häufigsten Tumorentitäten** (nach ICD-10) (siehe *Abschnitt 6.1*). Von diesen Tumoren wurden ausschließlich die gradingpflichtigen ausgewählt (Entscheidungskriteria basierend auf ICD-10, ICD-O und Histologie), deren Diagnose histologisch oder zytologisch gesichert wurde, und bezüglich der Verteilung der Differenzierungsgrade analysiert.

Folgende Differenzierungsgrade wurden ausgewertet:

- **G1** -> gut differenziert
- **G2** -> mäßig differenziert
- **G3** -> schlecht differenziert
- **G4** -> undifferenziert
- **GX** -> unbekannt

**Abbildung 12.1** gibt Ihnen für die häufigsten Tumorfälle Ihrer Einrichtung einen Überblick über die absolute und relative Häufigkeiten der Differenzierungsgrade des histopathologischen Gradings für die betrachteten Tumorfälle von gradingpflichtigen Tumorentitäten. Im Gegensatz zu **Abbildung 12.1 a)** ist in **Abbildung 12.1 b)** das Grading (absolute und relative Häufigkeiten) **ohne** die Fälle mit fehlender Angabe zu den Differenzierungsgraden dargestellt.

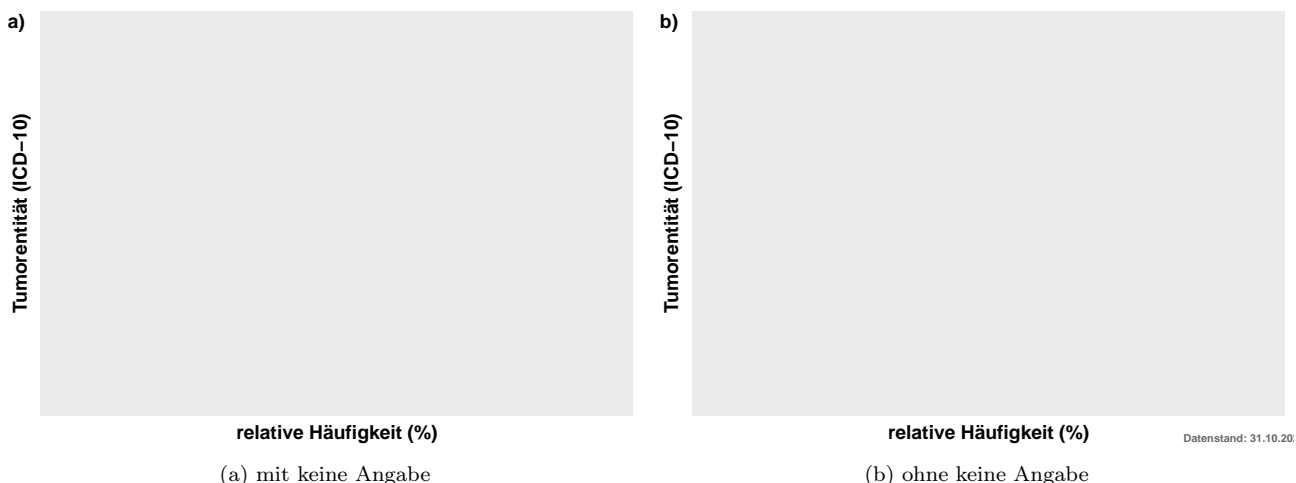


Abbildung 12.1: Histopathologisches Grading für den 5-Jahres Berichtszeitraum (2020 - 2024) - absolute und relative Häufigkeiten der Differenzierungsgrade

### 12.3.4 UICC-Klassifikation

Die Beschreibung der Stadienverteilung nach UICC beruht auf den ermittelten invasiven Tumorentitäten (nach ICD-10). Von diesen Tumoren wurden ausschließlich die TNM-pflichtigen ausgewählt (Entscheidungskriteria basierend auf ICD-10, ICD-O und Histologie) und bezüglich der Verteilung der Stadien analysiert. In der Auswertung wurden vorrangig pathologische UICC-Stadien verwendet. Lag aufgrund neoadjuvanter oder nicht operativer Behandlungen die pathologische Variante nicht vor, wurde in der Berechnung auf die klinischen UICC-Stadien zurückgegriffen.

Die folgende Abbildung gibt Ihnen einen Überblick über die absoluten und relativen Häufigkeiten der einzelnen Stadien nach UICC für die betrachteten Fälle von TNM-pflichtigen Tumorentitäten (Tumorentitätengruppen nach ICD-10).

### 12.3.5 Staging

Die Beschreibung der TNM-Verteilung beruht auf den ermittelten häufigsten invasiven Tumorentitäten und wird in der folgenden Abbildung dargestellt. Von diesen Tumoren wurden ausschließlich die TNM-pflichtigen ausgewählt und analysiert (Entscheidungskriteria basierend auf ICD-10, ICD-O und Histologie). In der Auswertung

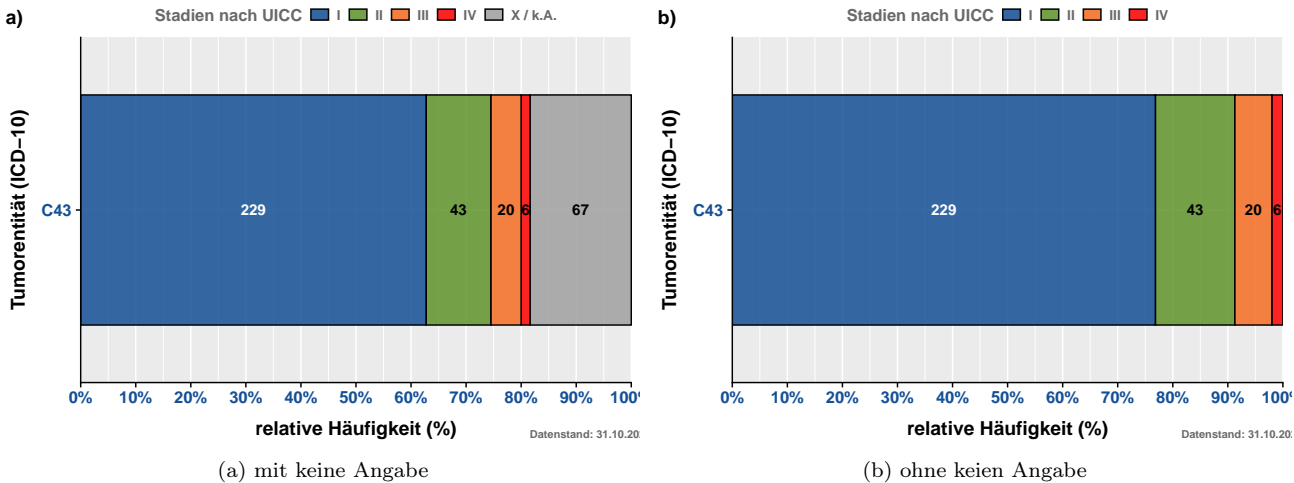


Abbildung 12.2: Stadienverteilung nach UICC für invasive Tumorentitäten (TNM-pflichtig) für den 5-Jahres Berichtszeitraum (2020 - 2024) - absolute und relative Häufigkeiten der Differenzierungsgrade

wurden vorrangig pathologische TNM-Kategorien verwendet. Lag aufgrund neoadjuvanter oder nicht operativer Behandlungen die pathologische Variante nicht vor, wurde in der Berechnung auf die klinischen TNM-Kategorien zurückgegriffen.

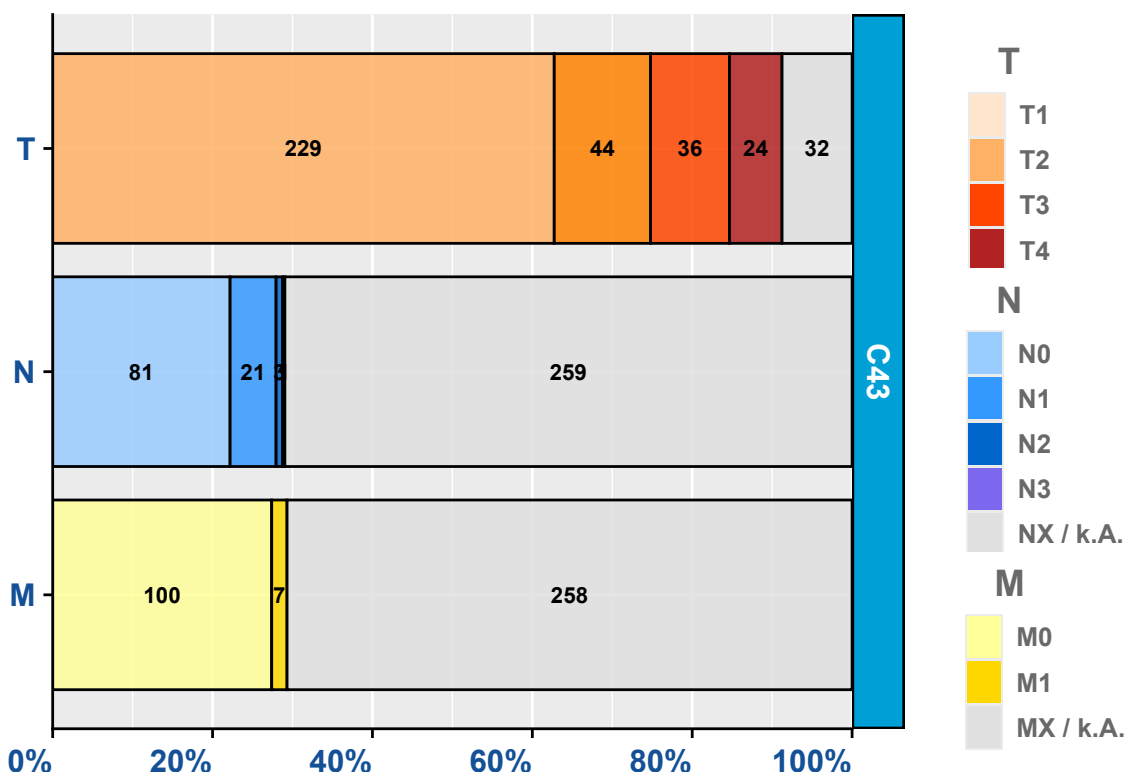


Abbildung 12.3: TNM - Verteilung der TNM-Kategorien der 10 häufigsten invasiven Tumorentitätengruppen (TNM-pflichtig)

### 12.3.6 Primäre Metastasierung

In diesem Abschnitt wird die primäre Metastasierung Ihrer Tumorfälle analysiert. Primäre Metastasierung umfasst Metastasen, die innerhalb von 92 Tagen nach Diagnosestellung aufgetreten sind. **Tabelle 12.7** listet die primär metastasierten Tumorfälle für die häufigsten Tumorentitäten (ICD-10) auf.

Tabelle 12.7: Absolute und relative Häufigkeiten der Tumorfälle mit primärer Metastasierung nach ICD-10 und Zeitraum

ICD-10 (Diagnose)	Berichtsjahr					GESAMT
	2020	2021	2022	2023	2024	
C43 - malignes Melanom d. Haut	6 (100.0%)	1 (100.0%)	1 (100.0%)	-	1 (100.0%)	9 (100.0%)
GESAMT	6	1	1	0	1	9

Anmerkung: aktueller Datenstand: 31.10.2025

**Tabelle 12.8** zeigt die absolute Häufigkeit der Lokalisationen der primären Fernmetastasen.

Tabelle 12.8: Absolute Häufigkeit der Lokalisation primärer Metastasen (stratifiziert nach ICD-10)

Lokalisation	C43	n
GEN Generalisierte Metastasierung	0	0
SKI Hautmetastasen	3	3
BRA Hirnmetastasen	1	1
MAR Knochenmarkmetastasen	0	0
OSS Knochenmetastasen	0	0
HEP Lebermetastasen	1	1
PUL Lungenmetastasen	2	2
LYM Lymphknotenmetastasen	3	3
OTH Metastasen in anderen Organen	1	1
SPL Milzmetastasen	0	0
ADR Nebennierenmetastasen	0	0
PER Peritoneummetastasen	0	0
PLE Pleurametastasen	0	0
gesamt	11	11

Anmerkung: aktueller Datenstand: 31.10.2025

## 12.4. Patientenstruktur

Im Abschnitt Patientenstruktur wird Ihnen für die Patienten mit Tumordiagnosen C43-C44 - Melanom u. sonst. bösart. Neubldg. d. Haut das Geschlechterverhältnis, die Altersstruktur sowie die Herkunft der Fälle zum Zeitpunkt der Diagnose dargestellt. Dabei wird der 5-Jahres Berichtszeitraum von **2020 bis 2024** betrachtet.

**Abbildung 12.4** zeigt Ihnen die absolute Häufigkeit der betrachteten Tumorfälle aufgesplittet nach Geschlecht (männlich / weiblich) und Tumorentität (ICD-10). Abgebildet sind die in Ihrer Einrichtung aufgetretenen invasiven Tumorentitäten der Berichtsjahre 2020 bis 2024 (basierend auf dem Diagnosejahr).

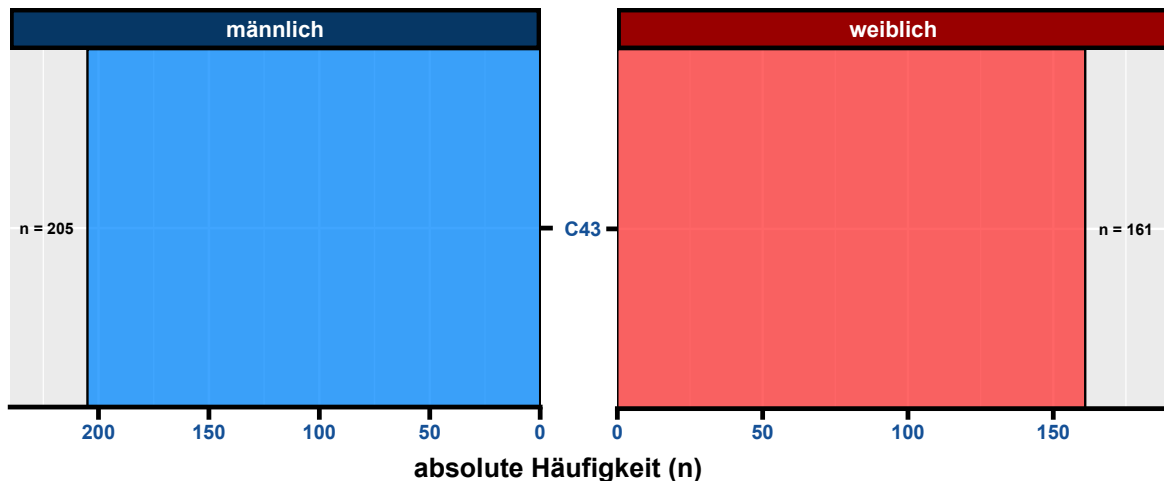


Abbildung 12.4: Geschlechterverhältnis (männlich / weiblich) der Tumorfälle für die Tumorentitäten (nach ICD-10) 5-Jahres Berichtszeitraum (2020 - 2024)

**Abbildung 12.5** veranschaulicht Ihnen die Altersverteilung der Tumorentitäten (nach ICD-10) für Männer und Frauen.

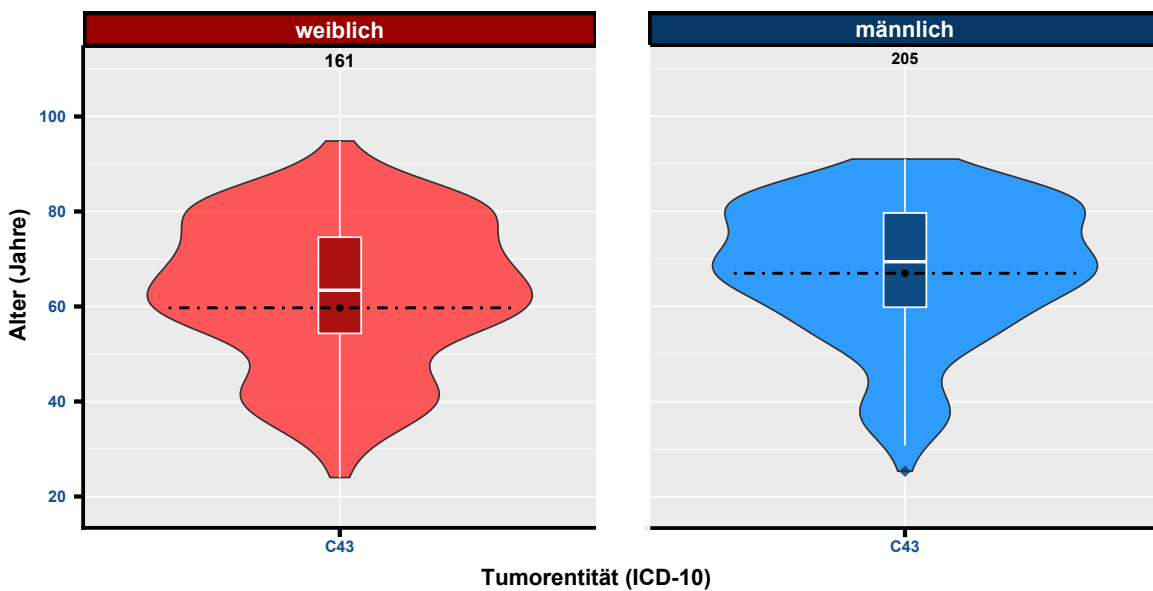


Abbildung 12.5: Altersverteilung der vorkommenden Tumorentitäten (nach ICD-10) je Geschlecht

## 12.4.1 Herkunft

Das Patientenkollektiv Ihrer Einrichtung stammt, basierend auf dem Wohnort zum Zeitpunkt der Diagnose, aus **4 Bundesländern**. Dabei kommen **281** Fälle aus dem Bundesland Berlin und **\* 81\*** Fälle aus dem Bundesland Brandenburg. Aus dem Bundesland Mecklenburg-Vorpommern kommen mit 3 Fällen die meisten Patienten, die nicht in der Region Brandenburg-Berlin zum Zeitpunkt der Diagnose wohnhaft waren. Die folgenden kartographischen Darstellungen stellen Ihnen den Wohnort zum Zeitpunkt der Diagnose Ihrer Patienten detaillierter dar (wenn mindestens 25 Tumorfälle vorliegen). Für Patienten aus dem Bundesland Brandenburg werden die Zahlen (prozentual) auf Gemeindeebene, für Berliner Patienten basierend auf den Prognoseräumen (Konzept der Lebensweltlich orientierten Räumen (LOR)) erhoben. Bitte beachten Sie, dass nur Prognoseräume und Gemeinden in der Darstellung berücksichtigt werden, wenn diese mindestens 5 Tumorfälle vorweisen (**Abbildung 12.6**).

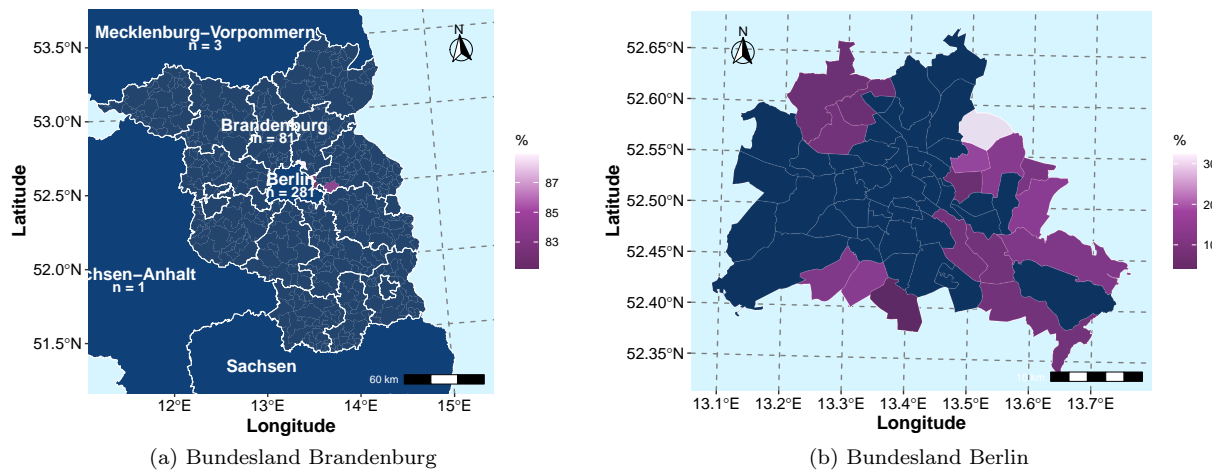


Abbildung 12.6: Prozentuale Darstellung des Wohnorts der Patienten zum Zeitpunkt der Diagnose für Brandenburg (Gemeindeebene) und Berlin (LOR) (mit mindestens 5 Fällen) - 5-Jahres Berichtszeitraum (2020 - 2024)

**Tabelle 12.9** stellt Ihnen die absoluten Häufigkeiten der betrachteten Tumorfälle nach Wohnort zum Zeitpunkt der Krebsdiagnose getrennt nach Diagnosejahr (einzelne Berichtsjahre 2020 - 2024) dar. Dabei steht "BB" für Brandenburg, "BE" für Berlin und "Andere BL" für alle anderen Bundesländer.

Tabelle 12.9: Absolute Häufigkeit der Tumorfälle je Wohnort (Bundeslandebene) und pro Berichtsjahr (Diagnosejahr)

Berichtsjahr	BB	BE	Andere BL
2020	16	60	0
2021	22	63	2
2022	10	53	0
2023	20	58	0
2024	13	47	2

Anmerkung: aktueller Datenstand: 31.10.2025

## 12.5. Überlebensanalysen (nach Kaplan-Meier)

Dieser Abschnitt beschreibt das absolute Überleben (Anteil der Patienten, die zu einem bestimmten Zeitpunkt nach ihrer Diagnose noch leben; basierend auf Kaplan-Meier-Schätzwerten) für Patienten Ihrer Einrichtung (diagnostiziert bzw. primärtherapiert) mit Tumordiagnosen der Gruppe **C43-C44 - Melanom u. sonst. bösart. Neubldg. d. Haut**, stellt Vergleiche mit Ihrer entsprechenden Referenz (siehe: Beschreibung in der Einleitung) an und analysiert das Gesamtüberleben stratifiziert u. a. nach UICC-Klassifikation, Geschlecht und Alter (“18-49 Jahre”, “50-74 Jahre”, “75+ Jahre”). Dabei ist zu berücksichtigen, dass das Patientenkollektiv Ihrer Einrichtung sich hinsichtlich Alter, Geschlecht, ECOG, Krankheitsstadien und weiteren Tumoreigenschaften von dem anderer Einrichtungen unterscheiden kann, was die direkte Vergleichbarkeit einschränkt. Stichtag für die Überlebensberechnungen ist der 31.12.2024, das bedeutet, dass die Betrachtung der Überlebenszeit bis zu diesem Datum erfolgt, da bis zu diesem Datum von einer vollständigen Erfassung des Lebendstatus der Patientinnen und Patienten auszugehen ist.

Bei der Interpretation der Überlebensstatistiken achten Sie bitte auf folgende Punkte:

- es werden nur für invasive Tumorentitäten (C00-C97) Überlebensanalysen gerechnet
- die Kaplan-Meier-Schätzwerte beruhen auf den Daten von 01.01.2020 bis zum aktuellen Stichtag 31.12.2024
- Konfidenzintervalle, die eine große Spannweite aufweisen, deuten auf ein größere Ungenauigkeit des Kaplan-Meier-Schätzers hin
- eine geringe Fallanzahl (Gesamt oder pro untersuchte Gruppe) führt zu größeren Konfidenzintervallen

Auf Anfrage (per E-Mail an [Datenauswertung@kkrbb.de](mailto:Datenauswertung@kkrbb.de)) stellen wir Ihnen gerne weitere Überlebensdarstellungen und Statistiken Tumorentitäten zur Verfügung.

### 12.5.1 Überblick für C43-C44 - Melanom u. sonst. bösart. Neubldg. d. Haut

**Tabelle 12.10** gibt Ihnen einen Überblick über das Patientenkollektiv, für die die Überlebensanalysen gerechnet wurden. Desweiteren finden Sie für die fünf häufigsten ICD-10 dieser Gruppe ( $n \geq 50$ ) eine separate Auflistung der Merkmale der betrachteten Population.

Tabelle 12.10: Beschreibung des Patientenkollektivs: Charakteristika der eingeschlossenen Patienten für die Überlebensanalysen (‘overall’ - alle; einzelne ICD-10 ( $n \geq 50$ ))

Variable	**Overall**, N = 298	**C43**, N = 298
Geschlecht, n (%)		
M	176 (59%)	176 (59%)
W	122 (41%)	122 (41%)
Alter bei Diagnose, Median (IQR)	67 (58, 79)	67 (58, 79)
Altersgruppe, n (%)		
18-49	42 (14%)	42 (14%)
50-74	163 (55%)	163 (55%)
75+	93 (31%)	93 (31%)
Diagnosejahr, n (%)		
2020	62 (21%)	62 (21%)
2021	74 (25%)	74 (25%)
2022	53 (18%)	53 (18%)
2023	61 (20%)	61 (20%)
2024	48 (16%)	48 (16%)
UICC-Klassifikation, n (%)		
I	229 (77%)	229 (77%)
II	43 (14%)	43 (14%)
III	20 (6.7%)	20 (6.7%)
IV	6 (2.0%)	6 (2.0%)
ECOG, n (%)		
0	112 (38%)	112 (38%)
1	5 (1.7%)	5 (1.7%)
2	1 (0.3%)	1 (0.3%)
X	180 (60%)	180 (60%)

Anmerkung: aktueller Datenstand: 31.10.2025; aktueller Stichtag: 31.12.2024

## 12.5.2 Überblick für C43 - malignes Melanom d. Haut

**Abbildung 12.7 a)** stellt die absoluten Überlebensraten (Kaplan-Meier-Schätzer) für Patienten mit Tumordiagnosen der Tumorentität C43 - malignes Melanom d. Haut Ihrer Einrichtung im Vergleich zur Referenz bis 5 Jahre nach Erstdiagnose (60 Monate) grafisch dar. In **Abbildung 12.7 b)** werden die absoluten Überlebensraten Ihrer Einrichtung stratifiziert nach UICC-Klassifikation gezeigt.

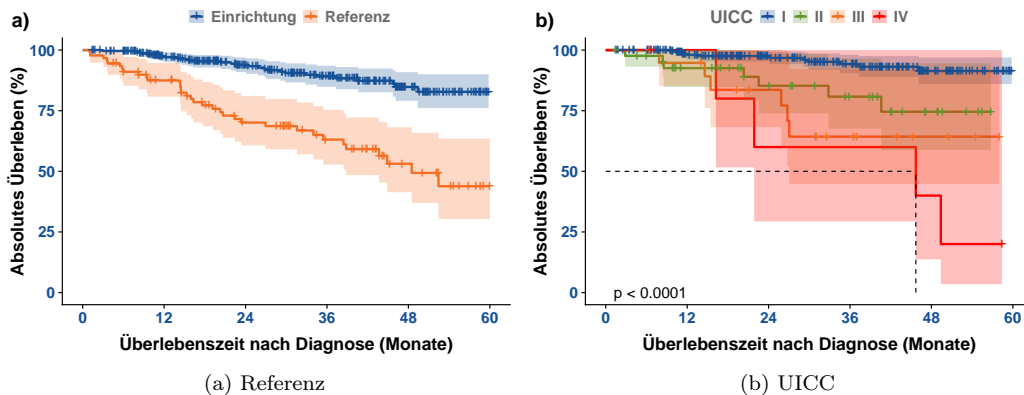


Abbildung 12.7: Darstellung des absoluten Überlebens (Kaplan-Meier-Schätzer) für C43 - malignes Melanom d. Haut - a) im Vergleich zur Referenz, b) nach UICC-Klassifikation

In den **Tabellen 12.11** und **12.12** werden die Kaplan-Meier-Schätzer (mit Konfidenzintervallen) stratifiziert für das 1-Jahres bis 5-Jahres Überleben sowie für den entsprechenden Median aufgelistet.

Tabelle 12.11: Tabellarische Darstellung der Kaplan-Meier-Schätzwerte mit Konfidenzintervallen (KI) für das Gesamtüberleben für C43 - malignes Melanom d. Haut der Einrichtung und Referenz

Zeit (Monate)	Einrichtung			Referenz		
	Überlebensrate (%)	95%-KI (%)	Überlebensrate (%)	95%-KI (%)		
0	100.0	100 - 100	100.0	100 - 100	100 - 100	100 - 100
12	97.0	95 - 99.1	87.5	80.8 - 94.7		
24	93.9	90.9 - 97	70.1	60.7 - 81		
36	89.1	84.9 - 93.5	63.1	52.8 - 75.4		
48	84.8	79.1 - 90.9	53.1	41.4 - 68.2		
Median (Monate)	NA	NA - NA	48.5	38.8 - NA		

Tabelle 12.12: Tabellarische Darstellung der Kaplan-Meier-Schätzwerte mit Konfidenzintervallen (KI) für das Gesamtüberleben für C43 - malignes Melanom d. Haut stratifiziert nach UICC-Klassifikation

Zeit (Monate)	UICC = I		UICC = II		UICC = III		UICC = IV	
	Überlebensrate (%)	95%-KI (%)	Überlebensrate (%)	95%-KI (%)	Überlebensrate (%)	95%-KI (%)	Überlebensrate (%)	95%-KI (%)
0	100.0	100 - 100	100.0	100 - 100	100.0	100 - 100	100.0	100 - 100
12	98.0	96.1 - 100	92.5	84.8 - 100	94.7	85.2 - 100	100.0	100 - 100
24	97.5	95.3 - 99.7	85.3	73.9 - 98.4	83.6	68.2 - 100	60.0	29.3 - 100
36	94.2	90.4 - 98.1	80.8	67.6 - 96.6	64.3	44.8 - 92.2	60.0	29.3 - 100
48	91.3	86 - 97	74.6	58.8 - 94.6	64.3	44.8 - 92.2	40.0	13.7 - 100
Median (Monate)	NA	NA - NA	NA	NA - NA	NA	27 - NA	45.7	21.9 - NA

Anmerkung: aktueller Datenstand: 31.10.2025; aktueller Stichtag: 31.12.2024

Die folgenden Abbildungen **12.8** stellen das Gesamtüberleben für Patienten Ihrer Einrichtung mit Tumordiagnosen der Gruppe C43 - malignes Melanom d. Haut nach Geschlecht und Alter bei Diagnose dar. In den **Tabellen 12.13** und **12.14** werden die Kaplan-Meier-Schätzer (mit Konfidenzintervallen) stratifiziert nach Geschlecht und Alter bei Diagnose für das 1-Jahres bis 5-Jahres Überleben sowie für den entsprechenden Median aufgelistet.

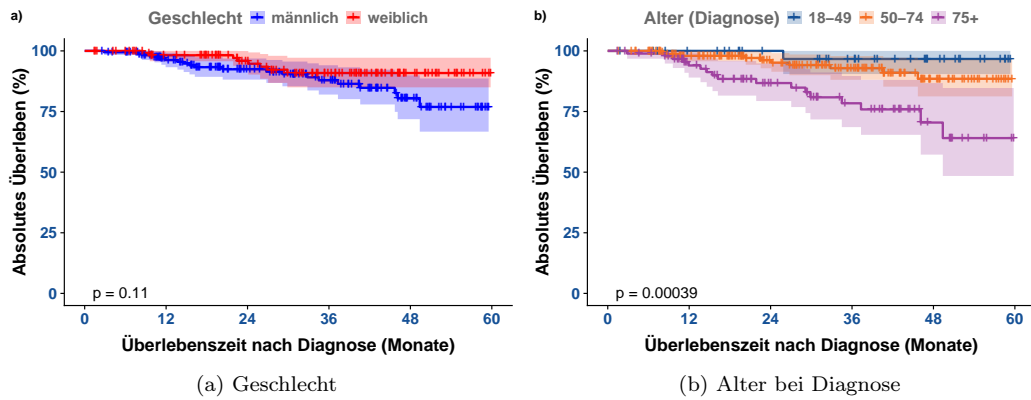


Abbildung 12.8: Darstellung des absoluten Überlebens (Kaplan-Meier-Schätzer) für C43 - malignes Melanom d. Haut - a) nach Geschlecht, b) nach Alter bei Diagnose in Gruppen

Tabelle 12.13: Tabellarische Darstellung der Kaplan-Meier-Schätzwerte mit Konfidenzintervallen (KI) für das Gesamtüberleben für C43 - malignes Melanom d. Haut stratifiziert nach Geschlecht

Zeit (Monate)	männlich		weiblich	
	Überlebensrate (%)	95%-KI (%)	Überlebensrate (%)	95%-KI (%)
0	100.0	100 - 100	100.0	100 - 100
12	96.2	93.3 - 99.2	98.2	95.7 - 100
24	92.4	88.2 - 96.9	95.9	92.1 - 99.9
36	87.8	82 - 94.1	90.9	85 - 97.2
48	80.4	71.8 - 89.9	90.9	85 - 97.2
Median (Monate)	NA	NA - NA	NA	NA - NA

Anmerkung: aktueller Datenstand: 31.10.2025; aktueller Stichtag: 31.12.2024

Tabelle 12.14: Tabellarische Darstellung der Kaplan-Meier-Schätzwerte mit Konfidenzintervallen (KI) für das Gesamtüberleben für C43 - malignes Melanom d. Haut stratifiziert nach Alter bei Diagnose

Zeit (Monate)	Alter = 18-49		Alter = 50-74		Alter = 75+	
	Überlebensrate (%)	95%-KI (%)	Überlebensrate (%)	95%-KI (%)	Überlebensrate (%)	95%-KI (%)
0	100.0	100 - 100	100.0	100 - 100	100.0	100 - 100
12	100.0	100 - 100	98.0	95.7 - 100	94.0	89 - 99.3
24	100.0	100 - 100	96.1	92.8 - 99.6	86.7	79.3 - 94.9
36	96.7	90.5 - 100	92.9	88.1 - 97.9	78.4	68.6 - 89.7
48	96.7	90.5 - 100	88.5	81.2 - 96.4	70.5	57.2 - 86.7
Median (Monate)	NA	NA - NA	NA	NA - NA	NA	49.4 - NA

Anmerkung: aktueller Datenstand: 31.10.2025; aktueller Stichtag: 31.12.2024

## TEIL V

### QUALITÄTSINDIKATOREN DER LEITLINIEN



S3-Leitlinien enthalten in der Regel tumorspezifische Qualitätsindikatoren (siehe unter <https://www.leitlinienprogramm-onkologie.de>). Viele dieser Indikatoren können mithilfe des den Krebsregistern zur Verfügung stehenden bundeseinheitlichen onkologischen Basisdatensatzes berechnet werden. Die Berechnungen erfolgen gemäß bundeseinheitlicher Rechenregeln, die mit den Krebsregistern und der Deutschen Krebsgesellschaft (DKG) abgestimmt sind.

In unserer neuen Berichtsreihe zu den verschiedenen Tumorentitäten werden unter vielem anderen alle berechenbaren Qualitätsindikatoren pseudonymisiert auch auf Leistungserbringerebene dargestellt. Die Berichte finden Sie auf unserer Website unter <https://kkrrbb.de/berichte-und-auswertungen/#Tumorentitaeten>. Das Pseudonym kann vom jeweiligen Leistungserbringer für seine Einrichtung unter [Datenauswertung@kkrrbb.de](mailto:Datenauswertung@kkrrbb.de) angefragt werden.

Zudem werden für die Qualitätskonferenzen des Klinisch-epidemiologischen Krebsregisters Brandenburg-Berlin die leitlinienbasierten Qualitätsindikatoren inklusive anonymisierter Auswertungen auf Leistungserbringerebene regelmäßig ausgewertet und präsentiert. Die Präsentationen finden Sie auf unserer Website unter <https://kkrrbb.de/qualitaetskonferenzen-vortraege>.

Auswertungen zu leitlinienbasierten Qualitätsindikatoren können bei Bedarf direkt beim *KKRBB* unter [Datenauswertung@kkrrbb.de](mailto:Datenauswertung@kkrrbb.de) angefragt werden; wir stellen Ihnen diese zeitnah zur Verfügung. Bitte nennen Sie uns hierfür die gewünschten Tumorentitäten. Beachten Sie, dass eine Berechnung erst ab einer ausreichenden Fallzahl sinnvoll ist. Zu berücksichtigen ist zudem, dass sich viele Qualitätsindikatoren auf ausgewählte Subgruppen der Tumorentitäten beziehen.

Falls Sie wünschen, dass diese Qualitätsindikatoren regelmäßig im Rückmeldebericht erscheinen, teilen Sie uns dies bitte bis zum 31.03.2026 mit, damit die Inhalte in zukünftige Berichte aufgenommen werden können.